

---

## データ集8

### 破砕部の性状一覧

---

余白

# 破碎部の性状一覧表①(陸域)

■破碎部の性状の一覧表を以下に示す。(断層については、幅3cm以上の破碎部に加え、断層面上に位置する幅3cm未満の破碎部やコア形状が不良で判断できない箇所も含む)。

断層の破碎部性状一覧表  
(1/4)

名称	孔名	確認深度 (m)	標高 (m)	走向・傾斜 (走向は真北)	破碎部の幅 (cm)	破碎部の幅 平均値 (cm)
S-1	R-7▲	153.35	EL-142.07	70° ◆	17	14
	H-6.5	65.45	EL-46.77	N54° W/74° NE	10	
	H-7▲	82.85	EL-66.93	—	※	
	Sd-2▲	62.71	EL-6.54	70° ◆	11	
	I-8▲	49.73	EL-27.83	—	14	
	V-2▲	119.55	EL-96.37	N49° W/65° NE	13	
	X-2▲	37.38	EL-15.99	N40° W/78° NE	14	
	I-9▲	214.83	EL-186.18	N43° W/75° NE	10	
	X-4▲	143.95	EL-118.01	—	19	
	J-9▲	58.65	EL-34.50	N36° W/80° NE	8	
	J-9'	28.67	EL-7.52	N72° W/74° NE	8	
	J-9''	29.33	EL-8.23	N83° E/73° NW	16	
	T-1	3.34	EL-13.85	N60° W/68° NE	25	
	T-2	2.85	EL-14.85	N62° W/65° NE	22	
	T-3	2.55	EL-15.45	N61° W/67° NE	6	
	T-4	2.00	EL-16.85	N62° W/71° NE	4	
	K-10▲	16.95	EL15.64	N69° W/66° NE	8	
	K-11▲	110.53	EL-82.67	—	15	
	L-12.2	41.93	EL-10.97	N38° W/79° NE	27	
	L-12.5	174.18	EL-138.38	N85° W/66° NE	9	
	M-12.5	63.43	EL-35.33	N62° W/72° NE	8	
	M-12.5'	51.65	EL-26.59	N51° W/76° NE	10	
	M-12.5''	50.00	EL-23.90	N51° W/79° NE	8	
	N-13	11.10	EL26.53	N50° W/75° NE	18	
	N-13'	23.39	EL15.13	N52° W/69° NE	26	
	N-13.5'	10.90	EL29.74	N87° E/73° NW	23	
	N-14	30.97	EL11.78	N36° W/80° NE	12	
	N-14.5	21.31	EL26.25	N55° W/84° NE	11	
	O-14.5	26.93	EL14.42	N72° W/89° NE	8	
	O-16	20.36	EL12.72	N63° W/87° NE	18	
O-17	16.28	EL25.11	N74° W/85° NE	22		
O-17.3	41.82	EL8.81	N75° W/78° NE	16		
O-17.5	25.29	EL22.77	N76° W/80° NE	6		

▲:建設時のボーリング孔

※:コアが岩片状、細片状、土砂状を呈している、あるいは掘進時のコア採取不良区間、逸水により、破碎部の有無が確認できないが、周辺ボーリング孔で確認された断層の出現深度、走向傾斜から考慮して、断層が連続すると判断して抽出したもの。

◆:コア観察による傾斜

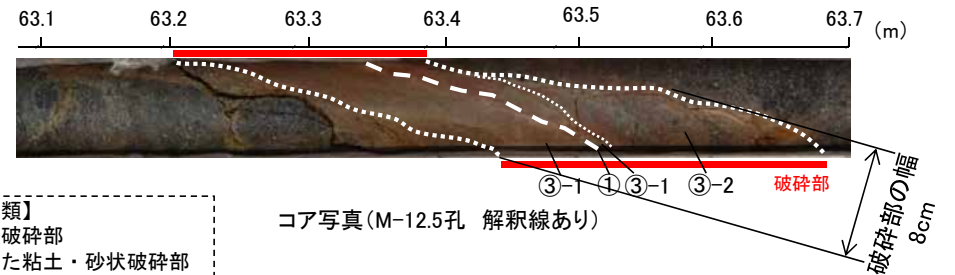
赤字:H29.3.10審査会合以降に追加したデータ

断層の破碎部性状一覧表  
(2/4)

名称	孔名	確認深度 (m)	標高 (m)	走向・傾斜 (走向は真北)	破碎部の幅 (cm)	破碎部の幅 平均値 (cm)
S-2・S-6	M-5▲	51.75	EL-42.00	—	17	31
	L-6'	13.82	EL-2.29	N12° E/58° NW	33	
	K-5▲	94.44	EL-80.13	70° ◆	39	
	K-6▲	39.17	EL-23.31	N35° E/60° NW	54	
	I-5▲	126.15	EL-107.91	—	15	
	I-6▲	67.20	EL-47.27	—	※	
	R-4.5	184.44	EL-173.37	N18° E/59° NW	4	
	R-5▲	155.50	EL-144.38	—	14	
	SC-1▲	36.27	EL-6.20	N24° E/44° NW	16	
	SE-2▲	52.18	EL-6.46	—	43	
	H-7▲	20.59	EL-4.67	N17° E/50° NW	20	
	H-6.6	53.80	EL-42.70	N4° E/57° NW	72	
	H-6.5	37.62	EL-22.20	N9° W/55° SW	42	
	H-6.5'	34.55	EL-13.41	N7° W/74° SW	76	
	H-6.4	33.90	EL-12.88	N24° E/57° NW	53	
	R-6▲	90.90	EL-79.67	N8° E/64° NW	26	
	SC-4▲	63.65	EL-6.10	—	19	
	R-7▲	28.23	EL-16.95	N14° E/52° NW	39	
	G-7▲	53.85	EL-38.60	N12° E/60° NW	24	
	F-8▲	26.40	EL-5.66	—	※	
	F-8.5	8.93	EL12.13	N3° E/50° NW	29	
	E-8.5	14.40	EL6.74	NS/55° W	18	
	E-8▲	38.05	EL-21.91	N18° E/77° NW	14	
	E-8.6	11.70	EL9.41	NS/45° W	55	
	E-8.7	10.09	EL10.93	N10° E/56° NW	56	
	C-9.1	10.82	EL11.03	N27° E/57° NW	1	
	C-9.2	10.56	EL11.52	N12° E/56° NW	1	

【破碎部の幅の算定の考え方】

・面の最大傾斜角に対して直交方向における、粘土状破碎部、固結した破碎部を含めた最大値を破碎部の幅としている。



- 【破碎部の分類】
- ① 粘土状破碎部
  - ③-1 固結した粘土・砂状破碎部
  - ③-2 固結した角礫状破碎部

# 破砕部の性状一覧表②(陸域)

断層の破砕部性状一覧表  
(3/4)

名称	孔名	確認深度 (m)	標高 (m)	走向・傾斜 (走向は真北)	破砕部の幅 (cm)	破砕部の幅 平均値 (cm)
S-4	I-8▲	38.10	EL-16.20	—	4	9
	R-7▲	112.30	EL-101.02	—	3	
	H-8▲	58.15	EL-38.78	—	※	
	2X-2▲	24.70	EL-12.18	—	※	
	SE-1▲	35.90	EL-6.29	—	※	
	No.3▲	25.35	EL-6.38	N39° E/38° NW	16	
	H-6.4	94.65	EL-55.84	N39° E/56° NW	17	
	R-8▲	61.45	EL-48.34	—	1	
	2V-2▲	46.40	EL-33.12	N43° E/63° NW	8	
	No.2▲	13.60	EL-6.37	—	※	
	2V-3▲	37.30	EL-17.47	—	※	
	R-9▲	19.33	EL1.72	N45° E/41° NW	20	
	2U-4▲	39.45	EL-18.32	N58° E/72° NW	8	
	2V-5▲	10.97	EL10.06	—	※	
	G-9▲	59.44	EL-37.77	N61° E/70° NW	16	
	No.4▲	10.85	EL-6.47	N43° E/69° NW	8	
	2T-4▲	62.15	EL-41.00	—	※	
	SA-2▲	18.28	EL-6.04	—	※	
2T-6▲	26.78	EL-5.62	—	※		
F-9▲	107.63	EL-86.45	N31° E/62° NW	4		
No.1▲	30.15	EL-6.36	N29° E/44° NW	1		
S-5*	SC-2▲	32.68	EL-6.29	—	1	2
	R-8▲	25.50	EL-12.39	N13° E/70° SE	2	
	H-8▲	35.55	EL-16.18	—	※	

\*: 試掘坑で破砕部の幅の最大値3cmを確認(データ集7 P.7-13参照)

▲: 建設時のボーリング孔

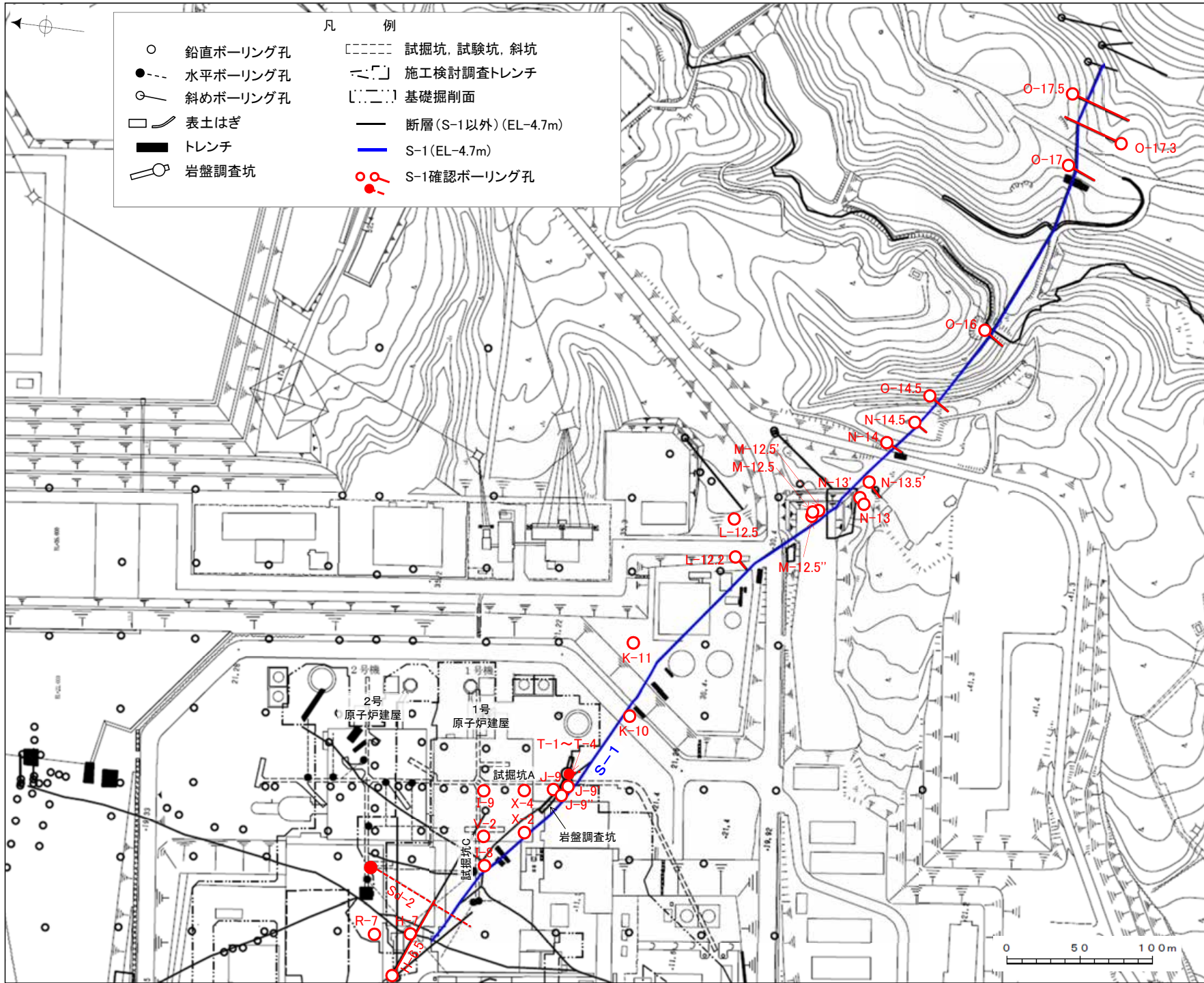
※: コアが岩片状、細片状、土砂状を呈している、あるいは掘進時のコア採取不良区間、逸水により、破砕部の有無が確認できないが、周辺ボーリング孔で確認された断層の出現深度、走向傾斜から考慮して、断層が連続すると判断して抽出したもの。

赤字: H29.3.10審査会合以降に追加したデータ

断層の破砕部性状一覧表  
(4/4)

名称	孔名	確認深度 (m)	標高 (m)	走向・傾斜 (走向は真北)	破砕部の幅 (cm)	破砕部の幅 平均値 (cm)
S-7	I-5▲	112.19	EL-93.95	N41° W/60° SW	25	10
	I-6▲	41.05	EL-21.12	—	※	
	H-5.7	13.20	EL-0.55	N56° W/65° SW	13	
	H-5.5	31.20	EL-20.14	N46° W/59° SW	15	
	H-5.4	40.20	EL-29.15	N35° W/55° SW	14	
	H-5.2	55.15	EL-44.08	N19° W/67° SW	6	
	R-5▲	47.85	EL-36.73	—	3	
	R-4.5	84.20	EL-73.13	N43° W/55° SW	3	
	G-5▲	29.68	EL-16.02	—	3	
	F-4.6	29.70	EL-18.60	N17° W/76° SW	12	
	F-4.2	14.25	EL1.04	N44° W/73° SW	7	
	S-8	G-7▲	51.65	EL-36.40	—	
F-7.0		16.09	EL-4.98	N10° W/48° SW	6	
F-7▲		24.50	EL-5.10	—	13	
F-6.9		19.15	EL-8.06	N3° E/48° NW	4	
F-6.8		23.75	EL-12.63	N14° W/56° SW	14	
F-6.79		21.30	EL-10.18	N10° W/47° SW	18	
F-6.74		22.10	EL-11.03	N10° W/46° SW	7	
D-6.1		21.65	EL-7.50	N21° W/57° SW	12	
C-5.4		19.40	EL-7.51	N31° W/51° SW	8	
J-7▲		13.51	EL2.97	N36° E/72° NW	19	
S-9	SC-5▲	10.39	EL-6.13	N35° E/41° NW	12	9
	I-7▲	53.10	EL-32.63	—	2	
	H-6.5	80.75	EL-60.28	N36° E/61° NW	4	
B-1	岩盤 調査坑	—	—	N49° W/86° NE	6 (No.3~26 切羽底盤平均)	6
B-2	H-6.5	46.30	EL-29.86	N31° E/62° NW	4	6
	H-6.5'	40.90	EL-17.90	N28° E/50° NW	2	
	H-6.4	43.10	EL-19.39	N13° W/46° SW	10	
	H-7▲	30.30	EL-14.38	—	9	
B-3	J-6.1	27.90	EL-10.31	N37° W/84° NE	3	3

# 位置図(S-1)



# S-1の性状一覧表(1/9)

名称	孔名	深度(m) (標高(m))	走向・傾斜 (走向は真北)	破碎部の幅 (cm)	コア写真 <div style="display: flex; align-items: center; gap: 10px;"> <span style="color: red;">—</span> 破碎部           <div style="margin-left: 20px;">             ① 粘土状破碎部              ③-1 固結した粘土・砂状破碎部              ③-2 固結した角礫状破碎部           </div> </div>
S-1	R-7	153.35 (EL-142.07)	70° ◆	17	
	H-6.5	65.45 (EL-46.77)	N54° W/74° NE	10	
	H-7	82.85 (EL-66.93)	—	※	
	Sd-2 (水平)	62.71 (EL-6.54)	70° ◆	11	

◆:コア観察による傾斜 ※:コア形状が不良で確認できない

赤字:H29.3.10審査会合以降に追加したデータ

# S-1の性状一覧表(2/9)

名称	孔名	深度(m) (標高(m))	走向・傾斜 (走向は真北)	破碎部の幅 (cm)	コア写真 <div style="display: flex; align-items: center; gap: 10px;"> <span style="border-bottom: 2px solid red; width: 20px; height: 2px;"></span> 破碎部           <div style="margin-left: 20px;">             ① 粘土状破碎部              ③-1 固結した粘土・砂状破碎部              ③-2 固結した角礫状破碎部           </div> </div>
S-1	I-8	49.73 (EL-27.83)	—	14	
	V-2	119.55 (EL-96.37)	N49° W/65° NE	13	
	X-2	37.38 (EL-15.99)	N40° W/78° NE	14	
	I-9	214.83 (EL-186.18)	N43° W/75° NE	10	

\* ③-2(岩片状)は、岩片に塑性流動状の変形が認められること及び条線が認められないことから、固結した角礫状破碎部と判断。

# S-1の性状一覧表(3/9)

名称	孔名	深度(m) (標高(m))	走向・傾斜 (走向は真北)	破碎部の幅 (cm)	コア写真 <div style="display: flex; align-items: center; justify-content: center;"> <div style="border-bottom: 2px solid red; width: 20px; height: 10px; margin-right: 5px;"></div> 破碎部           <div style="margin-left: 20px;">             ① 粘土状破碎部              ③-1 固結した粘土・砂状破碎部              ③-2 固結した角礫状破碎部           </div> </div>
S-1	X-4	143.95 (EL-118.01)	—	19	<p>143.2 143.3 143.4 143.5 143.6 143.7 143.8 (m)</p> <p>③-2(岩片状)</p> <p>143.8 143.9 144.0 144.1 144.2 144.3 144.4 (m)</p> <p>③-2(岩片状) ① ③-2(岩片状)</p>
	J-9	58.65 (EL-34.50)	N36° W/80° NE	8	<p>58.4 58.5 58.6 58.7 58.8 58.9 59.0 (m)</p> <p>③-2(岩片状) ①</p>
	J-9'	28.67 (EL-7.52)	N72° W/74° NE	8	<p>28.4 28.5 28.6 28.7 28.8 28.9 29.0 (m)</p> <p>③-1 ① ③-2</p>

\* ③-2(岩片状)は、岩片に塑性流動状の変形が認められること及び条線が認められないことから、固結した角礫状破碎部と判断。



# S-1の性状一覧表(4/9)

名称	孔名	深度(m) (標高(m))	走向・傾斜 (走向は真北)	破砕部の幅 (cm)	コア写真 <div style="display: flex; align-items: center; justify-content: center;"> <div style="width: 20px; height: 5px; background-color: red; margin-right: 5px;"></div> 破砕部                 </div> <div style="display: flex; flex-direction: column; align-items: center; margin-left: 10px;"> <div>① 粘土状破砕部</div> <div>③-1 固結した粘土・砂状破砕部</div> <div>③-2 固結した角礫状破砕部</div> </div>
S-1	J-9"	29.33 (EL-8.23)	N83° E/73° NW	16	<p>Scale: 28.9 to 29.5 (m). Fracture zone from 29.2 to 29.5 m. Labels: ③-1, ③-2, ①.</p>
	T-1 (水平)	3.34 (EL-13.85)	N60° W/68° NE	25	<p>Scale: 3.0 to 3.6 (m). Fracture zone from 3.2 to 3.5 m. Labels: ③-2, ①.</p>
	T-2 (水平)	2.85 (EL-14.85)	N62° W/65° NE	22	<p>Scale: 2.4 to 3.0 (m). Fracture zone from 2.6 to 2.9 m. Labels: ③-2, ①.</p>
	T-3 (水平)	2.55 (EL-15.45)	N61° W/67° NE	6	<p>Scale: 2.3 to 2.9 (m). Fracture zone from 2.5 to 2.6 m. Labels: ③-2, ①, ③-1.</p>

# S-1の性状一覧表(5/9)

名称	孔名	深度(m) (標高(m))	走向・傾斜 (走向は真北)	破砕部の幅 (cm)	コア写真 破砕部 ① 粘土状破砕部 ③-1 固結した粘土・砂状破砕部 ③-2 固結した角礫状破砕部
S-1	T-4 (水平)	2.00 (EL-16.85)	N62° W/71° NE	4	
	K-10	16.95 (EL15.64)	N69° W/66° NE	8	
	K-11	110.53 (EL-82.67)	—	15	
	L-12.2 (傾斜80°)	41.93 (EL-10.97)	N38° W/79° NE	27	

\* ③-2(岩片状)は、岩片に塑性流動状の変形が認められること及び条線が認められないことから、固結した角礫状破砕部と判断。

# S-1の性状一覧表(6/9)

名称	孔名	深度(m) (標高(m))	走向・傾斜 (走向は真北)	破碎部の幅 (cm)	コア写真 <div style="display: flex; align-items: center; justify-content: center;"> <div style="width: 20px; height: 2px; background-color: red; margin-right: 5px;"></div> 破碎部                 </div> <div style="margin-left: 20px;">                     ① 粘土状破碎部                      ③-1 固結した粘土・砂状破碎部                      ③-2 固結した角礫状破碎部                 </div>
S-1	L-12.5	174.18 (EL-138.38)	N85° W/66° NE	9	
	M-12.5	63.43 (EL-35.33)	N62° W/72° NE	8	
	M-12.5'	51.65 (EL-26.59)	N51° W/76° NE	10	
	M-12.5''	50.00 (EL-23.90)	N51° W/79° NE	8	

# S-1の性状一覧表(7/9)

名称	孔名	深度(m) (標高(m))	走向・傾斜 (走向は真北)	破砕部の幅 (cm)	コア写真 破砕部 ① 粘土状破砕部 ③-1 固結した粘土・砂状破砕部 ③-2 固結した角礫状破砕部
S-1	N-13	11.10 (EL26.53)	N50° W/75° NE	18	<p>Core photograph for N-13 showing soil layers with fracture zones. The top part shows a fracture zone between 10.7 and 10.8m, and another between 11.3 and 11.4m. Labels ③-2 and ① are present.</p>
	N-13'	23.39 (EL15.13)	N52° W/69° NE	26	<p>Core photograph for N-13' showing soil layers with fracture zones. The top part shows a fracture zone between 23.2 and 23.3m. The bottom part shows fracture zones between 11.3 and 11.4m, and 11.4 and 11.5m. Labels ①, ③-1, and ③-2 are present.</p>

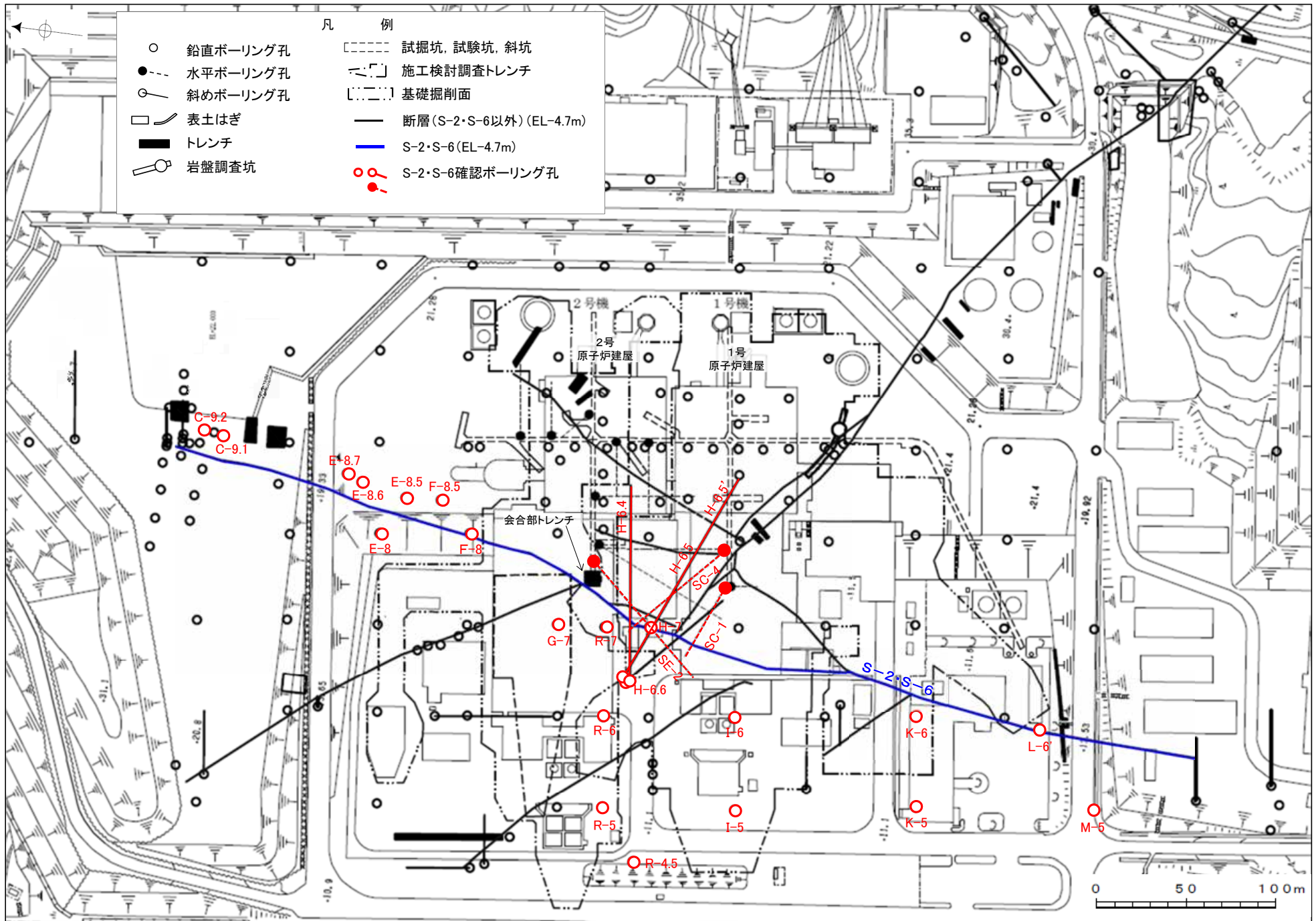
# S-1の性状一覧表(8/9)

名称	孔名	深度(m) (標高(m))	走向・傾斜 (走向は真北)	破砕部の幅 (cm)	コア写真 破砕部 ① 粘土状破砕部 ③-1 固結した粘土・砂状破砕部 ③-2 固結した角礫状破砕部
S-1	N-13.5' (傾斜73°)	10.90 (EL29.74)	N87° E/73° NW	23	
	N-14 (傾斜73°)	30.97 (EL11.78)	N36° W/80° NE	12	
	N-14.5 (傾斜73°)	21.31 (EL26.25)	N55° W/84° NE	11	
	O-14.5 (傾斜73°)	26.93 (EL14.42)	N72° W/89° NE	8	

# S-1の性状一覧表(9/9)

名称	孔名	深度(m) (標高(m))	走向・傾斜 (走向は真北)	破砕部の幅 (cm)	コア写真 破砕部 ① 粘土状破砕部 ③-1 固結した粘土・砂状破砕部 ③-2 固結した角礫状破砕部
S-1	O-16 (傾斜73°)	20.36 (EL12.72)	N63° W/87° NE	18	
	O-17 (傾斜70°)	16.28 (EL25.11)	N74° W/85° NE	22	
	O-17.3 (傾斜45°)	41.82 (EL8.81)	N75° W/78° NE	16	
	O-17.5 (傾斜45°)	25.29 (EL22.77)	N76° W/80° NE	6	

# 位置図(S-2・S-6)



# S-2・S-6の性状一覧表(1/9)

名称	孔名	深度(m) (標高(m))	走向・傾斜 (走向は真北)	破砕部の幅 (cm)	コア写真 破砕部 ① 粘土状破砕部 ③-1 固結した粘土・砂状破砕部 ③-2 固結した角礫状破砕部
S-2・S-6	M-5	51.75 (EL-42.00)	—	17	
	L-6'	13.82 (EL-2.29)	N12° E/58° NW	33	
	K-5	94.44 (EL-80.13)	70° ◆	39	

◆:コア観察による傾斜



# S-2・S-6の性状一覧表(2/9)

名称	孔名	深度(m) (標高(m))	走向・傾斜 (走向は真北)	破碎部の幅 (cm)	コア写真 <div style="display: flex; justify-content: space-between; align-items: center;"> <span>コア写真</span> <span>— 破碎部</span> <ul style="list-style-type: none"> <li>① 粘土状破碎部</li> <li>③-1 固結した粘土・砂状破碎部</li> <li>③-2 固結した角礫状破碎部</li> </ul> </div>
S-2・S-6	K-6	39.17 (EL-23.31)	N35° E/60° NW	54	
	I-5	126.15 (EL-107.91)	—	15	
	I-6	67.20 (EL-47.27)	—	※	

※: コア形状が不良で確認できない

\* ③-2(岩片状)は、岩片に塑性流動状の変形が認められること及び条線が認められないことから、固結した角礫状破碎部と判断。

# S-2・S-6の性状一覧表(3/9)

名称	孔名	深度(m) (標高(m))	走向・傾斜 (走向は真北)	破砕部の幅 (cm)	コア写真 破砕部 ① 粘土状破砕部 ③-1 固結した粘土・砂状破砕部 ③-2 固結した角礫状破砕部
S-2・S-6	R-4.5	184.44 (EL-173.37)	N18° E/59° NW	4	
	R-5	155.50 (EL-144.38)	—	14	
	SC-1 (水平)	36.27 (EL-6.20)	N24° E/44° NW	16	
	SE-2 (水平)	52.18 (EL-6.46)	—	43	
	H-7	20.59 (EL-4.67)	N17° E/50° NW	20	

\*③-2(岩片状)は、岩片に塑性流動状の変形が認められること及び条線が認められないことから、固結した角礫状破砕部と判断。

# S-2・S-6の性状一覧表(4/9)

名称	孔名	深度(m) (標高(m))	走向・傾斜 (走向は真北)	破碎部の幅 (cm)	コア写真 <div style="display: flex; align-items: center;"> <div style="width: 15px; height: 10px; background-color: red; margin-right: 5px;"></div> 破碎部                 </div> <div style="margin-left: 20px;">                     ① 粘土状破碎部                      ③-1 固結した粘土・砂状破碎部                      ③-2 固結した角礫状破碎部                 </div>
S-2・S-6	H-6.6	53.80 (EL-42.70)	N4° E/57° NW	72	<p>53.4 53.5 53.6 53.7 53.8 53.9 54.0 54.1 54.2 (m)</p> <p>③-2 ① ③-1 ① ③-1 ③-2</p> <p>54.2 54.3 54.4 54.5 54.6 54.7 54.8 54.9 55.0 (m)</p> <p>③-2</p>
	H-6.5	37.62 (EL-22.20)	N9° W/55° SW	42	<p>37.4 37.5 37.6 37.7 37.8 37.9 38.0 (m)</p> <p>③-2 ① ③-1 ③-2</p>

赤字: H29.3.10審査会合以降に追加したデータ

# S-2・S-6の性状一覧表(5/9)

名称	孔名	深度(m) (標高(m))	走向・傾斜 (走向は真北)	破碎部の幅 (cm)	コア写真 <div style="display: flex; align-items: center; gap: 10px;"> <span style="color: red;">—</span> 破碎部           <ul style="list-style-type: none"> <li>① 粘土状破碎部</li> <li>③-1 固結した粘土・砂状破碎部</li> <li>③-2 固結した角礫状破碎部</li> </ul> </div>
S-2・S-6	H-6.5'	34.55 (EL-13.41)	N7° W/74° SW	76	<p>34.2 34.3 34.4 34.5 34.6 34.7 34.8 34.9 (m)</p> <p>35.0 35.1 35.2 35.3 35.4 35.5 (m)</p>
	H-6.4	33.90 (EL-12.88)	N24° E/57° NW	53	<p>33.3 33.4 33.5 33.6 33.7 33.8 33.9 34.0 34.1 (m)</p>

赤字: H29.3.10審査会合以降に追加したデータ

# S-2・S-6の性状一覧表(6/9)

名称	孔名	深度(m) (標高(m))	走向・傾斜 (走向は真北)	破碎部の幅 (cm)	コア写真 <div style="display: flex; justify-content: space-between; align-items: center;"> <span>コア写真</span> <span style="color: red;">—</span> 破碎部                 </div> <div style="font-size: small; margin-top: 5px;">                     ① 粘土状破碎部                      ③-1 固結した粘土・砂状破碎部                      ③-2 固結した角礫状破碎部                 </div>
S-2・S-6	R-6	90.90 (EL-79.67)	N8° E/64° NW	26	
	SC-4 (水平)	63.65 (EL-6.10)	—	19	
	R-7	28.23 (EL-16.95)	N14° E/52° NW	39	
	G-7	53.85 (EL-38.60)	N12° E/60° NW	24	

\* ③-2(岩片状)は、岩片に塑性流動状の変形が認められること及び条線が認められないことから、固結した角礫状破碎部と判断。

# S-2・S-6の性状一覧表(7/9)

名称	孔名	深度(m) (標高(m))	走向・傾斜 (走向は真北)	破碎部の幅 (cm)	コア写真 <div style="display: flex; align-items: center; gap: 10px;"> <span style="color: red;">—</span> 破碎部                 <div style="margin-left: 20px;">                     ① 粘土状破碎部                      ③-1 固結した粘土・砂状破碎部                      ③-2 固結した角礫状破碎部                 </div> </div>
S-2・S-6	F-8	26.40 (EL-5.66)	—	※	
	F-8.5	8.93 (EL12.13)	N3° E/50° NW	29	
	E-8.5	14.40 (EL6.74)	NS/55° W	18	
	E-8	38.05 (EL-21.91)	N18° E/77° NW	14	

※:コア形状が不良で確認できない

# S-2・S-6の性状一覧表(8/9)

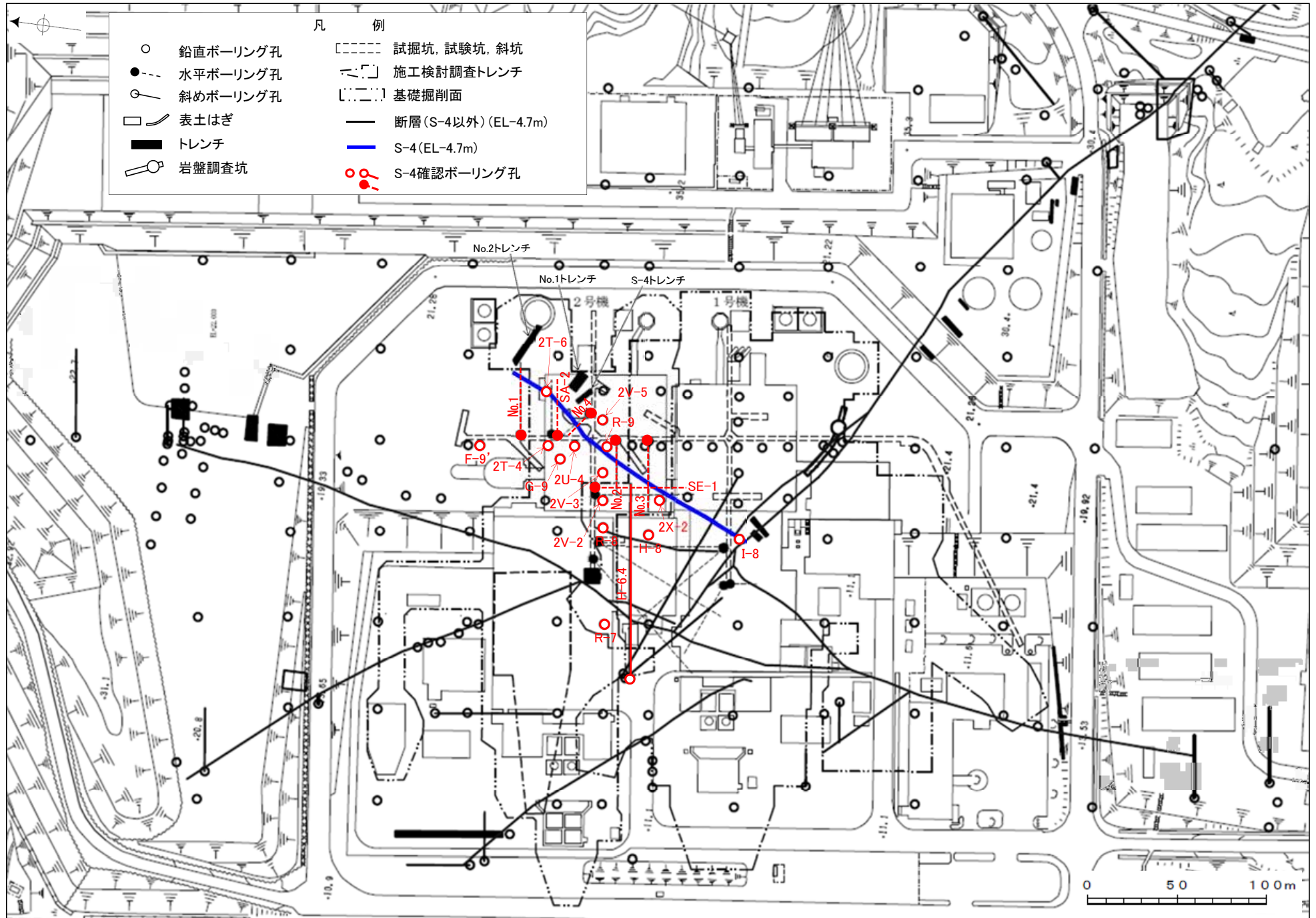
名称	孔名	深度(m) (標高(m))	走向・傾斜 (走向は真北)	破砕部の幅 (cm)	コア写真 破砕部 ① 粘土状破砕部 ③-1 固結した粘土・砂状破砕部 ③-2 固結した角礫状破砕部
S-2・S-6	E-8.6	11.70 (EL9.41)	NS/45° W	55	
	E-8.7	10.09 (EL10.93)	N10° E/56° NW	56	
	C-9.1	10.82 (EL11.03)	N27° E/57° NW	1	

# S-2・S-6の性状一覧表(9/9)

名称	孔名	深度(m) (標高(m))	走向・傾斜 (走向は真北)	破碎部の幅 (cm)	コア写真 <div style="display: flex; align-items: center;"> <div style="width: 20px; height: 2px; background-color: red; margin-right: 5px;"></div> <span>破碎部</span> </div> <div style="margin-left: 20px;"> <ul style="list-style-type: none"> <li>① 粘土状破碎部</li> <li>③-1 固結した粘土・砂状破碎部</li> <li>③-2 固結した角礫状破碎部</li> </ul> </div>
S-2・S-6	C-9.2	10.56 (EL11.52)	N12° E/56° NW	1	



# 位置図(S-4)



# S-4の性状一覧表(1/5)

名称	孔名	深度(m) (標高(m))	走向・傾斜 (走向は真北)	破碎部の幅 (cm)	コア写真 <div style="display: flex; justify-content: space-between; align-items: center;"> <span>① 粘土状破碎部</span> <span>③-1 固結した粘土・砂状破碎部</span> </div> <div style="display: flex; justify-content: space-between; align-items: center;"> <span>③-2 固結した角礫状破碎部</span> </div>
S-4	I-8	38.10 (EL-16.20)	—	4	
	R-7	112.30 (EL-101.02)	—	3	
	H-8	58.15 (EL-38.78)	—	※	
	2X-2	24.70 (EL-12.18)	—	※	
	SE-1 (水平)	35.90 (EL-6.29)	—	※	

※:コア形状が不良で確認できない

# S-4の性状一覧表(2/5)

名称	孔名	深度(m) (標高(m))	走向・傾斜 (走向は真北)	破碎部の幅 (cm)	コア写真 ① 粘土状破碎部 ③-1 固結した粘土・砂状破碎部 ③-2 固結した角礫状破碎部
S-4	No.3 (水平)	25.35 (EL-6.38)	N39° E/38° NW	16	
	H-6.4	94.65 (EL-55.84)	N39° E/56° NW	17	
	R-8	61.45 (EL-48.34)	—	1	
	2V-2	46.40 (EL-33.12)	N43° E/63° NW	8	
	No.2 (水平)	13.60 (EL-6.37)	—	※	

※: コア形状が不良または採取不良のため確認できない

赤字: H29.3.10審査会合以降に追加したデータ

\* ③-2(岩片状)は、岩片に塑性流動状の変形が認められること及び条線が認められないことから、固結した角礫状破碎部と判断。

# S-4の性状一覧表(3/5)

名称	孔名	深度(m) (標高(m))	走向・傾斜 (走向は真北)	破碎部の幅 (cm)	コア写真 <div style="display: flex; align-items: center;"> <div style="width: 20px; height: 2px; background-color: red; margin-right: 5px;"></div>                     破碎部                 </div> <div style="margin-left: 10px;">                     ① 粘土状破碎部                      ③-1 固結した粘土・砂状破碎部                      ③-2 固結した角礫状破碎部                 </div>
S-4	2V-3	37.30 (EL-17.47)	—	※	<div style="display: flex; align-items: center;"> <div style="margin-right: 10px;">37.0</div> <div style="margin-right: 10px;">37.1</div> <div style="margin-right: 10px;">37.2</div> <div style="margin-right: 10px;">37.3</div> <div style="margin-right: 10px;">37.4</div> <div style="margin-right: 10px;">37.5</div> <div style="margin-right: 10px;">37.6</div> <div style="margin-left: 10px;">(m)</div> </div>
	R-9	19.33 (EL1.72)	N45° E/41° NW	20	<div style="display: flex; align-items: center;"> <div style="margin-right: 10px;">19.2</div> <div style="margin-right: 10px;">19.3</div> <div style="margin-right: 10px;">19.4</div> <div style="margin-right: 10px;">19.5</div> <div style="margin-right: 10px;">19.6</div> <div style="margin-right: 10px;">19.7</div> <div style="margin-right: 10px;">19.8</div> <div style="margin-left: 10px;">(m)</div> </div>
	2U-4	39.45 (EL-18.32)	N58° E/72° NW	8	<div style="display: flex; align-items: center;"> <div style="margin-right: 10px;">39.2</div> <div style="margin-right: 10px;">39.3</div> <div style="margin-right: 10px;">39.4</div> <div style="margin-right: 10px;">39.5</div> <div style="margin-right: 10px;">39.6</div> <div style="margin-right: 10px;">39.7</div> <div style="margin-right: 10px;">39.8</div> <div style="margin-left: 10px;">(m)</div> </div>
	2V-5	10.97 (EL10.06)	—	※	<div style="display: flex; align-items: center;"> <div style="margin-right: 10px;">10.7</div> <div style="margin-right: 10px;">10.8</div> <div style="margin-right: 10px;">10.9</div> <div style="margin-right: 10px;">11.0</div> <div style="margin-right: 10px;">11.1</div> <div style="margin-right: 10px;">11.2</div> <div style="margin-right: 10px;">11.3</div> <div style="margin-left: 10px;">(m)</div> </div>
	G-9	59.44 (EL-37.77)	N61° E/70° NW	16	<div style="display: flex; align-items: center;"> <div style="margin-right: 10px;">59.2</div> <div style="margin-right: 10px;">59.3</div> <div style="margin-right: 10px;">59.4</div> <div style="margin-right: 10px;">59.5</div> <div style="margin-right: 10px;">59.6</div> <div style="margin-right: 10px;">59.7</div> <div style="margin-right: 10px;">59.8</div> <div style="margin-left: 10px;">(m)</div> </div>

※:コア形状が不良で確認できない


\*③-2(岩片状)は、岩片に塑性流動状の変形が認められること及び条線が認められないことから、固結した角礫状破碎部と判断。

# S-4の性状一覧表(4/5)

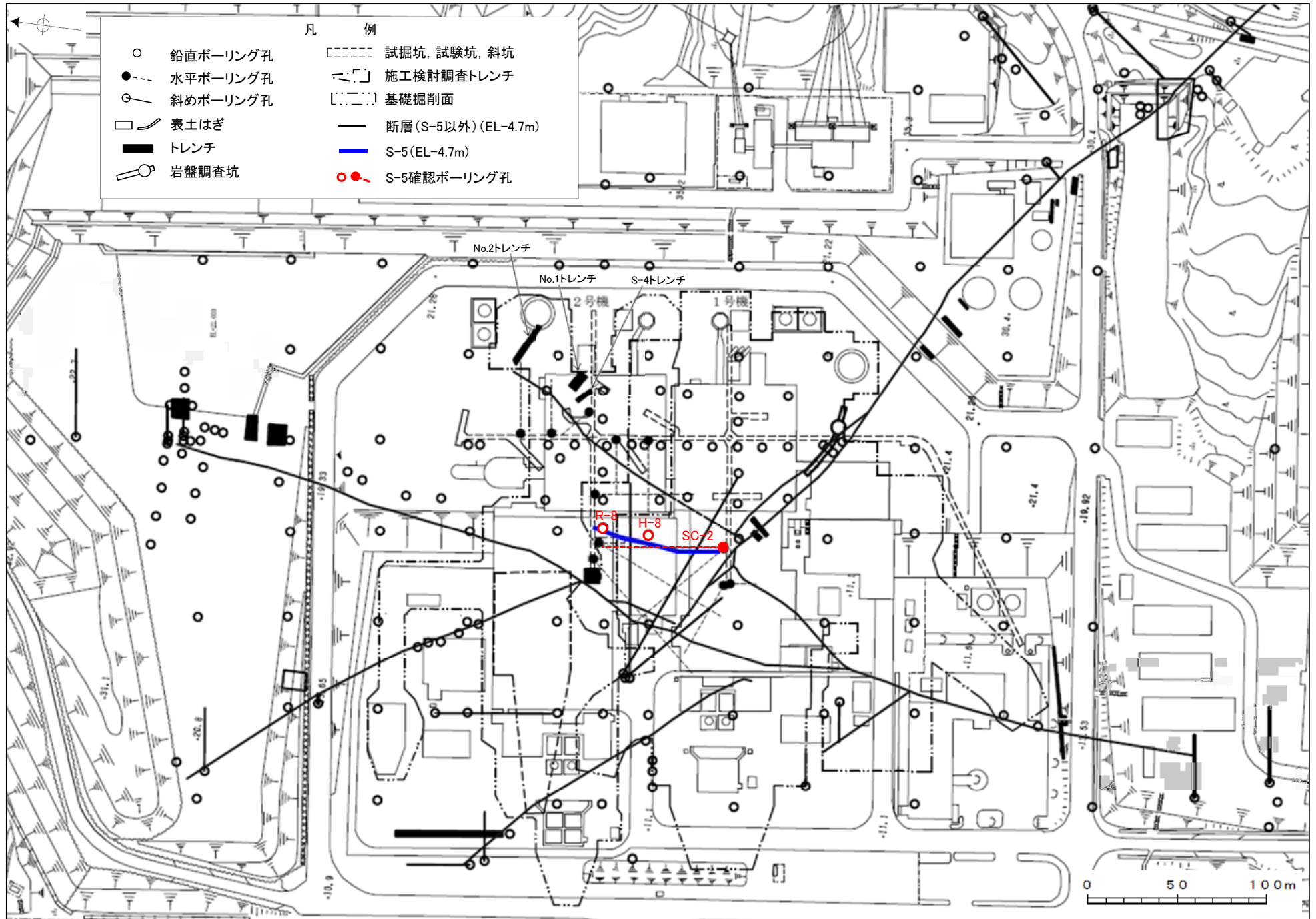
名称	孔名	深度(m) (標高(m))	走向・傾斜 (走向は真北)	破碎部の幅 (cm)	コア写真 <div style="display: flex; justify-content: space-between; align-items: center;"> <span>コア写真</span> <span>— 破碎部</span> </div> <div style="display: flex; justify-content: flex-end; margin-top: 5px;"> <ul style="list-style-type: none"> <li>① 粘土状破碎部</li> <li>③-1 固結した粘土・砂状破碎部</li> <li>③-2 固結した角礫状破碎部</li> </ul> </div>
S-4	No.4 (水平)	10.85 (EL-6.47)	N43° E/69° NW	8	
	2T-4	62.15 (EL-41.00)	—	※	
	SA-2 (水平)	18.28 (EL-6.04)	—	※	
	2T-6	26.78 (EL-5.62)	—	※	
	F-9'	107.63 (EL-86.45)	N31° E/62° NW	4	

※:コア形状が不良で確認できない

# S-4の性状一覧表(5/5)

名称	孔名	深度(m) (標高(m))	走向・傾斜 (走向は真北)	破碎部の幅 (cm)	コア写真 <div style="display: flex; align-items: center;"> <div style="width: 20px; height: 2px; background-color: red; margin-right: 5px;"></div> <span>破碎部</span> </div> <ul style="list-style-type: none"> <li>① 粘土状破碎部</li> <li>③-1 固結した粘土・砂状破碎部</li> <li>③-2 固結した角礫状破碎部</li> </ul>
S-4	No.1 (水平)	30.15 (EL-6.36)	N29° E/44° NW	1	<div style="display: flex; align-items: center;"> <div style="margin-right: 10px;"> <p>29.9      30.0      30.1      30.2      30.3      30.4      30.5</p> <p style="text-align: right; margin-right: 5px;">(m)</p> </div>  </div>

# 位置図(S-5)



# S-5の性状一覧表(1/1)

名称	孔名	深度(m) (標高(m))	走向・傾斜 (走向は真北)	破碎部の幅 (cm)	コア写真 ① 粘土状破碎部 ③-1 固結した粘土・砂状破碎部 ③-2 固結した角礫状破碎部
S-5	SC-2 (水平)	32.68 (EL-6.29)	-	1	
	R-8	25.50 (EL-12.39)	N13° E/70° SE	2	
	H-8	35.55 (EL-16.13)	-	※	

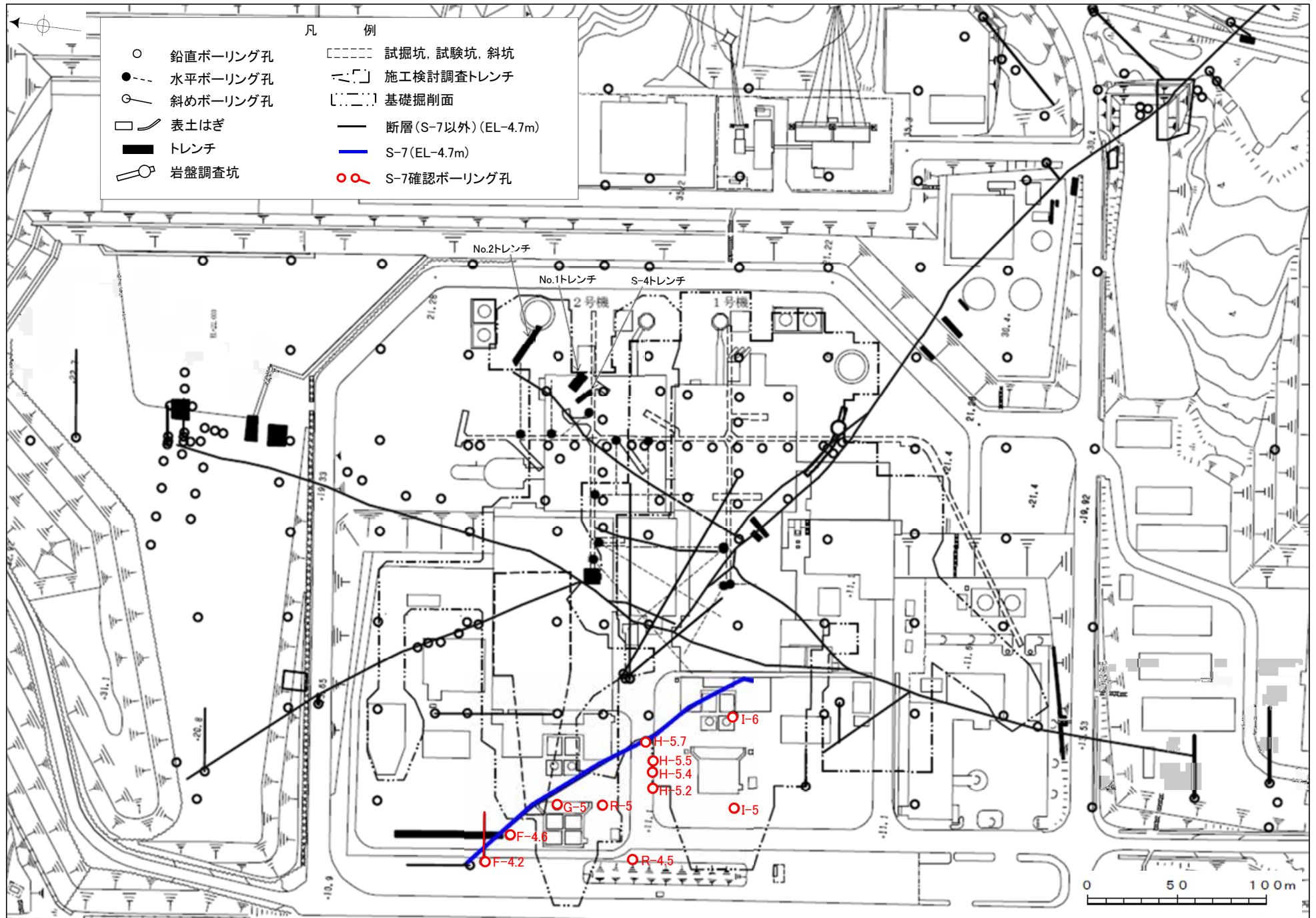
※:コア形状が不良で確認できない

\* 上記ボーリングコアにおいては、固結した破碎部は確認されないものの、基礎掘削面スケッチにおいて固結した破碎部に相当する「凝灰質な細粒部」の記載があることから、他断層と同じく、粘土状破碎部、固結した破碎部からなると判断。

\* 破碎部の幅の最大幅は、試掘坑調査で確認された3cm(データ集7 P.7-13参照)。



# 位置図(S-7)



# S-7の性状一覧表(1/3)

名称	孔名	深度(m) (標高(m))	走向・傾斜 (走向は真北)	破碎部の幅 (cm)	コア写真	① 粘土状破碎部 ③-1 固結した粘土・砂状破碎部 ③-2 固結した角礫状破碎部
S-7	I-5	112.19 (EL-93.95)	N41° W/60° SW	25		③-2
	I-6	41.05 (EL-21.12)	—	※		
	H-5.7	13.20 (EL-0.55)	N56° W/65° SW	13		③-1 ③-2 ① ③-1 ③-2
	H-5.5	31.20 (EL-20.14)	N46° W/59° SW	15		③-2

※:コア形状が不良で確認できない

赤字:H29.3.10審査会合以降に追加したデータ

\*③-2(岩片状)は、岩片に塑性流動状の変形が認められること及び条線が認められないことから、固結した角礫状破碎部と判断。

# S-7の性状一覧表(2/3)

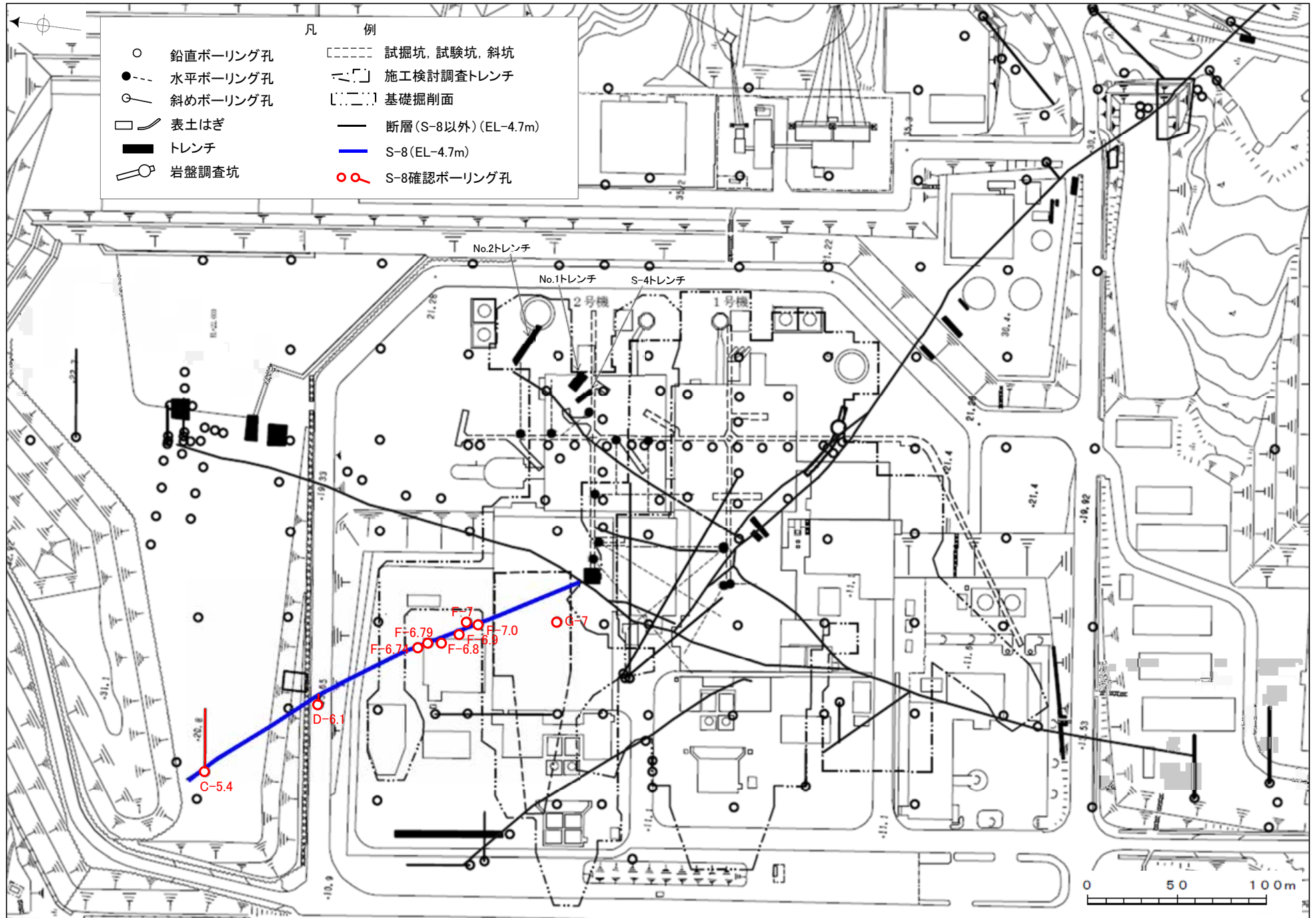
名称	孔名	深度(m) (標高(m))	走向・傾斜 (走向は真北)	破碎部の幅 (cm)	コア写真 <div style="display: flex; align-items: center; justify-content: flex-end;"> <span style="color: red; font-weight: bold; margin-right: 5px;">■</span> 破碎部           <div style="margin-left: 20px;">             ① 粘土状破碎部              ③-1 固結した粘土・砂状破碎部              ③-2 固結した角礫状破碎部           </div> </div>
S-7	H-5.4	40.20 (EL-29.15)	N35° W/55° SW	14	
	H-5.2	55.15 (EL-44.08)	N19° W/67° SW	6	
	R-5	47.85 (EL-36.73)	—	3	
	R-4.5	84.20 (EL-73.13)	N43° W/55° SW	3	
	G-5	29.68 (EL-16.02)	—	3	

# S-7の性状一覧表(3/3)

名称	孔名	深度(m) (標高(m))	走向・傾斜 (走向は真北)	破碎部の幅 (cm)	コア写真 <div style="display: flex; align-items: center; gap: 10px;"> <span style="color: red;">—</span> 破碎部           <ul style="list-style-type: none"> <li>① 粘土状破碎部</li> <li>③-1 固結した粘土・砂状破碎部</li> <li>③-2 固結した角礫状破碎部</li> </ul> </div>
S-7	F-4.6	29.70 (EL-18.60)	N17° W/76° SW	12	
	F-4.2	14.25 (EL1.04)	N44° W/73° SW	7	

赤字: H29.3.10審査会合以降に追加したデータ

# 位置図(S-8)



# S-8の性状一覧表(1/2)

名称	孔名	深度(m) (標高(m))	走向・傾斜 (走向は真北)	破碎部の幅 (cm)	コア写真 ① 粘土状破碎部 ③-1 固結した粘土・砂状破碎部 ③-2 固結した角礫状破碎部
S-8	G-7	51.65 (EL-36.40)	—	18	<p>51.4 51.5 51.6 51.7 51.8 51.9 52.0 (m)</p> <p>③-1 (岩片状)</p>
	F-7.0	16.09 (EL-4.98)	N10° W/48° SW	6	<p>15.8 15.9 16.0 16.1 16.2 16.3 16.4 (m)</p> <p>③-1 ① ③-1</p>
	F-7	24.50 (EL-5.10)	—	13	<p>24.2 24.3 24.4 24.5 24.6 24.7 24.8 (m)</p> <p>③-2</p>
	F-6.9	19.15 (EL-8.06)	N3° E/48° NW	4	<p>18.8 18.9 19.0 19.1 19.2 19.3 19.4 (m)</p> <p>③-2 ①</p>
	F-6.8	23.75 (EL-12.63)	N14° W/56° SW	14	<p>23.4 23.5 23.6 23.7 23.8 23.9 24.0 (m)</p> <p>③-2 ③-1 ① ③-1</p>

\*③-1(岩片状)は、岩片に塑性流動状の変形が認められること及び条線が認められないことから、固結した粘土・砂状破碎部と判断。

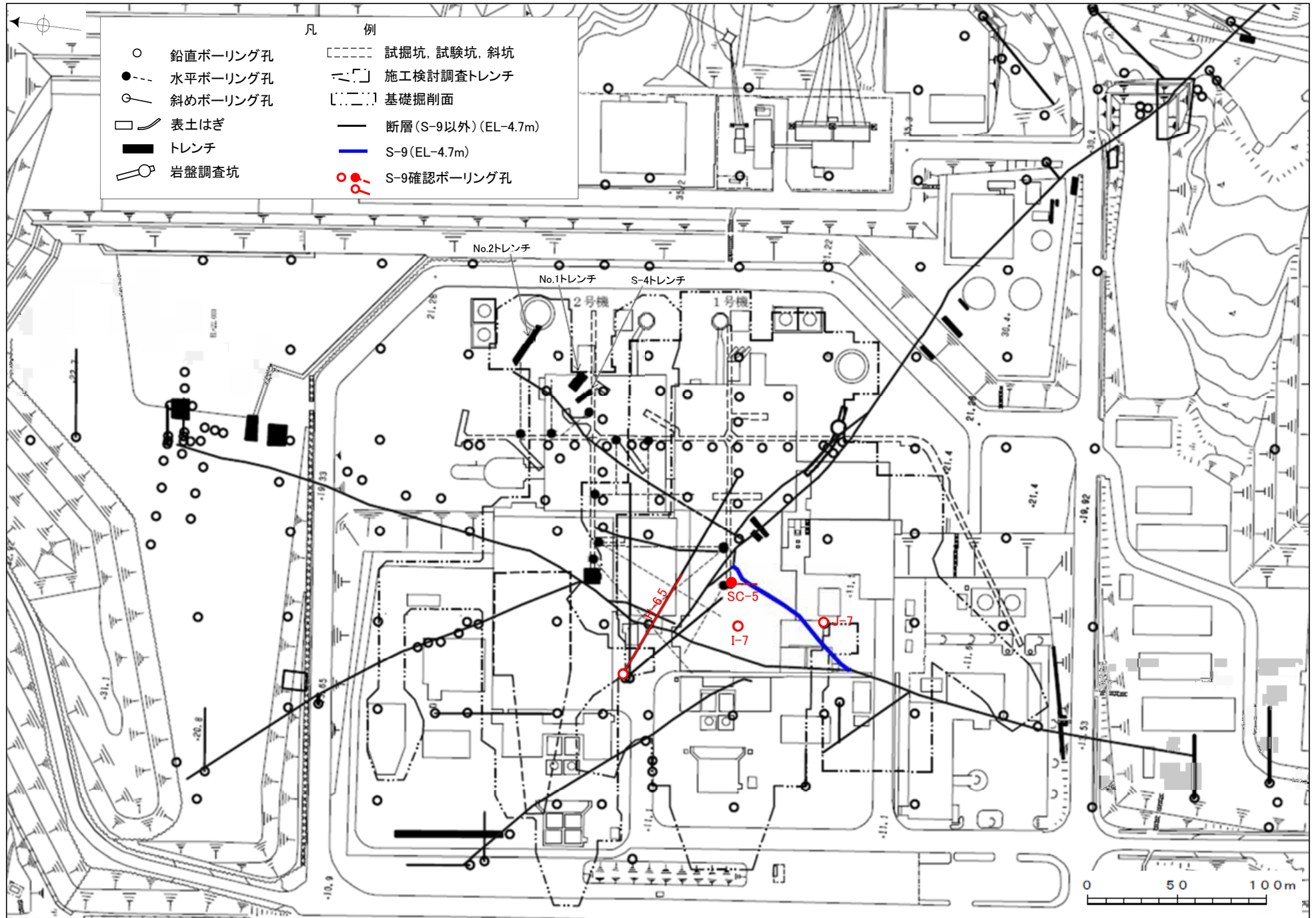
赤字:H29.3.10審査会合以降に追加したデータ

# S-8の性状一覧表(2/2)

名称	孔名	深度(m) (標高(m))	走向・傾斜 (走向は真北)	破碎部の幅 (cm)	コア写真 <div style="display: flex; align-items: center; gap: 10px;"> <span style="color: red;">—</span> 破碎部           <ul style="list-style-type: none"> <li>① 粘土状破碎部</li> <li>③-1 固結した粘土・砂状破碎部</li> <li>③-2 固結した角礫状破碎部</li> </ul> </div>
S-8	F-6.79	21.30 (EL-10.18)	N10° W/47° SW	18	
	F-6.74	22.10 (EL-11.03)	N10° W/46° SW	7	
	D-6.1	21.65 (EL-7.50)	N21° W/57° SW	12	
	C-5.4	19.40 (EL-7.51)	N31° W/51° SW	8	

赤字: H29.3.10審査会合以降に追加したデータ

# 位置図(S-9)





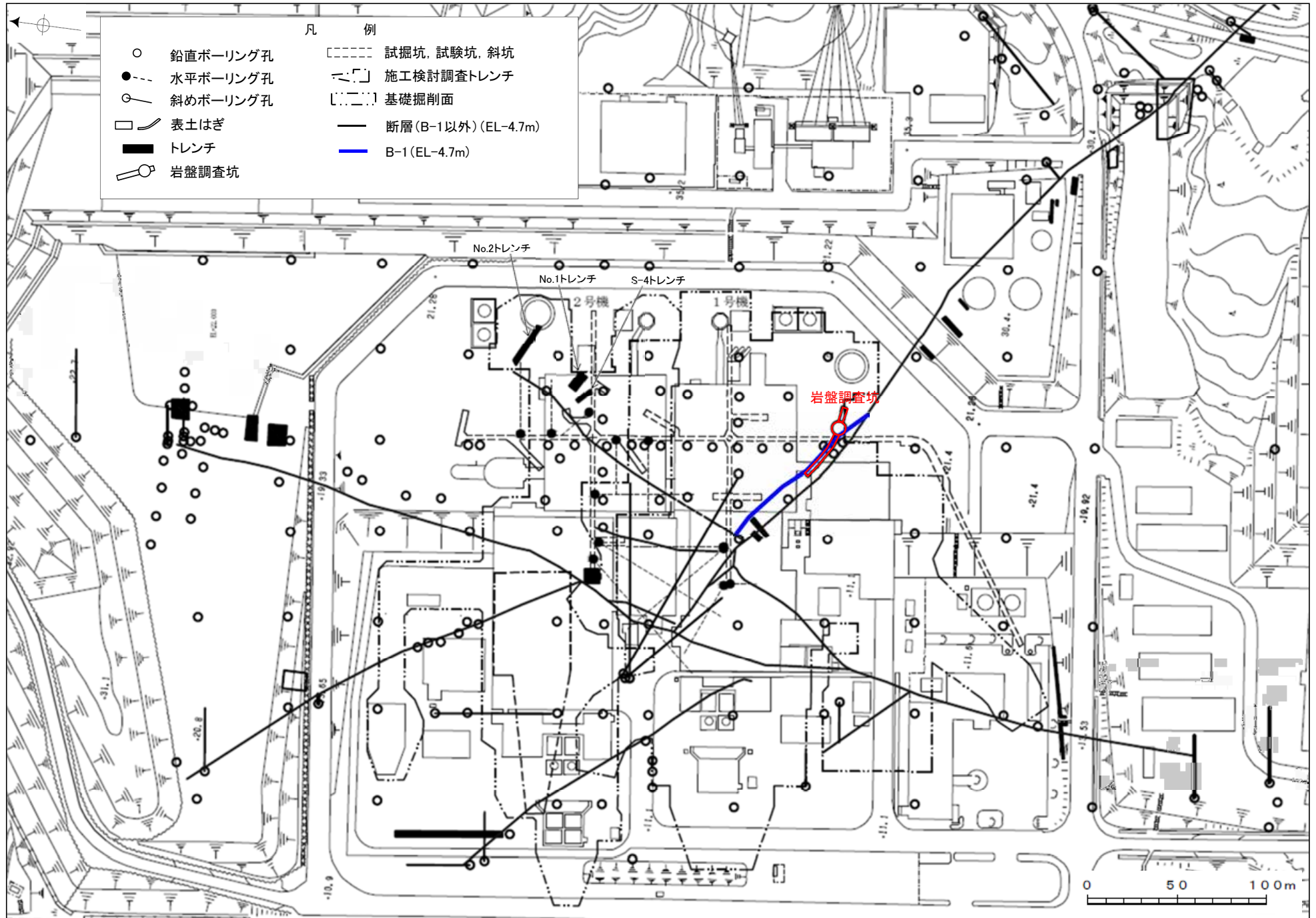
# S-9の性状一覧表(1/1)

名称	孔名	深度(m) (標高(m))	走向・傾斜 (走向は真北)	破碎部の幅 (cm)	コア写真 <div style="display: flex; align-items: center;"> <div style="width: 20px; height: 2px; background-color: red; margin-right: 5px;"></div> 破碎部                 </div> <div style="margin-left: 10px;">                     ① 粘土状破碎部                      ③-1 固結した粘土・砂状破碎部                      ③-2 固結した角礫状破碎部                 </div>
S-9	J-7	13.51 (EL2.97)	N36° E/72° NW	19	
	SC-5 (水平)	10.39 (EL-6.13)	N35° E/41° NW	12	
	I-7	53.10 (EL-32.63)	—	2	
	H-6.5	80.75 (EL-60.28)	N36° E/61° NW	4	

赤字: H29.3.10審査会合以降に追加したデータ

\* ③-2(岩片状)は、岩片に塑性流動状の変形が認められること及び条線が認められないことから、固結した角礫状破碎部と判断。

# 位置図(B-1)



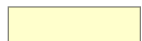
# B-1の性状一覧表

名称	一般走向・傾斜 (真北)	破砕部		露頭写真
		切羽番号	幅※(cm)	
B-1	N49° W/86° NE	No.3	4	<p>立坑</p> <p>右下写真箇所</p> <p>0 5m</p> <p>岩盤調査坑底盤 スケッチ</p>
		No.4	4	
		No.5	9	
		No.6	10	
		No.7	10	
		No.8	5	
		No.9	10	
		No.10	6	
		No.11	7	
		No.12	10	
		No.13	10	
		No.14	7	
		No.15	1	
		No.16	4	
		No.17	7	
		No.18	7	
		No.19	7	
		No.20	8	
		No.21	1	
		No.22	5	
		No.23	5	
		No.24	5	
		No.25	6	
		No.26	3	

岩盤調査坑写真(全景写真)

No.7付近底盤写真(破砕部加筆)

— 破砕部    ① 粘土状破砕部    ③-1 固結した粘土・砂状破砕部

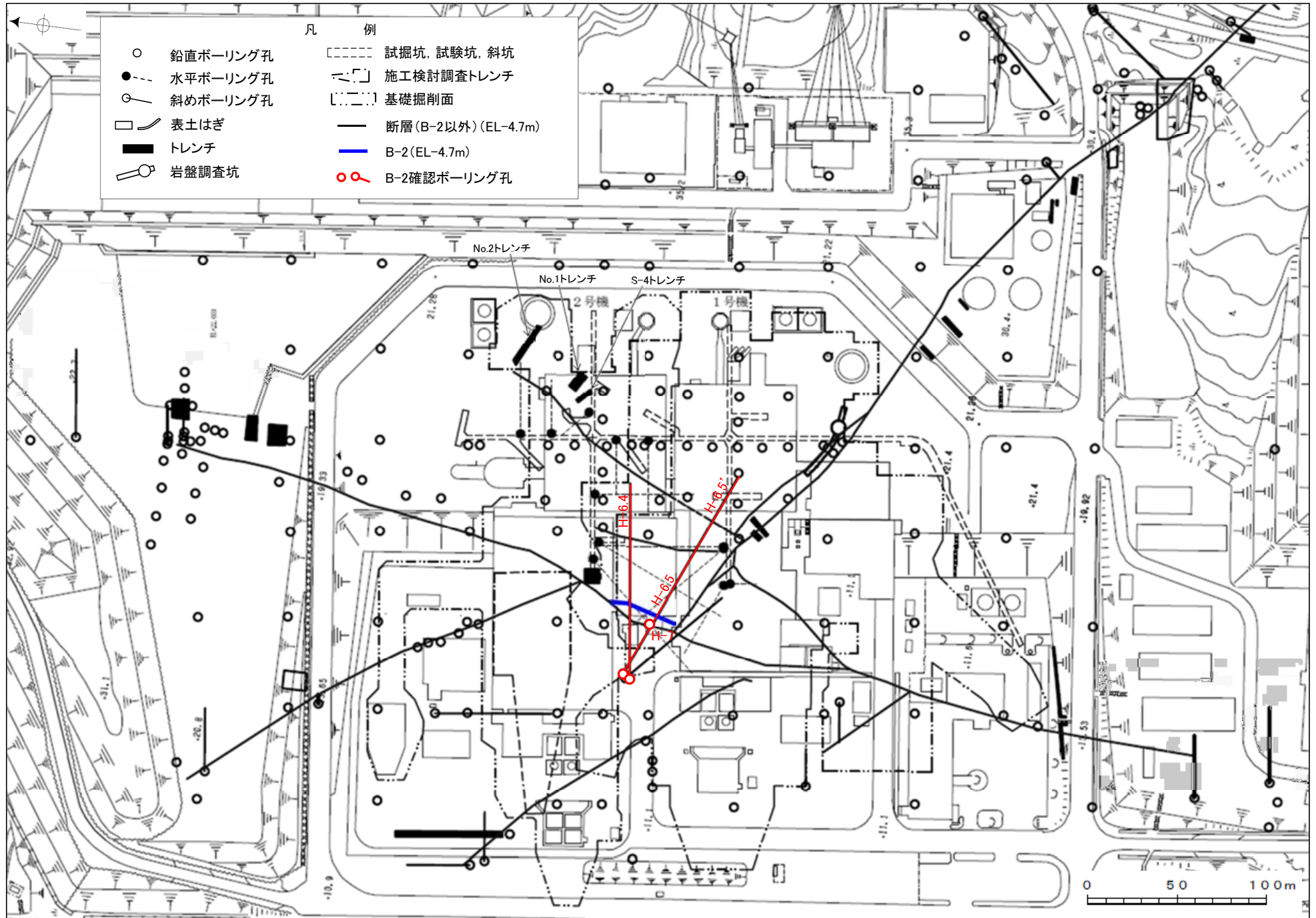


代表写真箇所

※:底盤面で測定した幅

赤字:H29.3.10審査会合以降に追加したデータ

# 位置図(B-2)

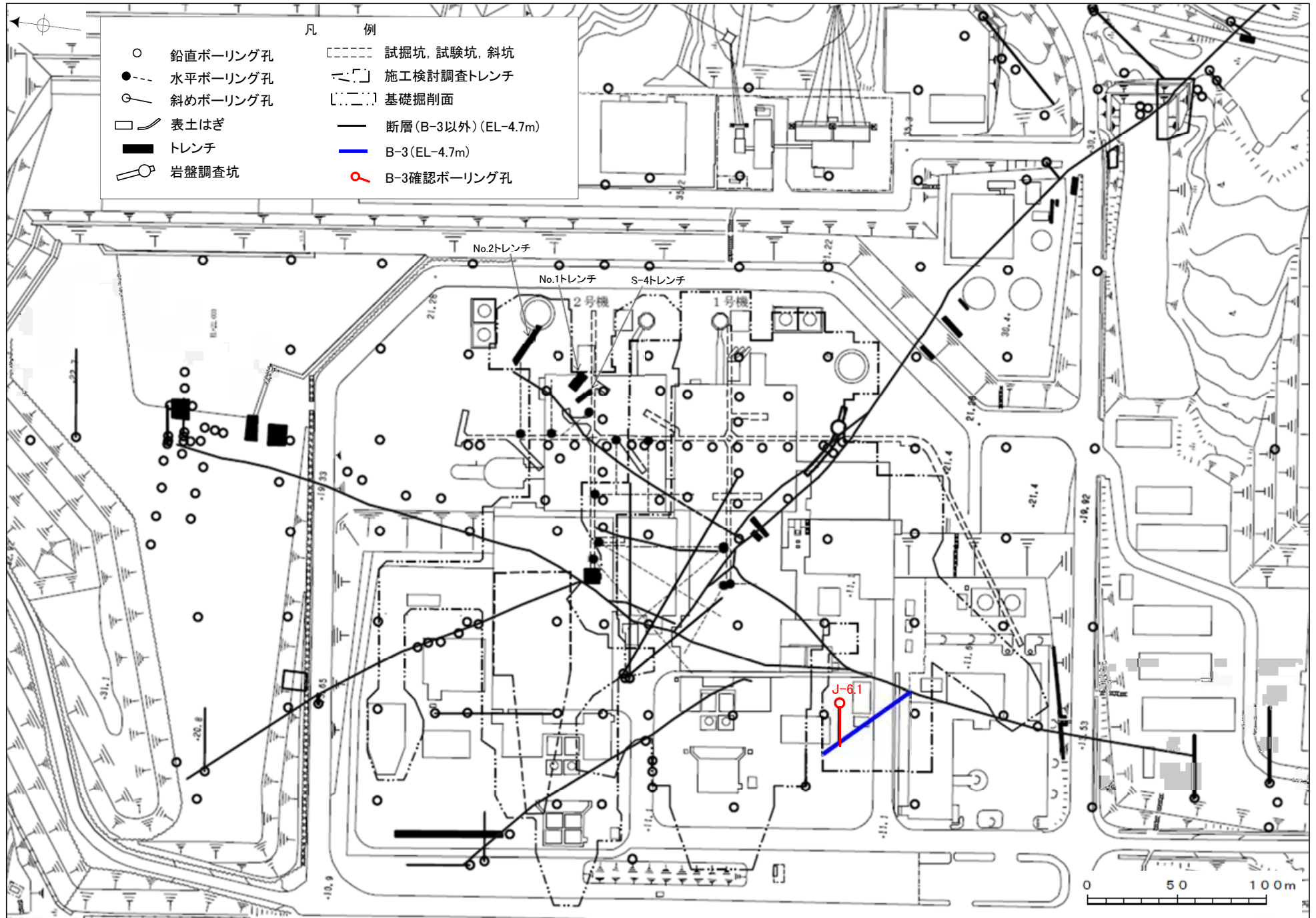


# B-2の性状一覧表(1/1)

名称	孔名	深度(m) (標高(m))	走向・傾斜 (走向は真北)	破砕部の幅 (cm)	コア写真 破砕部 ① 粘土状破砕部 ③-1 固結した粘土・砂状破砕部 ③-2 固結した角礫状破砕部
B-2	H-6.5	46.30 (EL-29.86)	N31° E/62° NW	4	
	H-6.5'	40.90 (EL-17.90)	N28° E/50° NW	2	
	H-6.4	43.10 (EL-19.39)	N13° W/46° SW	10	
	H-7	30.30 (EL-14.38)	—	9	

赤字: H29.3.10審査会合以降に追加したデータ

# 位置図(B-3)



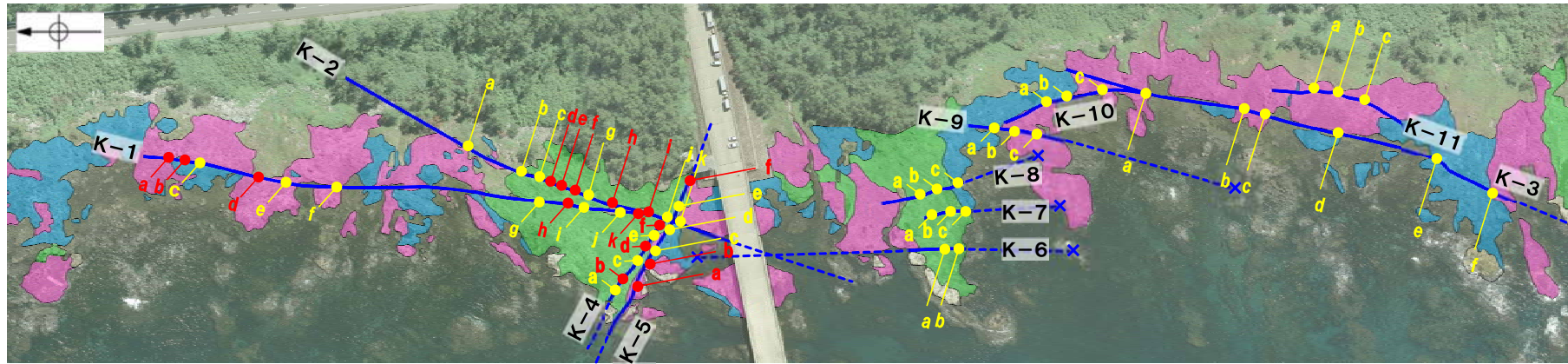
# B-3の性状一覧表(1/1)

名称	孔名	深度(m) (標高(m))	走向・傾斜 (走向は真北)	破碎部の幅 (cm)	コア写真
B-3	J-6.1	27.90 (EL-10.31)	N37° W/84° NE	3	<div style="display: flex; justify-content: space-between; align-items: center;"> <div style="text-align: center;"> <p>27.4      27.5      27.6      27.7      27.8      27.9      28.0 (m)</p> </div> <div style="text-align: right;"> <p>① 粘土状破碎部 ③-1 固結した粘土・砂状破碎部 ③-2 固結した角礫状破碎部</p> </div> </div>

赤字:H29.3.10審査会合以降に追加したデータ

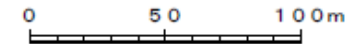
# 破碎部の性状一覧表(海岸部)

■破碎部の性状の一覧表を以下に示す。なお、取水路トンネルの破碎部の性状については、データ集3で示す。

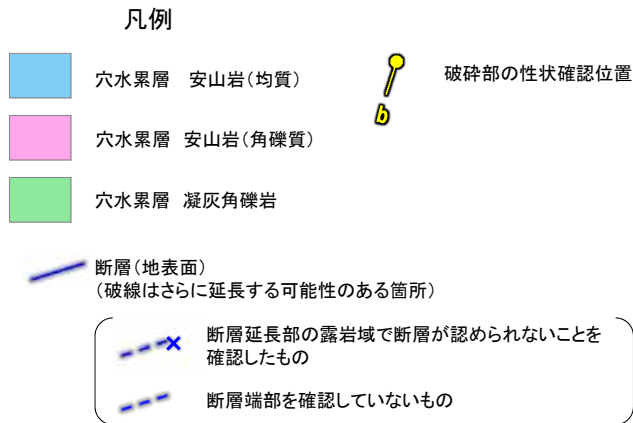


赤字:H29.3.10審査会合以降に追加したデータ

調査位置図



断層性状一覧表



名称	断層長さ※1	一般走向(真北)	傾斜	破碎部の幅※2	破碎部の分類
K-1	205m	N4° E	58° SE	10cm (19cm)	③-1 固結した粘土・砂状破碎部, ③-2 固結した角礫状破碎部
K-2	180m以上	N19° E	72° SE	20cm (46cm)	③-1 固結した粘土・砂状破碎部, ③-2 固結した角礫状破碎部
K-3	200m以上	N16° E	70° SE	15cm (19cm)	③-1 固結した粘土・砂状破碎部, ③-2 固結した角礫状破碎部
K-4	45m以上	N56° W	85° NE	14cm (26cm)	③-1 固結した粘土・砂状破碎部, ③-2 固結した角礫状破碎部
K-5	75m以上	N63° W	64° NE	12cm (18cm)	③-1 固結した粘土・砂状破碎部, ③-2 固結した角礫状破碎部
K-6	25m以上 160m以下	N2° W	60° NE	7cm (9cm)	③-2 固結した角礫状破碎部
K-7	20m以上 55m以下	N8° W	88° NE	8cm (11cm)	③-1 固結した粘土・砂状破碎部, ③-2 固結した角礫状破碎部
K-8	35m以上 70m以下	N15° W	80° NE	11cm (21cm)	③-1 固結した粘土・砂状破碎部, ③-2 固結した角礫状破碎部
K-9	40m以上 120m以下	N10° E	88° SE	7cm (12cm)	③-2 固結した角礫状破碎部
K-10	60m	N16° W	62° NE	9cm (10cm)	③-1 固結した粘土・砂状破碎部, ③-2 固結した角礫状破碎部
K-11	60m	N14° E	70° NW	9cm (9cm)	③-1 固結した粘土・砂状破碎部, ③-2 固結した角礫状破碎部

※1:露頭もしくはボーリングにより破碎部が認められないことを確認した地点までの長さ。端部が確認できなかったものを〇m以上と記載。海岸部において、延長部が海中となる箇所は、断層を直接確認した長さ及び延長の露岩域で断層が確認されなかった地点までの長さをそれぞれ算定し、〇m以上〇m以下という記載とした。

※2:地表面で測定した最大幅をP.8-3の考え方にに基づき、面の傾斜を考慮し、補正した平均の値(下段括弧内は最大値)

・K-1~K-11は、いずれも固結した粘土・砂状破碎部や固結した角礫状破碎部からなる。



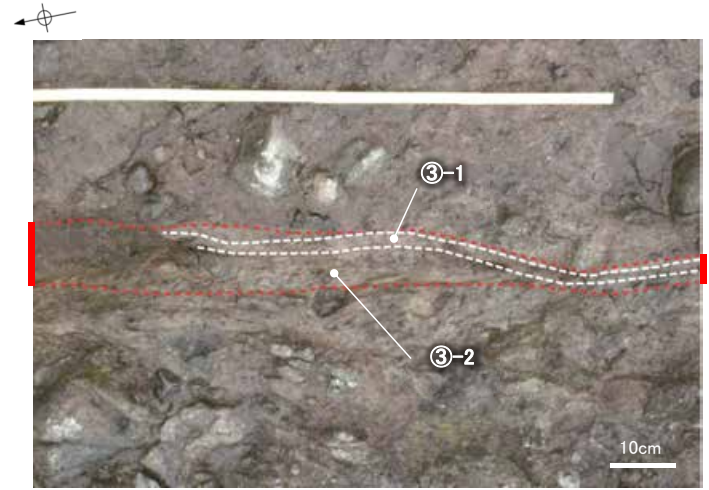
# K-1~K-11の性状一覧表(1/7)

名称	一般走向・傾斜 (真北)	破碎部		露頭写真
		測点番号	幅※(cm)	
K-1	N4° E/58° SE	a	4~7	 <p>←W E→</p> <p>布写真箇所</p> <p>K-1</p> <p>測定番号i地点 遠景</p>
		b	6~8	
		c	3~5	
		d	7~10	
		e	10~15	
		f	20~22	
		g	10	
		h	10~15	
		i	4~12	
		j	10~15	
		k	8~12	

▬ 破碎部   
 ③-1 固結した粘土・砂状破碎部  
 ③-2 固結した角礫状破碎部



測定番号i地点 遠景



測定番号i地点の破碎部の状況

# K-1~K-11の性状一覧表(2/7)

名称	一般走向・傾斜 (真北)	破砕部		露頭写真
		測点番号	幅※(cm)	
K-2	19° E/72° SE	a	8~10	
		b	6~10	
		c	6~10	
		d	15~18	
		e	6~10	
		f	12~28	
		g	12~15	
		h	15~30	
		i	20~48	
		j	25~40	
		k	11~13	



←WNW ESE→

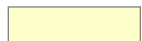
右写真箇所

K-2

測定番号j地点 遠景



測定番号j地点の破砕部の状況





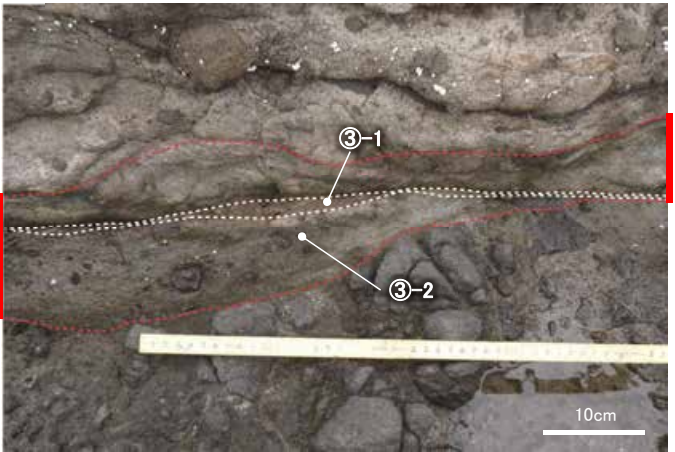
代表写真箇所

※: 地表面で測定した幅

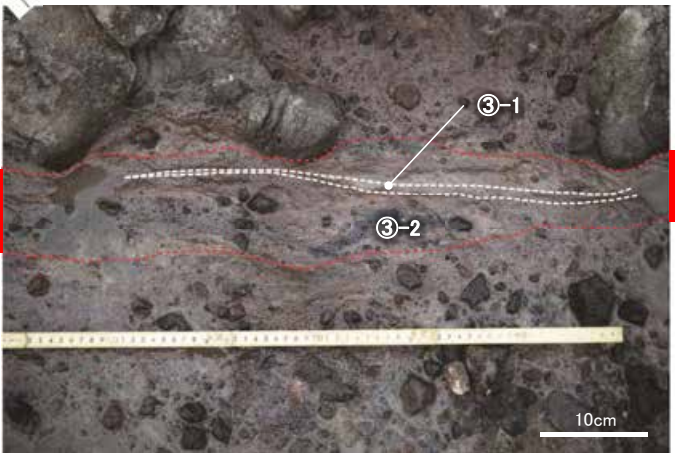
赤字: H29.3.10審査会合以降に追加したデータ

# K-1~K-11の性状一覧表(3/7)

名称	一般走向・傾斜 (真北)	破砕部		露頭写真
		測点番号	幅※(cm)	
K-3	N16° E/70° SE	a	15~18	 <p>←WNW ESE→</p> <p>右写真箇所</p> <p>K-3</p> <p>測定番号b地点 遠景</p>
		b	10~18	
		c	14~20	
		d	4~10	
		e	4~12	
		f	5~18	
K-4	N56° W/85° NE	a	10~26	 <p>←SW NE→</p> <p>右写真箇所</p> <p>K-4</p> <p>測定番号c地点 遠景</p>
		b	5~6	
		c	6~10	
		d	10~12	
		e	7~10	
		f	12~18	



測定番号b地点の破砕部の状況




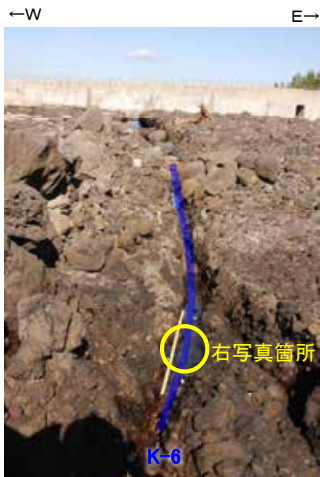
測定番号c地点の破砕部の状況

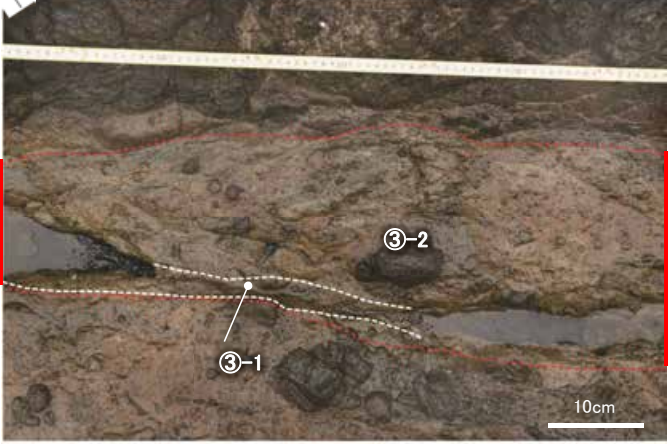
= 破砕部   
 ③-1 固結した粘土・砂状破砕部  
 ③-2 固結した角礫状破砕部

代表写真箇所 ※: 地表面で測定した幅

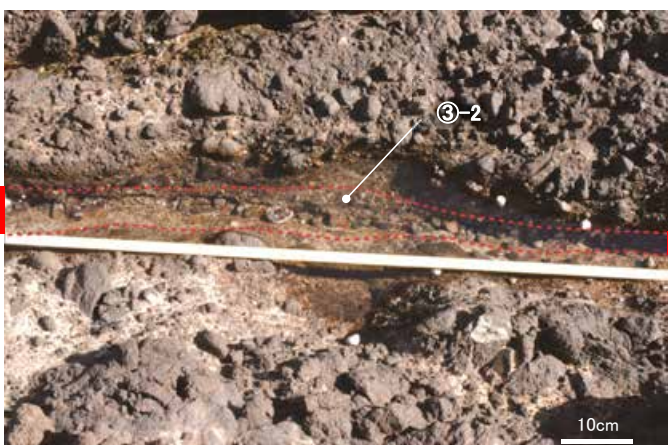
赤字: H29.3.10審査会合以降に追加したデータ

# K-1~K-11の性状一覧表(4/7)

名称	一般走向・傾斜 (真北)	破砕部		露頭写真
		測点番号	幅※(cm)	
K-5	N63° W/64° NE	a	5~15	 <p>測定番号c地点 遠景</p>
		b	15~20	
		c	12~20	
		d	8~12	
		e	3~5	
		f	5~7	
K-6	N2° W/60° NE	a	4~6	 <p>測定番号b地点 遠景</p>
		b	5~10	



測定番号c地点の破砕部の状況




測定番号b地点の破砕部の状況

— 破砕部    ③-1 固結した粘土・砂状破砕部  
 ③-2 固結した角礫状破砕部

代表写真箇所 ※: 地表面で測定した幅



赤字: H29.3.10審査会合以降に追加したデータ

# K-1~K-11の性状一覧表(5/7)

名称	一般走向・傾斜 (真北)	破碎部		露頭写真
		測点番号	幅※(cm)	
K-7	N8° W/88° NE	a	2~11	 <p>測点番号c地点 遠景</p>
		b	1~2	
		c	4~11	
K-8	N15° W/80° NE	a	10~21	 <p>測点番号a地点 遠景</p>
		b	1.5~10	
		c	3~4	


代表写真箇所 ※: 地表面で測定した幅

# K-1~K-11の性状一覧表(6/7)

名称	一般走向・傾斜 (真北)	破碎部		露頭写真
		測点番号	幅※(cm)	
K-9	N10° E/88° SE	a	10~12	
		b	2~4	
		c	2~6	
K-10	N16° W/62° NE	a	4~10	
		b	3~11	
		c	7~9	

代表写真箇所 ※: 地表面で測定した幅

# K-1~K-11の性状一覧表(7/7)

名称	一般走向・傾斜 (真北)	破碎部		露頭写真
		測点番号	幅※(cm)	
K-11	N14° E/70° NW	a	2~8	 <p>測定番号a地点 遠景</p>
		b	3~10	
		c	3~10	

代表写真箇所 ※:地表面で測定した幅

---

余白



---

## データ集9

### 陸域の断層会合部の詳細データ

---

1. 両端が他の断層を越えて連続しない形態	
(1) S-9とS-1, S-2・S-6の関係	..... 9-4
(2) B-1とS-1, S-4の関係	..... 9-7
(3) B-2とS-1, S-2・S-6の関係	..... 9-12
2. 片側が他の断層を越えて連続しない形態	
(1) S-8とS-2・S-6の関係	..... 9-17
(2) S-7とS-2・S-6の関係	..... 9-24
(3) S-5とS-4の関係	..... 9-28
(4) B-3とS-2・S-6の関係	..... 9-33
3. 評価対象断層間の関係	
(1) S-1とS-2・S-6の関係	..... 9-36
(2) S-4とS-1の関係	..... 9-44

---

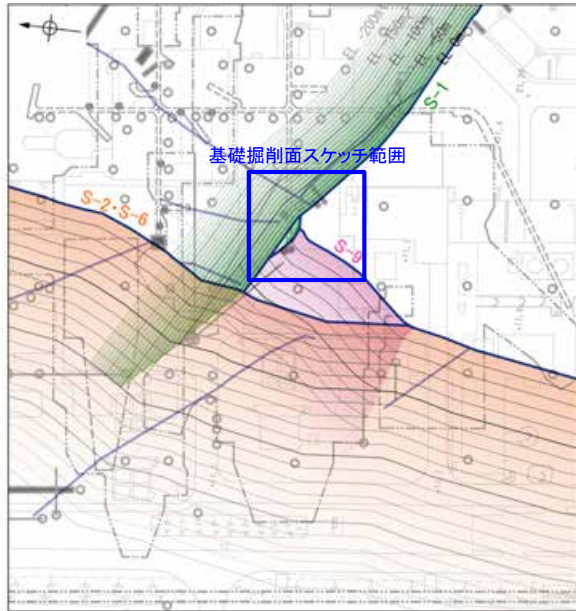
## 1. 両端が他の断層を越えて連続しない形態

---

(1) S-9とS-1, S-2・S-6の関係

# S-9とS-1, S-2・S-6の関係

■基礎掘削面におけるS-9とS-1の関係を示す。



位置図

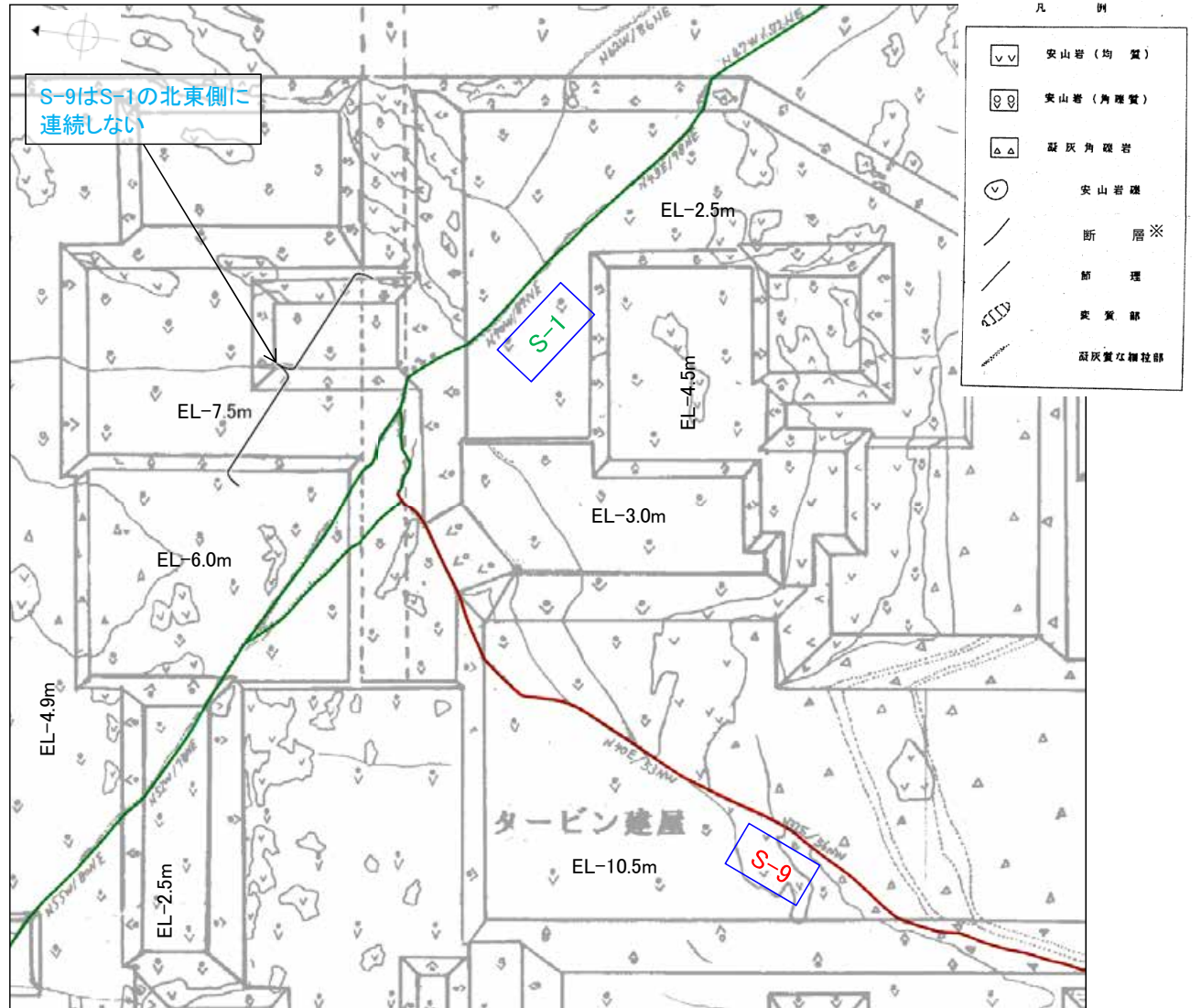
断層規模

断層名	断層長さ*1	破砕部の幅*2
S-9	85m	9cm (19cm)
S-1	780m	14cm (27cm)

\*1: 露頭もしくはボーリングにより破砕部が認められないことを確認した地点までの長さ  
\*2: 粘土状破砕部、固結した破砕部を含めた破砕部全体の平均値(下段括弧内は最大値)

## S-9とS-1の関係

- ・平面的に見て、S-9はS-1を越えて連続しない。
- ・S-9とS-1の会合部の交差角は高角である。
- ・S-1は会合部付近でほぼ直線的に分布する。
- ・S-9はS-1に比べて断層規模(断層長さ、破砕部の幅)が小さい。



基礎掘削面スケッチ



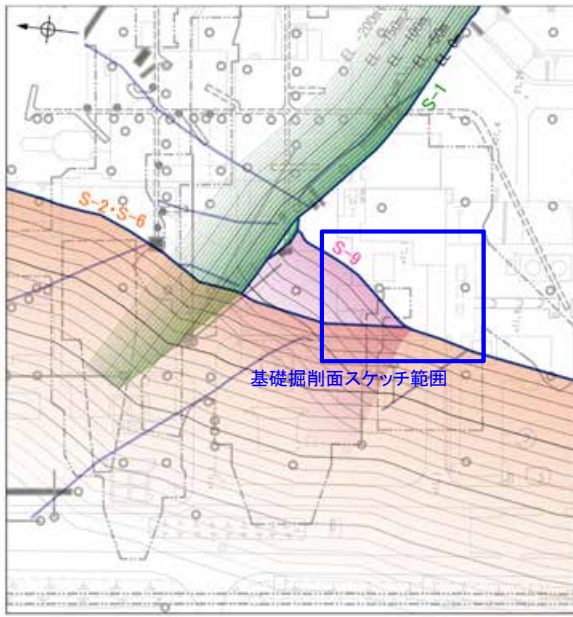
※S-9は赤, S-1は緑に着色  
凡 例

	安山岩 (均質)
	安山岩 (角礫質)
	凝灰角礫岩
	安山岩礫
	断 層※
	断 理
	変 質 部
	凝灰質な細粒部

# S-9とS-1, S-2・S-6の関係

■基礎掘削面におけるS-9とS-2・S-6の関係を示す。

※1:S-9は赤, S-2・S-6は橙に着色



位置図

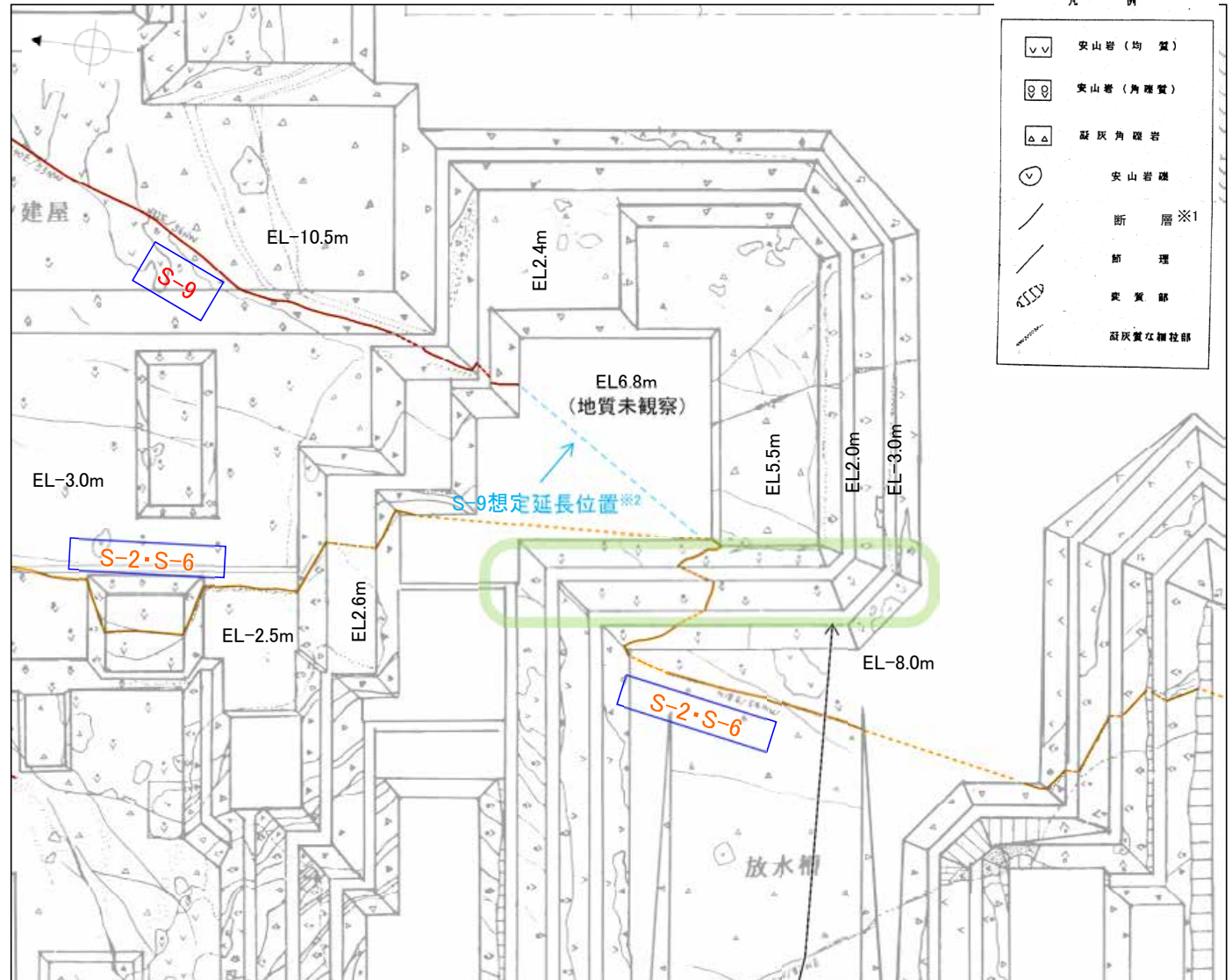
断層規模

断層名	断層長さ*1	破砕部の幅*2
S-9	85m	9cm (19cm)
S-2・S-6	600m	31cm (76cm)

\*1: 露頭もしくはボーリングにより破砕部が認められないことを確認した地点までの長さ  
\*2: 粘土状破砕部, 固結した破砕部を含めた破砕部全体の平均値(下段括弧内は最大値)

## S-9とS-2・S-6の関係

- ・平面的に見て, S-9はS-2・S-6を越えて連続しない。
- ・S-9(N35° E)とS-2・S-6(N11° E)の会合部の交差角は低角であると推定される。
- ・S-9はS-2・S-6に比べて断層規模(断層長さ, 破砕部の幅)が小さい。



※2:S-9延長部については, S-2・S-6付近の基礎掘削面では認められないことから, S-2・S-6の地質未観察区間に延長するものと推定(H29.3.10審査会合資料を修正)

想定延長位置付近にS-9は認められない

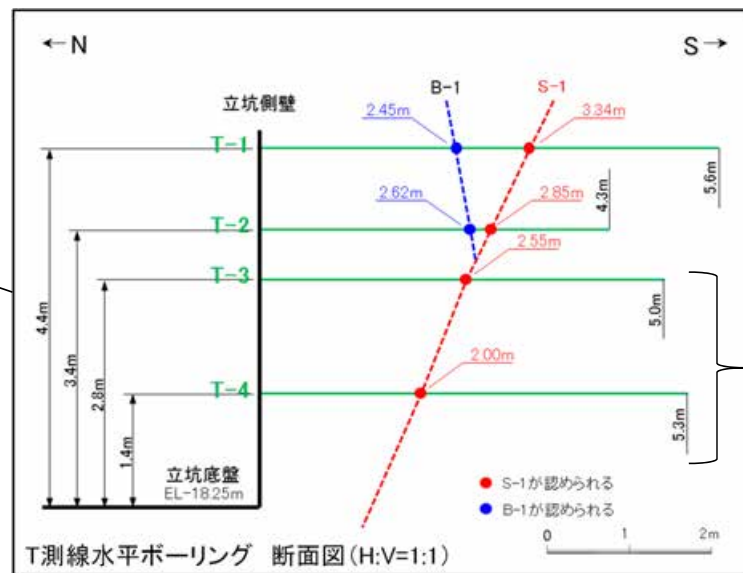
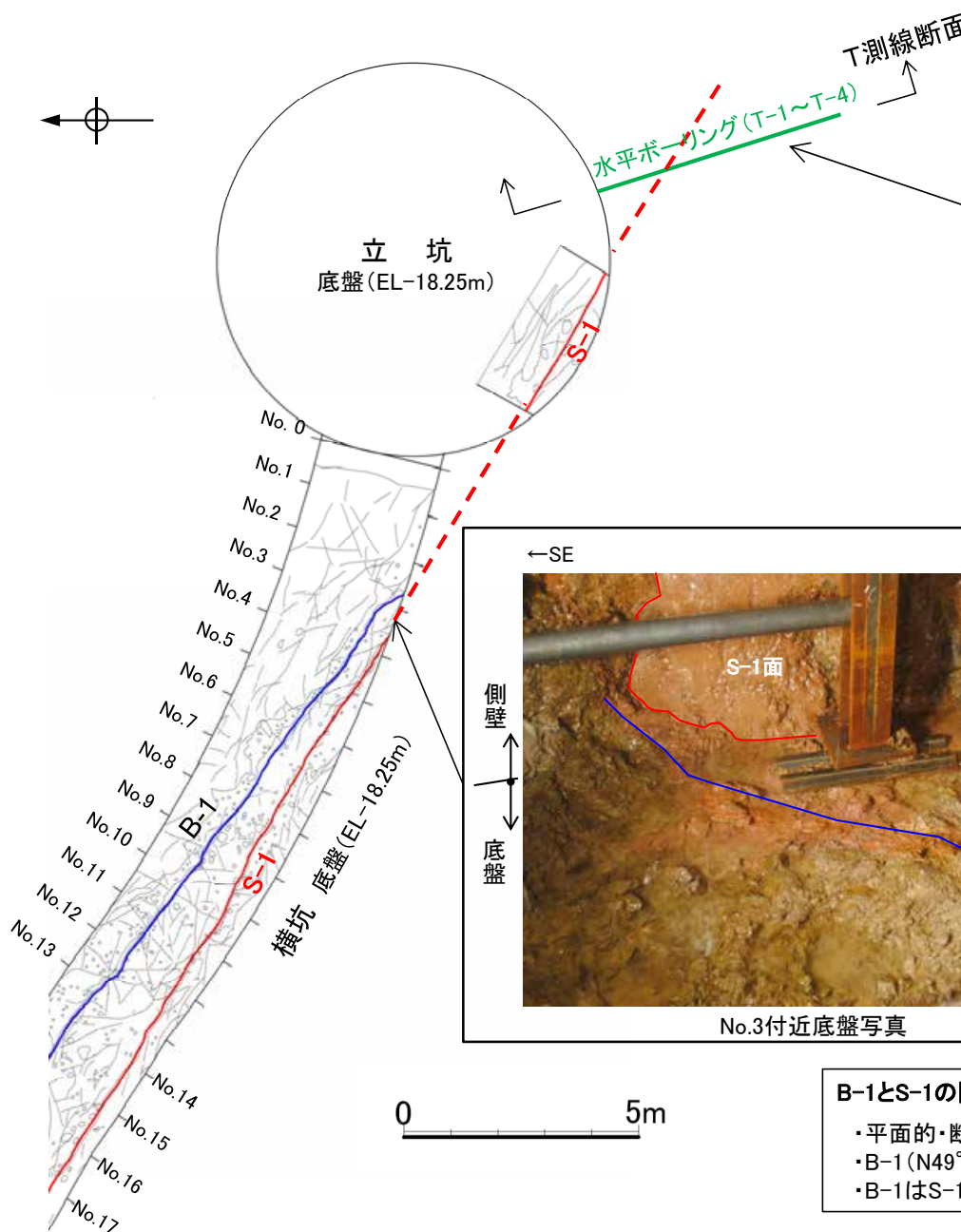
基礎掘削面スケッチ

---

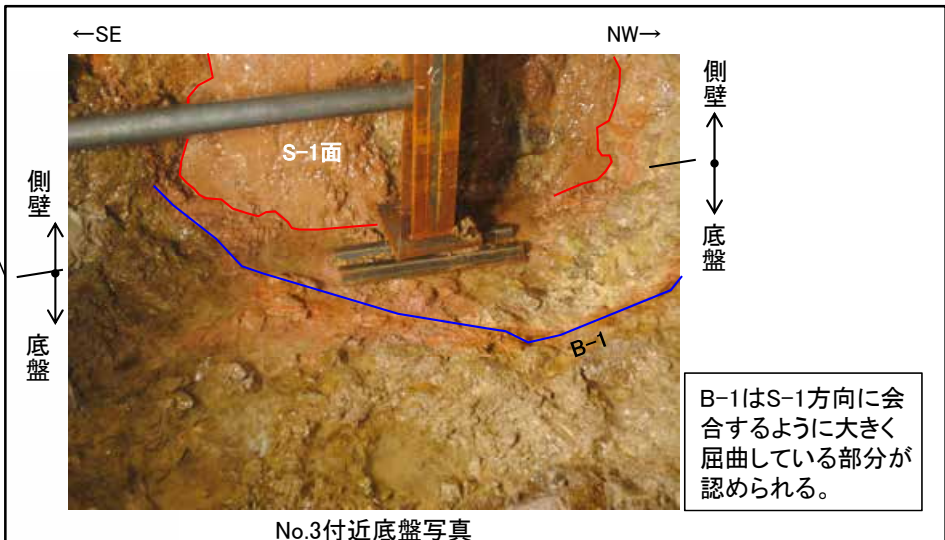
(2) B-1とS-1, S-4の関係

# B-1とS-1, S-4の関係①

■B-1とS-1との関係を把握するため、岩盤調査坑立坑側壁から水平ボーリング(T-1～T-4)を実施した。



想定延長位置  
付近にB-1は  
認められない



No.3付近底盤写真

断層規模

断層名	断層長さ*1	破砕部の幅*2
B-1	100m	6cm (10cm)
S-1	780m	14cm (27cm)

\*1: 露頭もしくはボーリングにより破砕部が認められないことを確認した地点までの長さ  
\*2: 粘土状破砕部, 固結した破砕部を含めた破砕部全体の平均値(下段括弧内は最大値)

**B-1とS-1の関係**

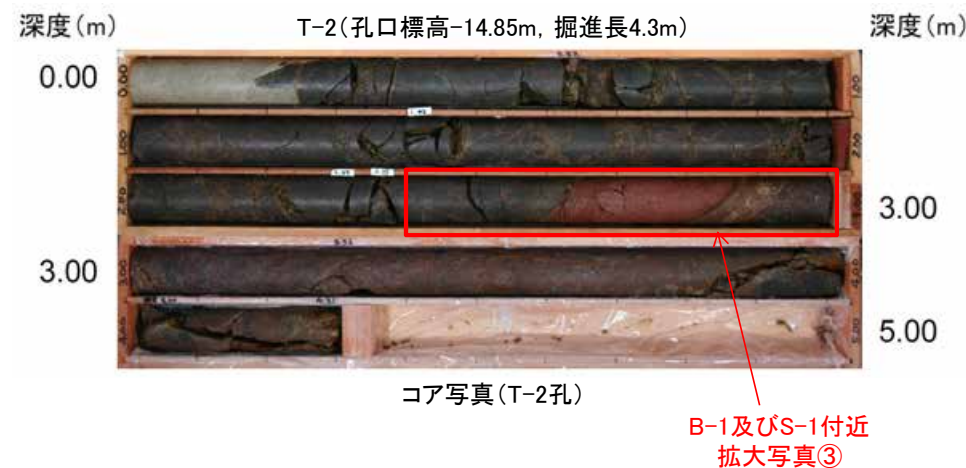
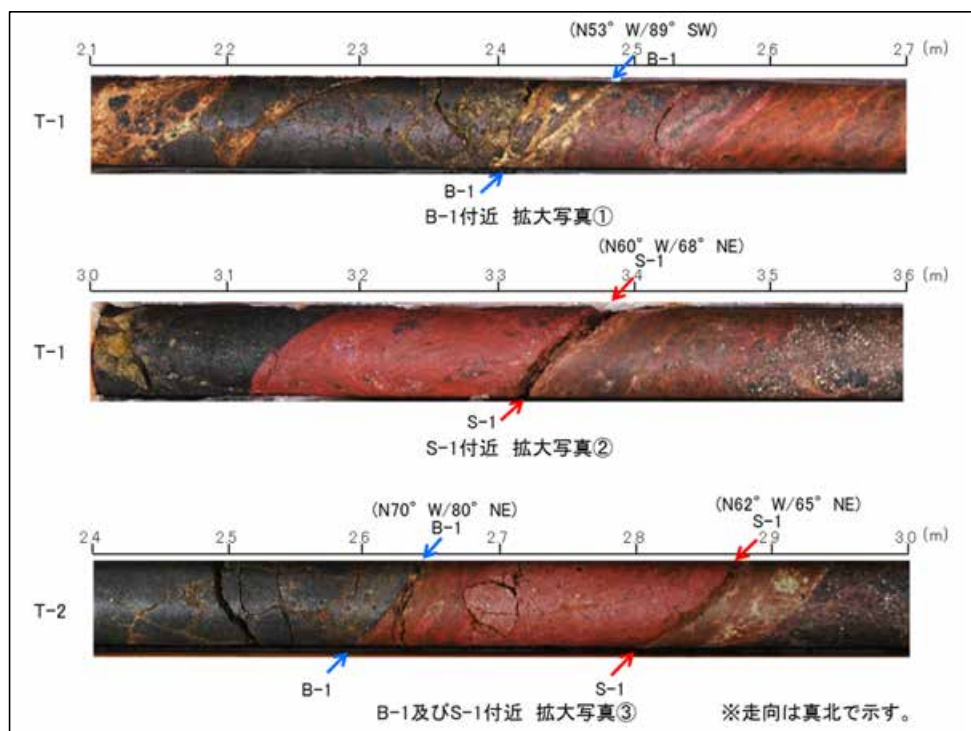
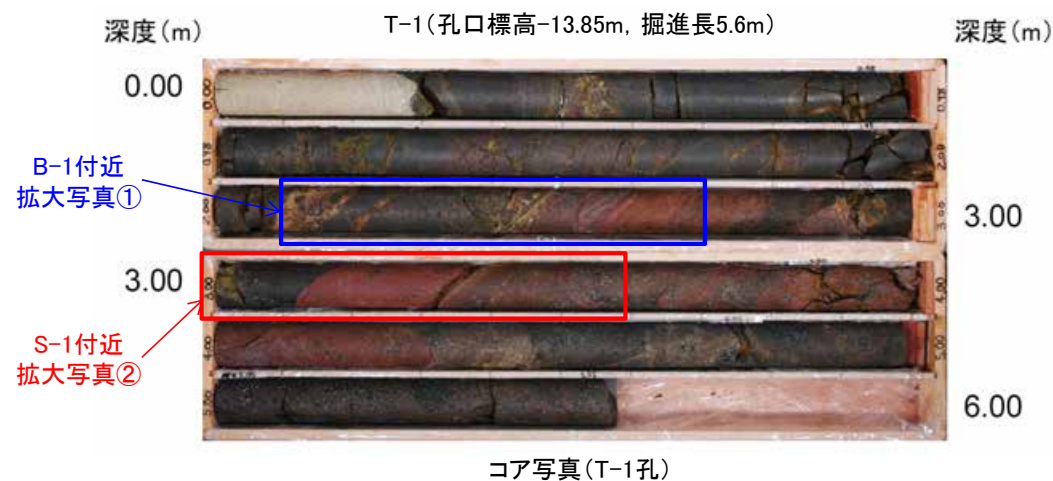
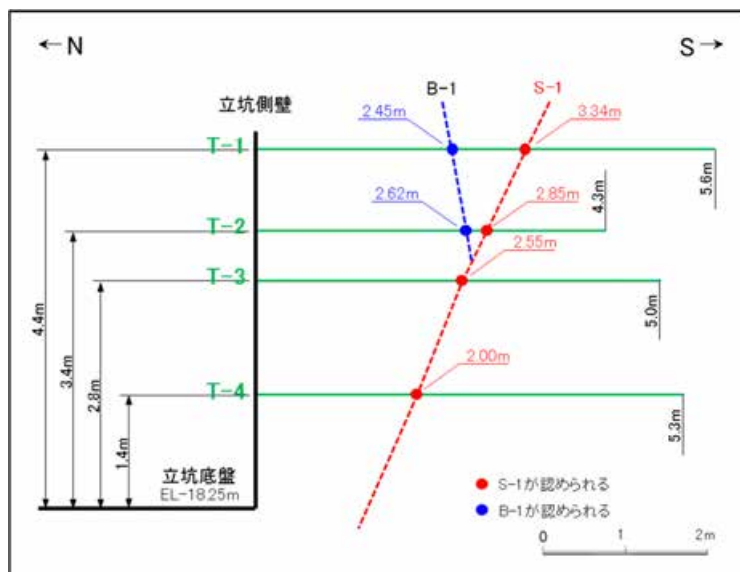
- ・平面的・断面的に見て、B-1はS-1を越えて連続しない。
- ・B-1(N49° W)とS-1(N60° W)の会合部の交差角は低角であると推定される。
- ・B-1はS-1に比べて断層規模(断層長さ, 破砕部の幅)が小さい。

岩盤調査坑  
ボーリング調査位置図



# B-1とS-1, S-4の関係②

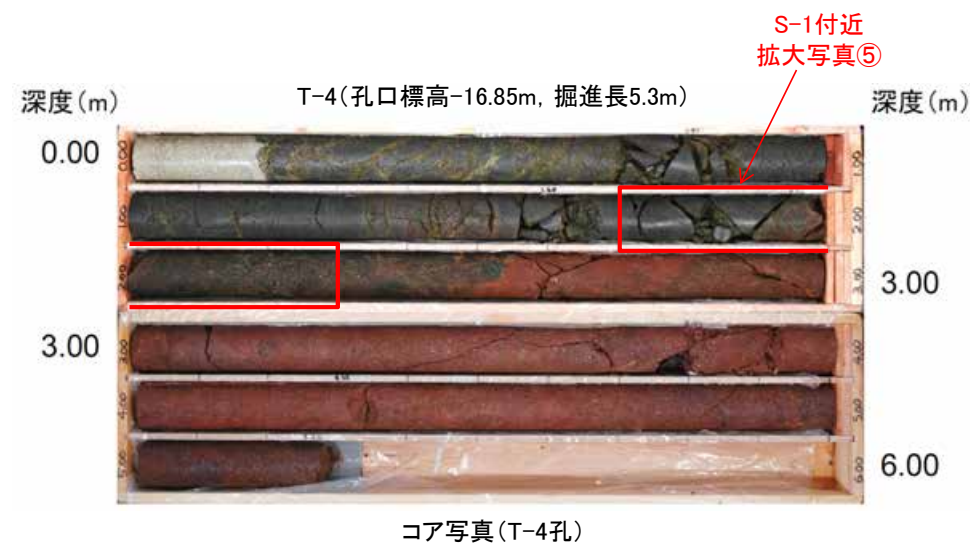
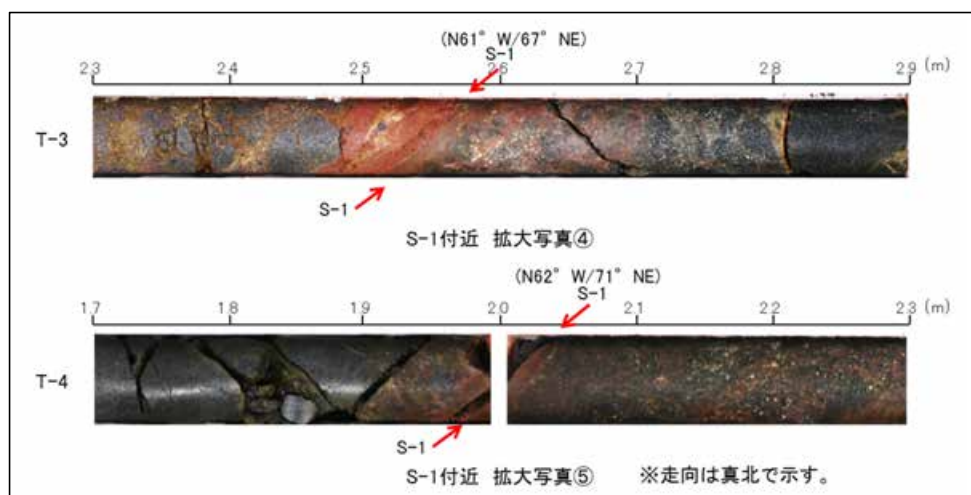
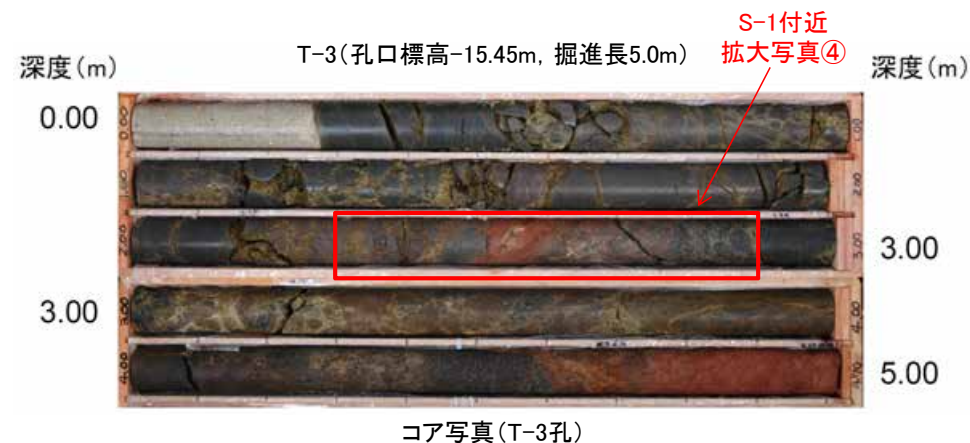
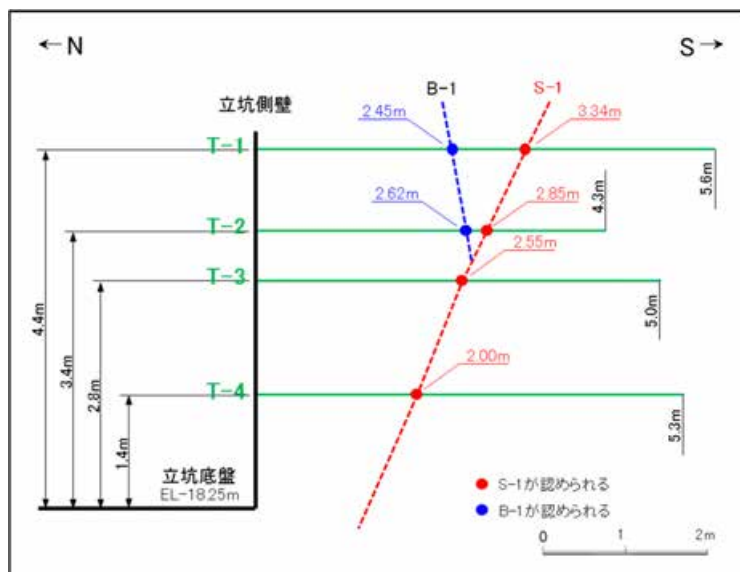
■水平ボーリング(T-1, T-2)のコア写真を示す。



・T-1, T-2孔においてS-1とその上盤側にB-1が認められる。

# B-1とS-1, S-4の関係③

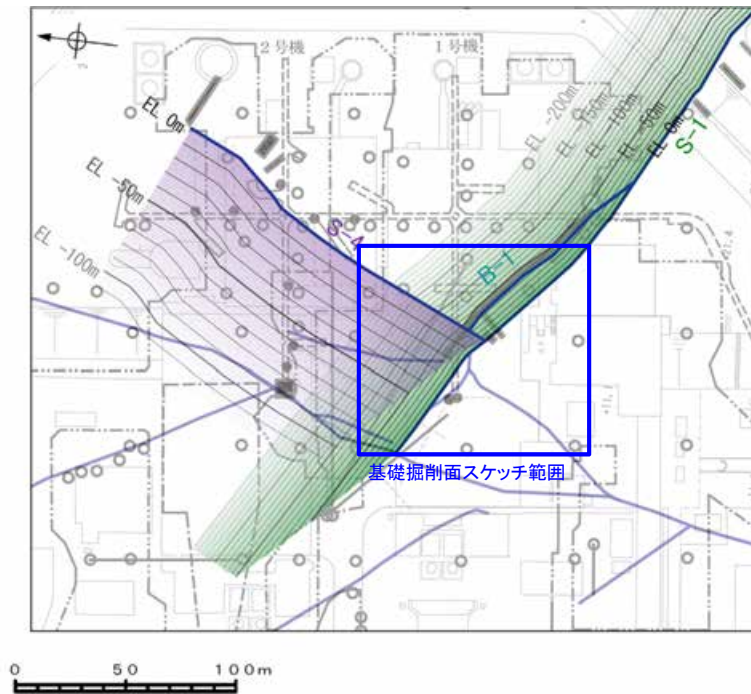
■水平ボーリング(T-3, T-4)のコア写真を示す。



・T-3, T-4孔においてS-1が認められるものの、その下盤側にB-1は認められない。

# B-1とS-1, S-4の関係

■基礎掘削面におけるB-1とS-4の関係を示す。

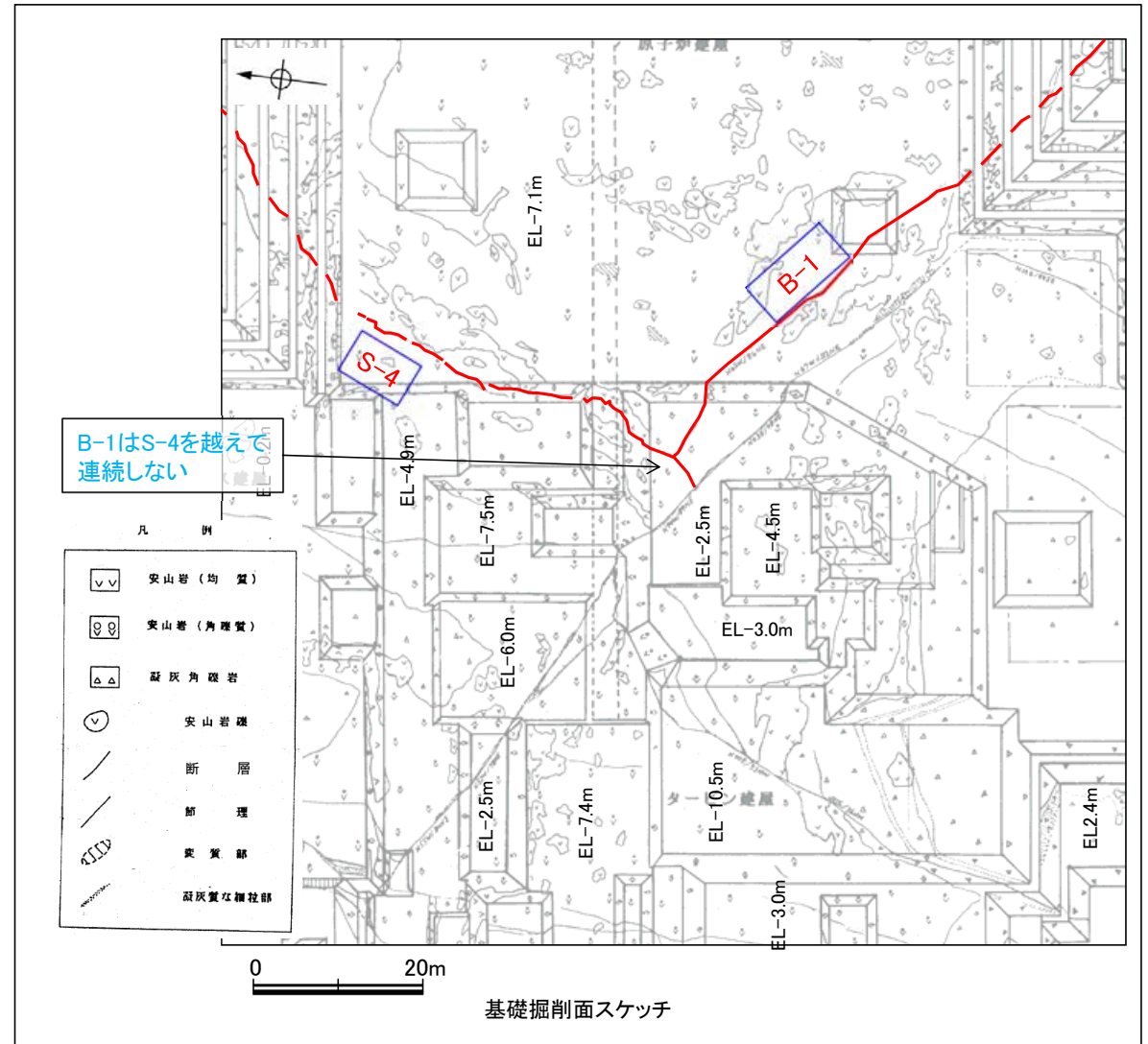


位置図

断層規模

断層名	断層長さ*1	破碎部の幅*2
B-1	100m	6cm (10cm)
S-4	160m*3	9cm (20cm)

\*1: 露頭もしくはボーリングにより破碎部が認められないことを確認した地点までの長さ  
 \*2: 粘土状破碎部、固結した破碎部を含めた破碎部全体の平均値(下段括弧内は最大値)  
 \*3: S-4北東延長部についてはデータ整理中



基礎掘削面スケッチ

## B-1とS-4の関係

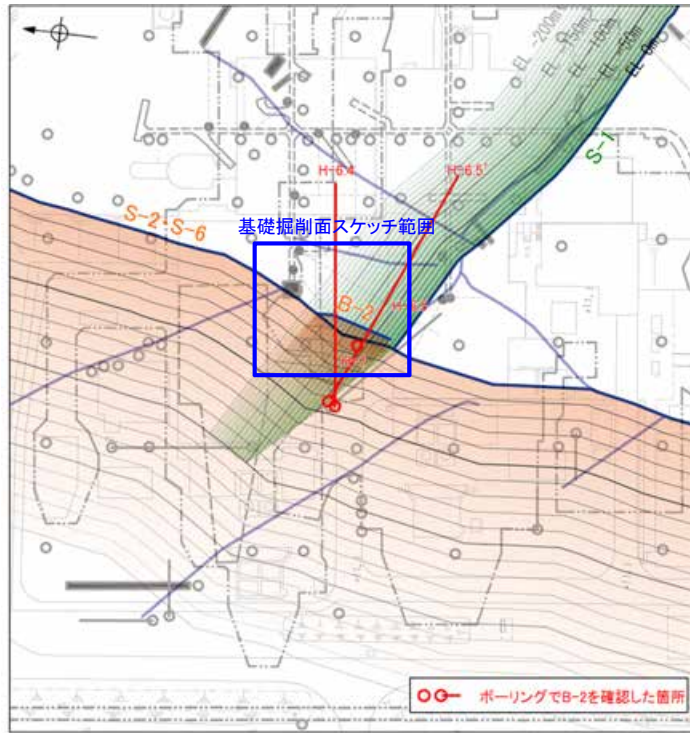
- ・平面的に見て、B-1はS-4を越えて連続しない。
- ・B-1とS-4の会合部の交差角は高角である。
- ・S-4は会合部付近でほぼ直線的に分布する。
- ・B-1はS-4に比べて断層規模(断層長さ、破碎部の幅)が小さい。

---

(3) B-2とS-1, S-2・S-6の関係

# B-2とS-1, S-2・S-6の関係

■基礎掘削面におけるB-2とS-1, S-2・S-6の関係を示す。

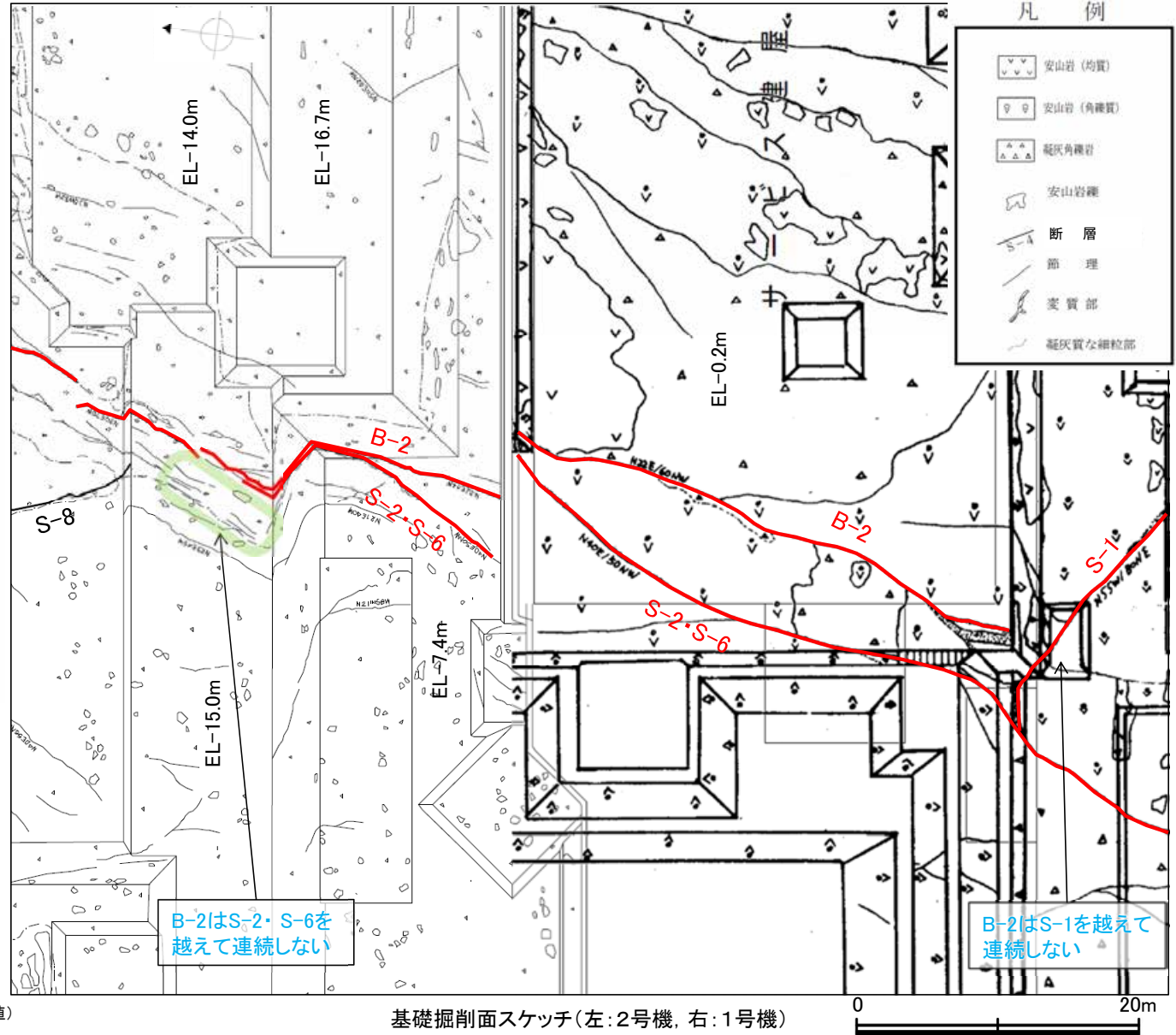


位置図

断層規模

断層名	断層長さ*1	破砕部の幅*2
B-2	50m	6cm (10cm)
S-1	780m	14cm (27cm)
S-2・S-6	600m	31cm (76cm)

\*1:露頭もしくはボーリングにより破砕部が認められないことを確認した地点までの長さ  
\*2:粘土状破砕部, 固結した破砕部を含めた破砕部全体の平均値(下段括弧内は最大値)



基礎掘削面スケッチ(左:2号機, 右:1号機)

## B-2とS-2・S-6の関係

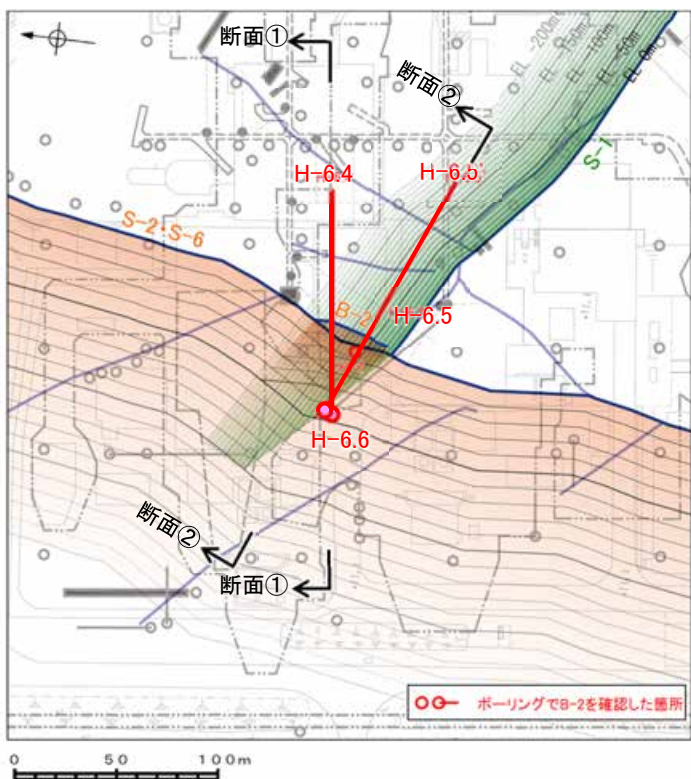
- ・平面的に見て, B-2はS-2・S-6を越えて連続しない。
- ・B-2とS-2・S-6の会合部の交差角は低角である。
- ・S-2・S-6は会合部付近でほぼ直線的に分布する。
- ・B-2はS-2・S-6に比べて断層規模(断層長さ, 破砕部の幅)が小さい。

## B-2とS-1の関係

- ・平面的に見て, B-2はS-1を越えて連続しない。
- ・B-2(N12° E)とS-1(N60° W)の会合部の交差角は高角であると推定される。
- ・S-1は会合部付近でほぼ直線的に分布する。
- ・B-2はS-1に比べて断層規模(断層長さ, 破砕部の幅)が小さい。

# B-2とS-1, S-2・S-6の関係①

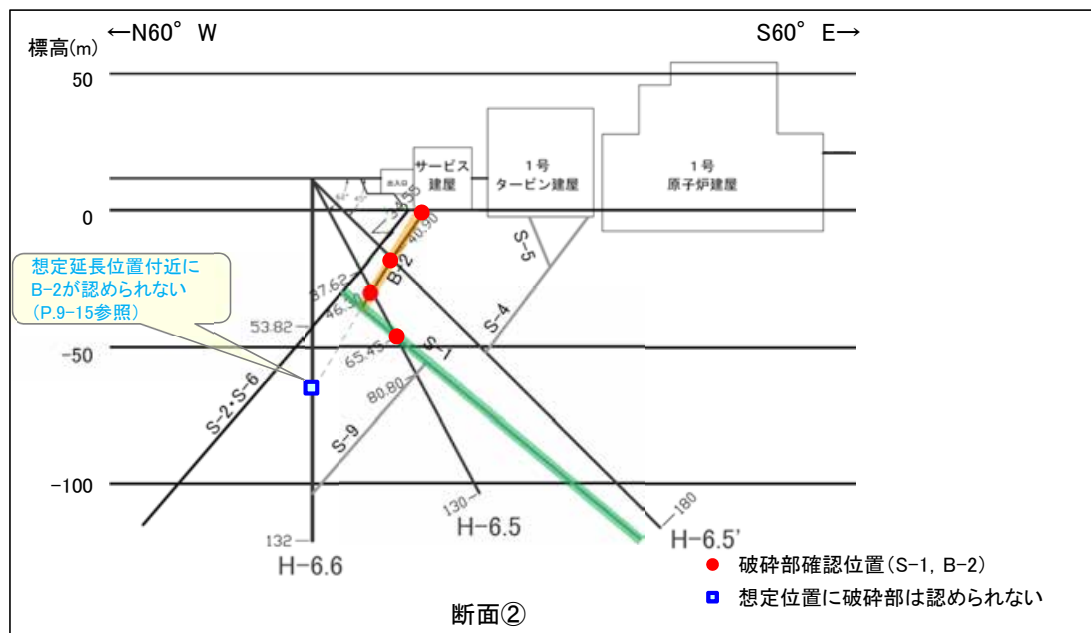
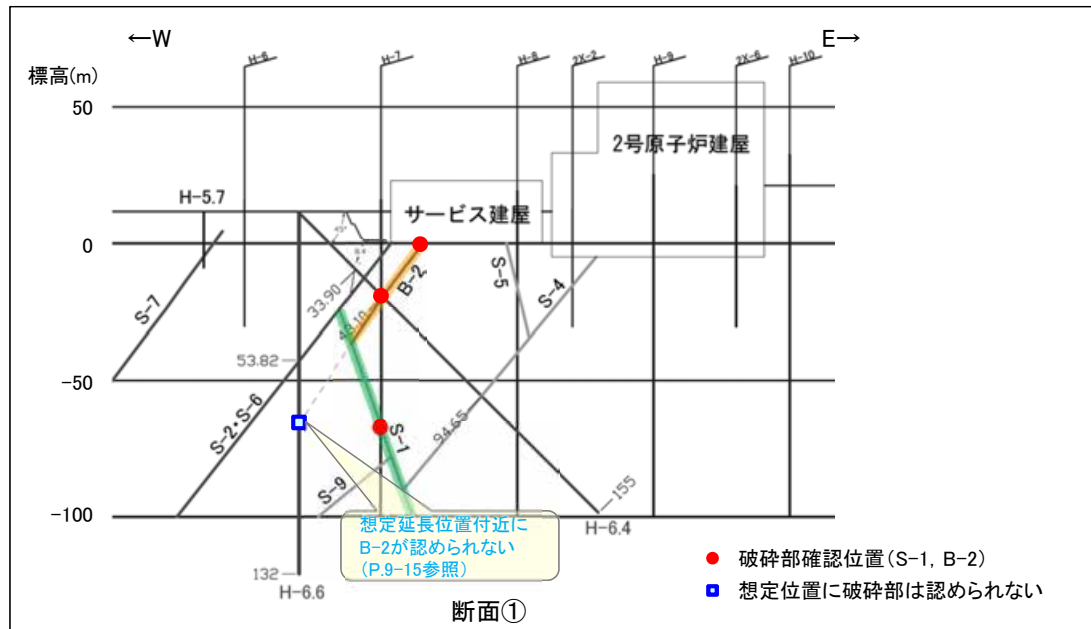
■ボーリング(H-6.4孔, H-6.5孔, H-6.5'孔, H-6.6孔)によりB-2の深部への連続性を確認し, B-2とS-1の関係について検討を行った。



調査位置図

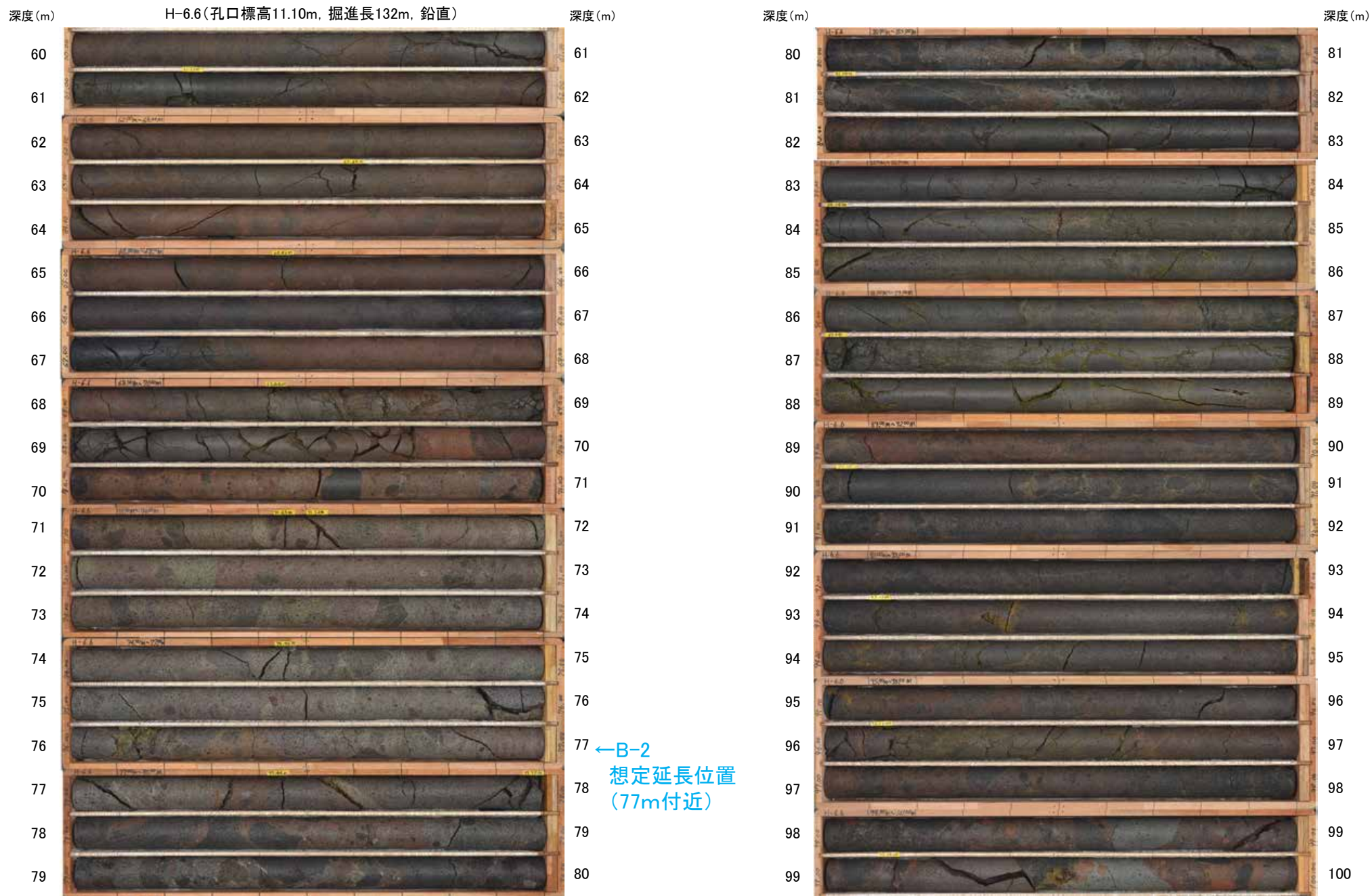
## B-2とS-1の関係

・断面的に見て, B-2はS-1を越えて連続しない。



# B-2とS-1, S-2・S-6の関係②

■H-6.6孔のB-2の想定延長位置付近のコア写真を示す。



※深度77.60m付近に見られる割れ目は、その付近で変形構造は見られず、破碎部ではない。なお、走向傾斜はN33° E/59° SEであり、B-2と対応しない。

コア写真(深度60~100m)

・H-6.6孔において想定延長位置付近にB-2は認められない。

---

## 2. 片側が他の断層を越えて連続しない形態

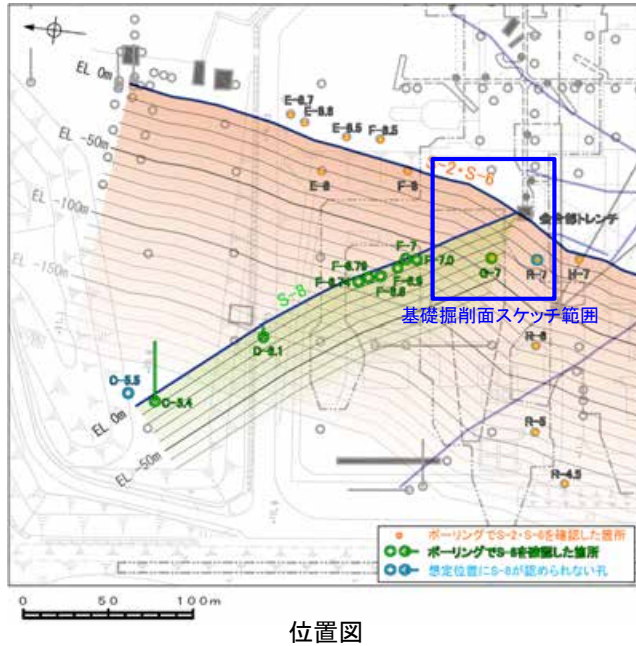


---

(1) S-8とS-2・S-6の関係

# S-8とS-2・S-6の関係①

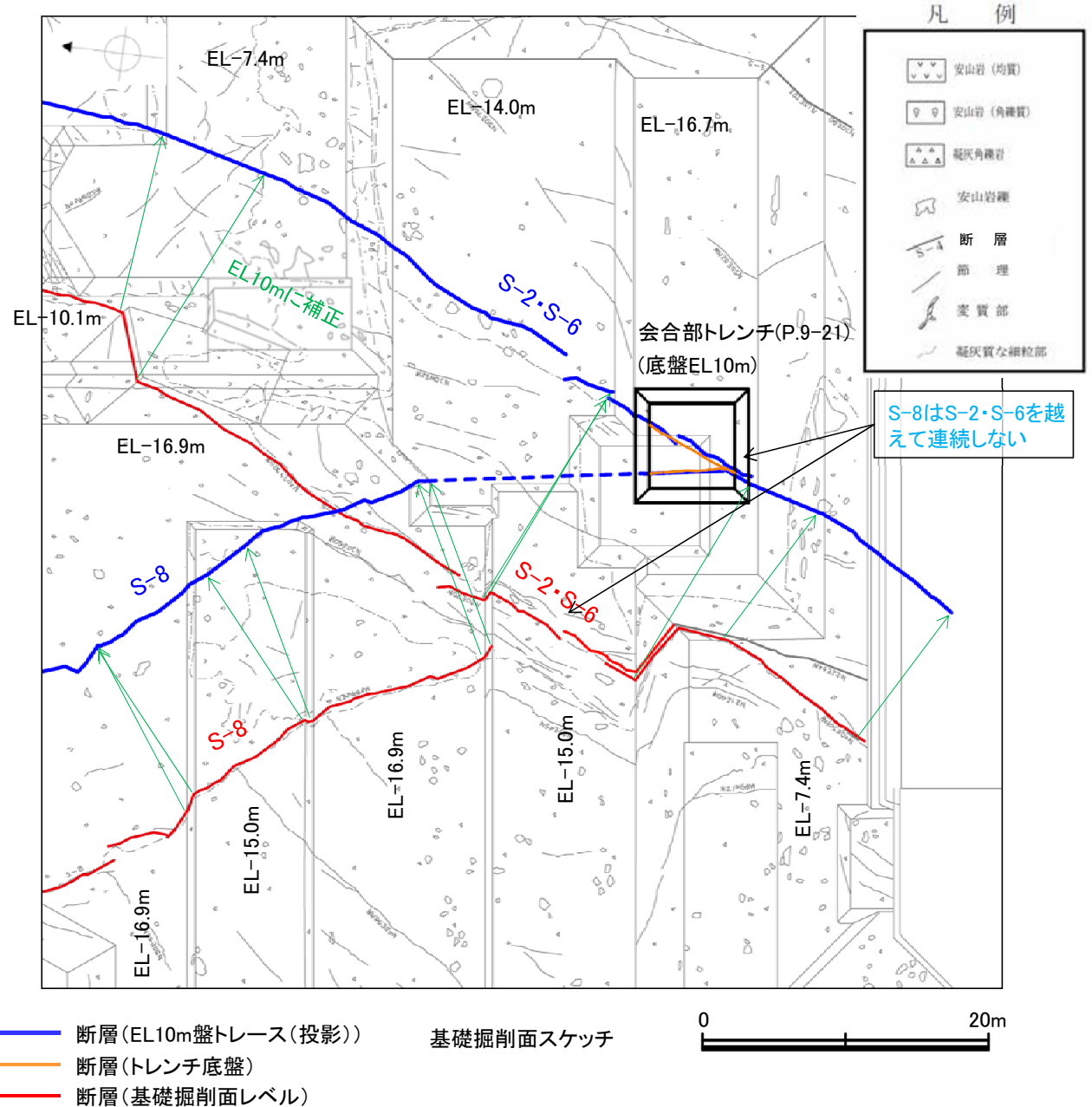
■断層間の大局的な走向と会合部の状況を整理するために、基礎掘削面及び会合部トレンチデータを用い、それぞれで確認された走向傾斜を同一標高に投影した断層トレースを示す。



断層名	断層長さ*1	破碎部の幅*2
S-8	250m	11cm (18cm)
S-2・S-6	600m	31cm (76cm)

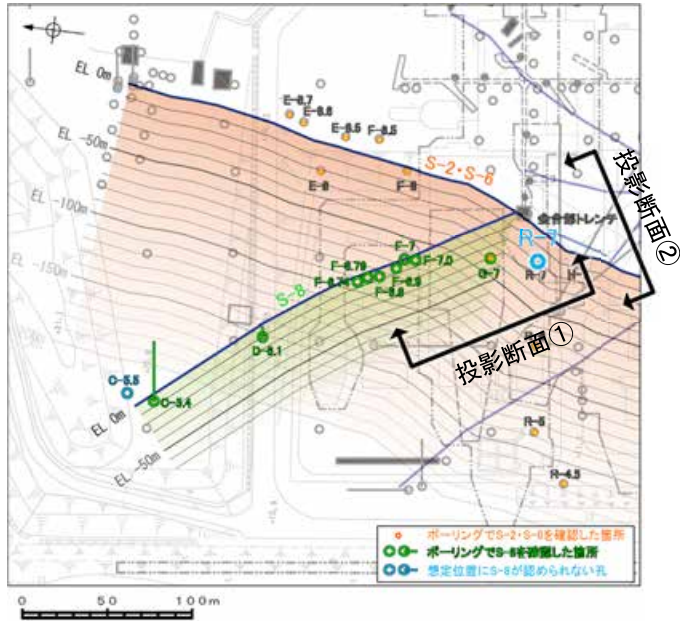
\*1: 露頭もしくはボーリングにより破碎部が認められないことを確認した地点までの長さ  
\*2: 粘土状破碎部、固結した破碎部を含めた破碎部全体の平均値(下段括弧内は最大値)

- ・平面的に見て、S-8はS-2・S-6を越えて連続しない。
- ・S-2・S-6は会合部付近でほぼ直線的に分布する。
- ・S-8(N28° W)はS-2・S-6(N11° E)に対して中角度で分布する。
- ・S-8はS-2・S-6に比べて断層規模(断層長さ、破碎部の幅)が小さい。

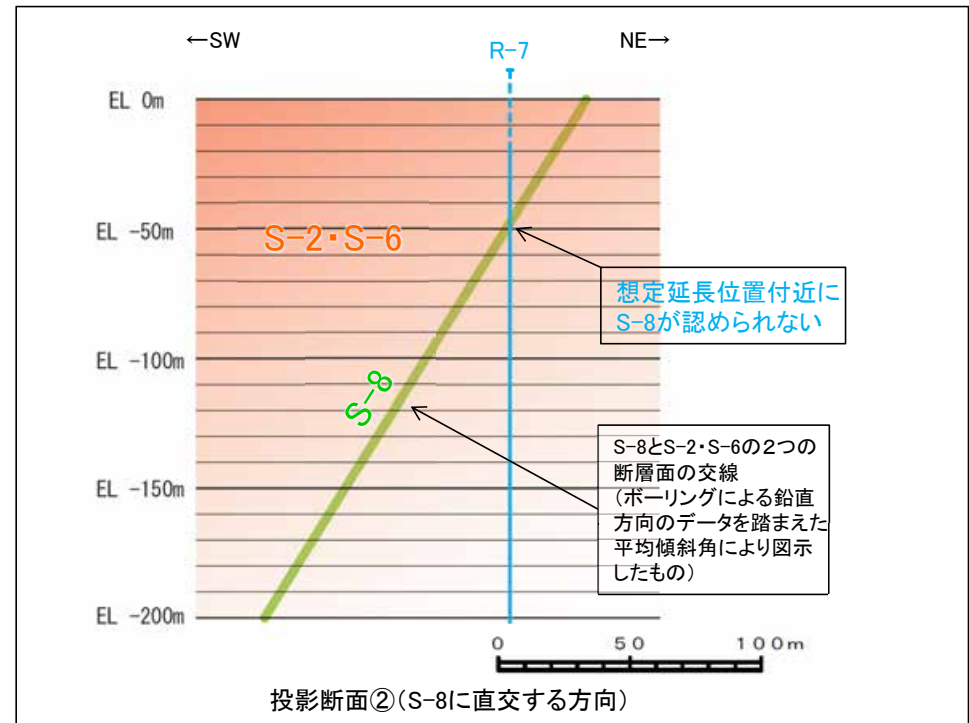
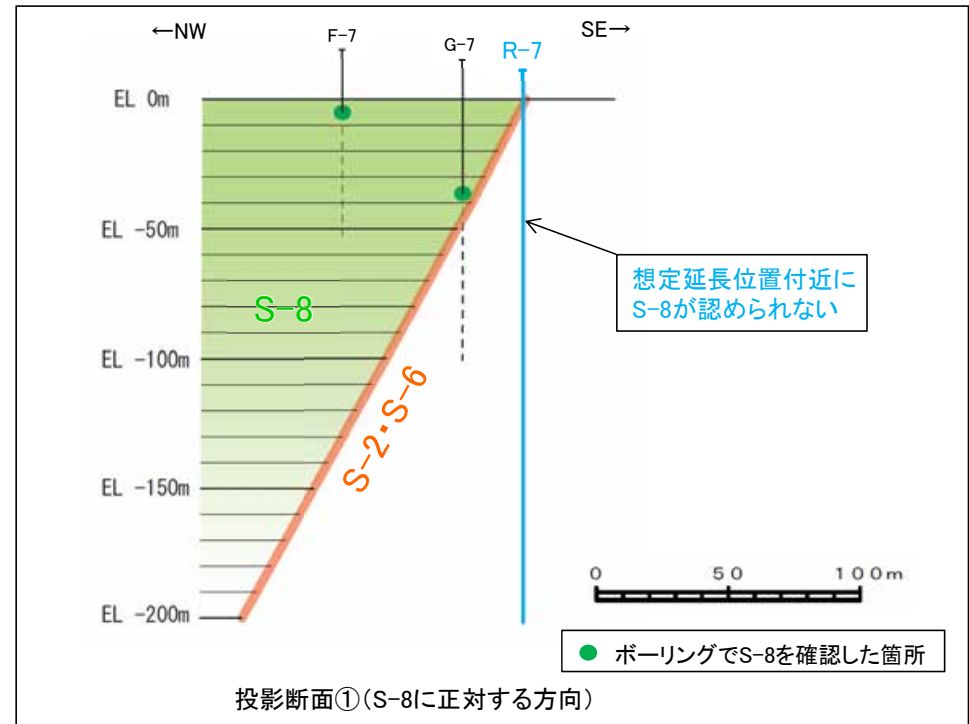


# S-8とS-2・S-6の関係②

■ボーリングにおけるS-8とS-2・S-6の断面的な関係を示す。



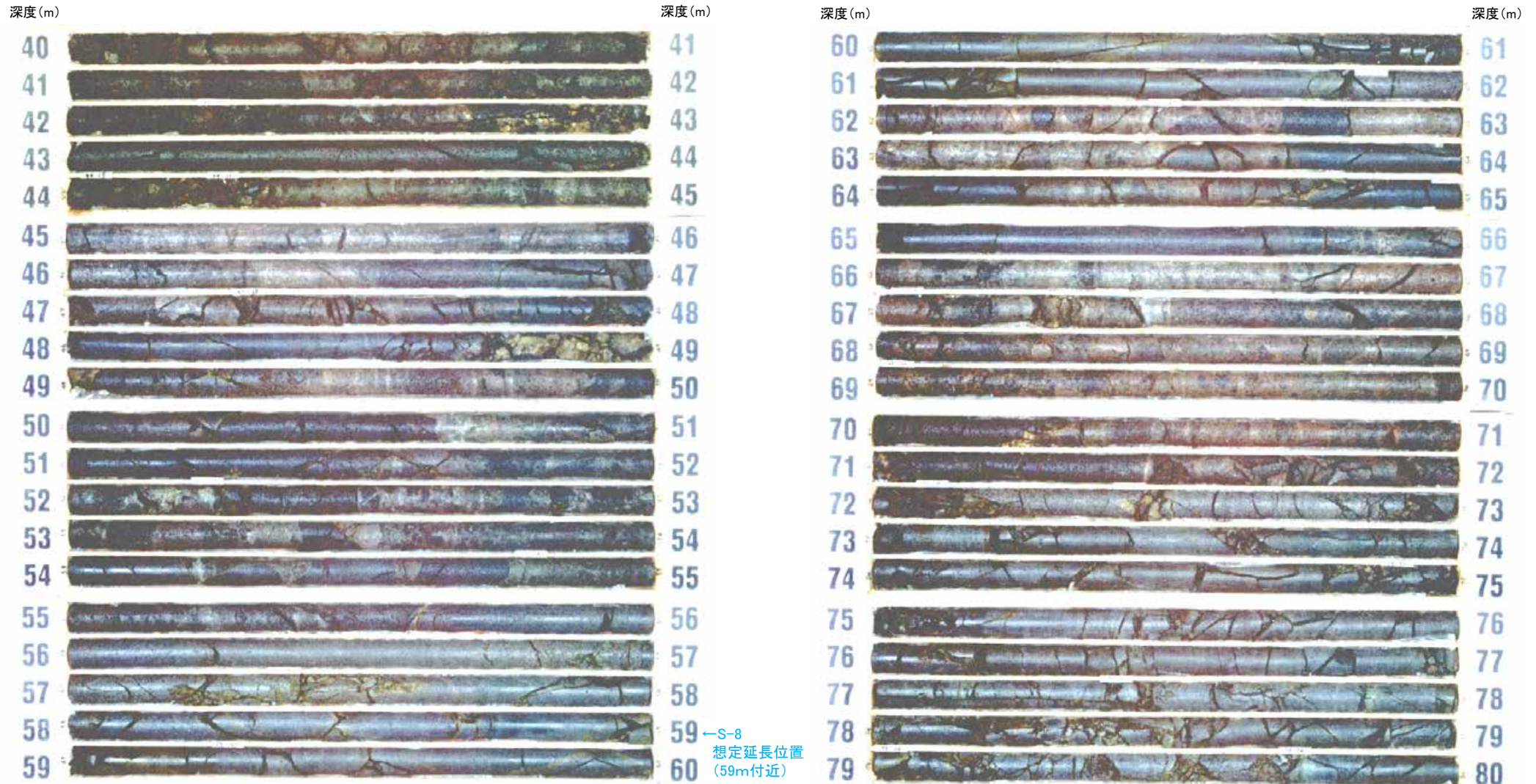
位置図



・断面的に見て、S-8はS-2・S-6断層面より南東側のR-7孔において想定延長位置付近に認められず、S-2・S-6断層面より北西側にのみ認められる。

# S-8とS-2・S-6の関係③

■R-7孔のS-8の想定延長位置付近のコア写真を示す。

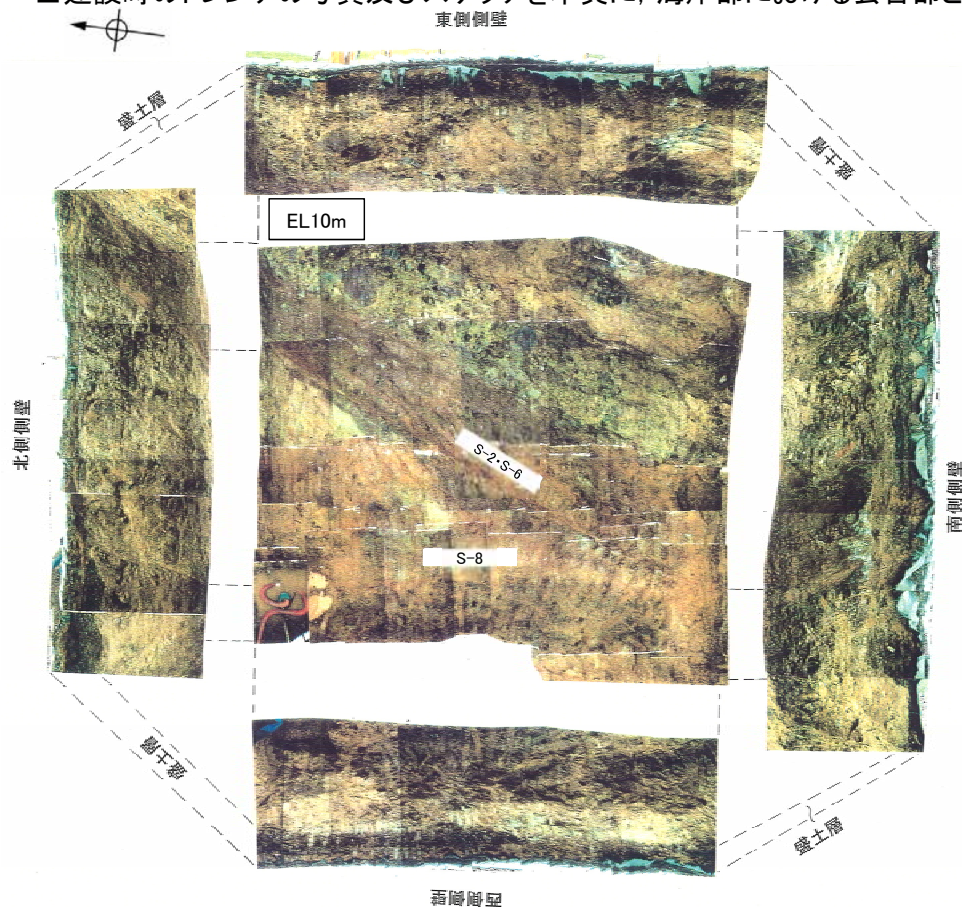


コア写真(深度40~80m)

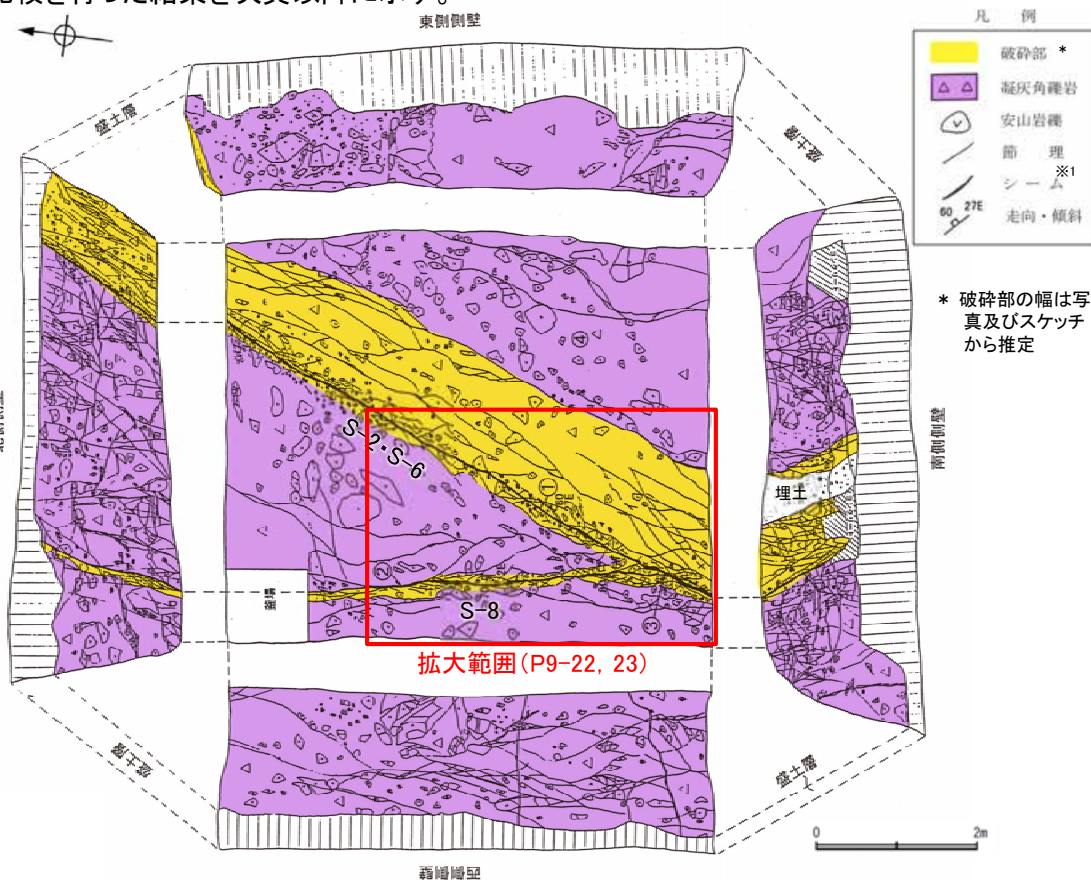
・R-7孔において想定延長位置付近にS-8は認められない。

# S-8とS-2・S-6の関係④ -会合部状況1/3-

- S-8とS-2・S-6の会合部については、建設時の会合部スケッチがある。このため、「断層の動きやすさの検討」とは別に、現在あるデータを基に切り合い関係について検討した。検討にあたっては、同じように断層が会合している海岸部の断層の会合部を参考に実施した。
- 建設時のトレンチの写真及びスケッチを本頁に、海岸部における会合部との比較を行った結果を次頁以降に示す。



トレンチ写真(展開図)



\* 破碎部の幅は写真及びスケッチから推定

- ① S-2・S-6  
厚さ0.5~5cmの赤褐色ないし黄褐色岩片混じり粘土からなり、シーム※1に接する面の一部には鏡肌・条線が認められる。  
走向・傾斜 N27° E/60° NW※2  
(※2: N19° E/60° NW(真北補正))  
比較的明瞭な面が直線的に連続している。
- ② S-8  
厚さ0.5~1cmの暗赤褐色ないし黄褐色岩片混じり粘土からなり、シーム※1に接する面の一部には鏡肌・条線が認められる。  
走向・傾斜 N2° E~N6° W/70° ~80° W※3  
(※3: N6° W~N14° W/70° ~80° W(真北補正))

- ③ S-2・S-6とS-8の会合部  
S-8はS-2・S-6に近づくにつれて、その走向方向がS-2・S-6の方向に近似するようになり、やがてはS-2・S-6に収束する。
- ④ 凝灰角礫岩  
硬質礫の分布は少なく、全体的にやや軟質である。構成礫径は5~10cm大のものが多く、シーム※1に沿って幅1m程で全体に赤褐色を帯び、シーム※1にほぼ平行な節理が認められやや軟質である。部分的に黄白色礫が認められる。

・会合部トレンチにおいて、S-8はS-2・S-6を越えて連続しない。  
・S-8とS-2・S-6の会合部の交差角は低角である。

※1 スケッチ時の記載用語。「粘土状破碎部」に対応する。

トレンチスケッチ(展開図)  
S-8とS-2・S-6の会合部の状況

# S-8とS-2・S-6の関係④ -会合部状況2/3-

■建設時のトレンチの写真及びスケッチと海岸部において会合部の交差角が低角である箇所と比較して、以降に示す。



トレンチ底盤写真(拡大) S-8とS-2・S-6の会合部の状況  
(海岸部との比較のため写真の向きを右に90°回転)

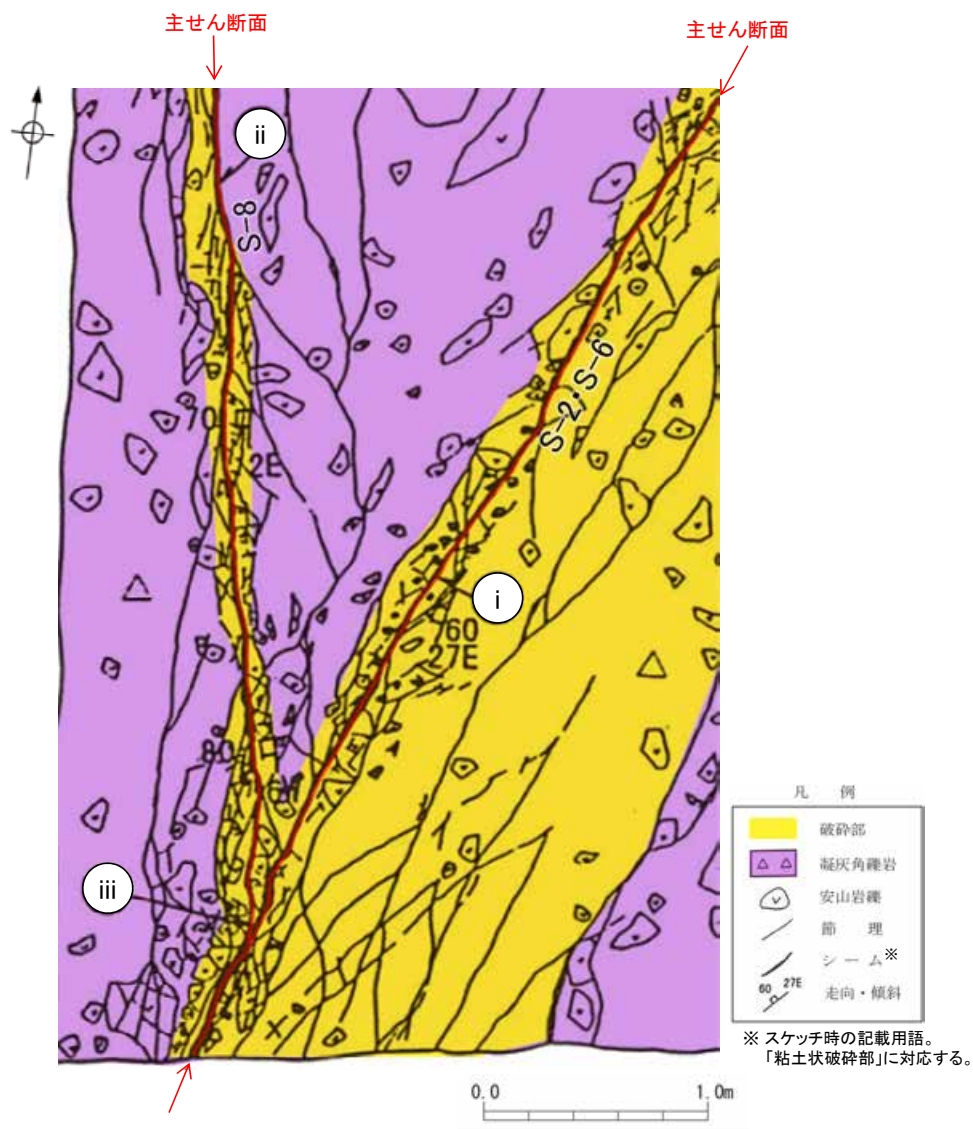


海岸部の例(K-1とK-2)

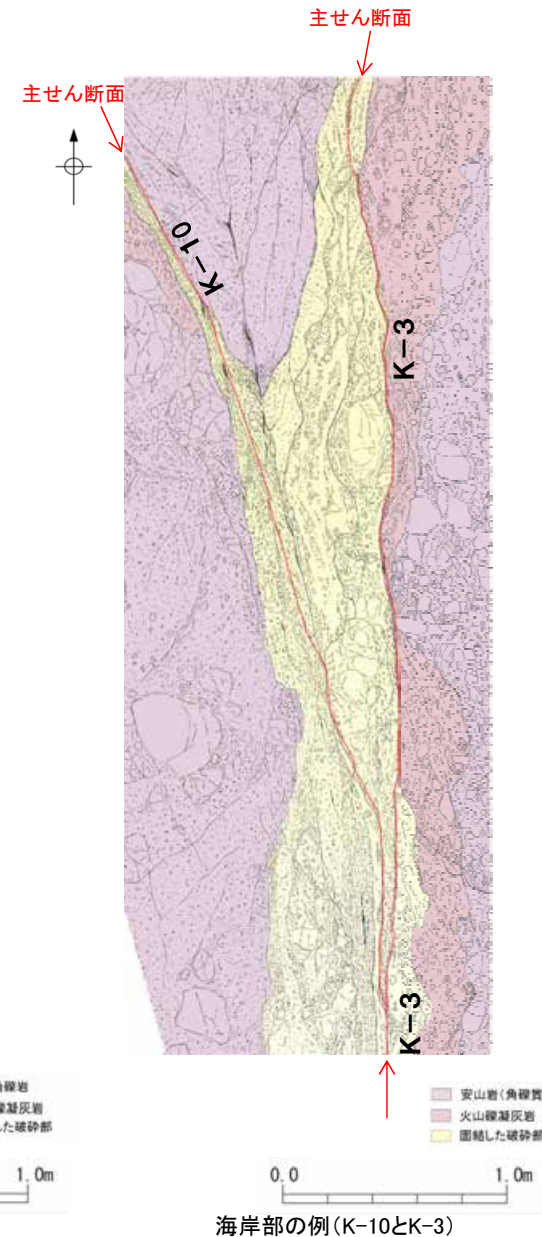
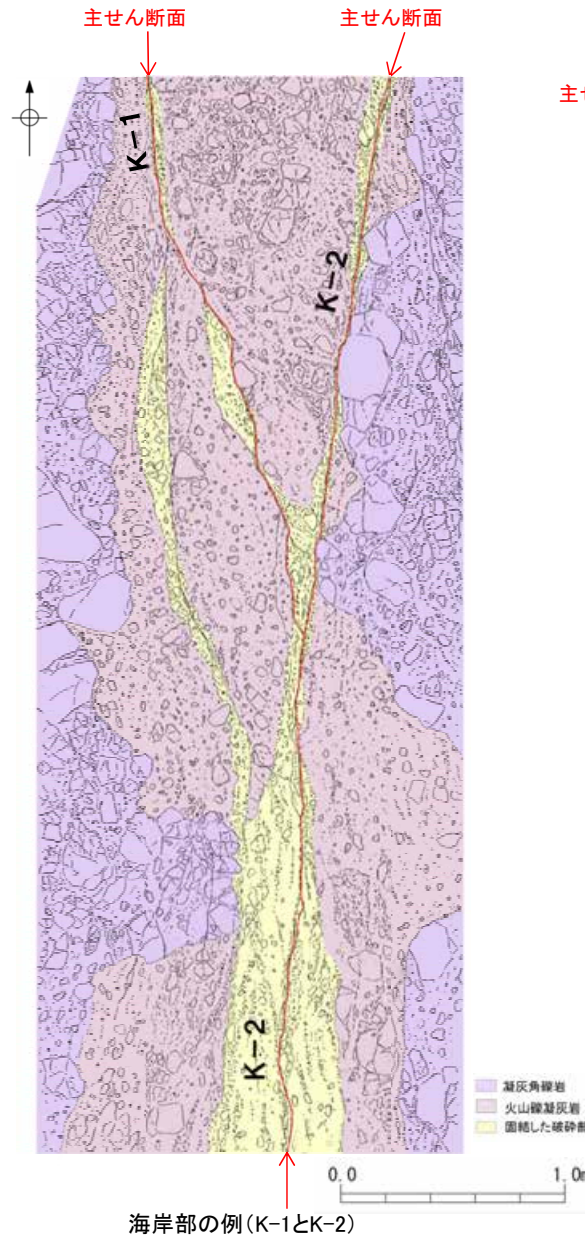


海岸部の例(K-10とK-3)

# S-8とS-2・S-6の関係④ -会合部状況3/3-



トレンチスケッチ(拡大) S-8とS-2・S-6の会合部の状況  
(海岸部との比較のためスケッチの向きを右に90°回転)



- ・平面的に見て、S-8の主せん断面はS-2・S-6の主せん断面を越えて連続しない。
- ・S-8はS-2・S-6から派生するような形状を示す(図中 ii)。
- ・S-8の主せん断面はS-2・S-6との会合部付近で、S-2・S-6の見かけ右横ずれに伴う引きずりの形状を示す(図中 iii)。
- ・S-2・S-6の主せん断面はS-8の影響を受けずほぼ直線的に分布する(図中 i)。

海岸部で確認した事例を踏まえると、S-8は、S-2・S-6の引きずりの影響を受けていると考えられる。

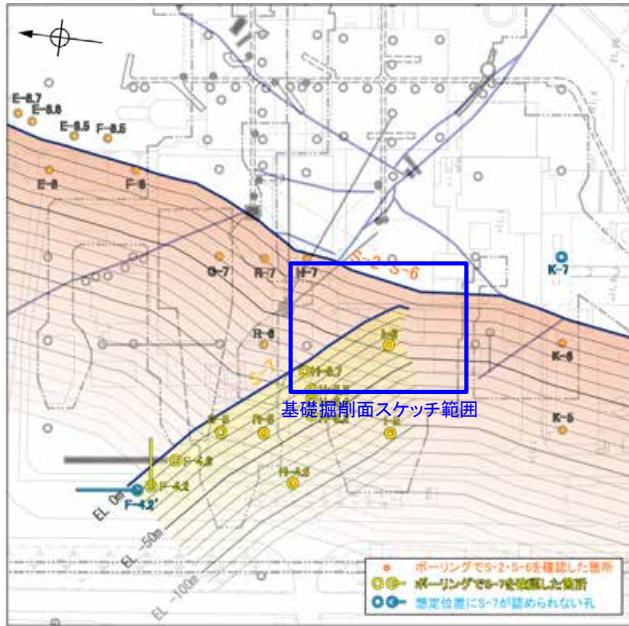
---

(2) S-7とS-2・S-6の関係

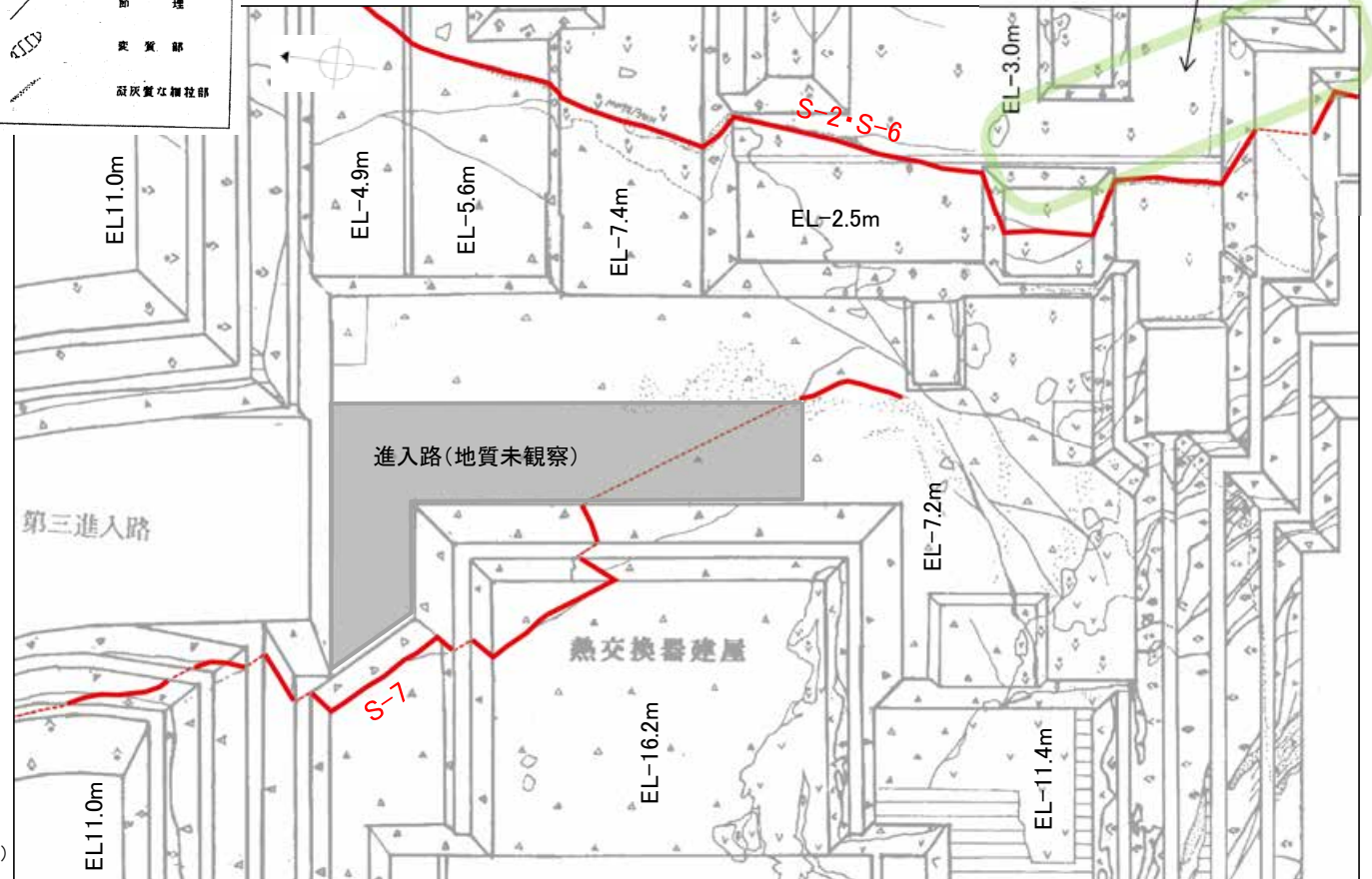
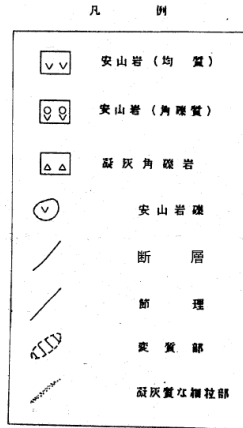


# S-7とS-2・S-6の関係①

■基礎掘削面におけるS-7とS-2・S-6の関係を示す。



位置図



想定延長位置付近に  
S-7は認められない

断層規模

断層名	断層長さ*1	破碎部の幅*2
S-7	190m	10cm (25cm)
S-2・S-6	600m	31cm (76cm)

\*1: 露頭もしくはボーリングにより破碎部が認められないことを確認した地点までの長さ  
\*2: 粘土状破碎部、固結した破碎部を含めた破碎部全体の平均値(下段括弧内は最大値)

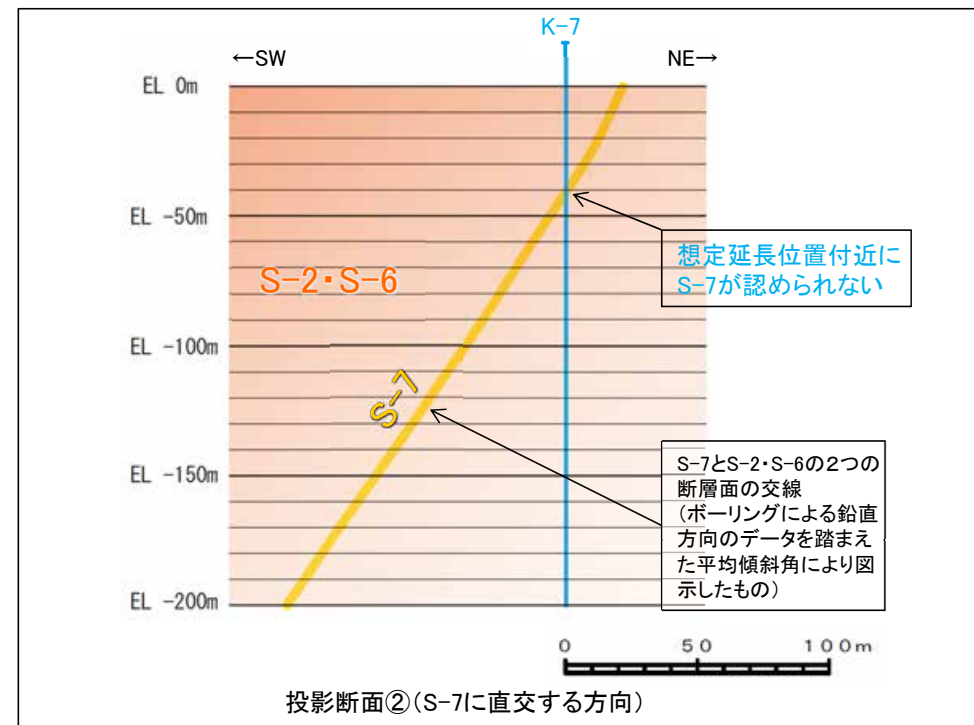
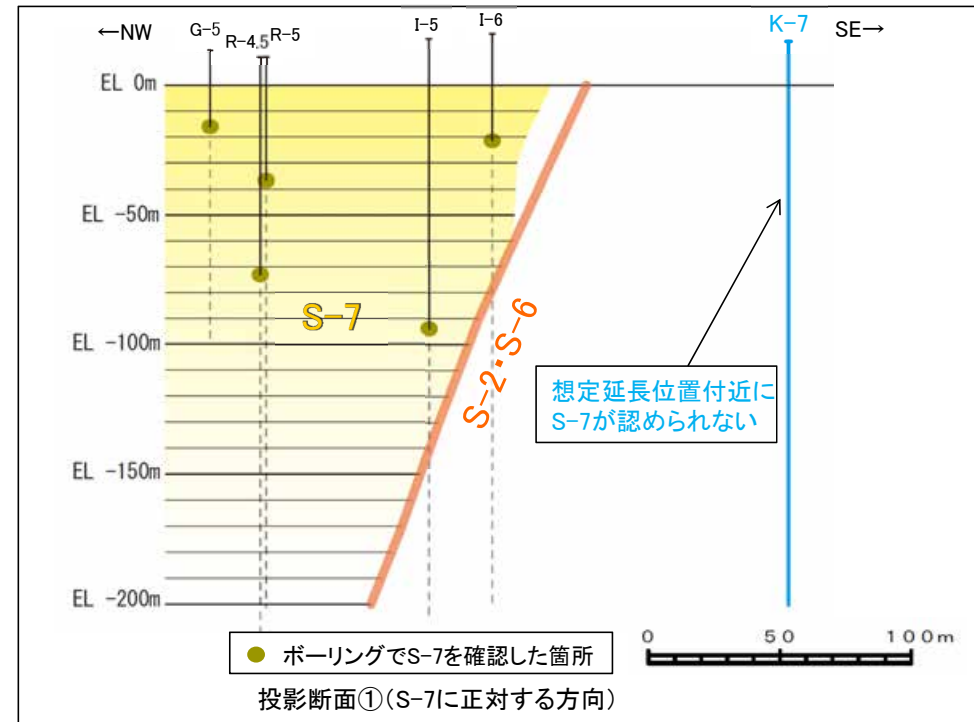
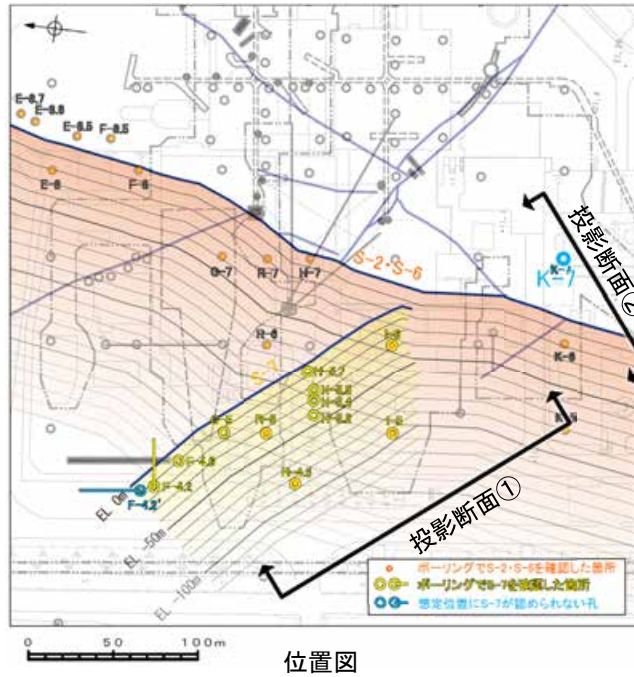
- ・平面的に見て、S-7はS-2・S-6を越えて連続しない。
- ・S-7(N41° W)はS-2・S-6(N11° E)に対して中角度で分布する。
- ・S-7はS-2・S-6に比べて断層規模(断層長さ、破碎部の幅)が小さい。

基礎掘削面スケッチ



# S-7とS-2・S-6の関係②

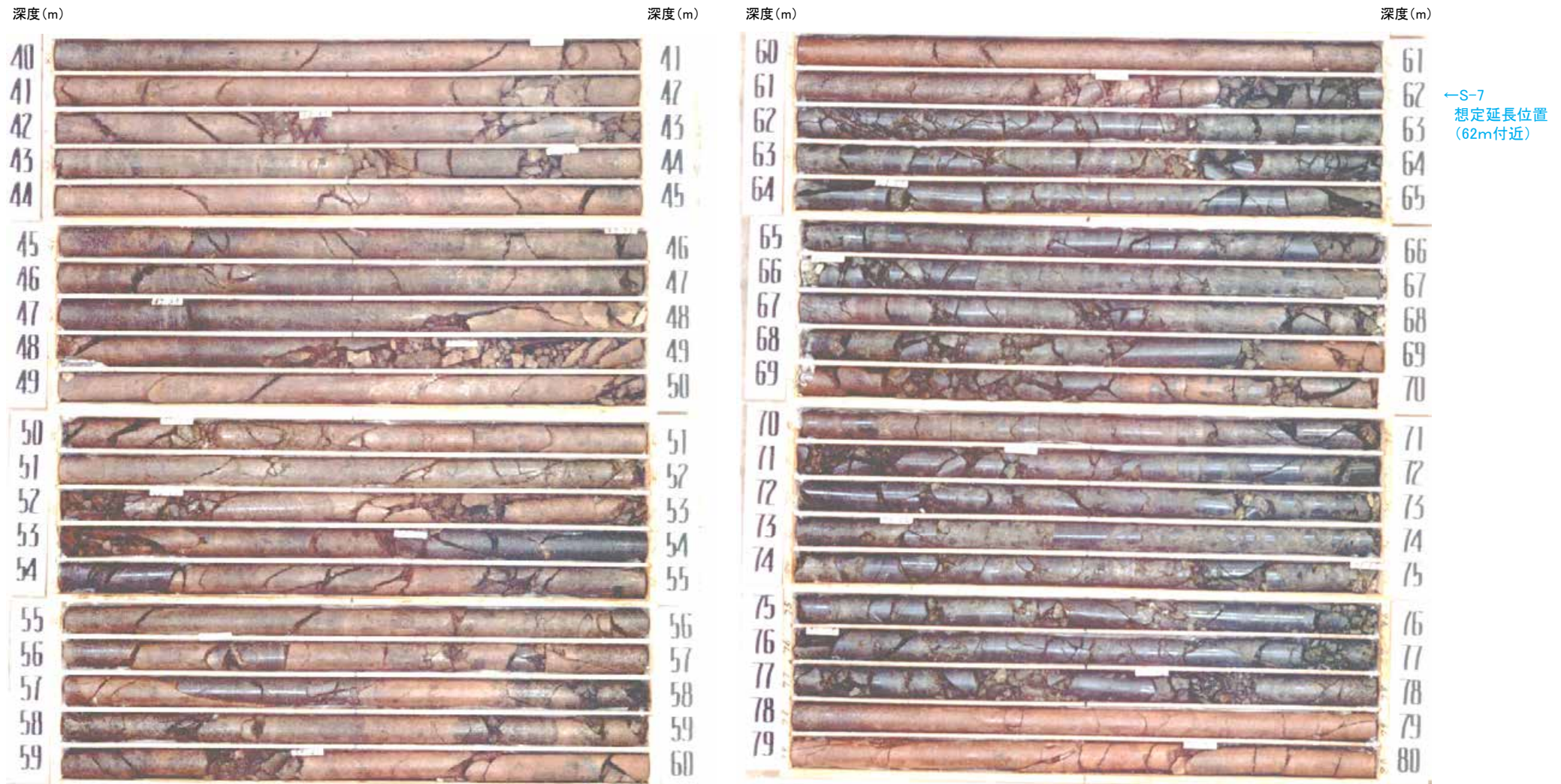
■ボーリングにおけるS-7とS-2・S-6の断面的な関係を示す。



・断面的に見て、S-7はS-2・S-6より南東側のK-7孔において想定延長位置付近に認められず、北西側にのみ認められる。

# S-7とS-2・S-6の関係③

■K-7孔のS-7の想定延長位置付近のコア写真を示す。



コア写真(深度40~80m)

※ 61.7m付近に岩種境界が認められるが、その境界を含め、想定延長位置付近には破砕部は認められない。

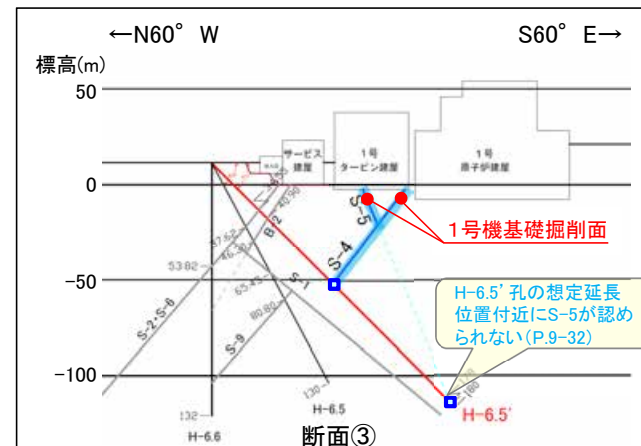
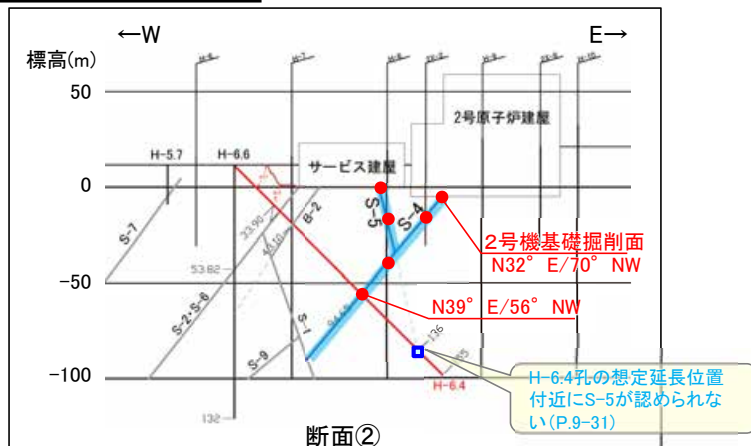
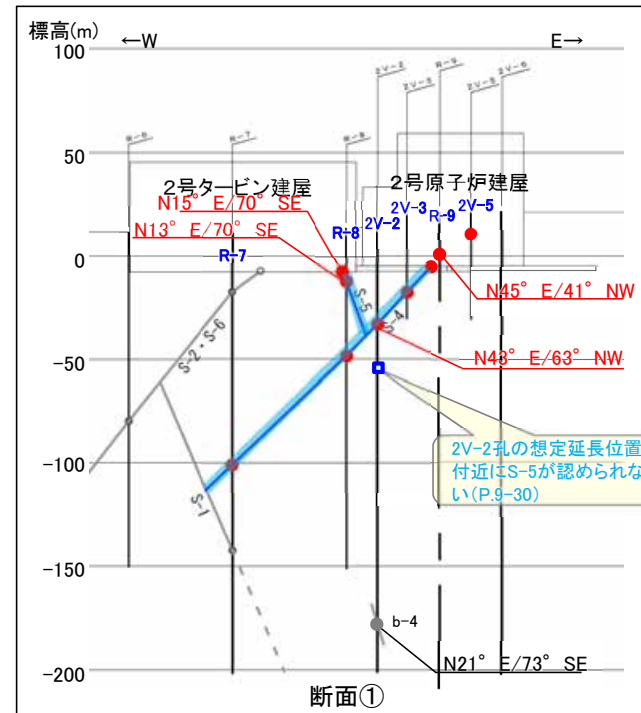
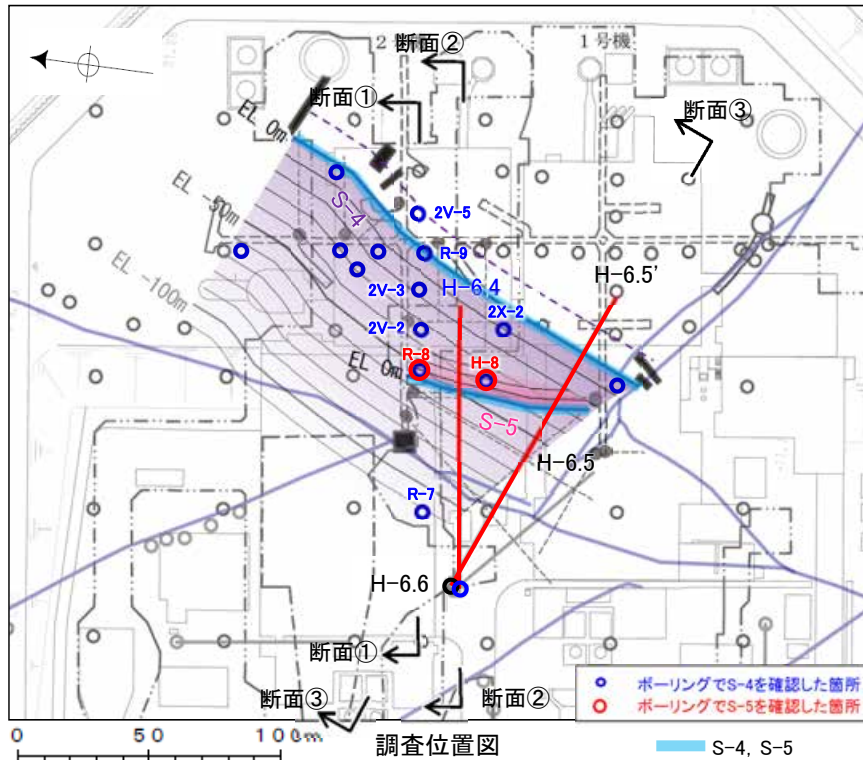
・K-7孔において想定延長位置付近にS-7は認められない。

---

### (3) S-5とS-4の関係

# S-5とS-4の関係①

■ボーリングにより、S-5とS-4の深部での関係について検討を行った。



S-5は2V-2孔、H-6.4孔、H-6.5孔において想定延長位置付近に認められない。

断層規模

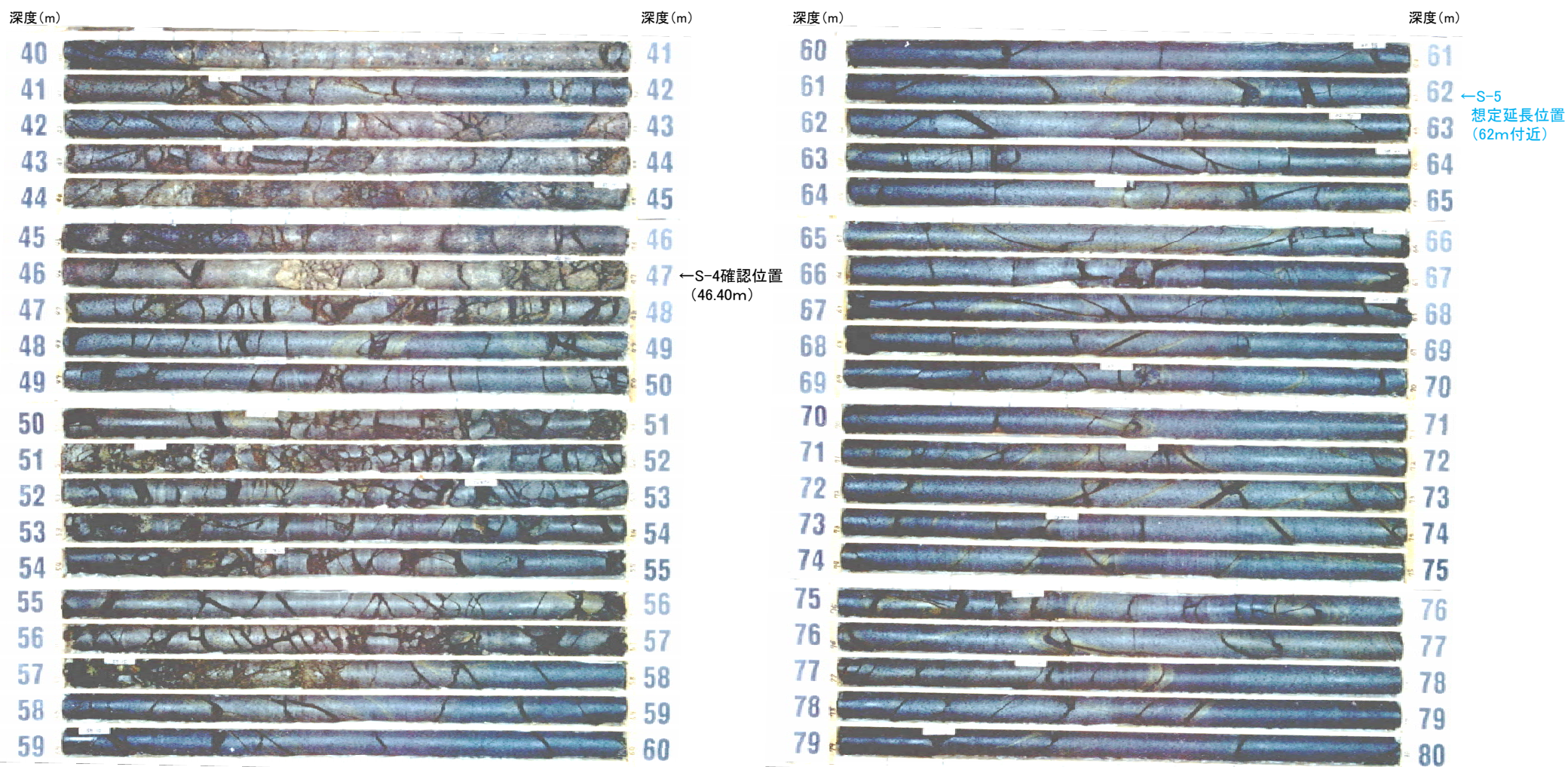
断層名	断層長さ*1	破砕部の幅*2
S-5	70m	2cm (3cm)
S-4	160m*3	9cm (20cm)

- ・断面的に見て、北西傾斜であるS-4と南東傾斜であるS-5は、深部で会合する関係にあり、S-5はS-4を越えて深部に連続しない。
- ・S-5(N4° E)はS-4(N29° E)に対して低角度で分布する。
- ・S-5はS-4に比べて断層規模(断層長さ、破砕部の幅)が小さい。

\*1: 露頭もしくはボーリングにより破砕部が認められないことを確認した地点までの長さ  
\*2: 粘土状破砕部、固結した破砕部を含めた破砕部全体の平均値(下段括弧内は最大値)  
\*3: S-4北東延長部についてはデータ整理中

# S-5とS-4の関係②

■2V-2孔のS-5の想定延長位置付近のコア写真を示す。

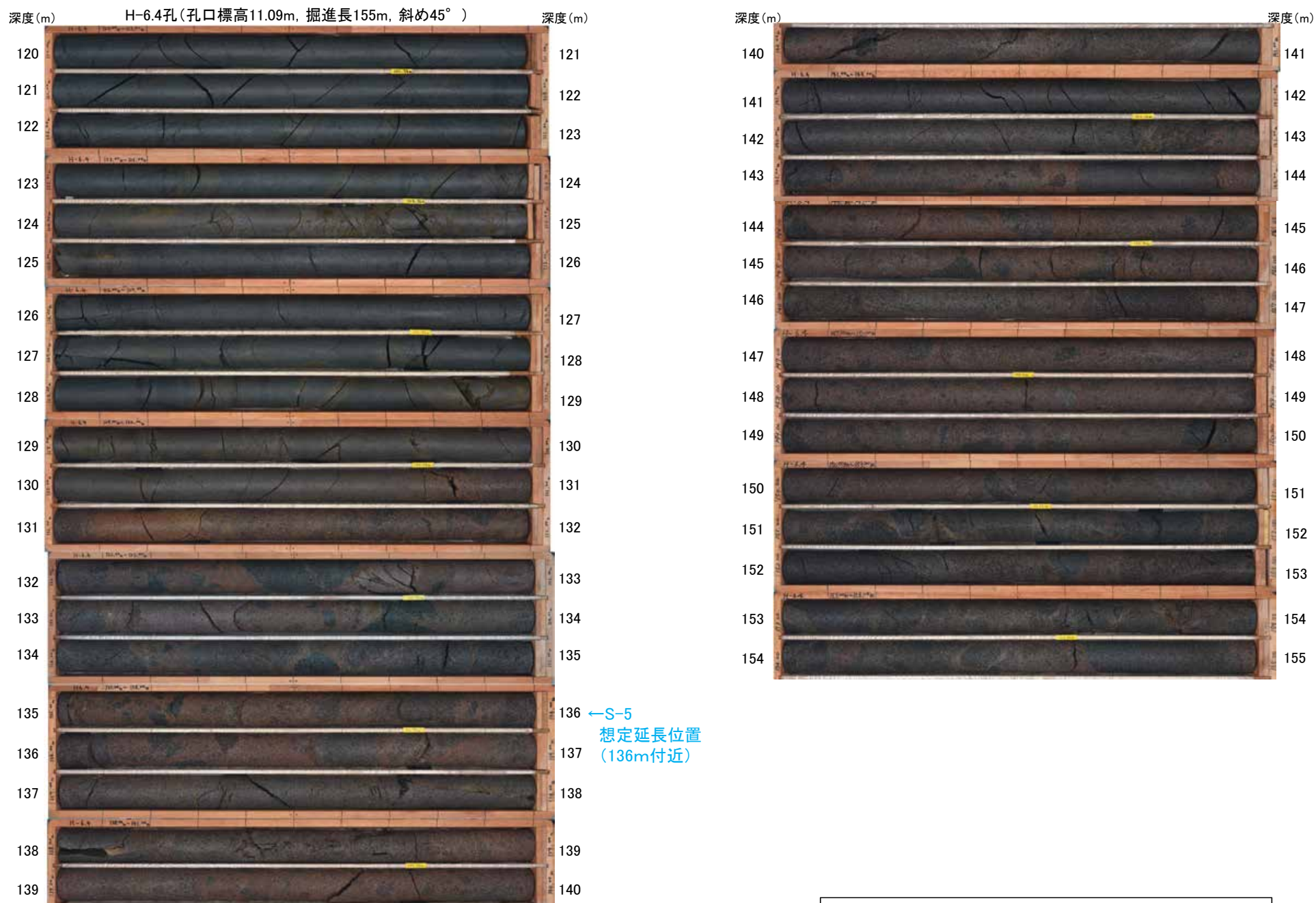


コア写真(深度40~80m)

・2V-2孔において想定延長位置付近にS-5は認められない。

# S-5とS-4の関係③

■H-6.4孔のS-5の想定延長位置付近のコア写真を示す。

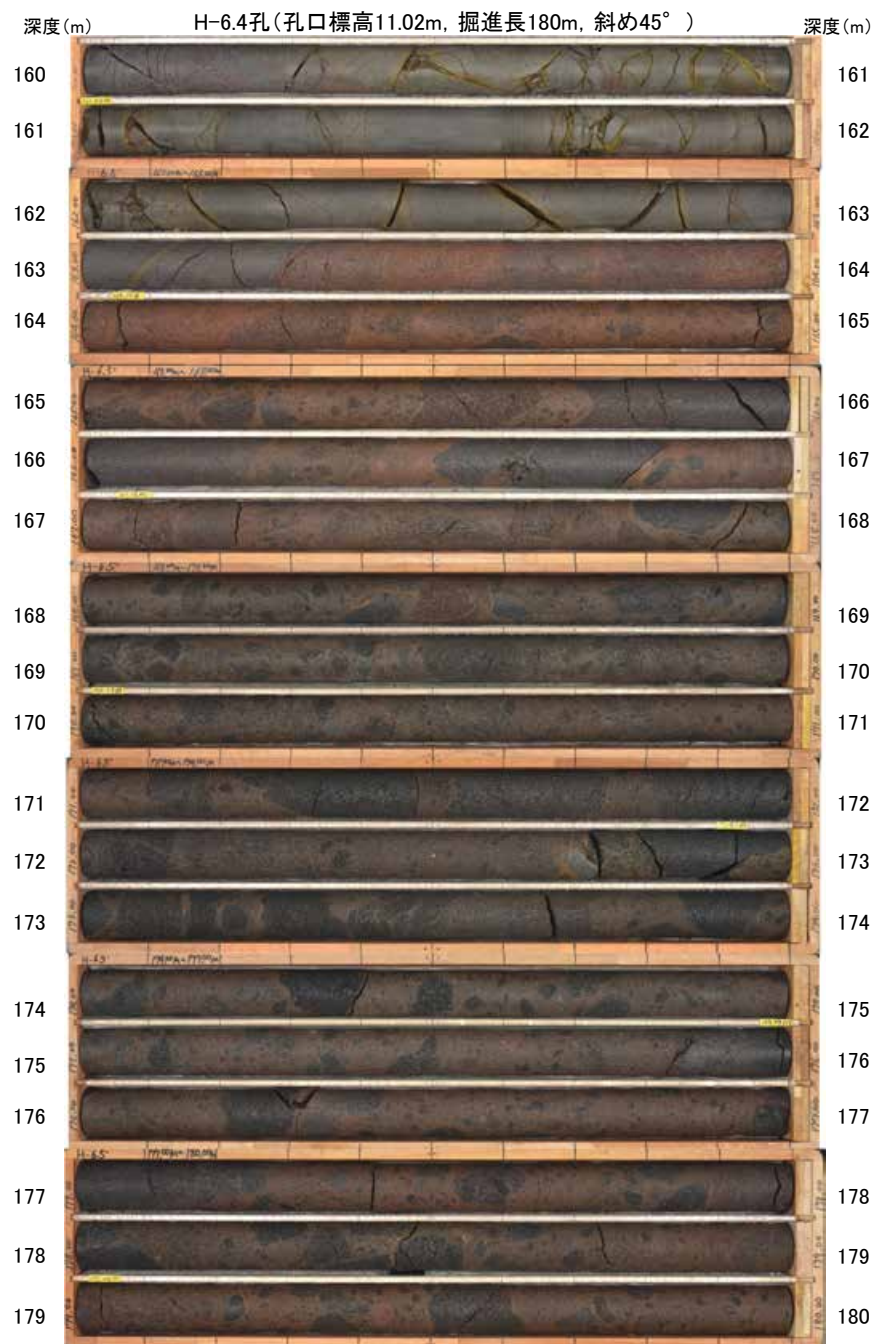


コア写真(深度120~155m)

・H-6.4孔において想定延長位置付近にS-5は認められない。

# S-5とS-4の関係④

■H-6.5' 孔のS-5の想定延長位置付近のコア写真を示す。



コア写真(深度160~180m)

←S-5  
想定延長位置  
(178m付近)

・H-6.5' 孔において想定延長位置付近にS-5  
は認められない。

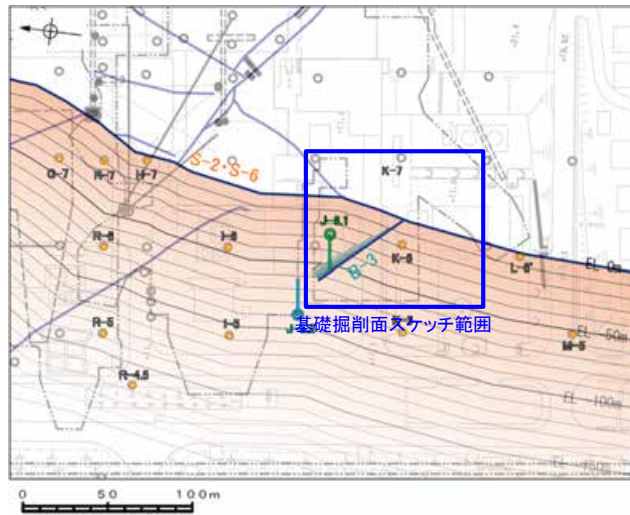


---

(4) B-3とS-2・S-6の関係

# B-3とS-2・S-6の関係

■基礎掘削面におけるB-3とS-2・S-6の関係を示す。



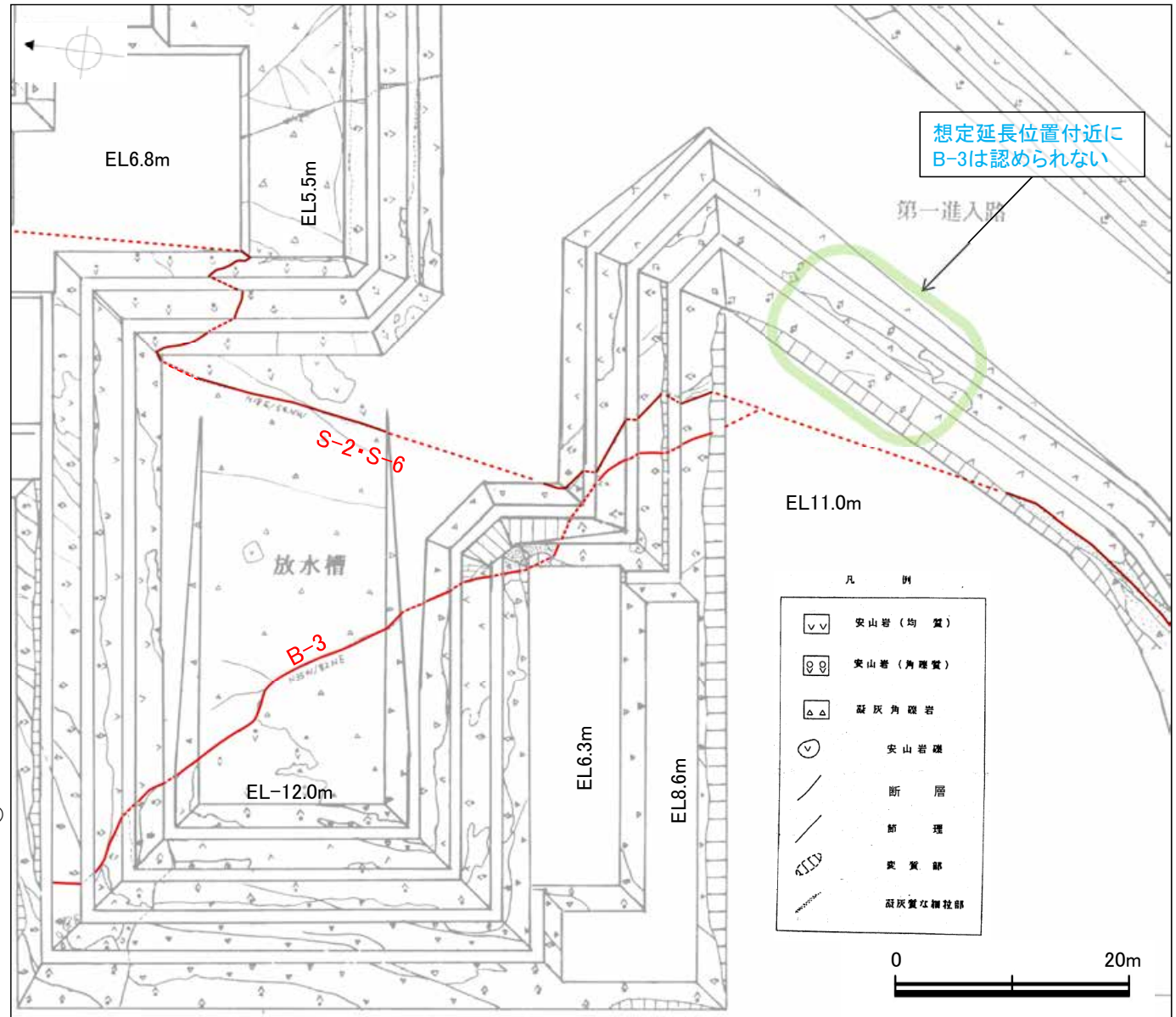
位置図

断層規模

断層名	断層長さ*1	破碎部の幅*2
B-3	60m	3cm (3cm)
S-2・S-6	600m	31cm (76cm)

\*1: 露頭もしくはボーリングにより破碎部が認められないことを確認した地点までの長さ  
\*2: 粘土状破碎部、固結した破碎部を含めた破碎部全体の平均値(下段括弧内は最大値)

- ・平面的に見て、B-3は、S-2・S-6を越えて連続しない。
- ・B-3(N42° W)はS-2・S-6(N11° E)に対して中角度で分布する。
- ・B-3はS-2・S-6に比べて断層規模(断層長さ、破碎部の幅)が小さい。



想定延長位置付近に  
B-3は認められない

基礎掘削面スケッチ

---

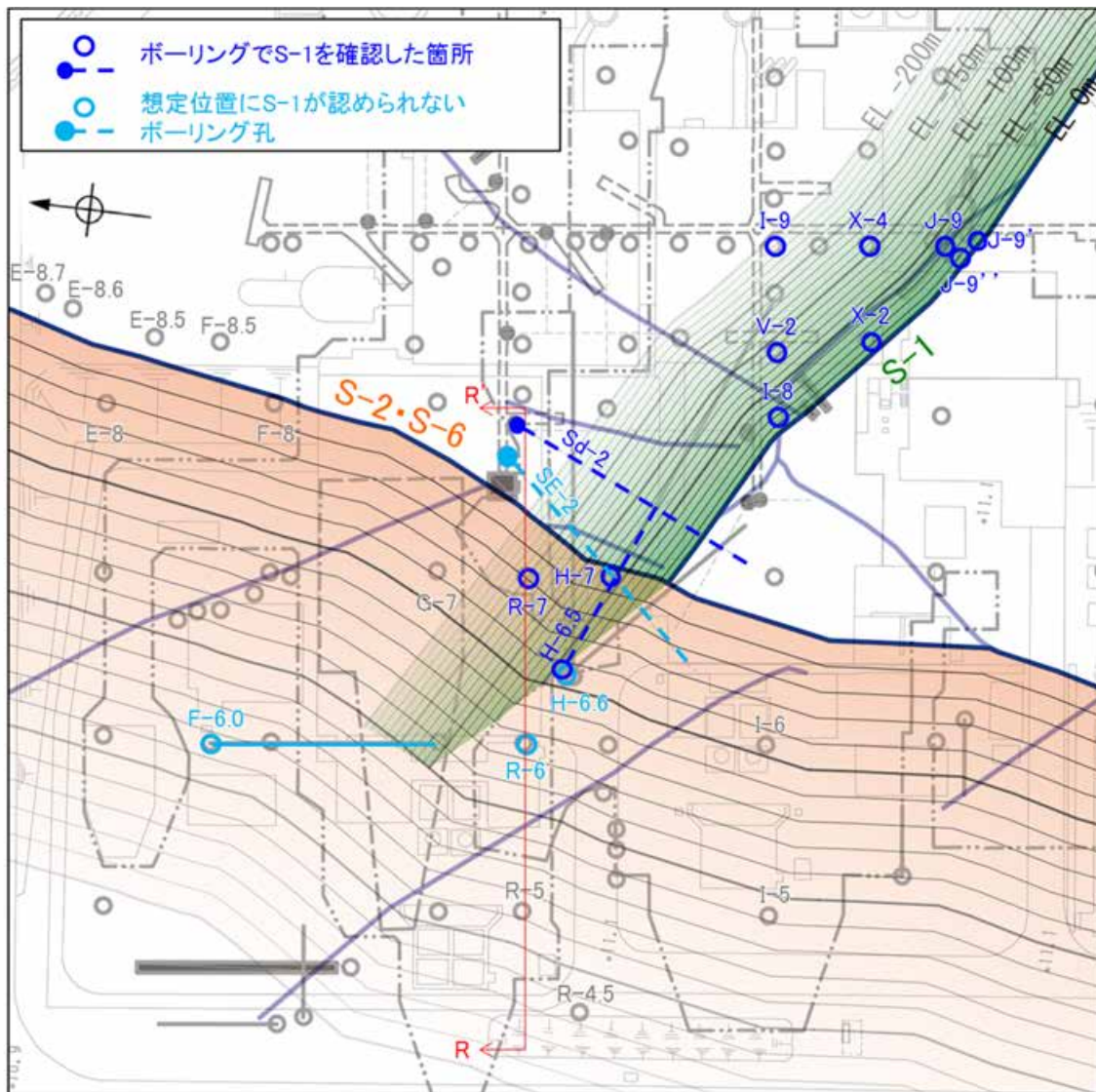
### 3. 評価対象断層間の関係

---

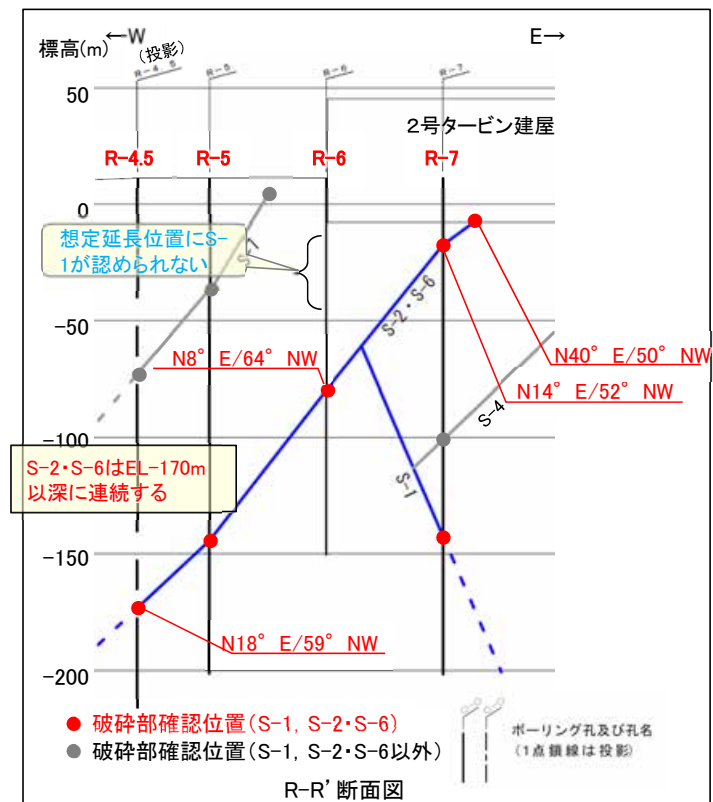
(1) S-1とS-2・S-6の関係

# S-1とS-2・S-6の関係 -概要-

■S-1とS-2・S-6の関係を示す。



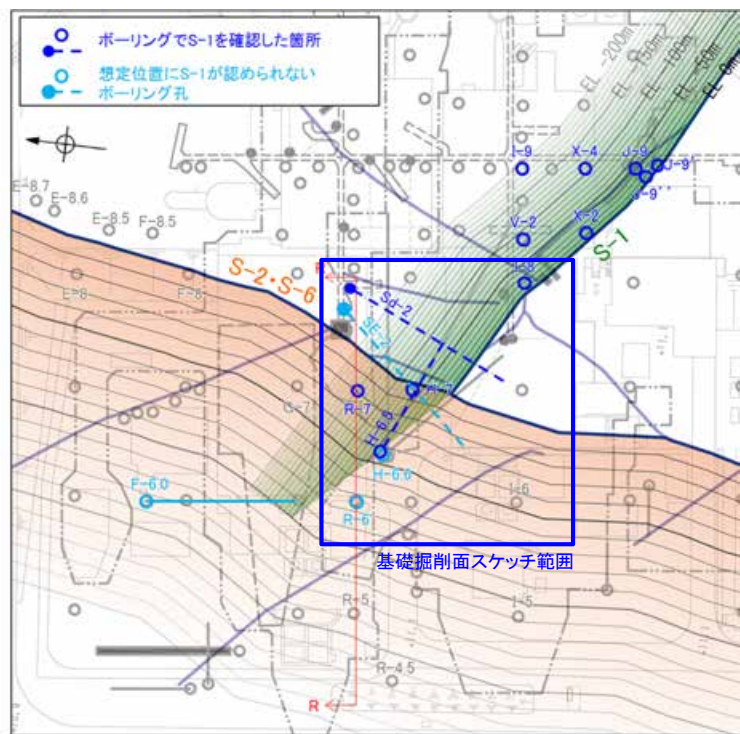
S-1とS-2・S-6の関係



- ・平面的に見て、S-1はS-2・S-6を越えて連続しない。(P.9-38)
- ・断面的に見て、S-1はS-2・S-6の北西側に認められず、南東側にのみ認められる。(P.9-39)
- ・S-1とS-2・S-6の会合部の交差角は高角である。(P.9-38)
- ・S-2・S-6はS-1との会合部付近でほぼ直線的に分布する。(P.9-42)
- ・S-1はS-2・S-6に比べて断層長さは長いものの、破砕部の幅は小さい。(P.9-38)

# S-1とS-2・S-6の関係①

■基礎掘削面におけるS-1とS-2・S-6の関係を示す。

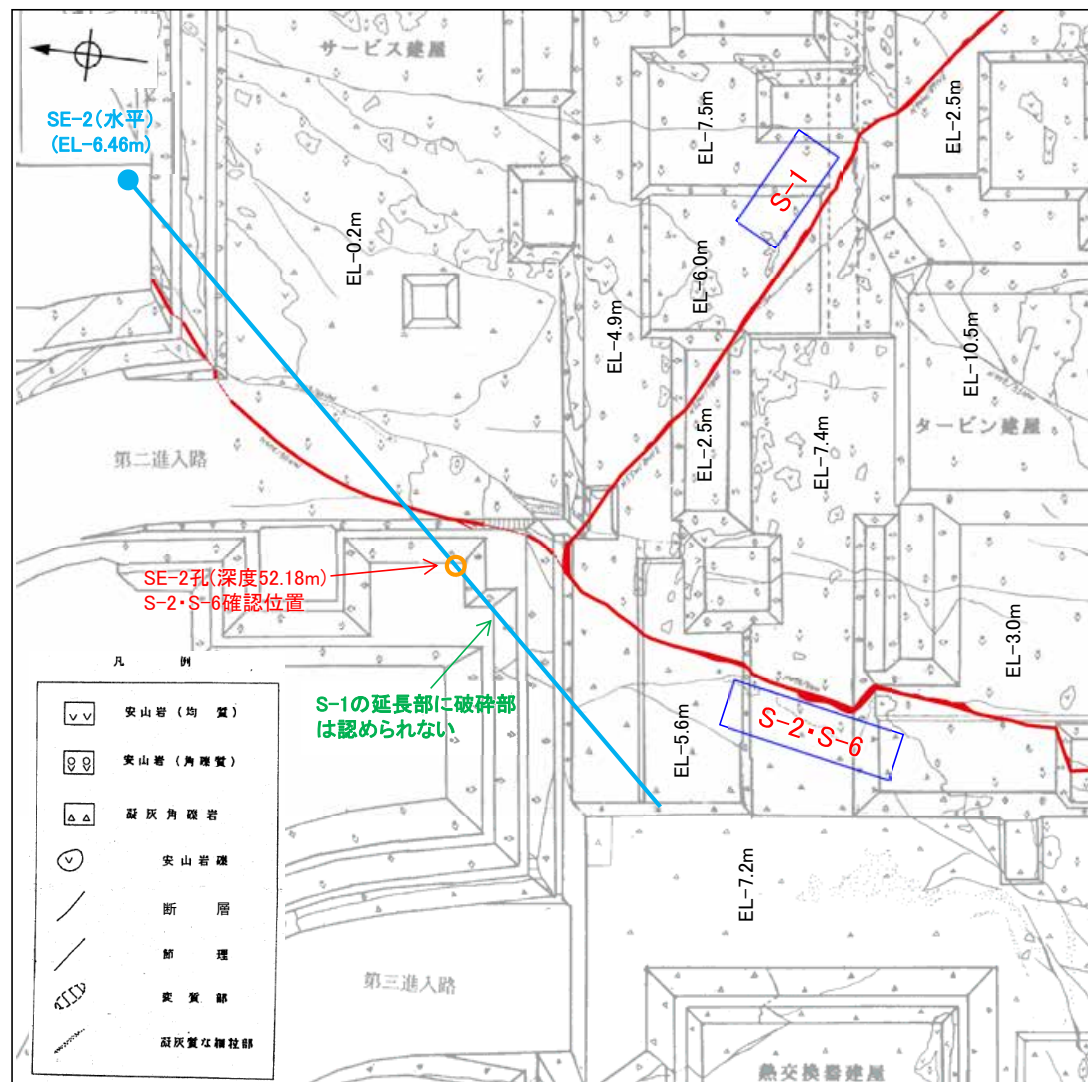


断層規模

断層名	断層長さ*1	破碎部の幅*2
S-1	780m	14cm (27cm)
S-2・S-6	600m	31cm (76cm)

\*1: 露頭もしくはボーリングにより破碎部が認められないことを確認した地点までの長さ  
\*2: 粘土状破碎部、固結した破碎部を含めた破碎部全体の平均値(下段括弧内は最大値)

- ・平面的に見て、S-1はS-2・S-6を越えて連続しない。
- ・SE-2孔において、S-1の延長部に破碎部は認められない。
- ・S-1とS-2・S-6の会合部の交差角は高角である。
- ・S-1はS-2・S-6に比べて断層長さは長いものの、破碎部の幅は小さい。

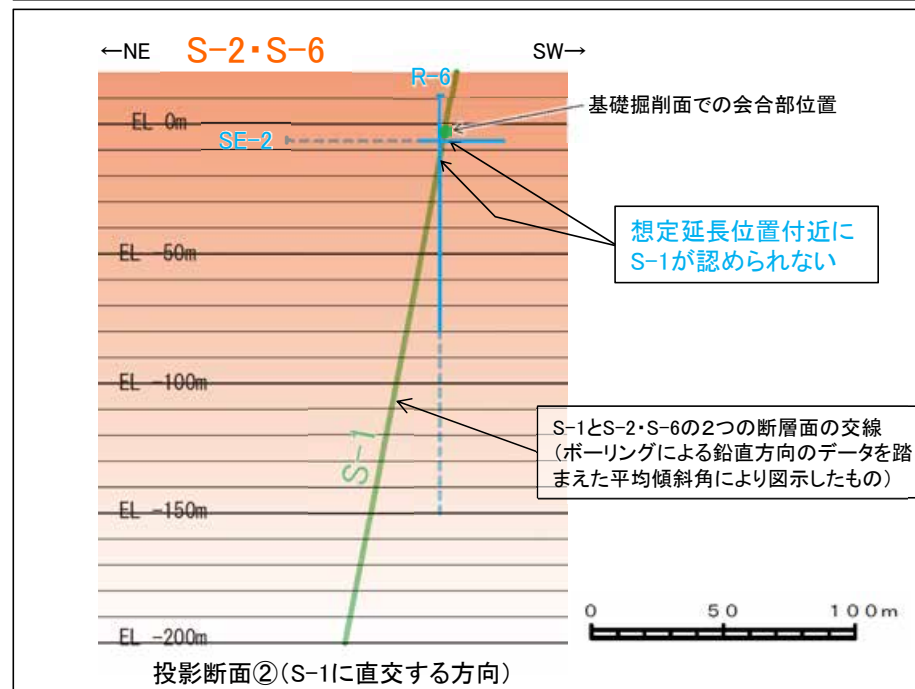
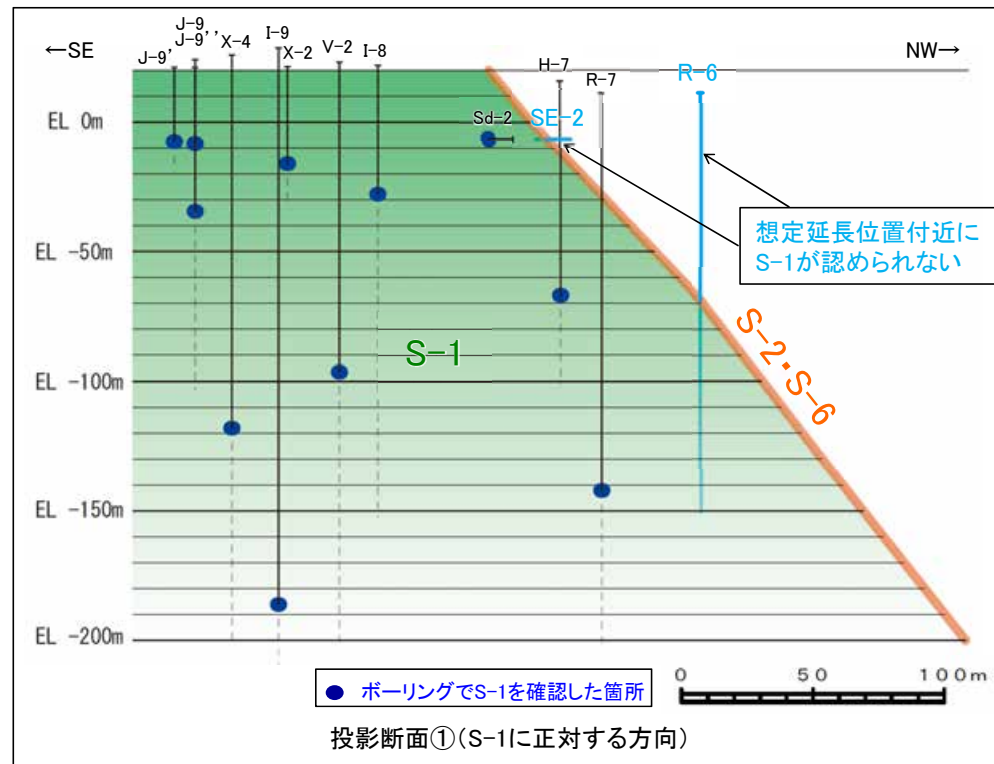
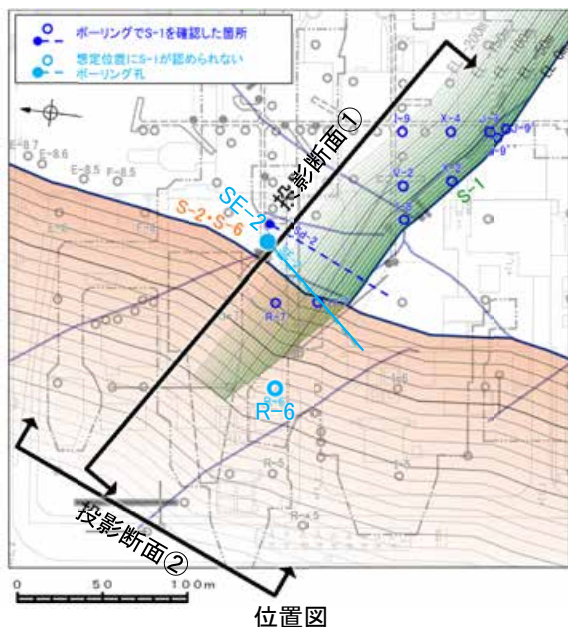


0 20m

基礎掘削面スケッチ

# S-1とS-2・S-6の関係②

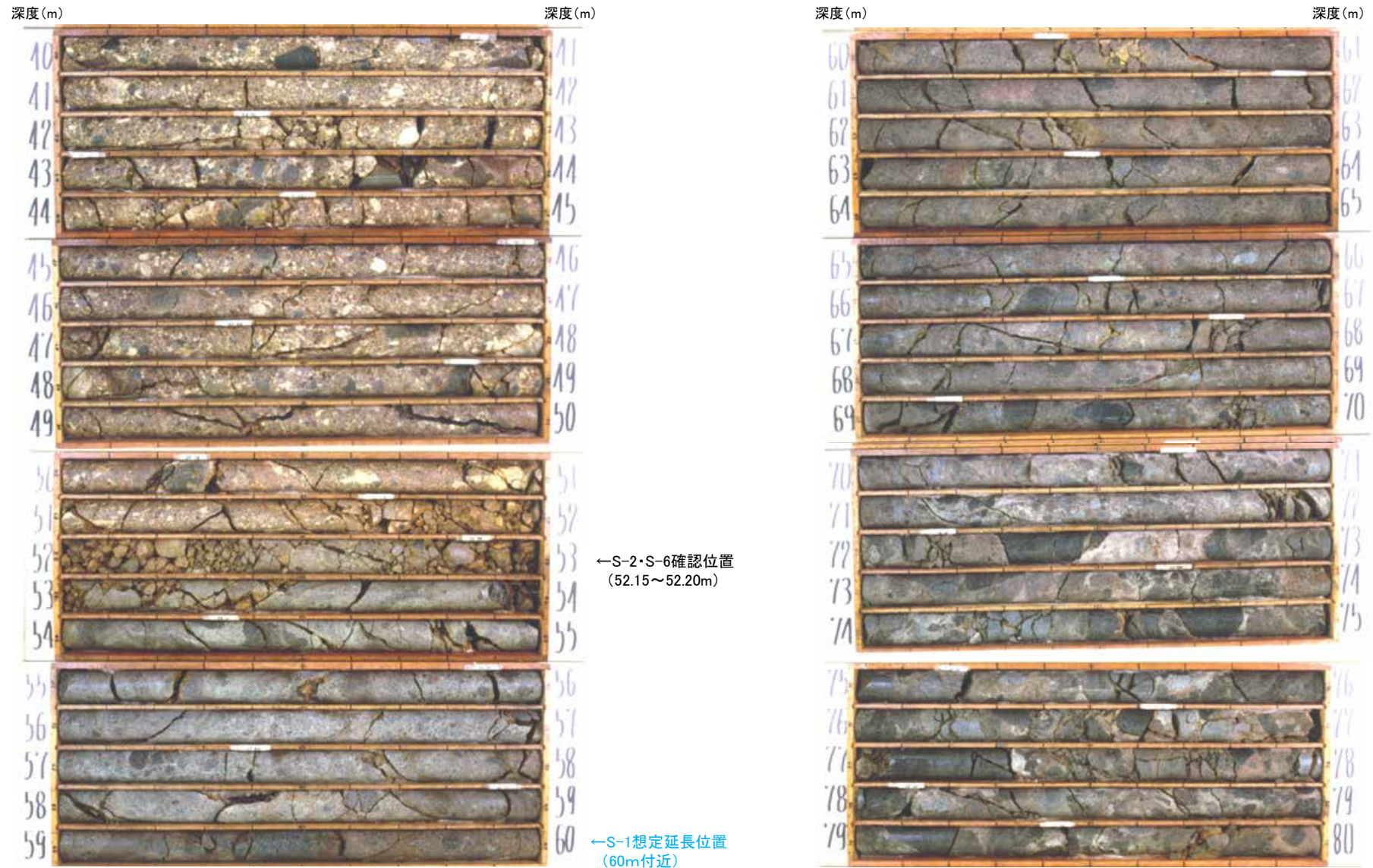
■ボーリングにおけるS-1とS-2・S-6の断面的な関係を示す。



・断面的に見て、S-1はS-2・S-6断層面より北西側のSE-2孔及びR-6孔において想定延長位置付近に認められず、S-2・S-6断層面より南東側にのみ認められる。

# S-1とS-2・S-6の関係③

■SE-2孔のS-1の想定延長位置付近のコア写真を示す。



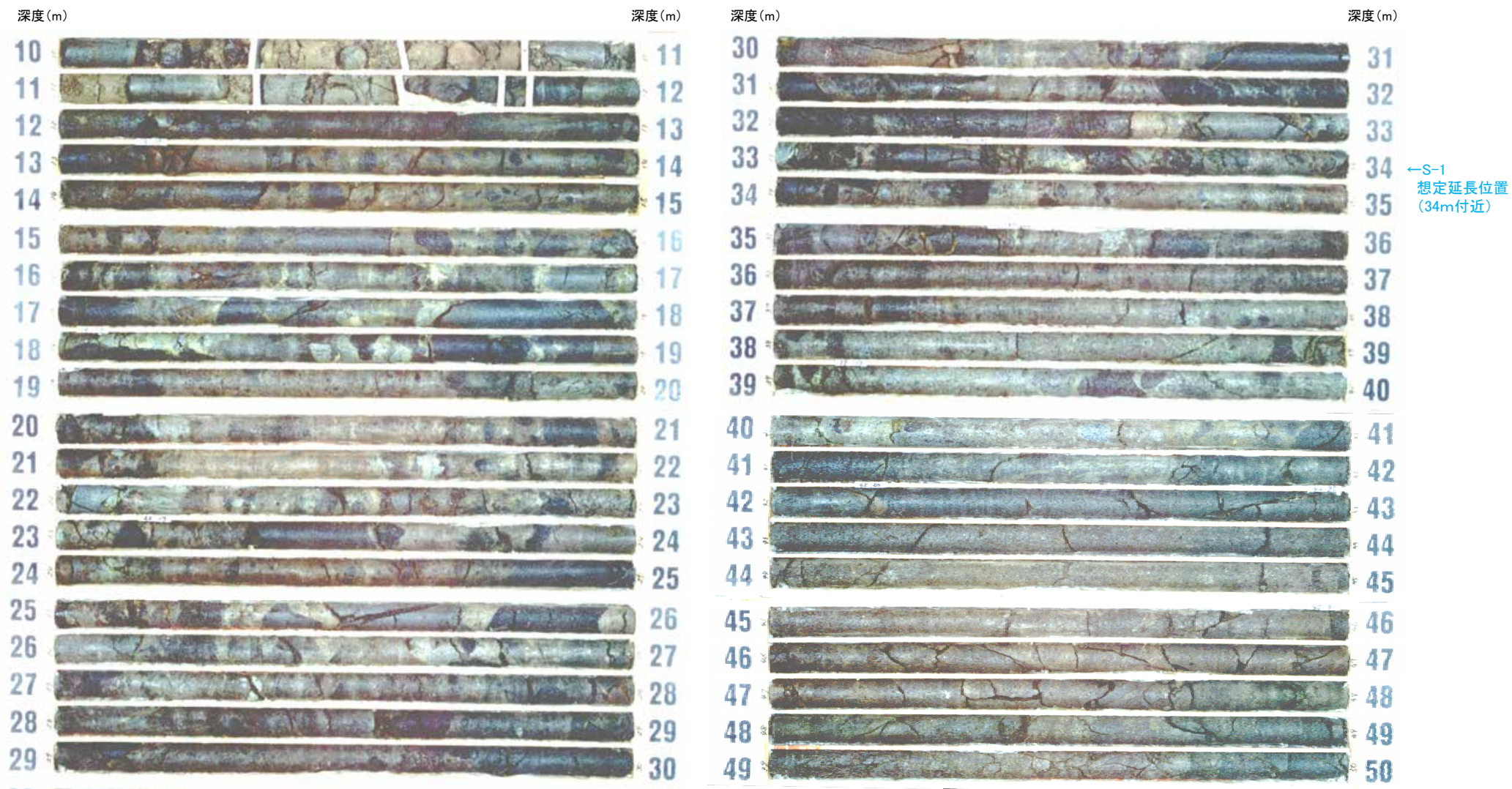
コア写真(深度40~80m)

SE-2孔において想定延長位置付近にS-1は認められない。



# S-1とS-2・S-6の関係④

■R-6孔のS-1の想定延長位置付近のコア写真を示す。

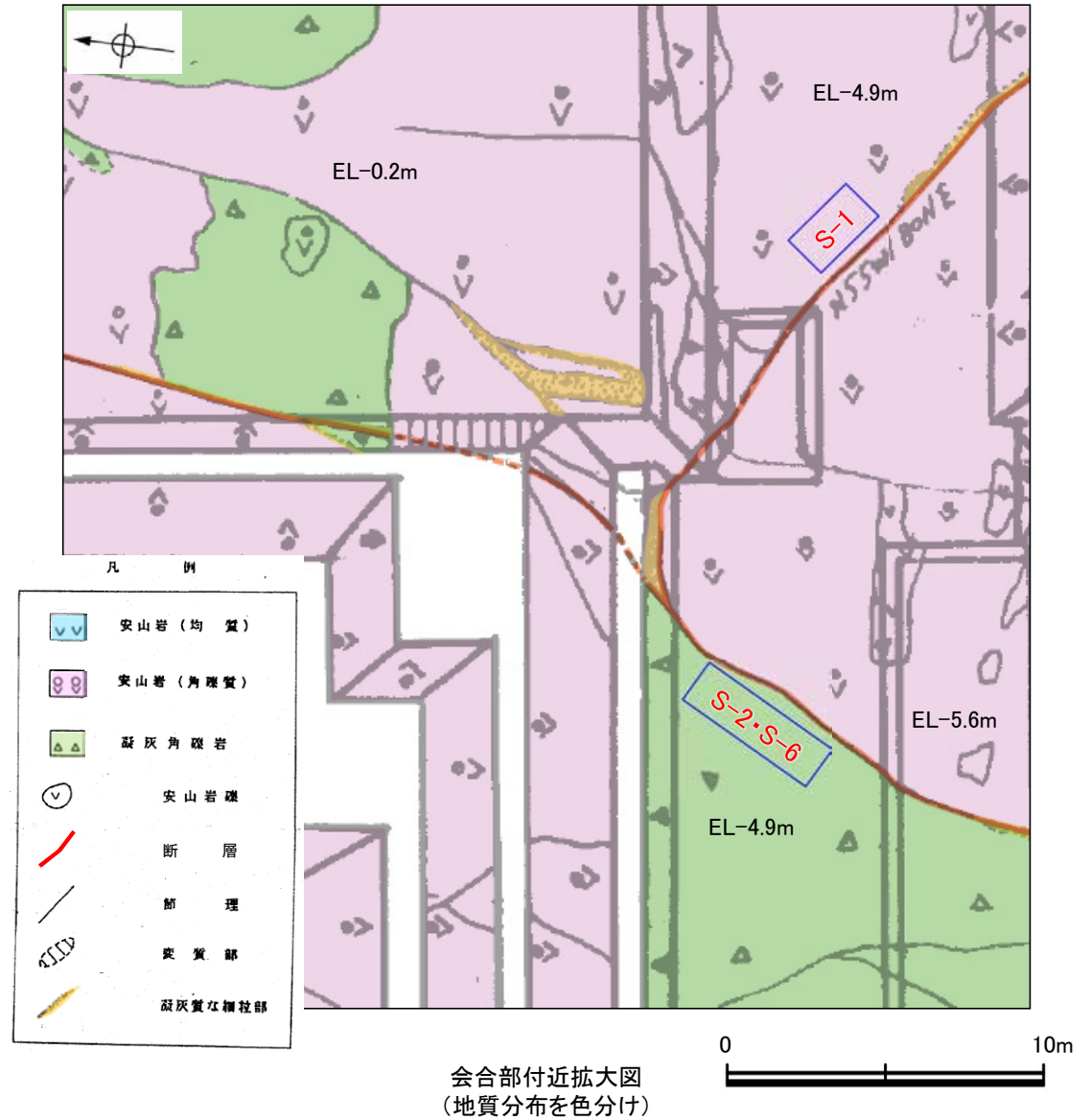
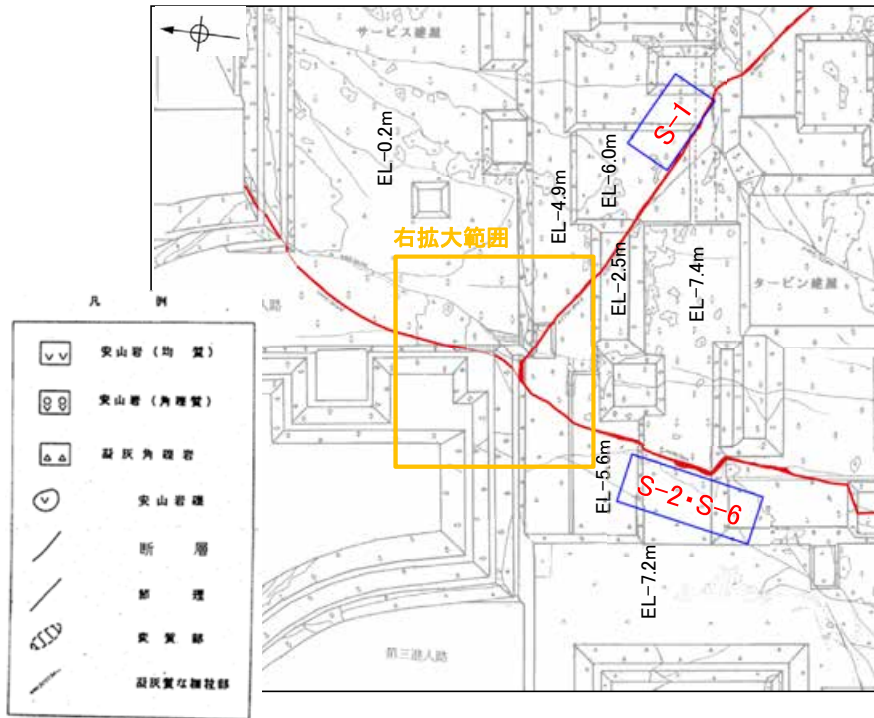


コア写真(深度10~50m)

・R-6孔において想定延長位置付近にS-1は認められない。

# S-1とS-2・S-6の関係⑤(会合部状況1/2)

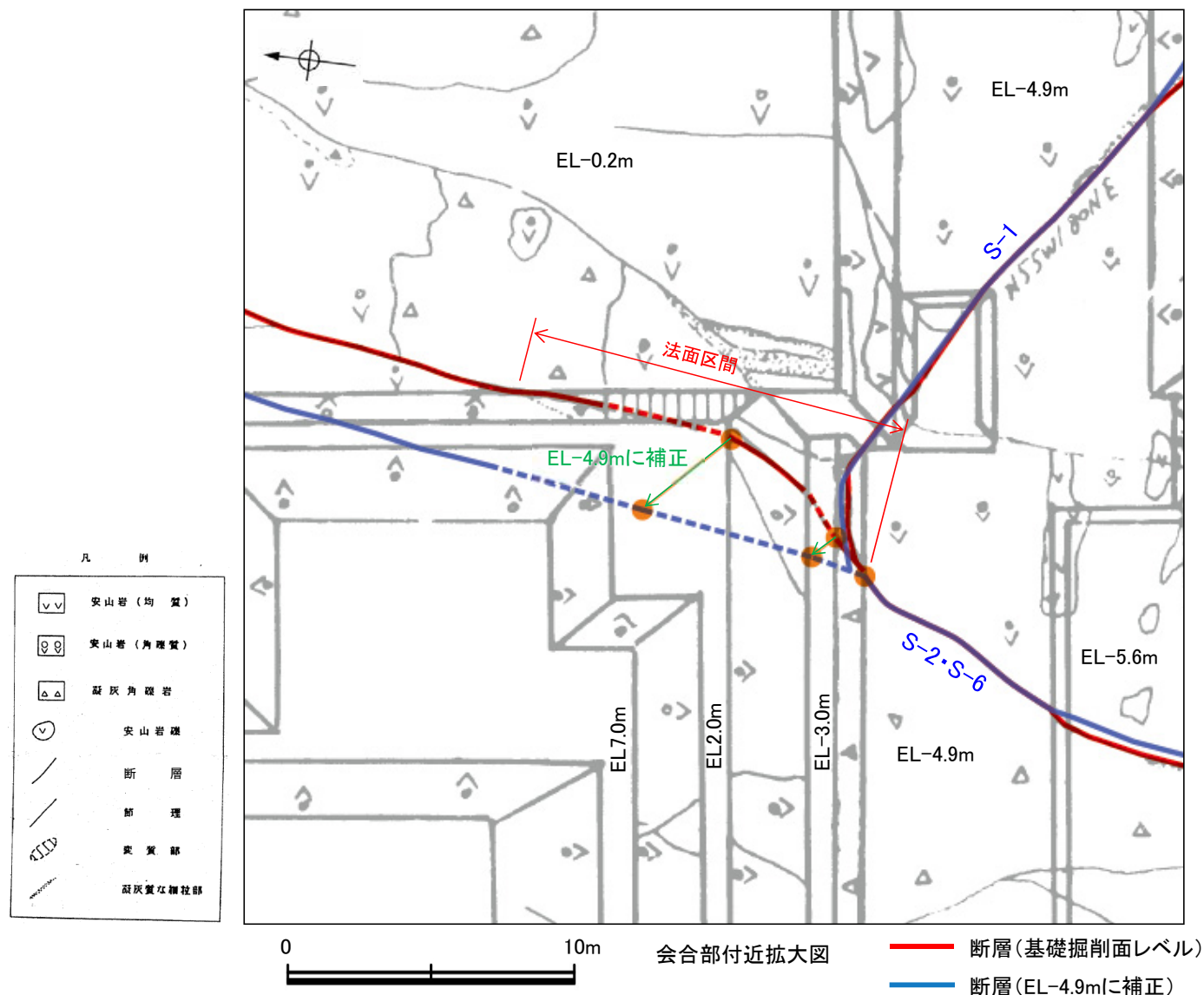
■基礎掘削面の会合部におけるS-1とS-2・S-6の関係を示す。



・S-2・S-6は、S-1との会合部付近で、ほぼ直線的に分布する(同一標高に補正して断層トレースを示した図は次頁参照)。  
 ・S-1の固結した粘土・砂状破砕部(図中黄色着色部)は、S-2・S-6を越えて連続しない。

# S-1とS-2・S-6の関係⑤(会合部状況2/2)

■前頁で示した会合部での確認結果について、基礎掘削面で確認された走向傾斜を用いて同一標高に補正して断層トレースを示すと以下ようになる。



・S-2・S-6はS-1との会合部付近でほぼ直線的に分布する。

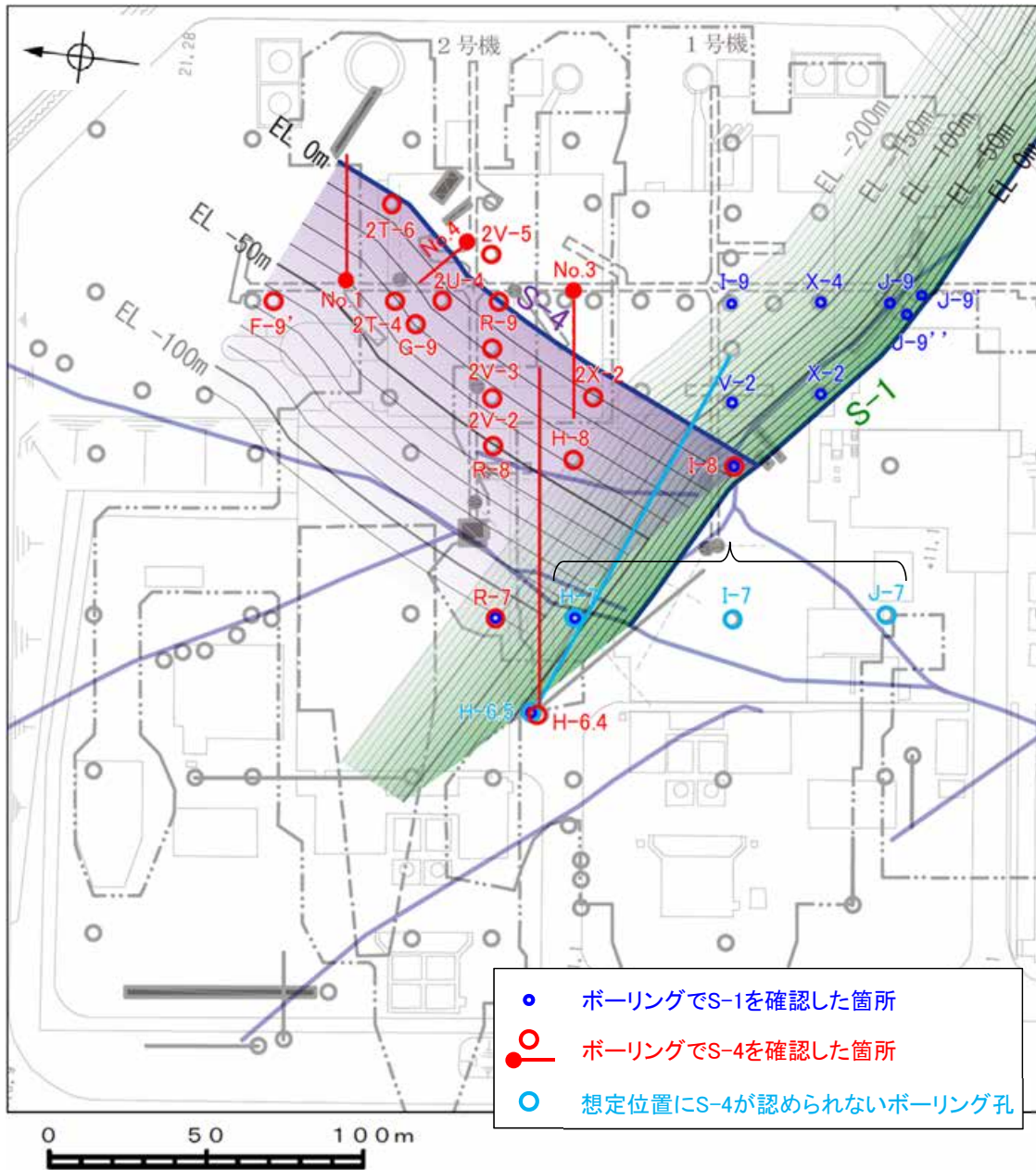
法面区間については、S-2・S-6の正確な走向のデータが得られていないため、基礎掘削面法肩での断層確認位置から直近の底盤(EL-4.9m)で確認した走向に対して垂直な方向にEL-4.9mに投影して図示した。

---

## (2) S-4とS-1の関係

# S-4とS-1の関係 -概要-

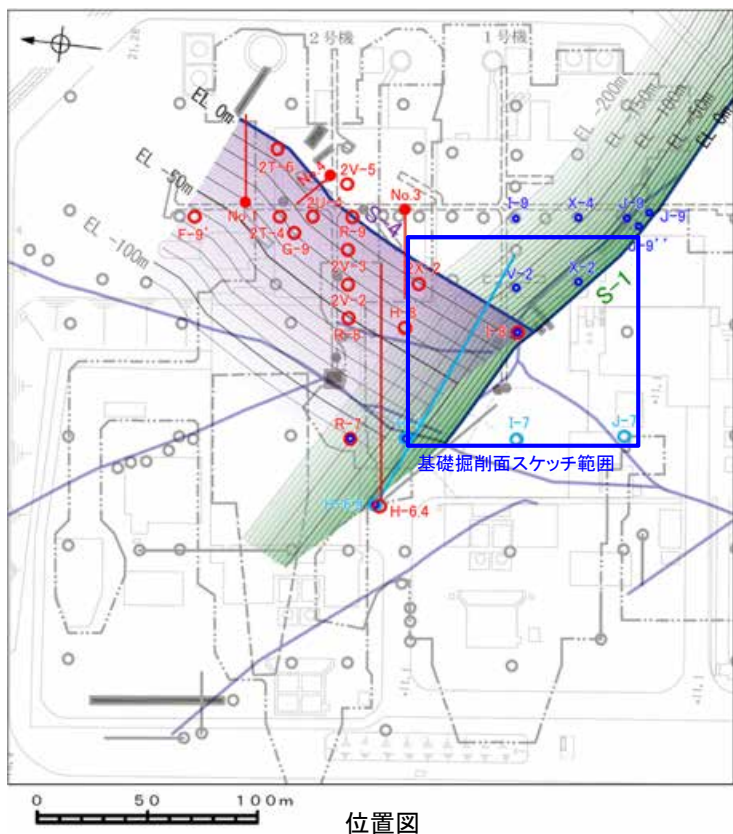
■S-4とS-1の関係を示す。



- ・平面的に見て、S-4はS-1を越えて連続しない。(P.9-46)
- ・断面的に見て、S-4はS-1の南西側に認められず、北東側にのみ認められる。(P.9-47)
- ・S-4とS-1の会合部の交差角は高角である。(P.9-46)
- ・S-1はS-4との会合部付近でほぼ直線的に分布する。(P.9-51)
- ・S-4はS-2・S-6に比べて、破碎部の幅は小さい。(P.9-46)

# S-4とS-1の関係①

■基礎掘削面におけるS-4とS-1の関係を示す。

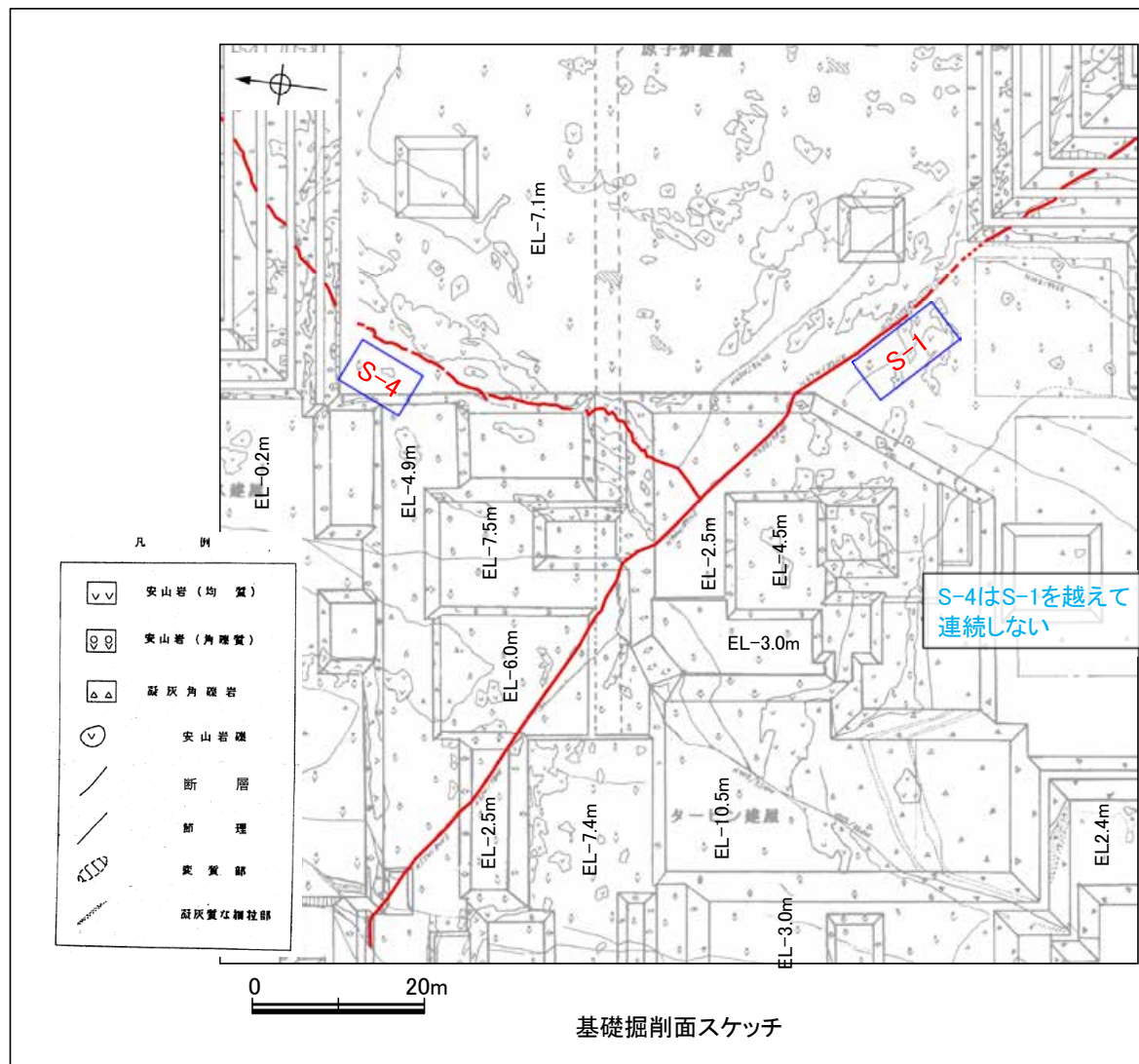


断層規模

断層名	断層長さ*1	破砕部の幅*2
S-4	160m*3	9cm (20cm)
S-1	780m	14cm (27cm)

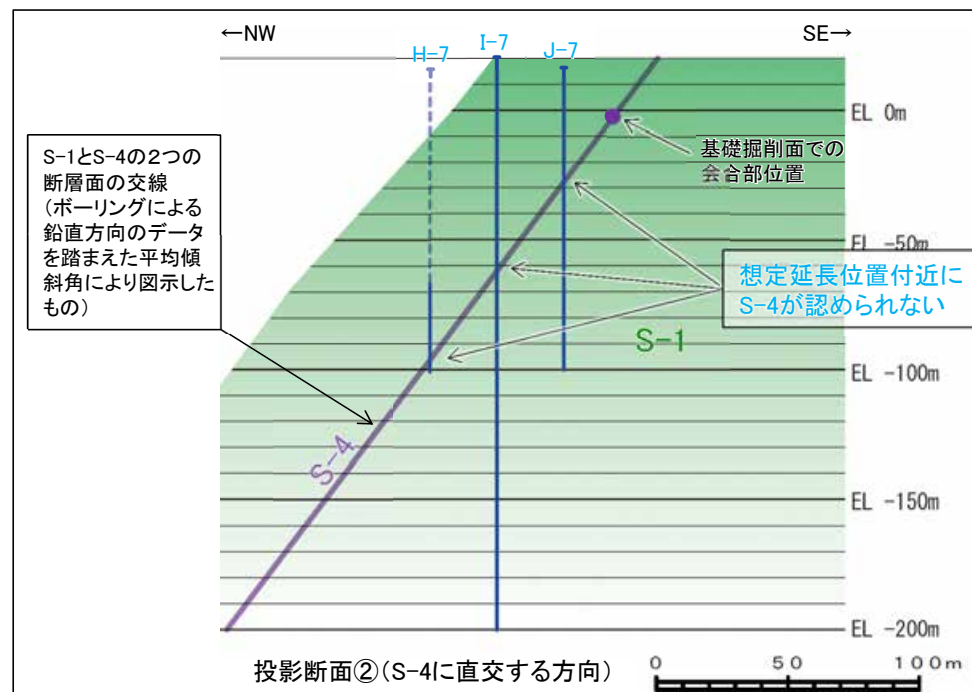
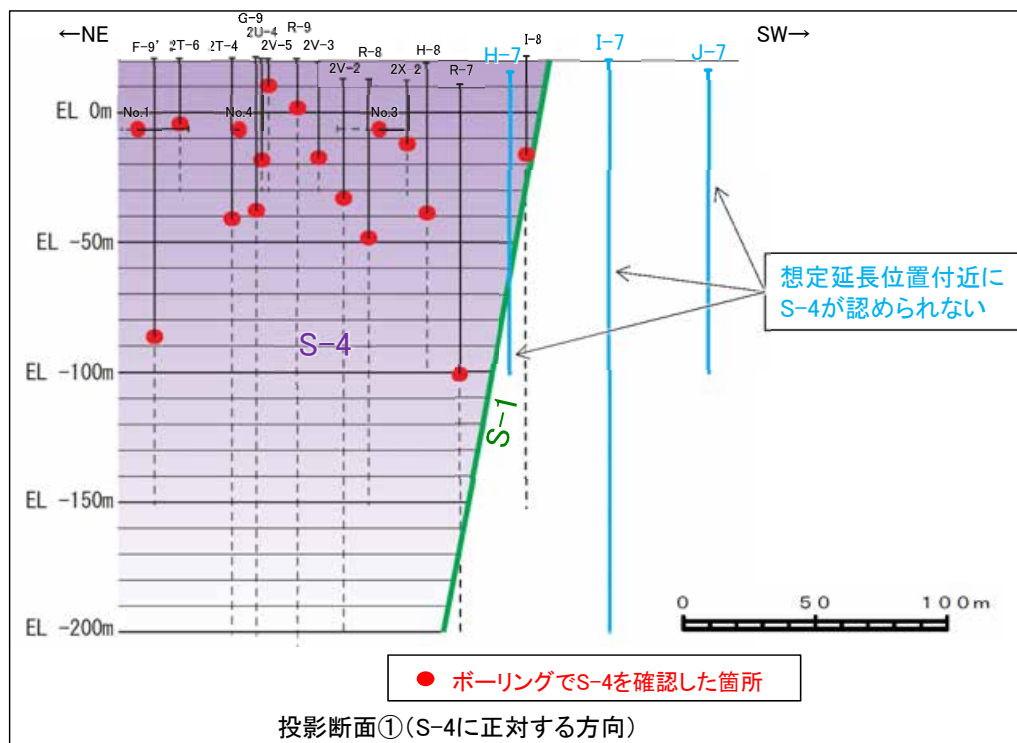
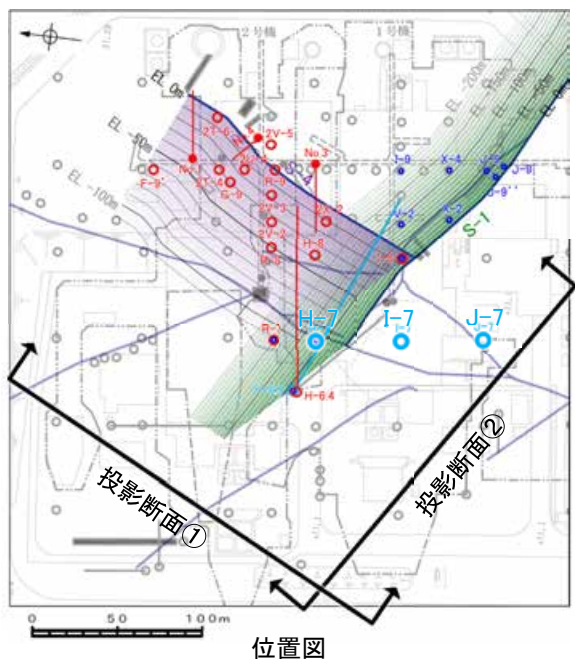
\*1: 露頭もしくはボーリングにより破砕部が認められないことを確認した地点までの長さ  
 \*2: 粘土状破砕部、固結した破砕部を含めた破砕部全体の平均値(下段括弧内は最大値)  
 \*3: S-4北東延長部についてはデータ整理中

- ・平面的に見て、S-4はS-1を越えて連続しない。
- ・S-4とS-1の会合部の交差角は高角である。
- ・S-4はS-2・S-6に比べて、破砕部の幅は小さい。



# S-4とS-1の関係②

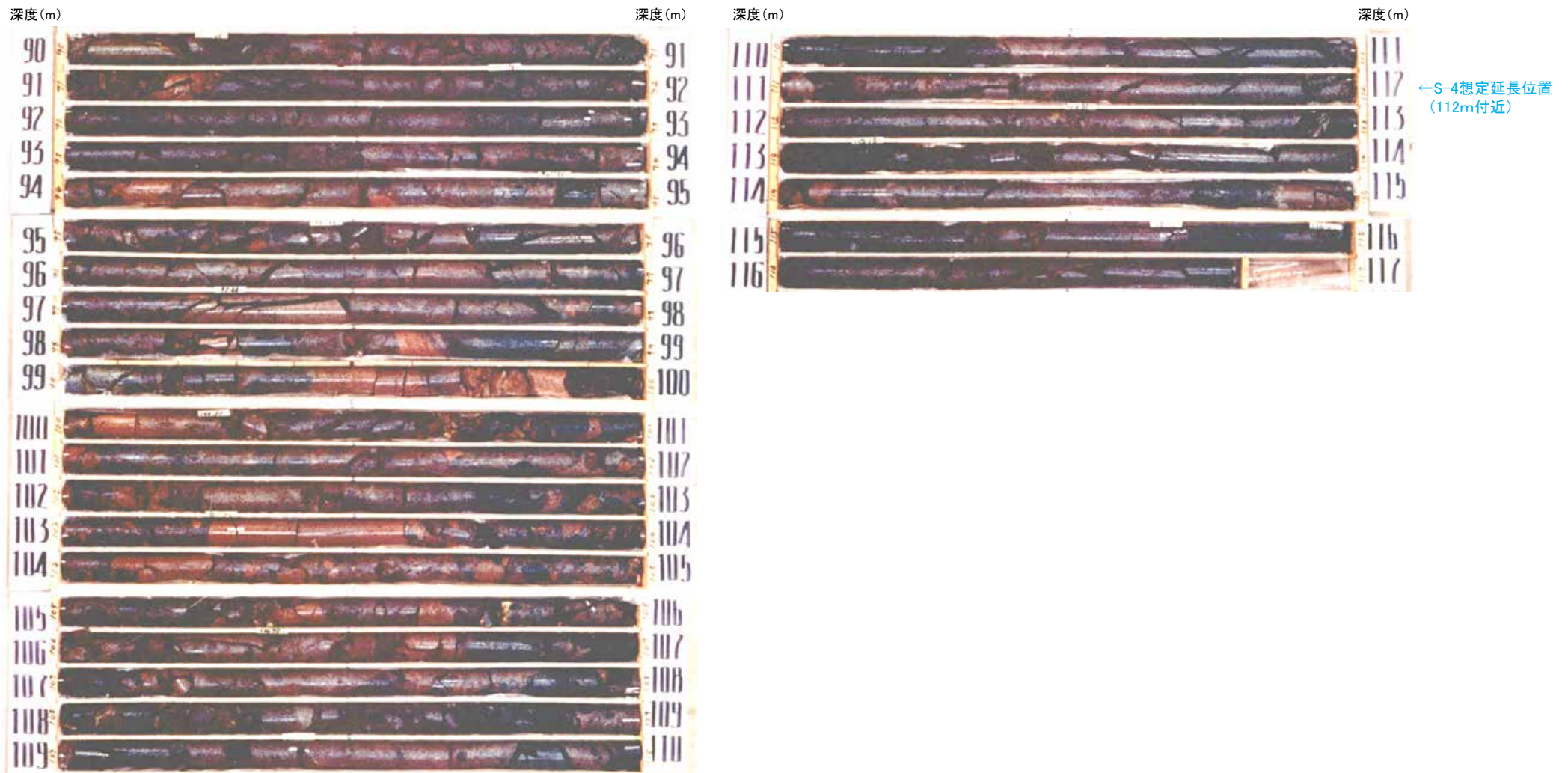
■ボーリングにおけるS-4とS-1の断面的な関係を示す。



・断面的に見て、S-4はS-1断層面より南西側のボーリングH-7孔、I-7孔及びJ-7孔において想定延長位置付近に認められず、S-1断層面より北東側のみ認められる。

# S-4とS-1の関係③

■H-7孔のS-4の想定延長位置付近のコア写真を示す。



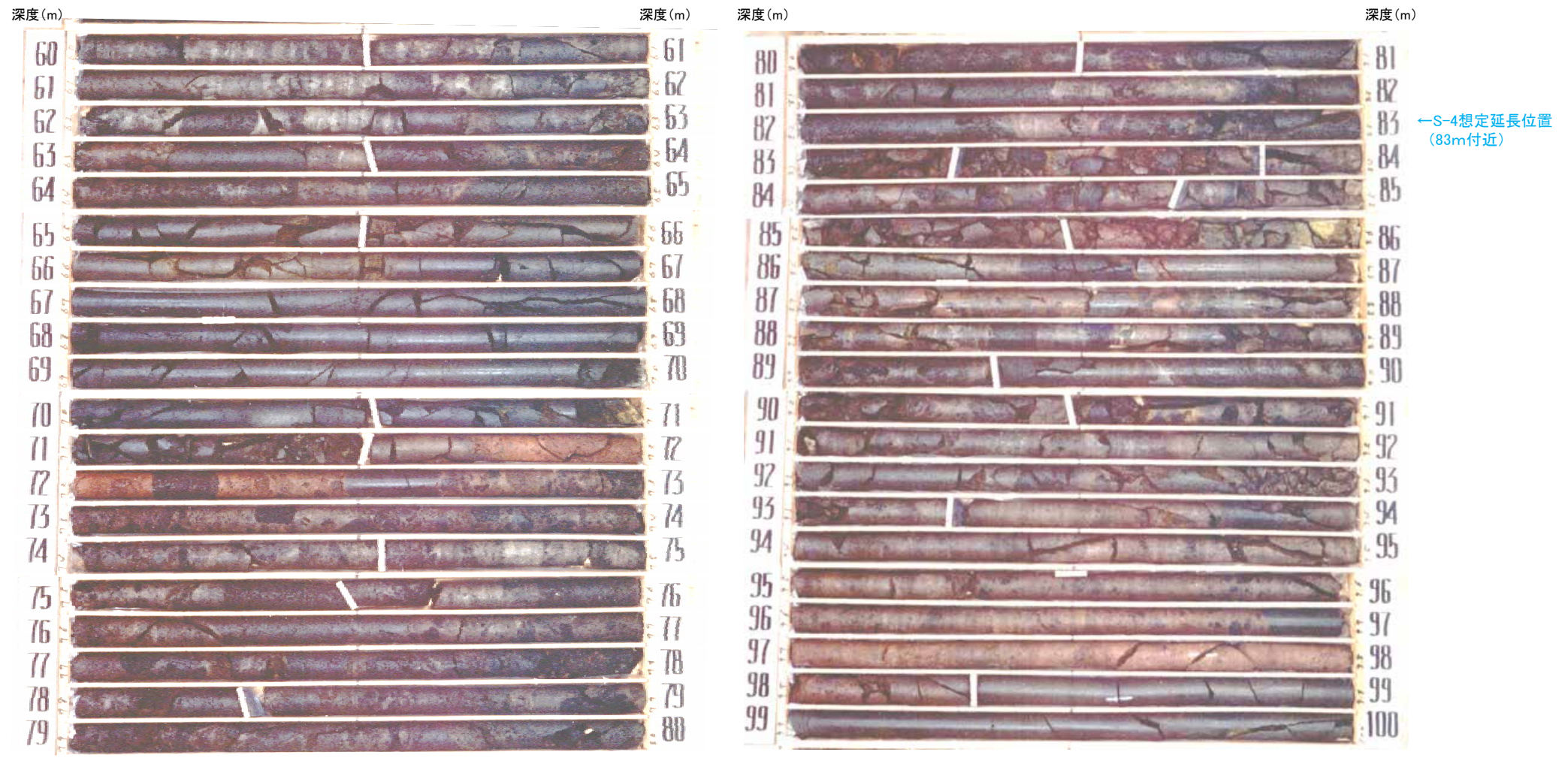
コア写真(深度90~116.8m)

・H-7孔において想定延長位置付近にS-4は認められない。



# S-4とS-1の関係④

■I-7孔のS-4の想定延長位置付近のコア写真を示す。

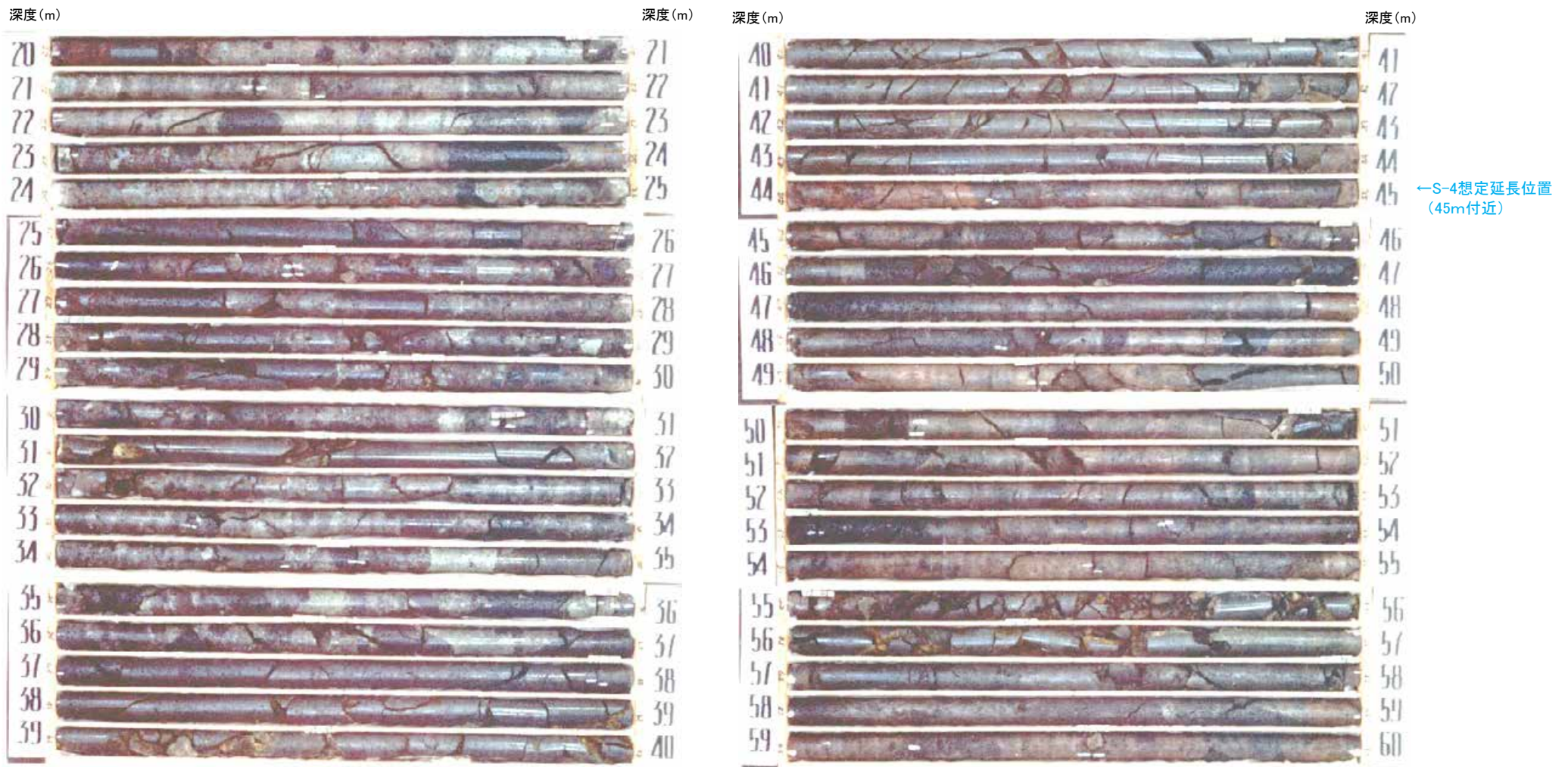


コア写真(深度60~100m)

・I-7孔において想定延長位置付近にS-4は認められない。

# S-4とS-1の関係⑤

■J-7孔のS-4の想定延長位置付近のコア写真を示す。

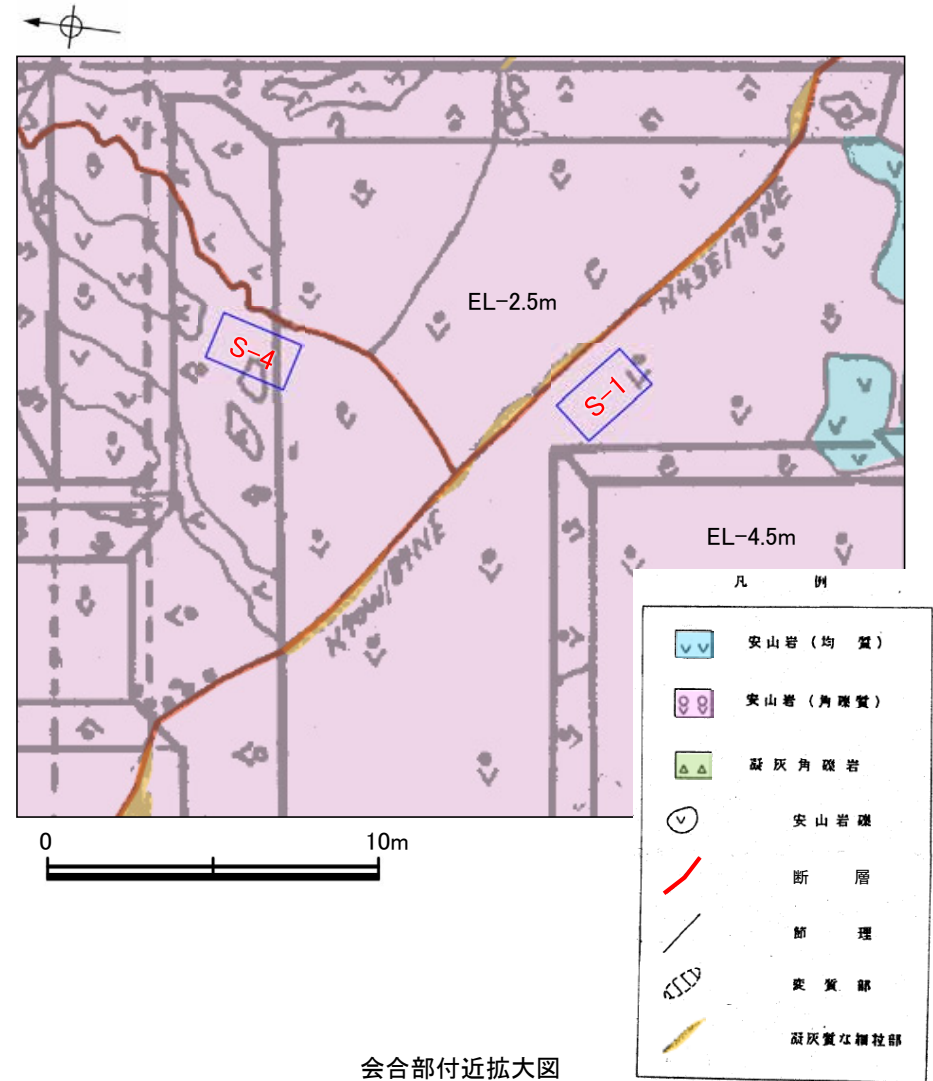
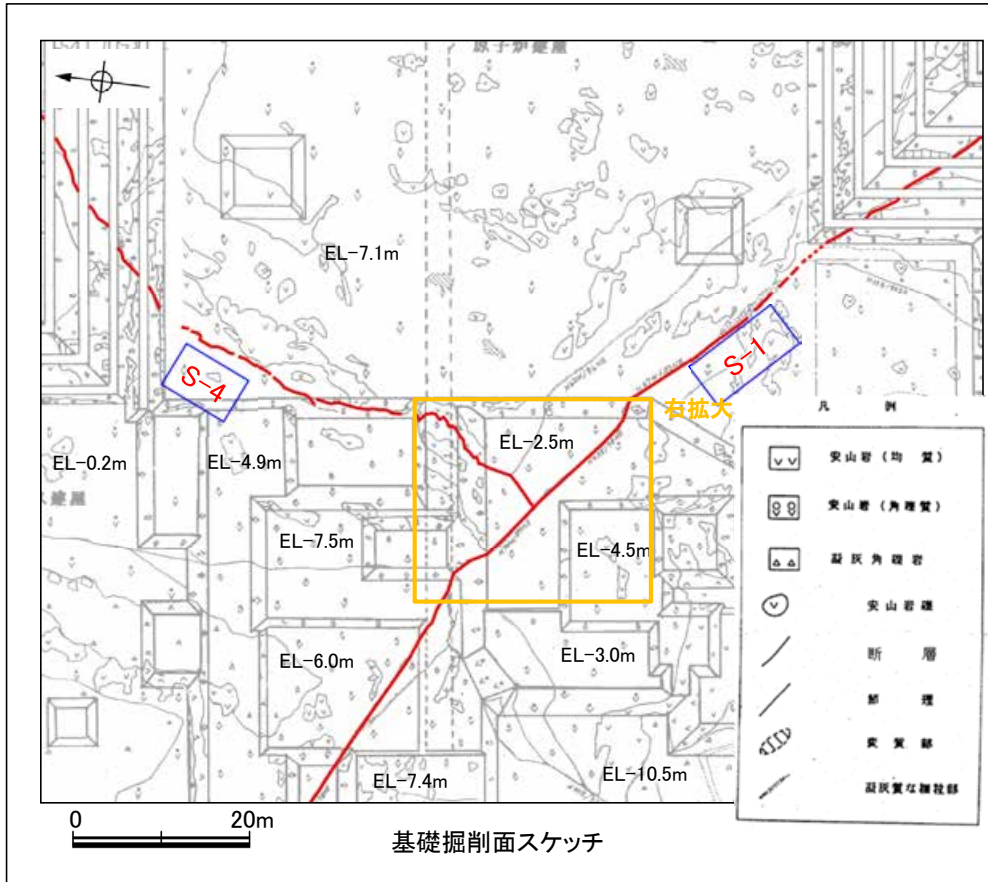


コア写真(深度20~60m)

・J-7孔において想定延長位置付近にS-4は認められない。

# S-4とS-1の関係⑥(会合部状況)

■基礎掘削面の会合部におけるS-4とS-1の関係を示す。



会合部付近拡大図  
(地質分布を色分け)

・S-1はS-4との会合部付近でほぼ直線的に分布する。

---

余白

---

データ集10  
応力解析データ

---

1. 最新面及び変位センスの認定方法について	.....	10-3
2. S-2・S-6の運動方向	.....	10-9
3. S-8の運動方向	.....	10-47
4. S-7の運動方向	.....	10-56
5. S-4の運動方向	.....	10-71
6. S-5の運動方向	.....	10-85
7. S-1の運動方向	.....	10-89
8. B-3の運動方向	.....	10-182

---

# 1. 最新面及び変位センスの認定方法について

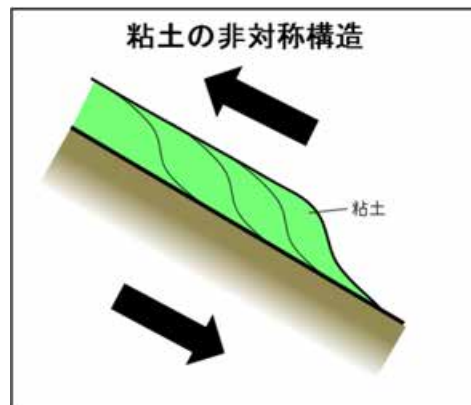
# 最新面及び変位センスの認定方法について

## a. ボーリングコア観察・BHTV観察・CT画像観察

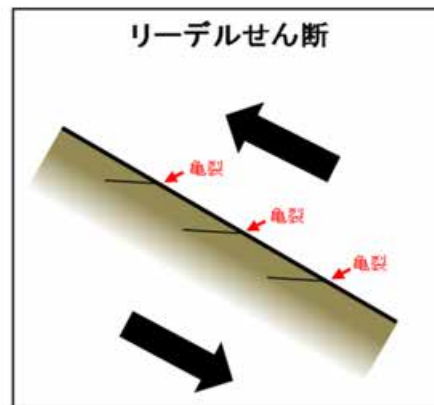
- ・他の構造に切られていない、相対的に**直線性・連続性のよいせん断面を抽出**。

## b. 条線観察

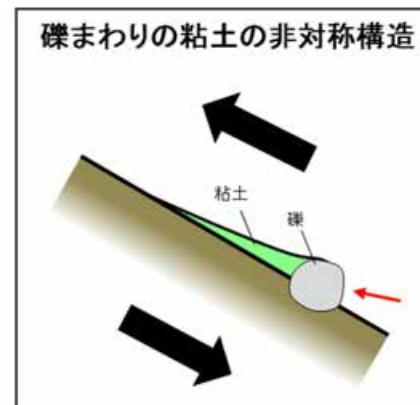
- ・条線方向を観察。
- ・複数の条線が確認される場合は、**条線同士の新旧関係について検討**。
- ・下記に示すリーデルせん断、礫まわりの粘土の非対称構造等から**変位センスを認定**。



- ・すべり面の摩擦による抵抗を受けたと考えられる引きずられた構造を抽出。
- ・粘土が引きずられた方向を変位方向とした。



- ・すべり面に対して、わずかに斜交し、魚のうろこのように分布する亀裂を抽出。亀裂の先端表面では透きとおってみえる。
- ・すべり面上の条線に沿ってひっかかる方向を変位方向とした。



- ・すべり面に対して鋭角に立つ礫の表面が観察され、礫の背後に向かって、粘土が薄く引きのばされたような形状を抽出。
- ・粘土が薄く引きのばされた方向を変位方向とした。

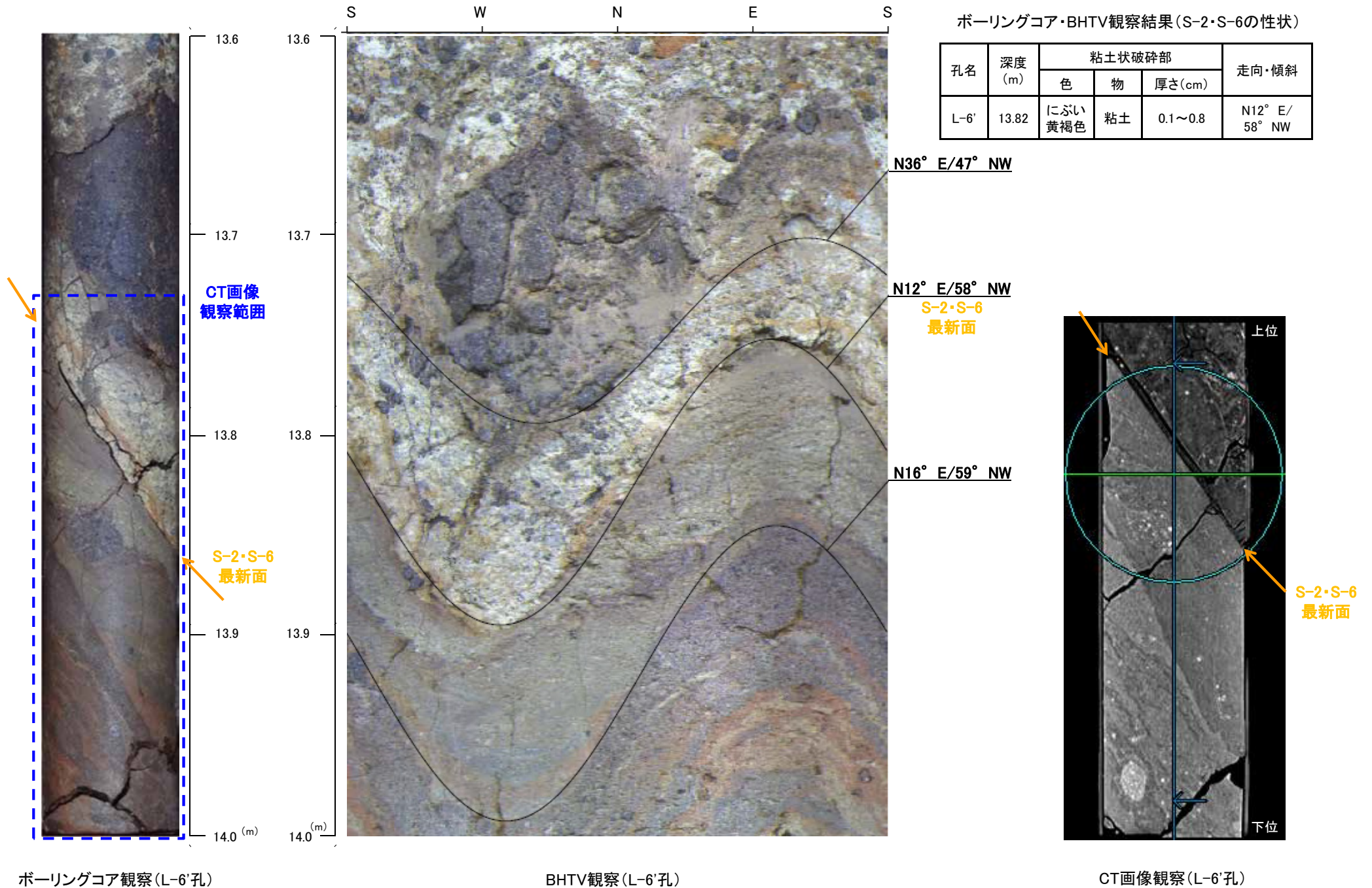


## c. 薄片観察

- ・条線観察で確認した条線方向で薄片を作成。
- ・他の構造に切られていない、相対的に直線性・連続性のよいせん断面を抽出し、**最新面を認定**。
- ・リーデルせん断、粘土鉱物の配列等から**変位センスを認定または確認**。



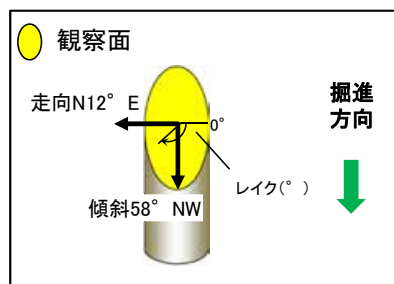
# a. ボーリングコア観察・BHTV観察・CT画像観察例(L-6'孔)



・粘土状破碎部の中で最も直線性・連続性のよい面は、下盤境界付近と考えられる。 10-5

## b. 条線観察例①(L-6'孔)

■前頁のボーリングコア・CT画像観察結果を踏まえ、下盤境界付近の最もはがれやすい面において、条線観察を実施。

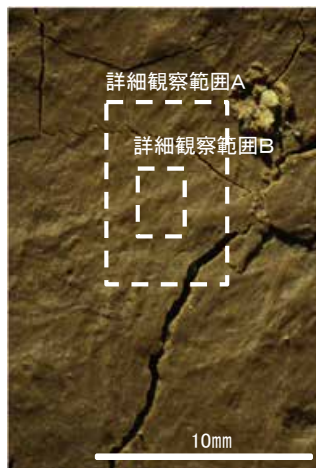


概念図

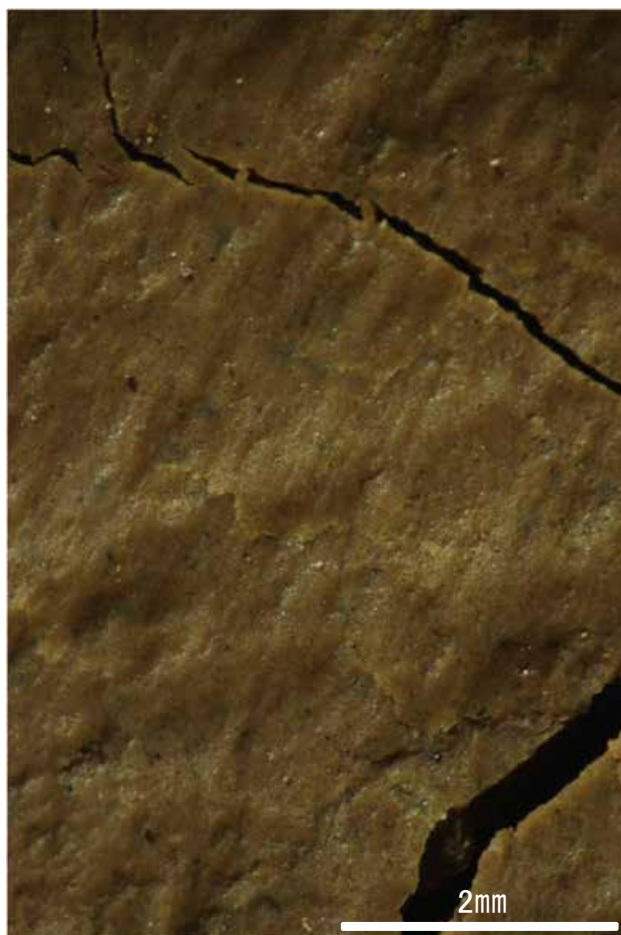
※走向は真北で示す。



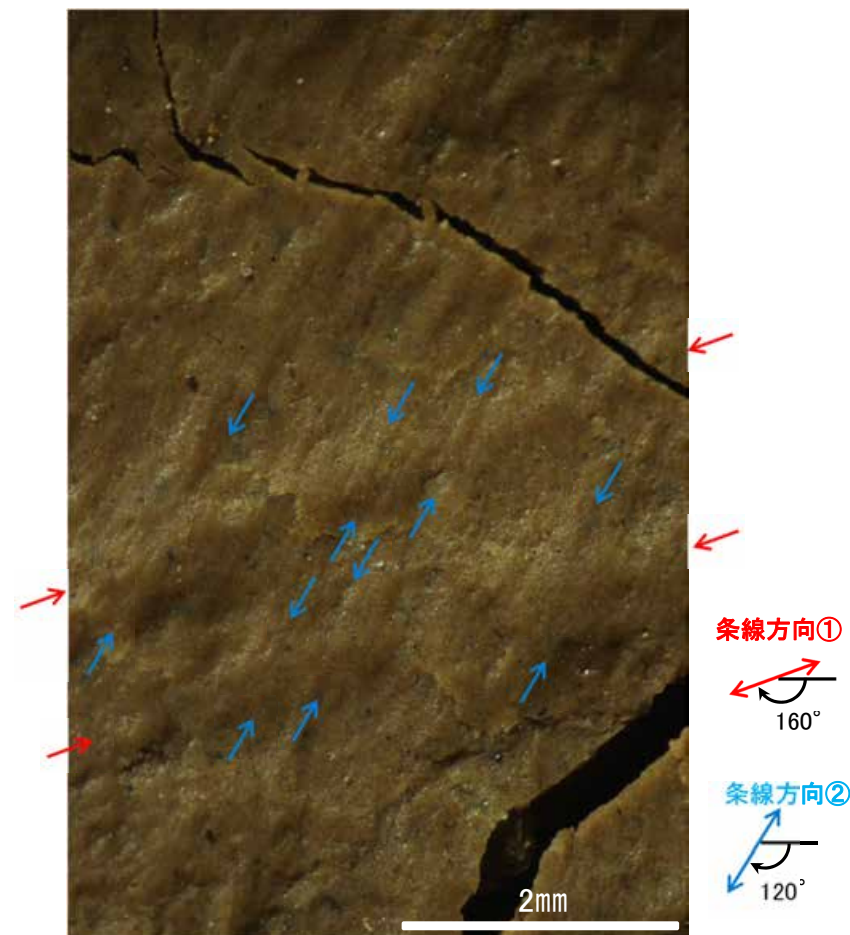
観察面写真



観察面拡大写真



詳細観察写真A



詳細観察写真A(条線方向を加筆)

(条線方向)

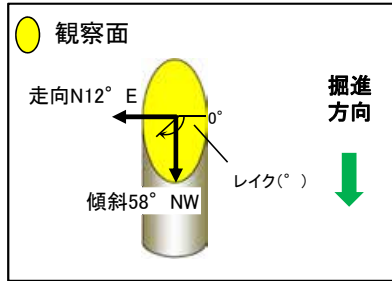
・2方向の条線が認められ、条線①のレイクは $160^{\circ}$  R、条線②のレイクは $120^{\circ}$  Rである。

(条線の新旧関係)

・不明瞭な条線①に重なって、明瞭な条線②が認められることから、条線①の後に条線②が形成されたと考え、条線②を当該位置で確認された条線(最新の条線方向)とする。

## b. 条線観察例②(L-6' 孔)

■前頁の観察結果を踏まえ、最新の活動方向だと考えられる $120^\circ$  R方向の条線について、変位センスを確認。

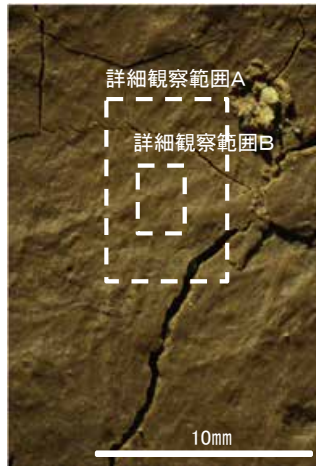


概念図

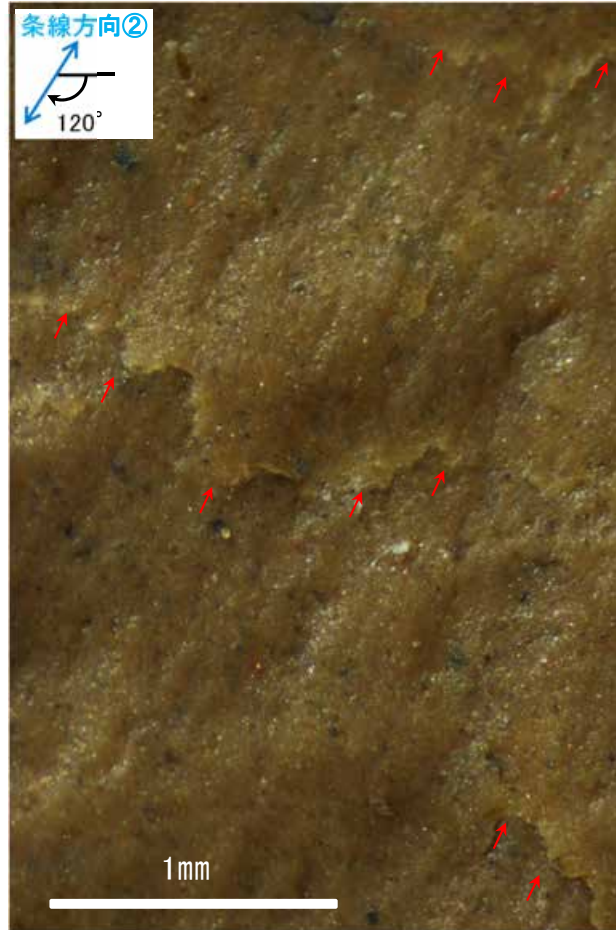
※走向は真北で示す。



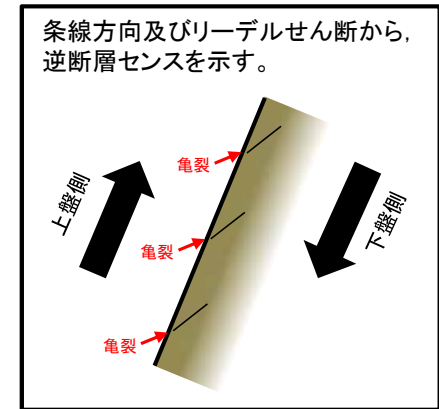
観察面写真



観察面拡大写真



詳細観察写真B(亀裂を加筆)



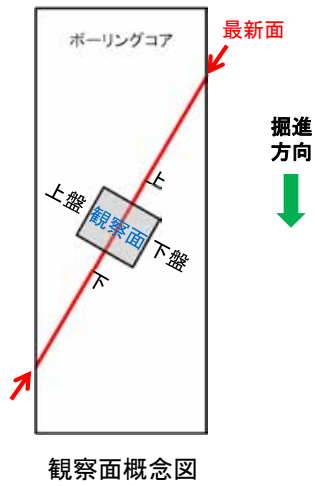
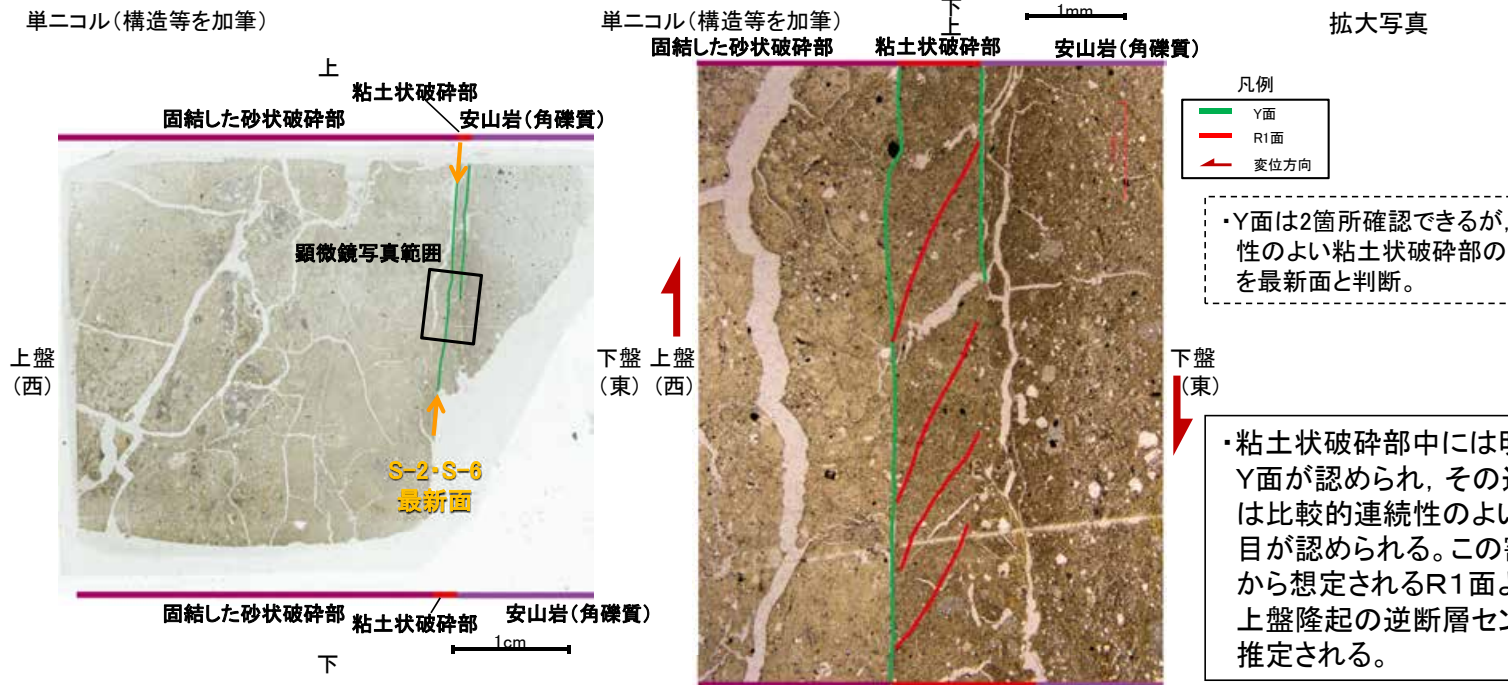
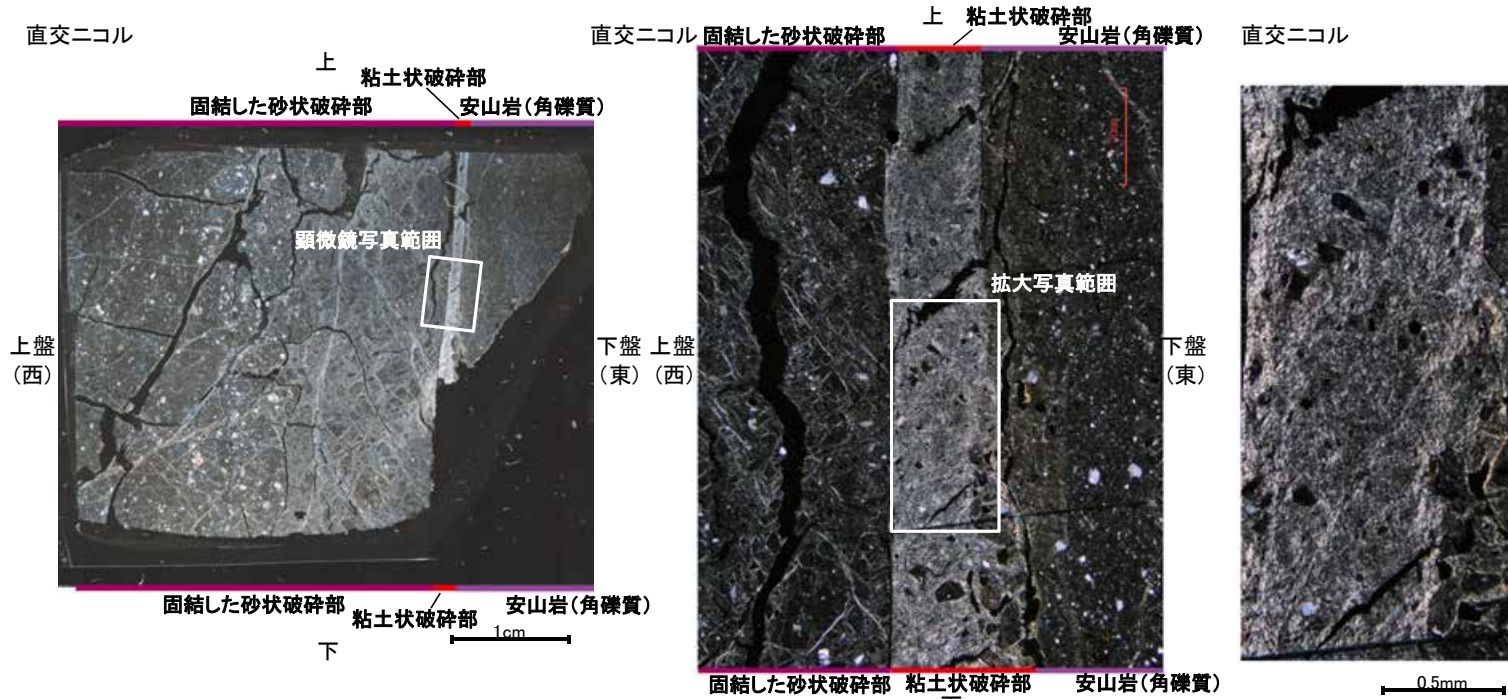
条線方向及びリーデルせん断から、逆断層センスを示す。

(運動方向)

・条線方向及びリーデルせん断から、上盤隆起の逆断層センスが推定される。

# c. 薄片観察例 (E-8.5-2\_160R)

■ 条線観察結果を踏まえ、条線方向のレイクでボーリングコアを切断し、薄片観察を実施。



観察面概念図

薄片写真 (E-8.5-2\_160R)

顕微鏡写真

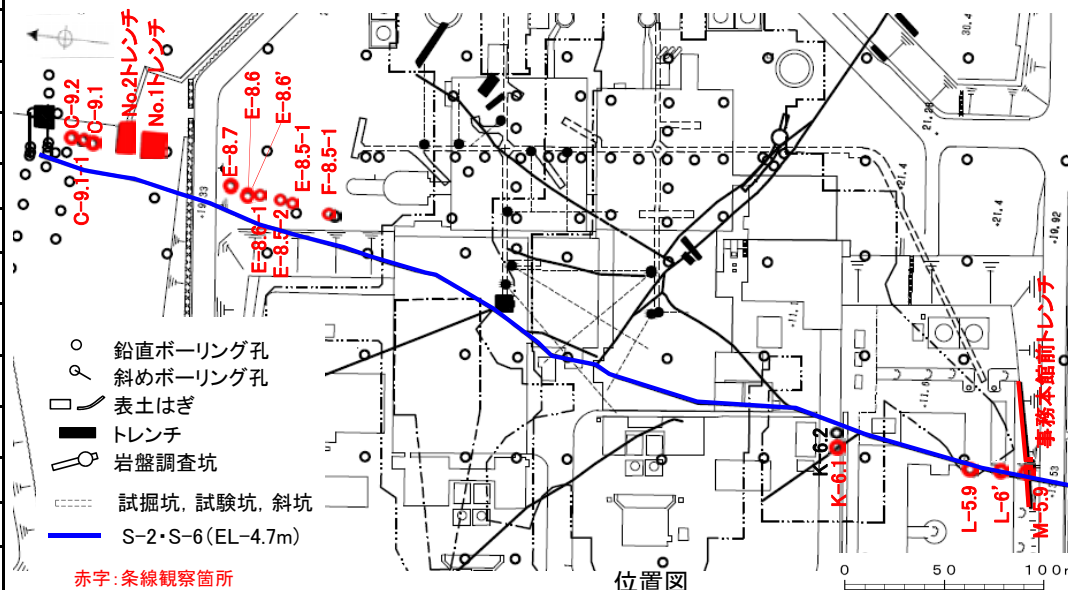
---

## 2. S-2・S-6の運動方向

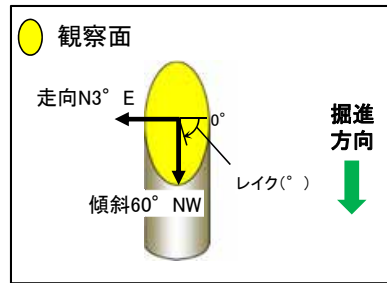
# S-2・S-6の条線観察結果

試料名	走向/傾斜 (走向は真北)	条線観察結果		薄片観察結果	
		条線の レイク※	変位センス	薄片番号	変位センス
ボーリングM-5.9 (深度7.80m)	下盤側 N3° E/60° NW	80° R	右横ずれ逆断層	—	—
事務本館前トレンチ	下盤側 N12° E/70° NW	140° R	(不明)	—	—
ボーリングL-6' (深度13.82m)	下盤側 N12° E/58° NW	120° R	左横ずれ逆断層	—	—
ボーリングL-5.9 (深度18.00m)	下盤側 N6° E/59° NW	125° R	左横ずれ逆断層	—	—
		35° R	(不明)	—	—
ボーリングK-6.1 (深度31.50m)	下盤側 N5° E/52° NW	100° R	(不明)	K-6.2_100R	左横ずれ逆断層
ボーリングF-8.5-1 (深度8.66m)	下盤側 N14° E/51° NW	150° R	左横ずれ逆断層	—	—
ボーリングE-8.5-1 (深度8.33m)	下盤側 N5° E/51° NW	140° R	左横ずれ逆断層	E-8.5-1_140R	左横ずれ逆断層
ボーリングE-8.5-2 (深度8.55m)	上盤側 N8° E/51° NW	105° R	(不明)	E-8.5-2_105R	(不明)
		160° R	(不明)	E-8.5-2_160R	左横ずれ逆断層
ボーリングE-8.6-1 (深度8.52m)	下盤側 N7° E/65° NW	145° R	(不明)	E-8.6-1_145R	左横ずれ逆断層
ボーリングE-8.6' (深度11.40m)	上盤側 N11° E/46° NW	100° R	(不明)	E-8.6'_100R	左横ずれ逆断層
ボーリングE-8.6 (深度11.70m)	上盤側 NS/45° W	50° R	(不明)	—	—
ボーリングE-8.7 (深度10.09m)	下盤側 N10° E/56° NW	75° R	(不明)	—	—
No.1トレンチ-1	下盤側 N6° W/71° SW	100° R	(不明)	—	—
No.1トレンチ-2	下盤側 N6° W/71° SW	80° R	(不明)	—	—
		105° R	(不明)	—	—
		130° R	(不明)	—	—
No.1トレンチ	下盤側 N6° W/71° SW	120° R	(不明)	No.1トレンチ_120R_TE1	(不明)
No.2トレンチ	下盤側 N25° W/68° SW	80° R	(不明)	No.2トレンチ_80R_TE2	(不明)
No.2トレンチ-1	上盤側 N25° W/68° SW	100° R	(不明)	—	—
No.2トレンチ-2	下盤側 N25° W/68° SW	90° R	(不明)	—	—
ボーリングC-9.1 (深度10.82m)	下盤側 N27° E/57° NW	135° R	(不明)	—	—
ボーリングC-9.1-1 (深度10.67m)	下盤側 N11° E/59° NW	110° R	(不明)	—	—
ボーリングC-9.2 (深度10.56m)	下盤側 N12° E/56° NW	115° R	(不明)	—	—

※ 上盤側で確認したレイクは下盤側に換算して示す



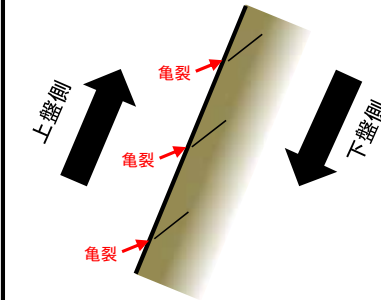
# 条線観察結果(ボーリングM-5.9[深度7.80m])(下盤側)



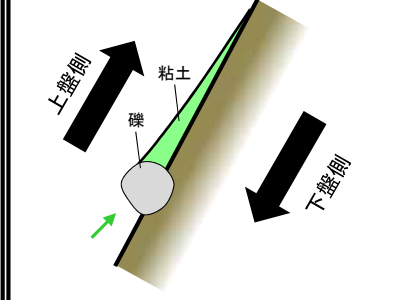
概念図

※走向は真北で示す。

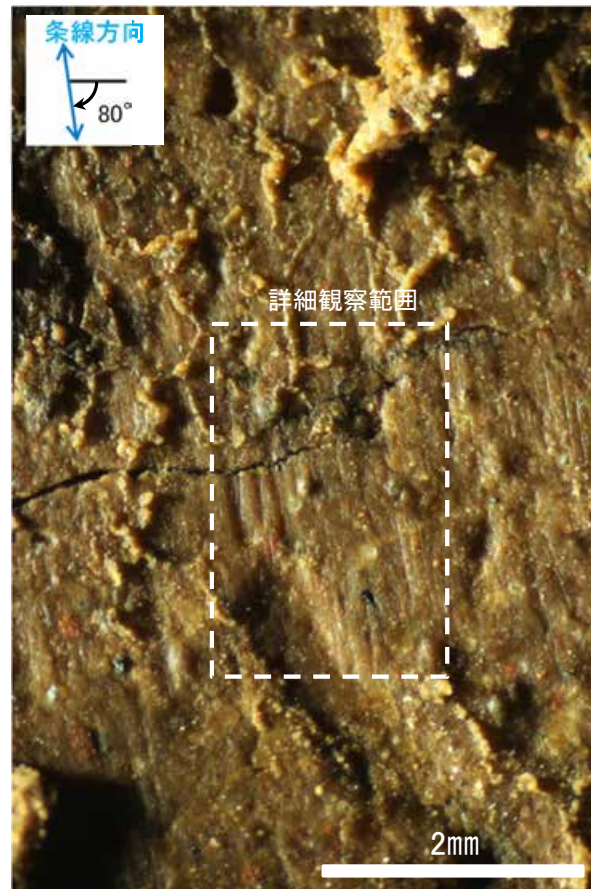
条線方向及びリーデルセン断から、逆断層センスを示す。



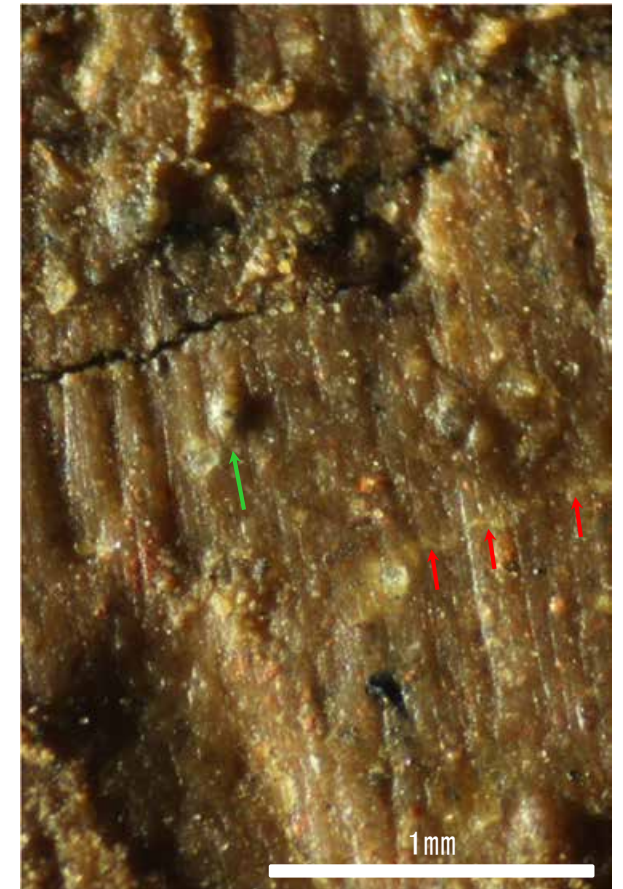
条線方向及び礫周りの粘土の非対称構造から、逆断層センスを示す。



観察面写真



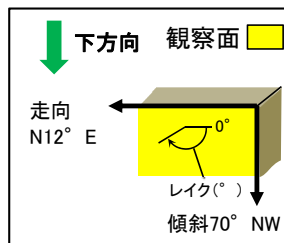
観察面拡大写真



詳細観察写真

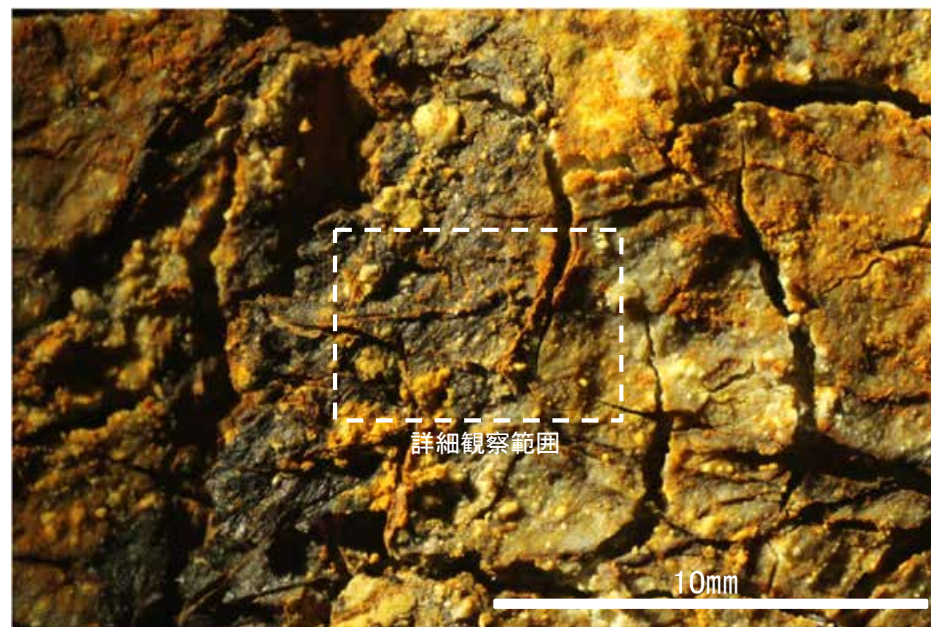
・条線のレイクは80° R, 変位センスは右横ずれ逆断層センス

# 条線観察結果(事務本館前トレンチ)(下盤側)

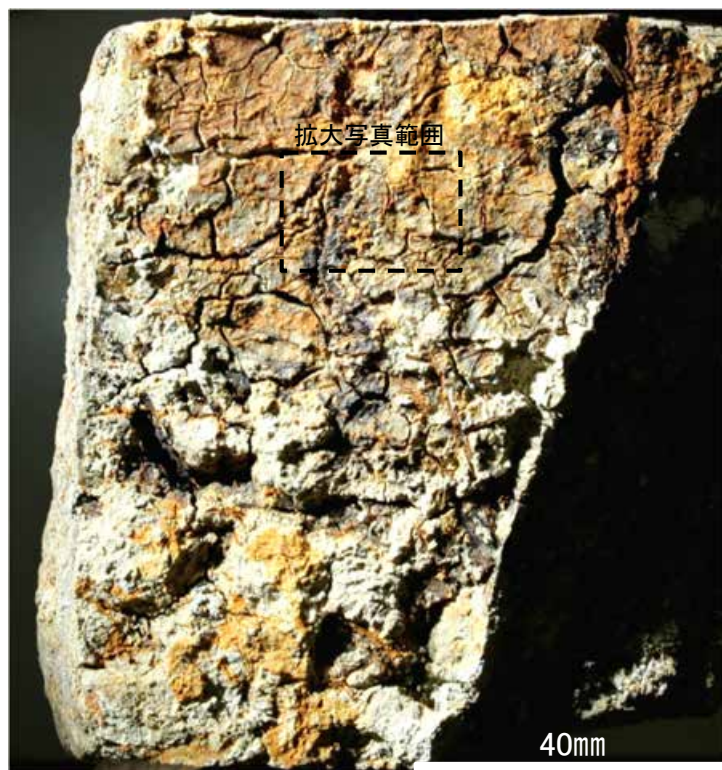


概念図

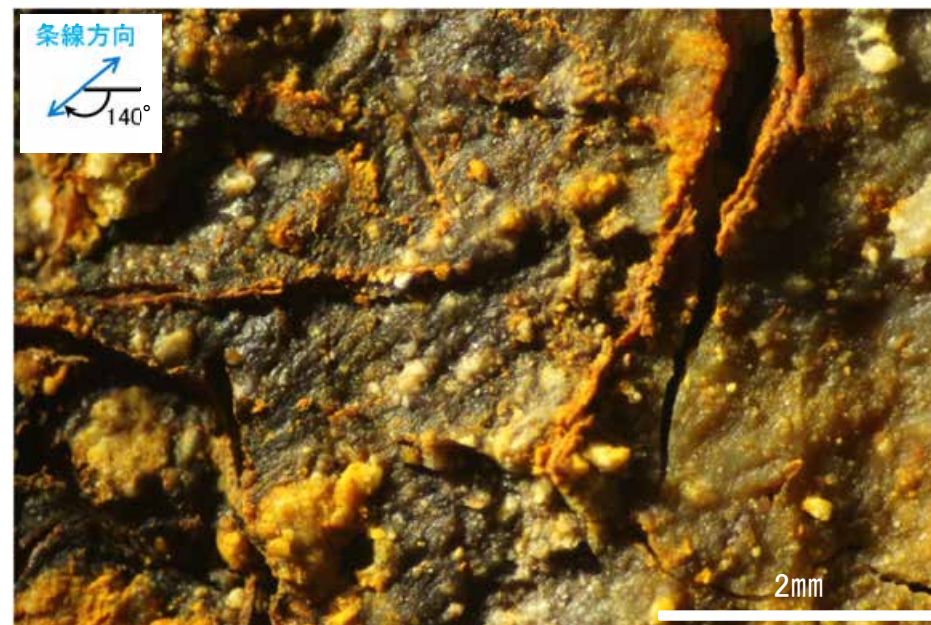
※走向は真北で示す。



観察面拡大写真



観察面写真

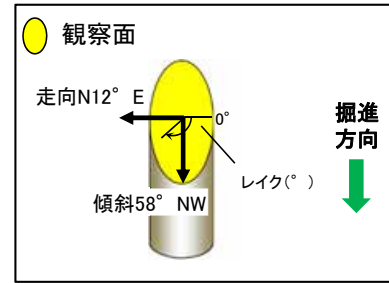


詳細観察写真

・条線のレイクは140° R, 変位センスは不明



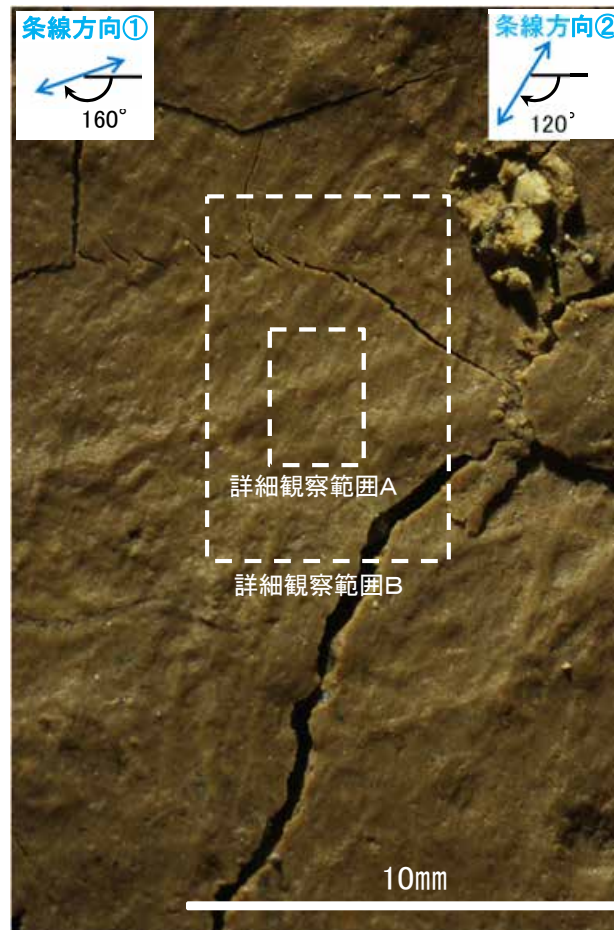
# 条線観察結果(ボーリングL-6' [深度13.82m])(下盤側)①



概念図  
※走向は真北で示す。

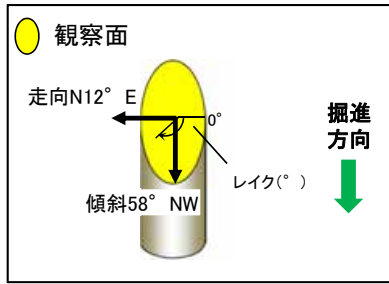


観察面写真



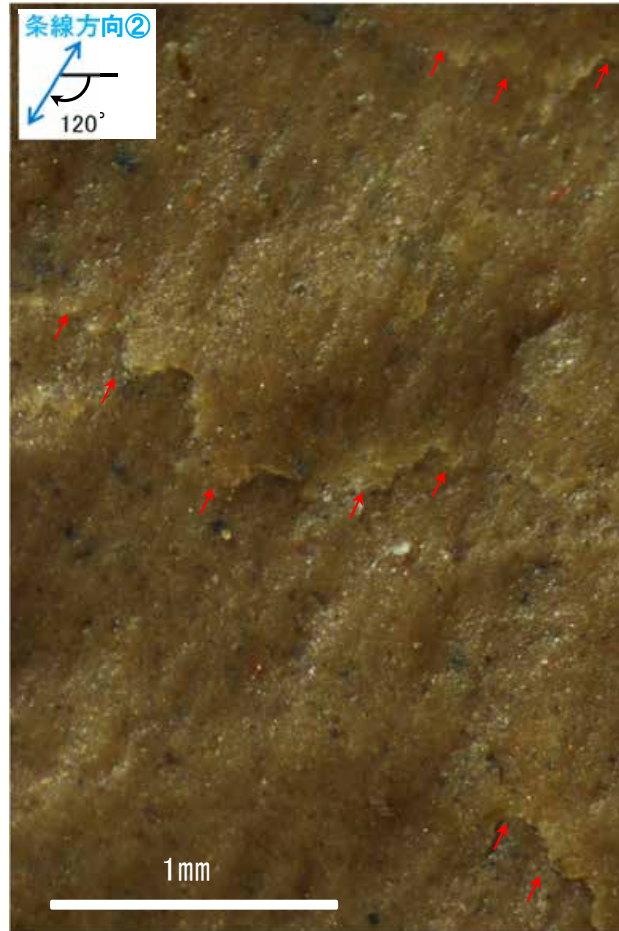
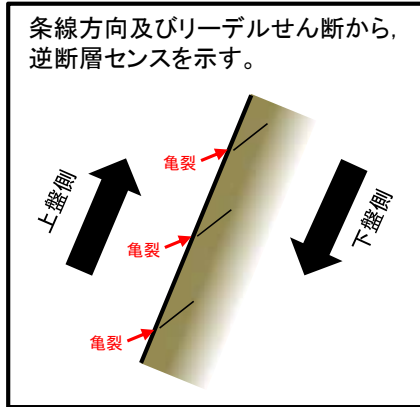
観察面拡大写真

# 条線観察結果(ボーリングL-6' [深度13.82m])(下盤側)②

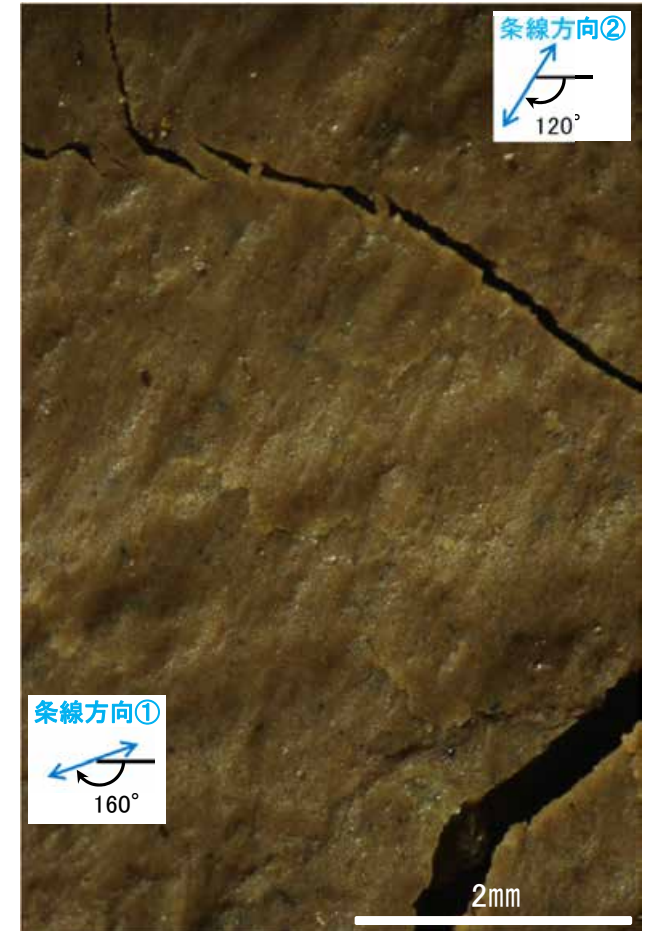


概念図

※走向は真北で示す。



詳細観察写真A

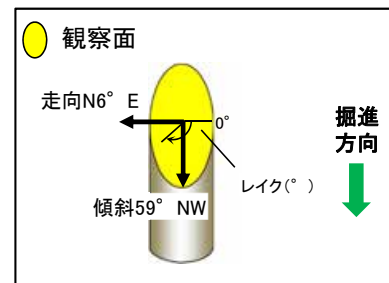


詳細観察写真B

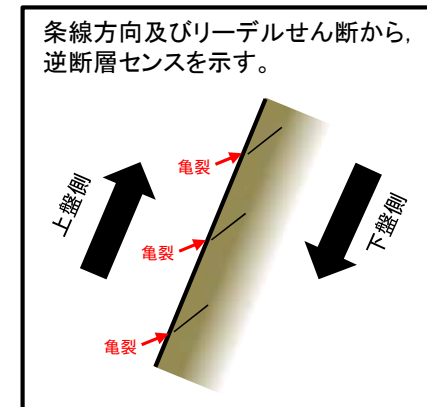
- ・条線①のレイクは160° R, 変位センスは不明
- ・条線②のレイクは120° R, 変位センスは左横ずれ逆断層センス

- ・条線①のレイクは160° R, 条線②のレイクは120° R
- ・不明瞭な条線①に重なって, 明瞭な条線②が認められることから, 条線①の後に条線②が形成されたと考えられる。

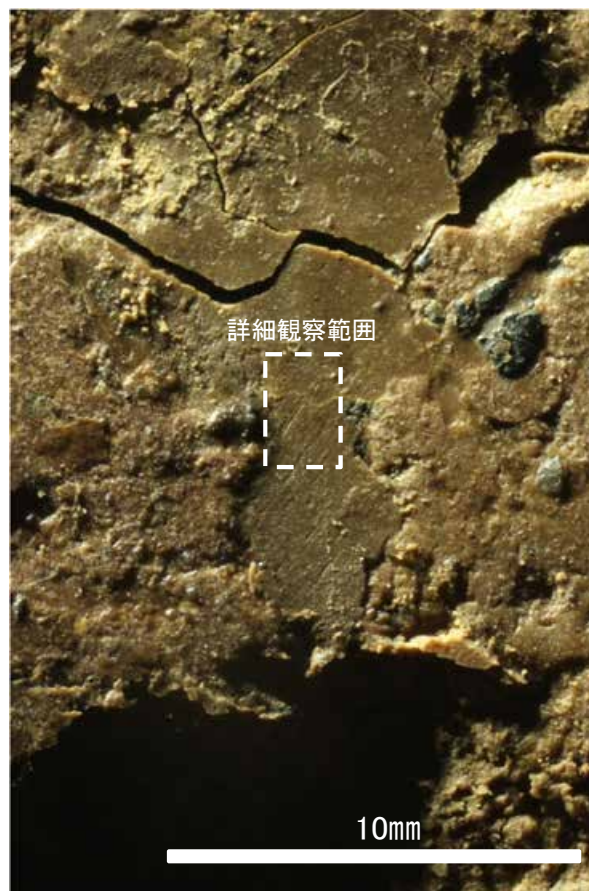
# 条線観察結果(ボーリングL-5.9[深度18.00m])(下盤側)①



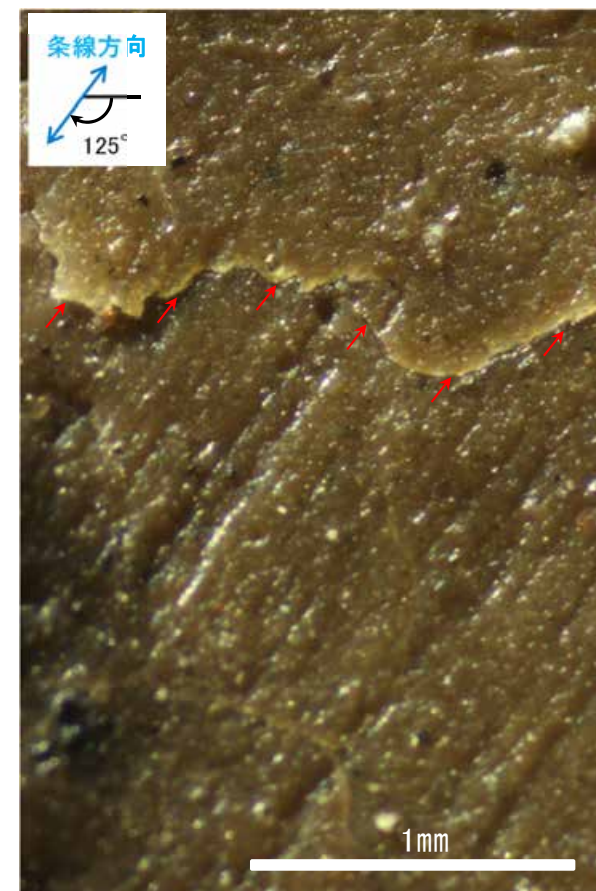
概念図  
 ※走向は真北で示す。



観察面写真



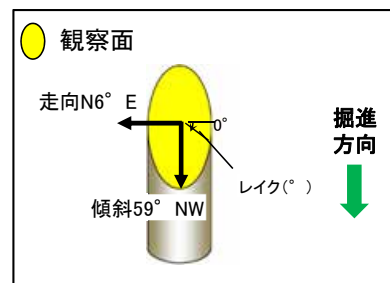
観察面拡大写真



詳細観察写真

・条線のレイクは125° R, 変位センスは左横ずれ逆断層センス

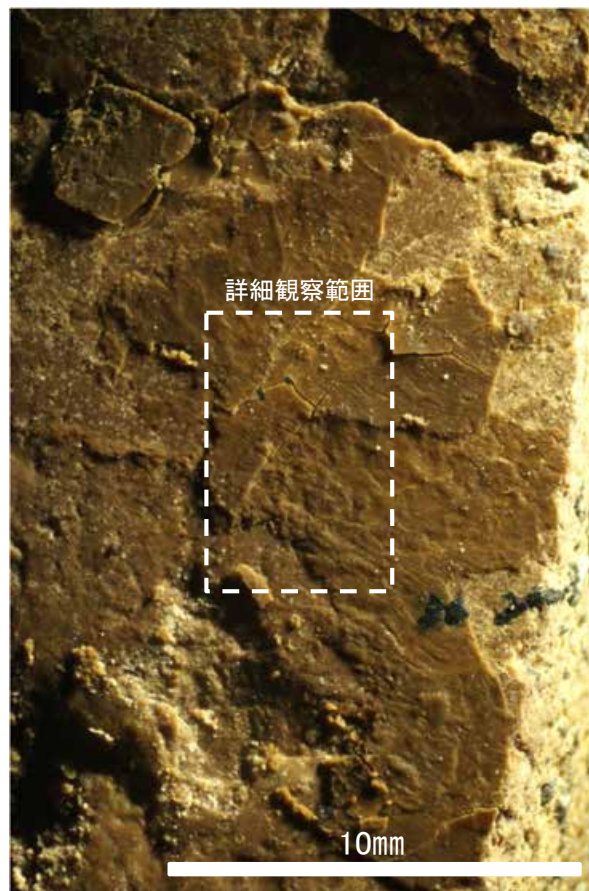
# 条線観察結果(ボーリングL-5.9[深度18.00m])(下盤側)②



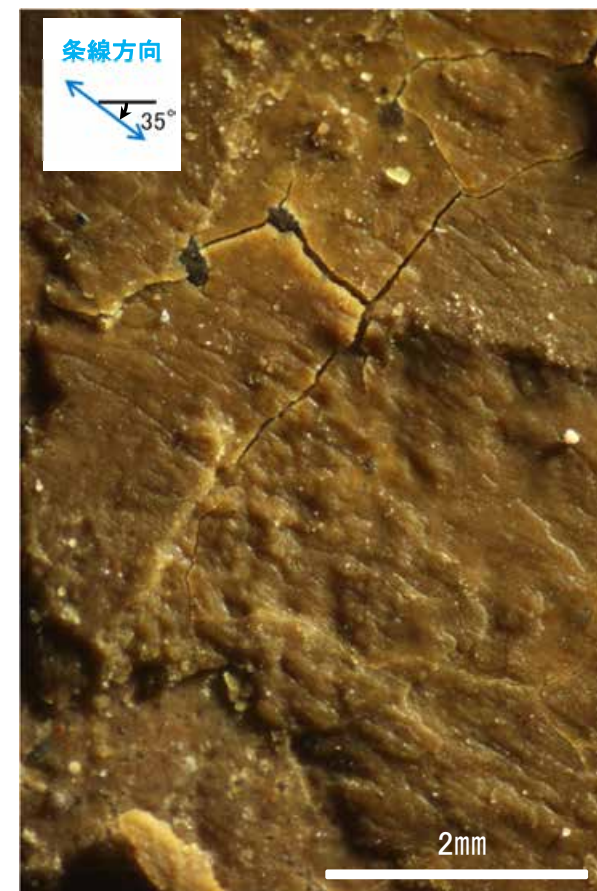
概念図  
※走向は真北で示す。



観察面写真



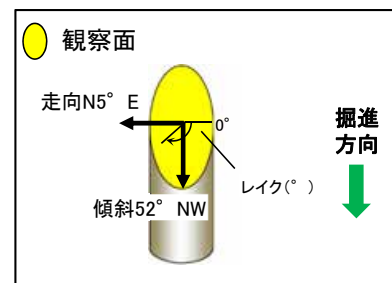
観察面拡大写真



詳細観察写真

・条線のレイクは35° R, 変位センスは不明

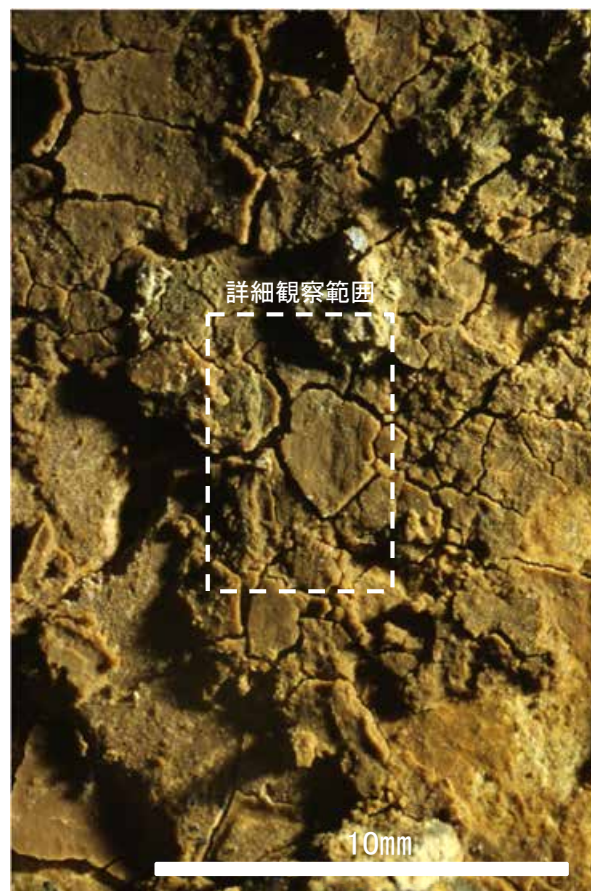
# 条線観察結果(ボーリングK-6.1[深度31.50m])(下盤側)



概念図  
※走向は真北で示す。



観察面写真



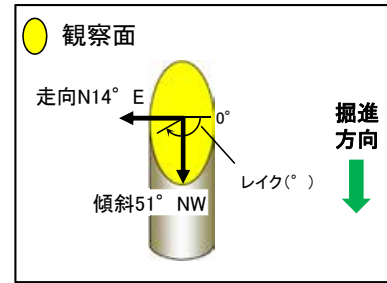
観察面拡大写真



詳細観察写真

・条線のレイクは100° R, 変位センスは不明

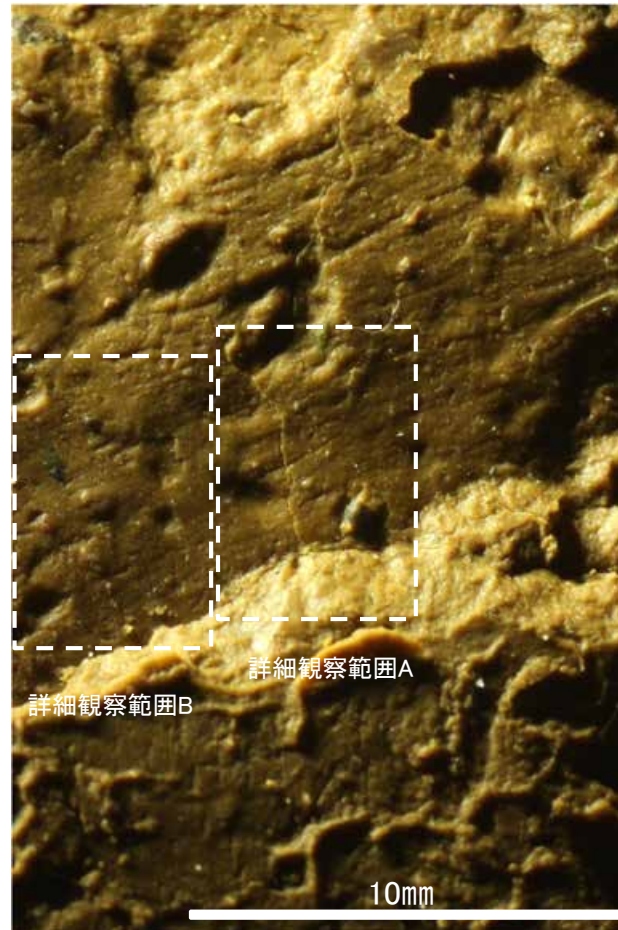
# 条線観察結果(ボーリングF-8.5-1[深度8.66m])(下盤側)①



概念図  
※走向は真北で示す。

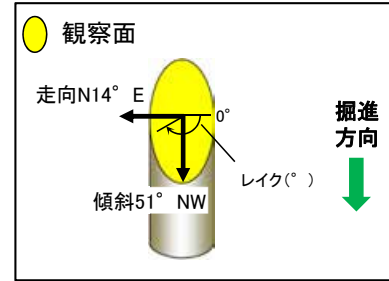


観察面写真



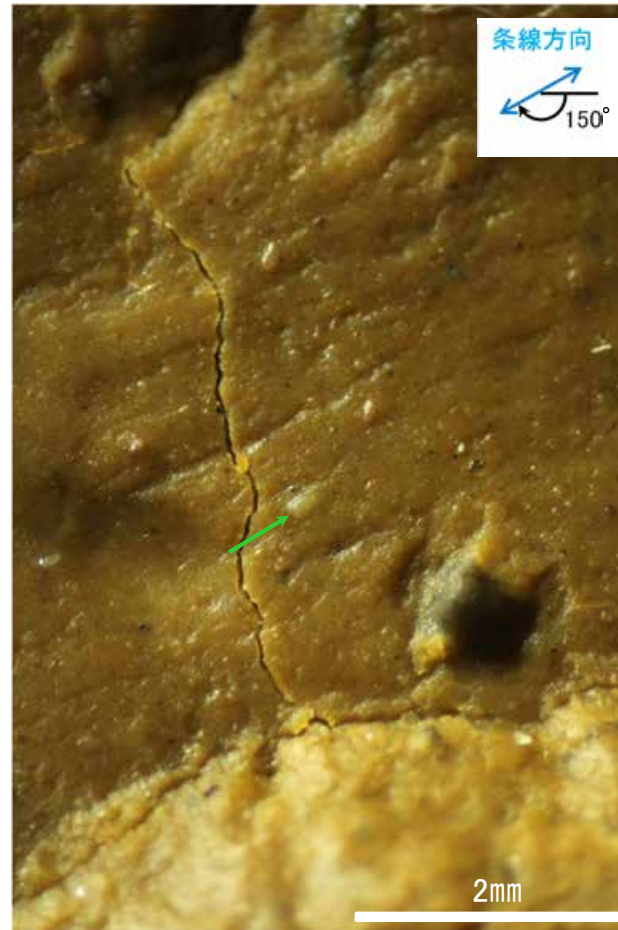
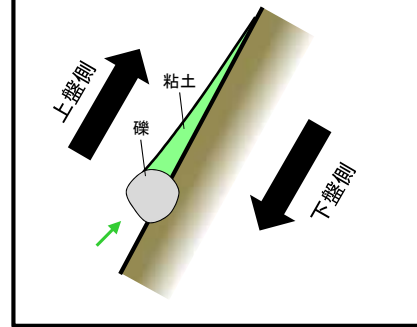
観察面拡大写真

# 条線観察結果(ボーリングF-8.5-1[深度8.66m])(下盤側)②



概念図  
※走向は真北で示す。

条線方向及び礫周りの粘土の非対称構造から、逆断層センスを示す。



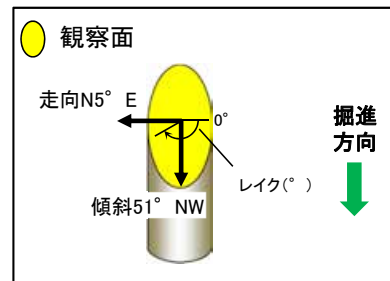
詳細観察写真A



詳細観察写真B

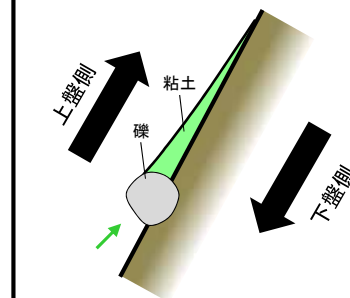
・条線のレイクは150° R, 変位センスは左横ずれ逆断層センス

# 条線観察結果(ボーリングE-8.5-1[深度8.33m])(下盤側)

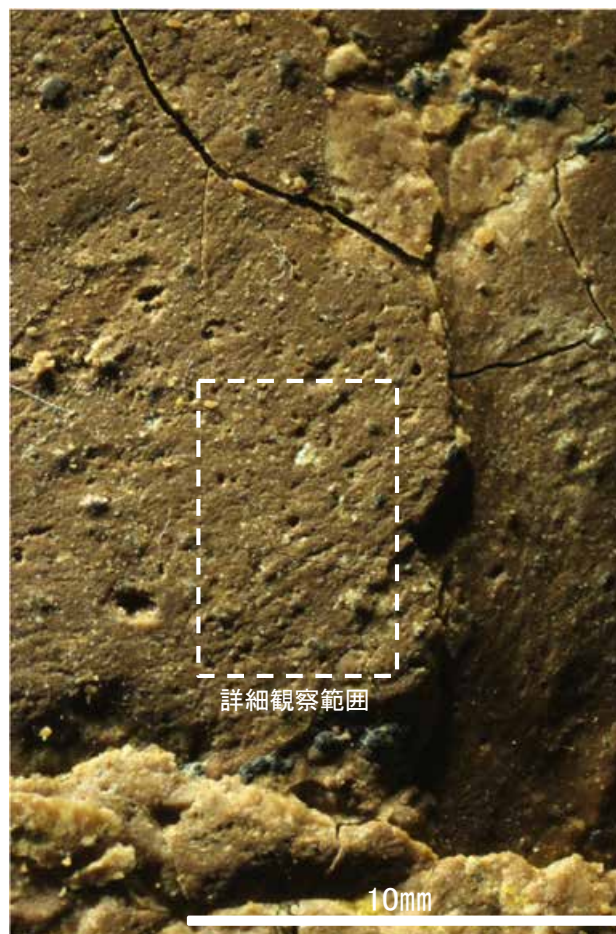


概念図  
※走向は真北で示す。

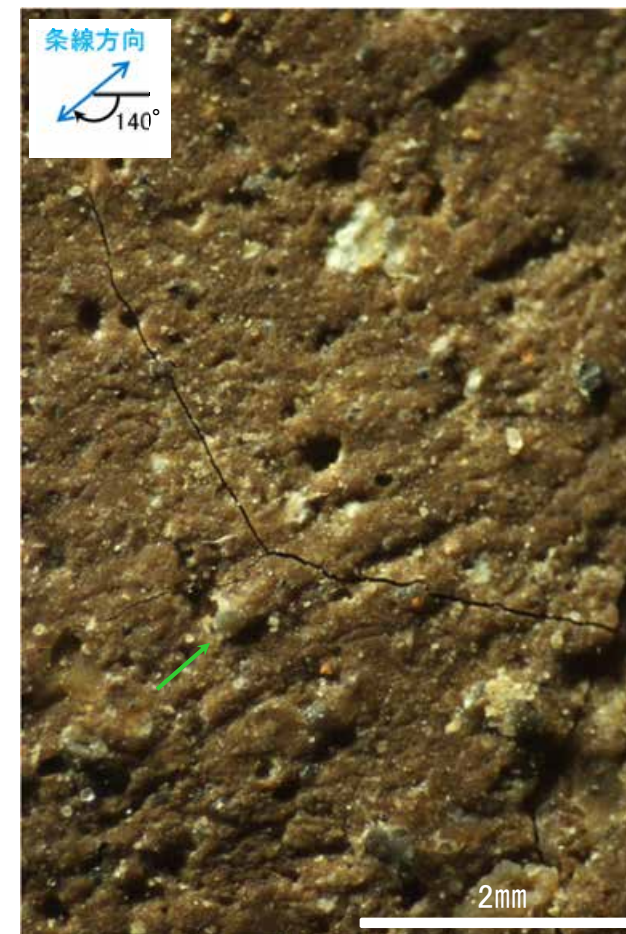
条線方向及び礫周りの粘土の非対称構造から、逆断層センスを示す。



観察面写真



観察面拡大写真

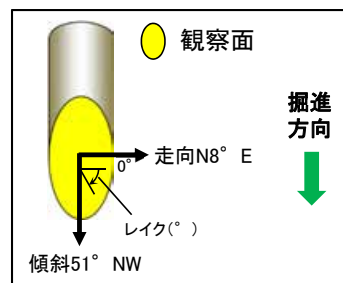


詳細観察写真

・条線のレイクは140° R, 変位センスは左横ずれ逆断層センス



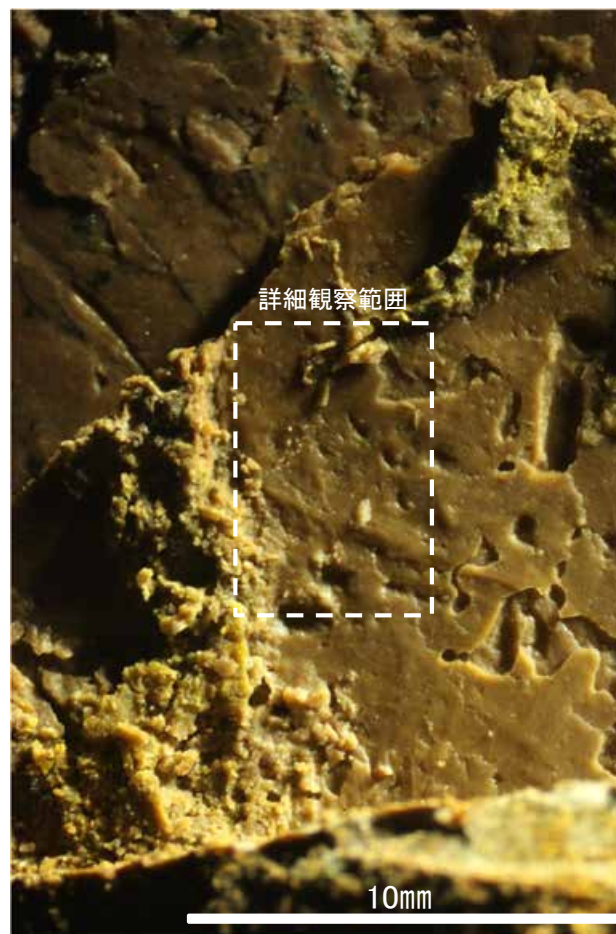
# 条線観察結果(ボーリングE-8.5-2[深度8.55m])(上盤側)



概念図  
※走向は真北で示す。



観察面写真



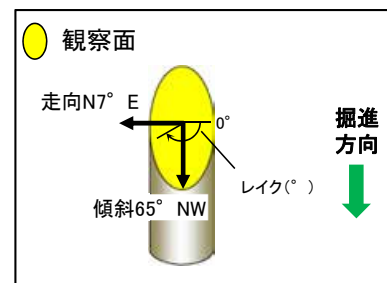
観察面拡大写真



詳細観察写真

・条線のレイクは105° R(下盤側換算), 160° R(下盤側換算), 変位センスは不明

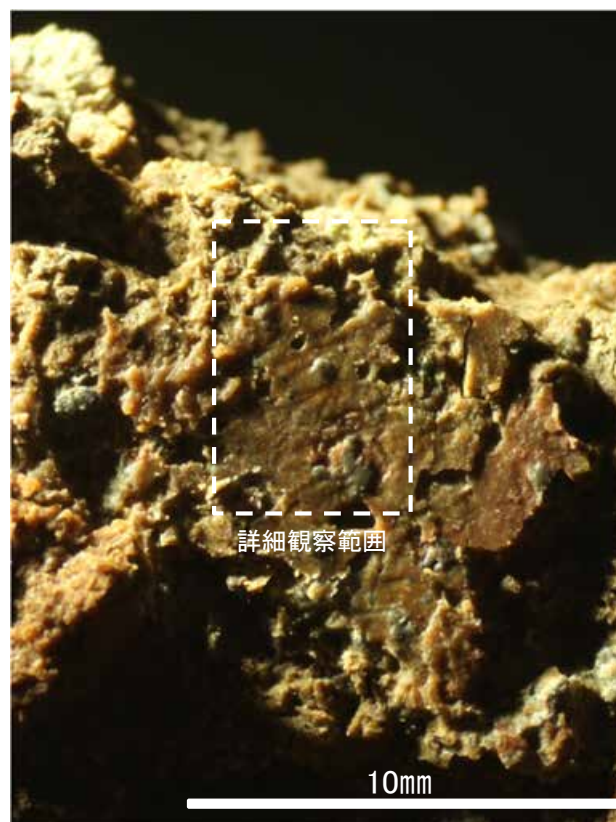
# 条線観察結果(ボーリングE-8.6-1[深度8.52m])(下盤側)



概念図  
※走向は真北で示す。



観察面写真



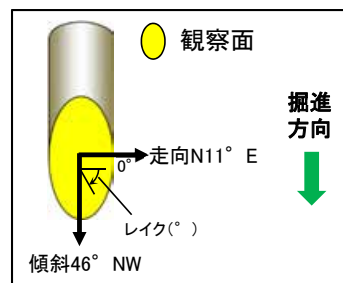
観察面拡大写真



詳細観察写真

・条線のレイクは145° R, 変位センスは不明

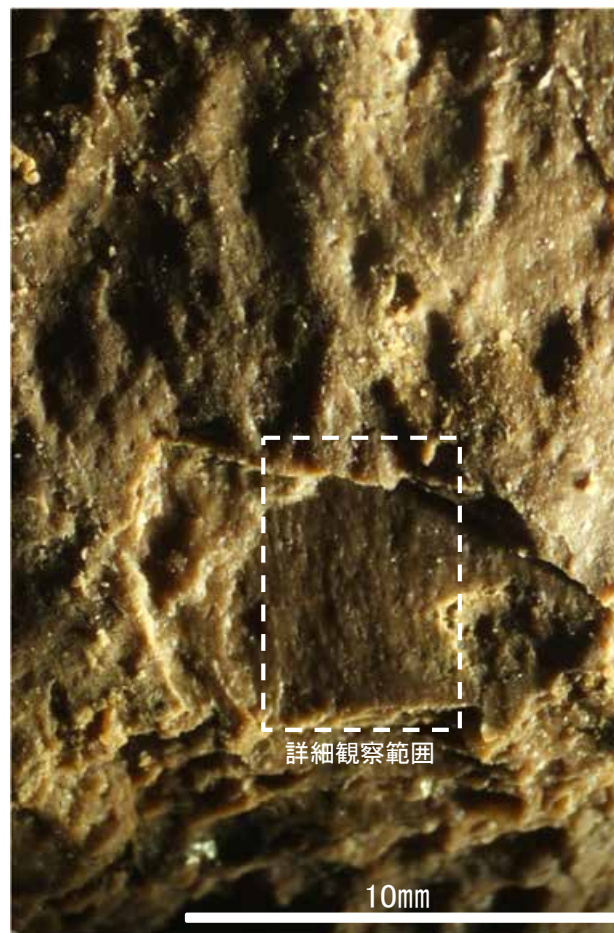
# 条線観察結果(ボーリングE-8.6'[深度11.40m])(上盤側)



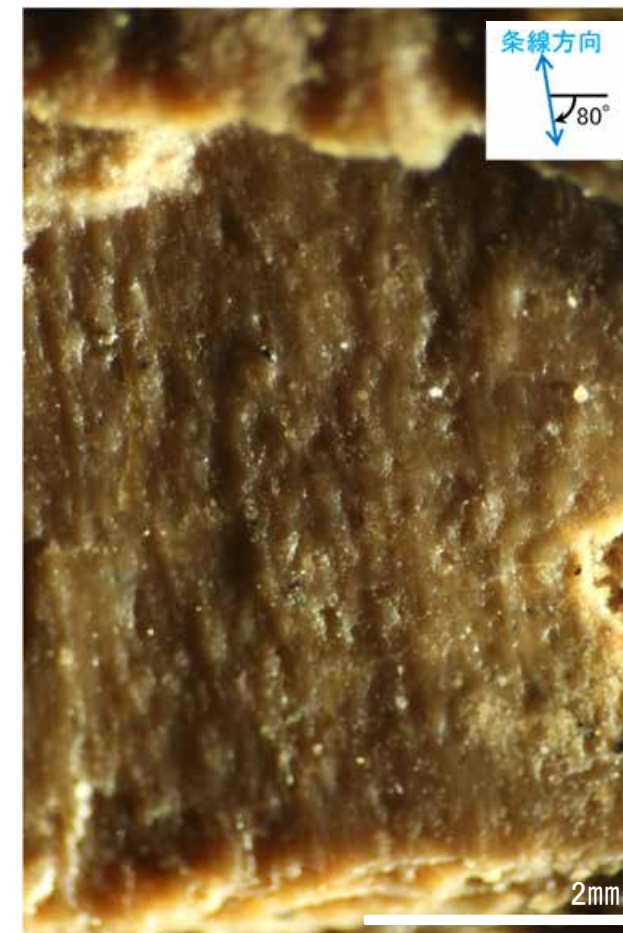
概念図  
※走向は真北で示す。



観察面写真



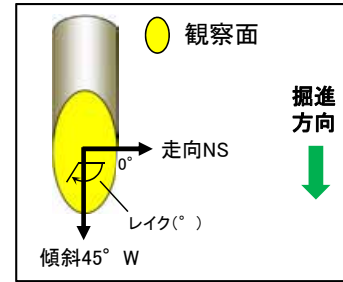
観察面拡大写真



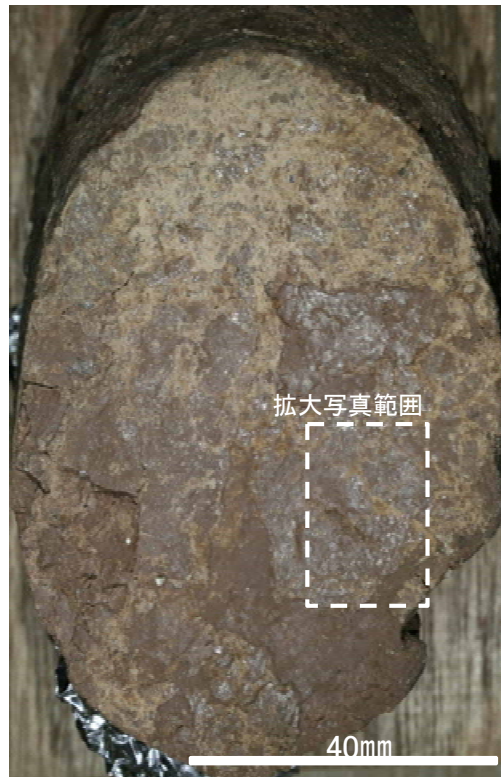
詳細観察写真

・条線のレイクは100° R(下盤側換算), 変位センスは不明

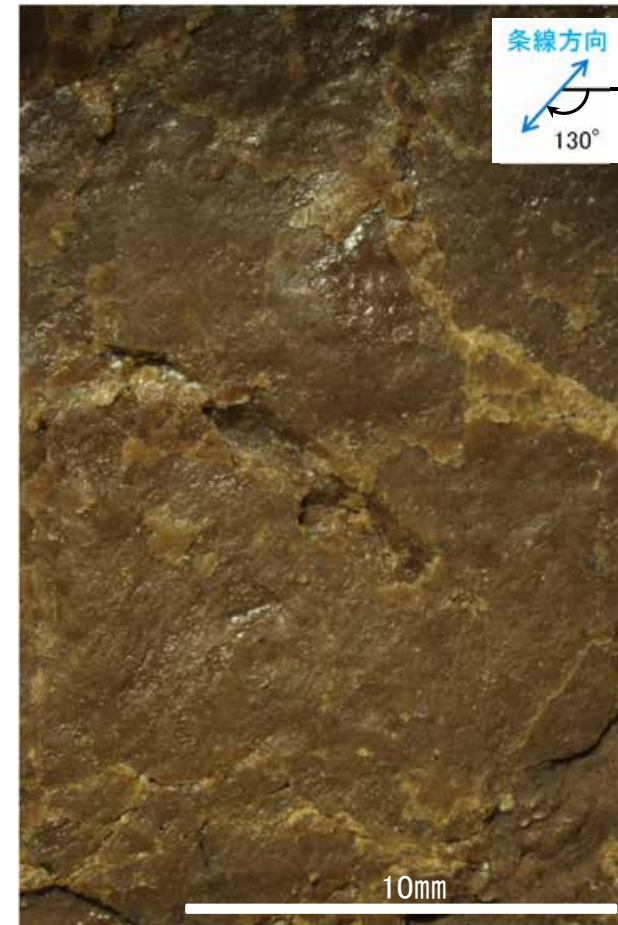
# 条線観察結果(ボーリングE-8.6[深度11.70m])(上盤側)



概念図  
※走向は真北で示す。



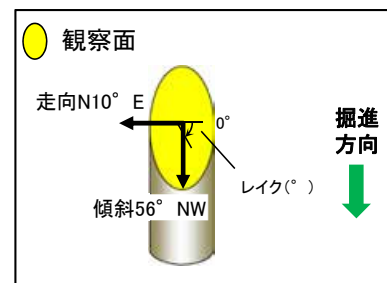
観察面写真



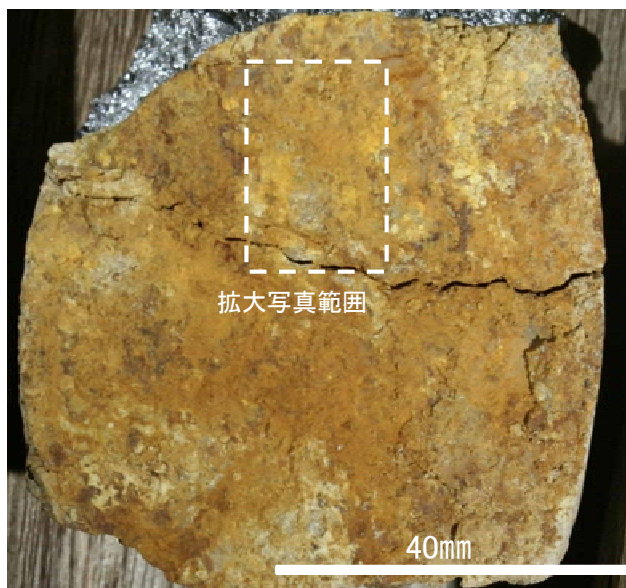
観察面拡大写真

・条線のレイクは50° R(下盤側換算), 変位センスは不明

# 条線観察結果(ボーリングE-8.7[深度10.09m])(下盤側)



概念図  
※走向は真北で示す。



観察面写真



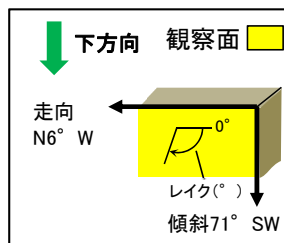
観察面拡大写真



詳細観察写真

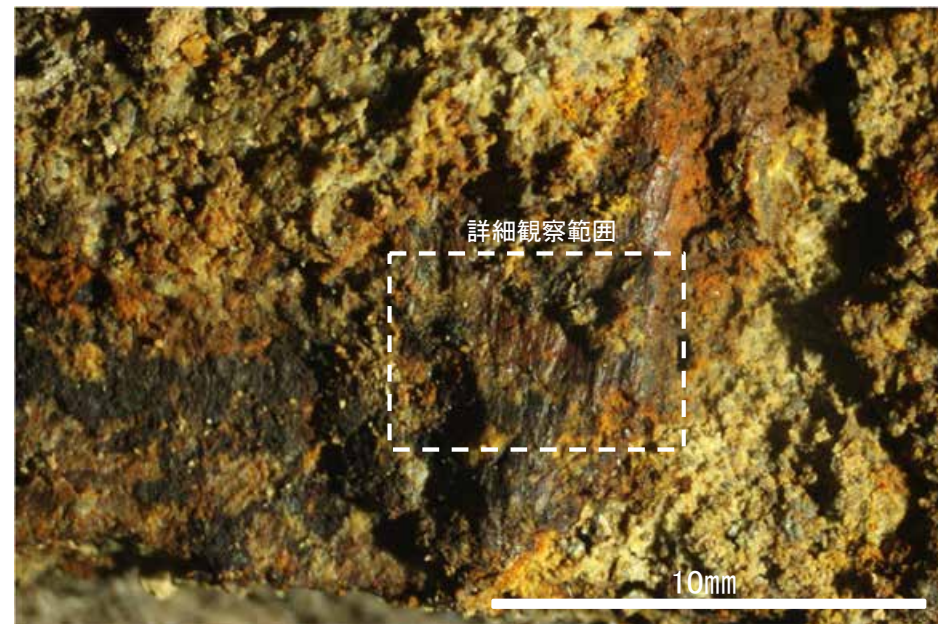
・条線のレイクは75° R, 変位センスは不明

# 条線観察結果 (No.1トレンチ-1) (下盤側)

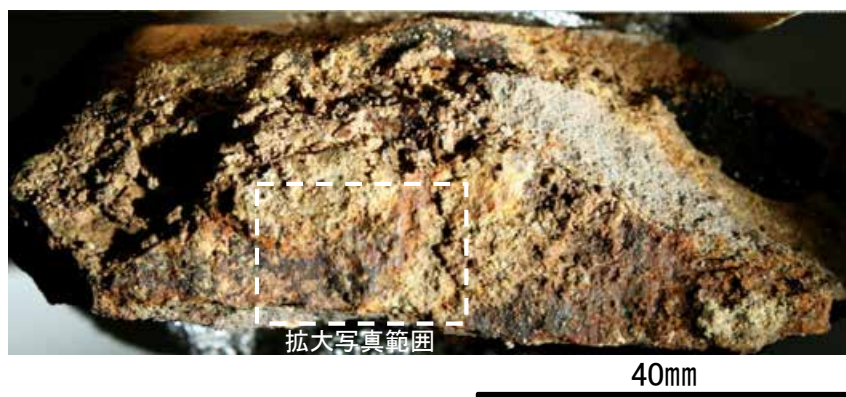


概念図

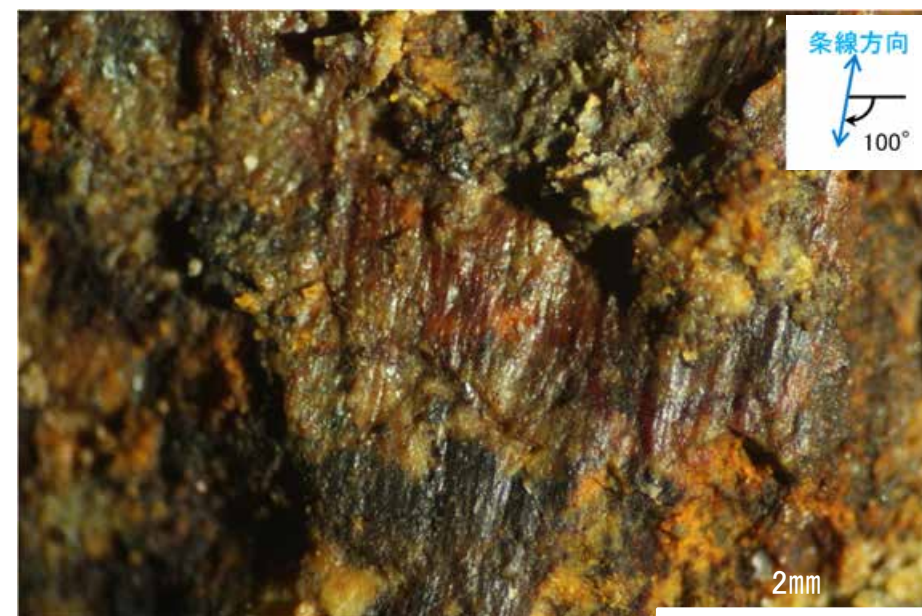
※走向は真北で示す。



観察面拡大写真



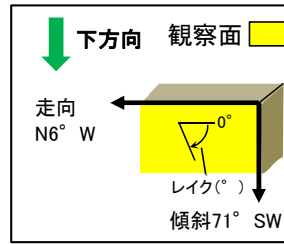
観察面写真



詳細観察写真

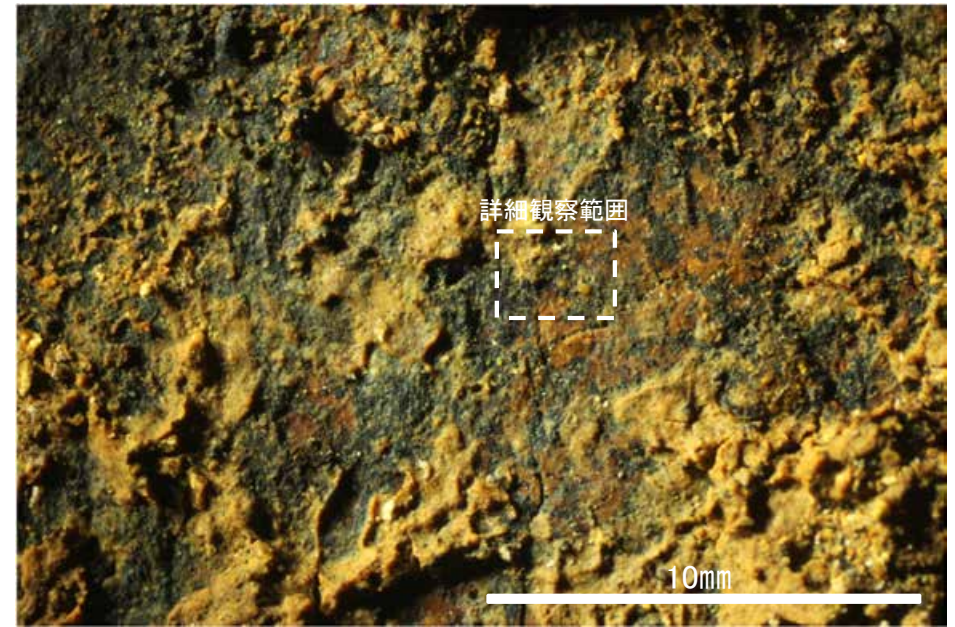
・条線のレイクは100° R, 変位センスは不明

# 条線観察結果 (No.1トレンチ-2) (下盤側) ①



概念図

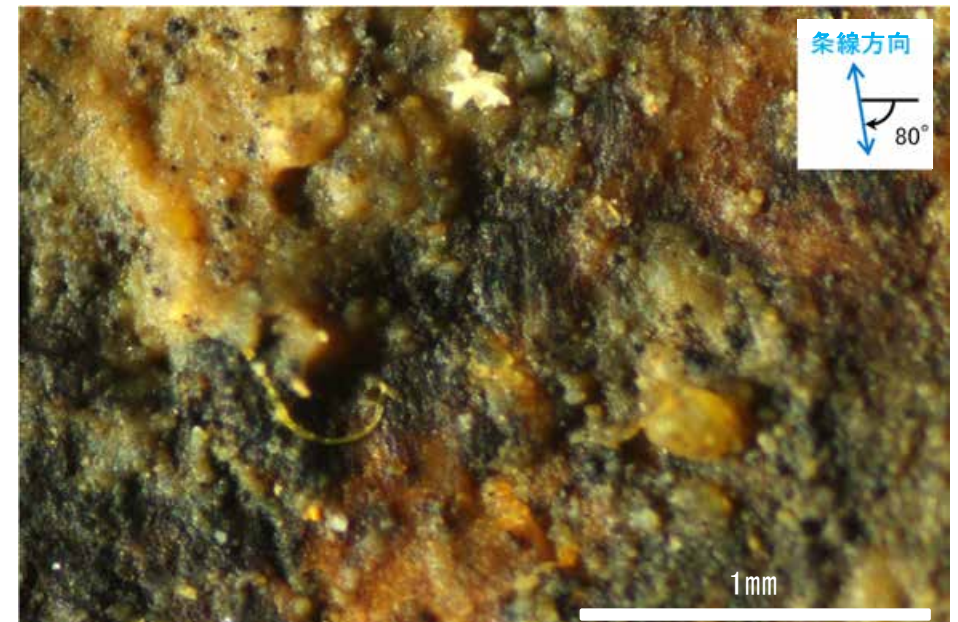
※走向は真北で示す。



観察面拡大写真



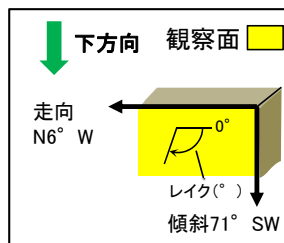
観察面写真



詳細観察写真

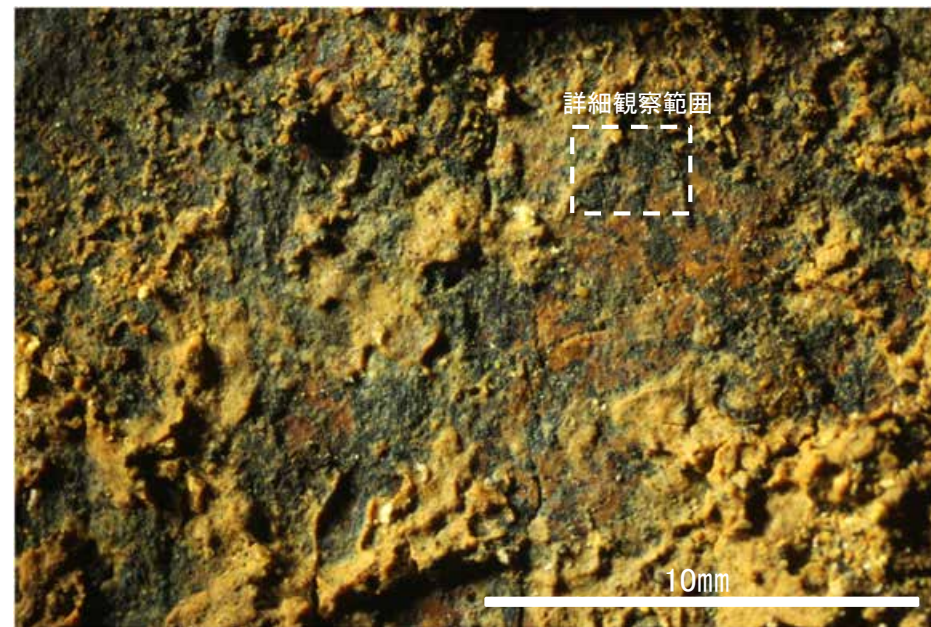
・条線のレイクは80° R, 変位センスは不明

# 条線観察結果 (No.1トレンチ-2) (下盤側) ②



概念図

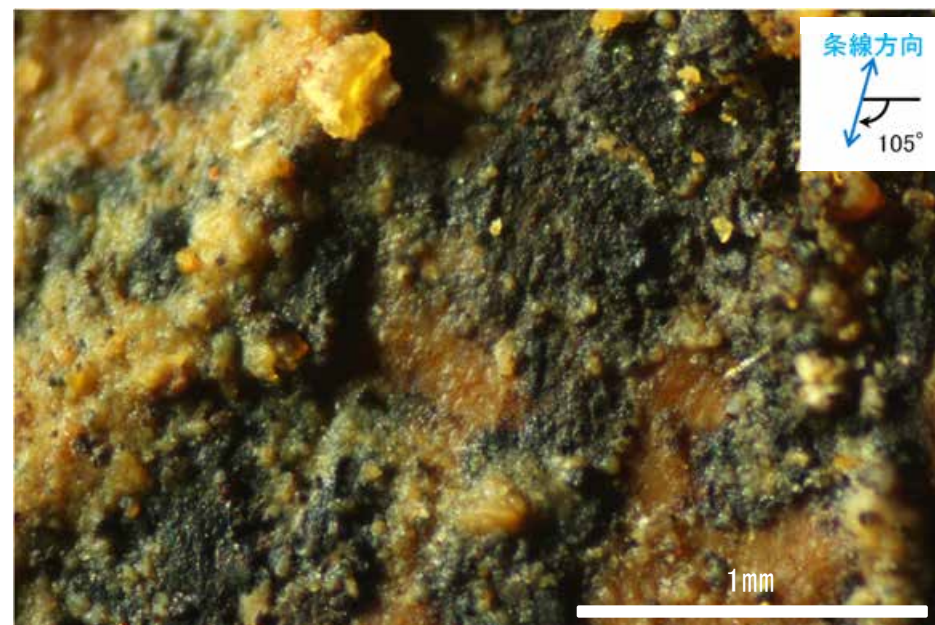
※走向は真北で示す。



観察面拡大写真



観察面写真

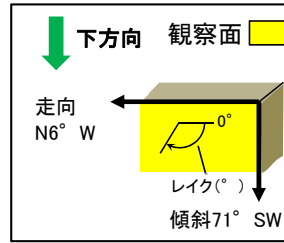


詳細観察写真

・条線のレイクは $105^\circ$  R, 変位センスは不明

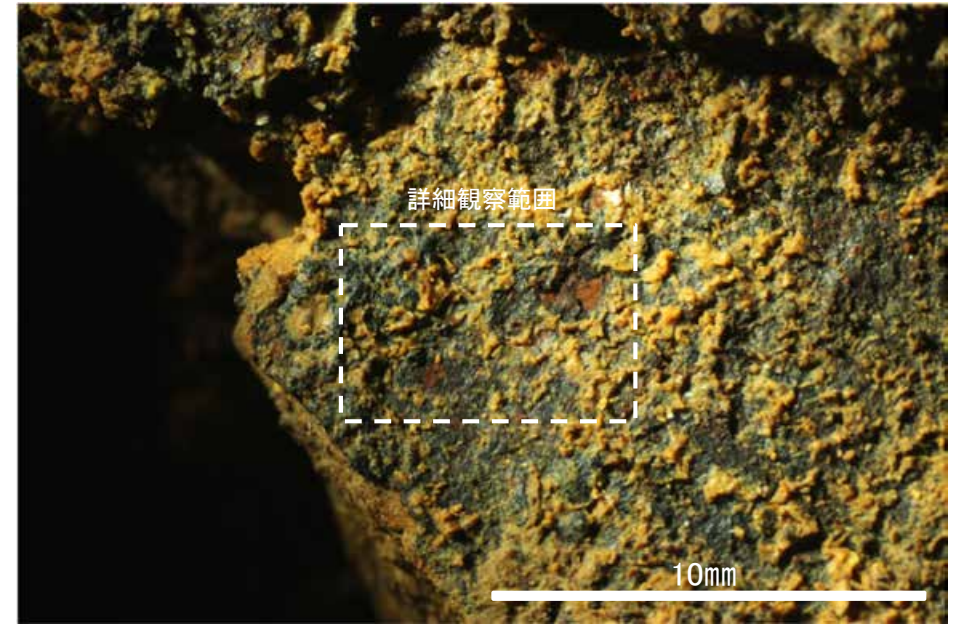


# 条線観察結果 (No.1トレンチ-2) (下盤側) ③



概念図

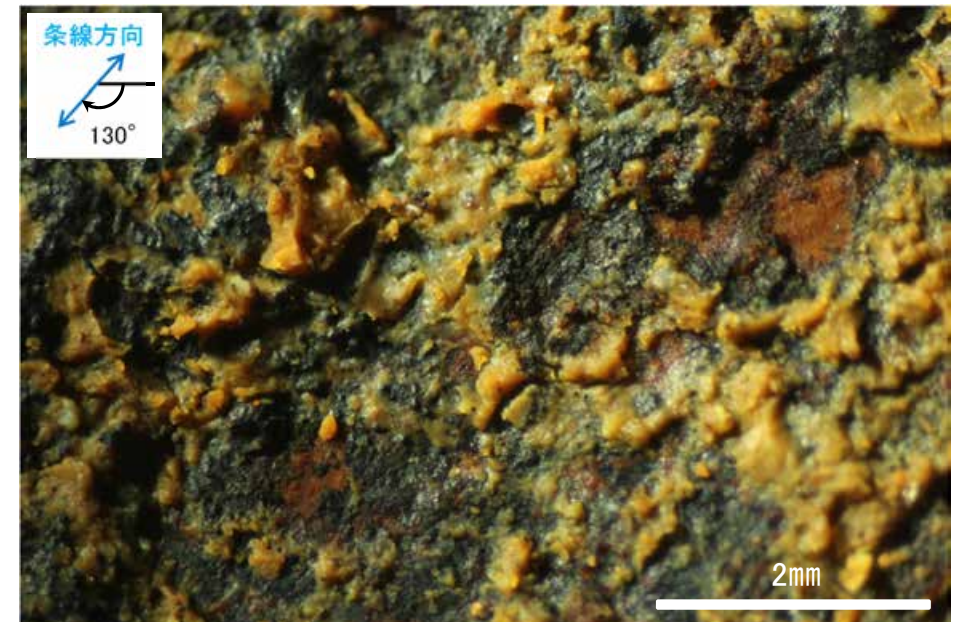
※走向は真北で示す。



観察面拡大写真



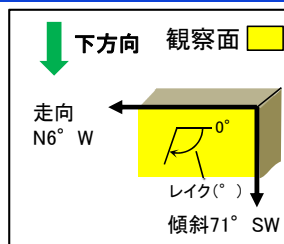
観察面写真



詳細観察写真

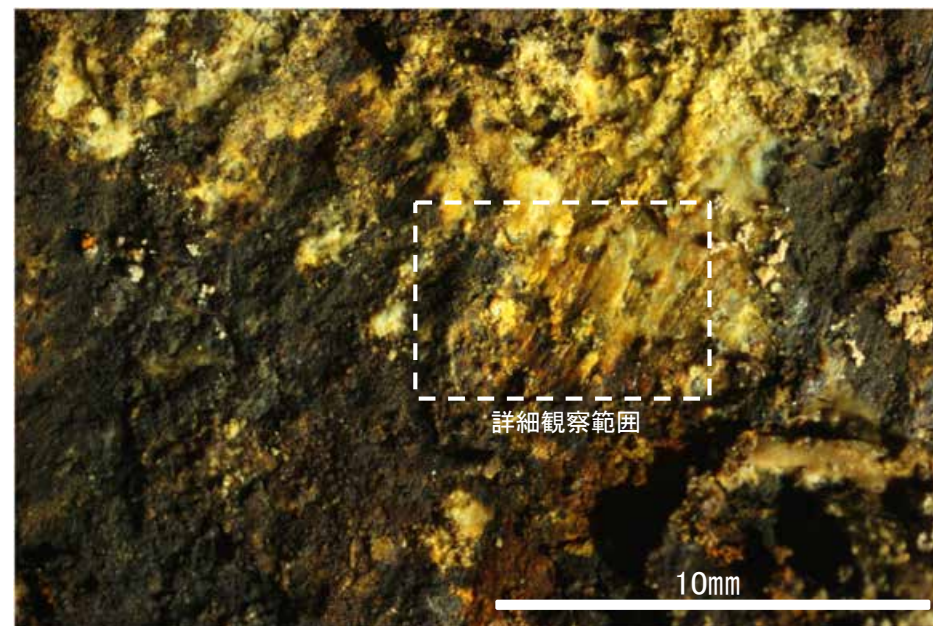
・条線のレイクは130° R, 変位センスは不明

# 条線観察結果 (No.1トレンチ) (下盤側)

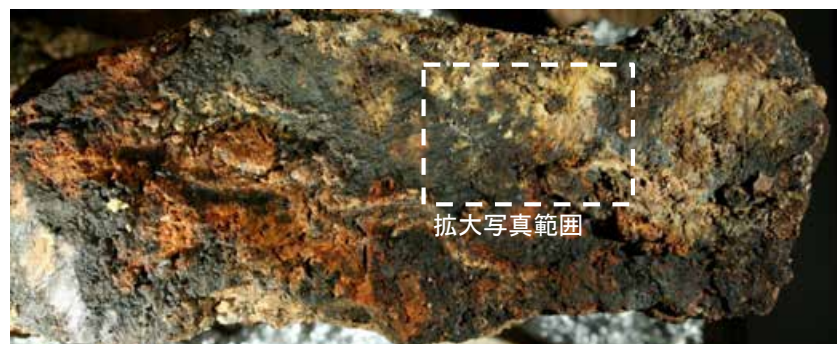


概念図

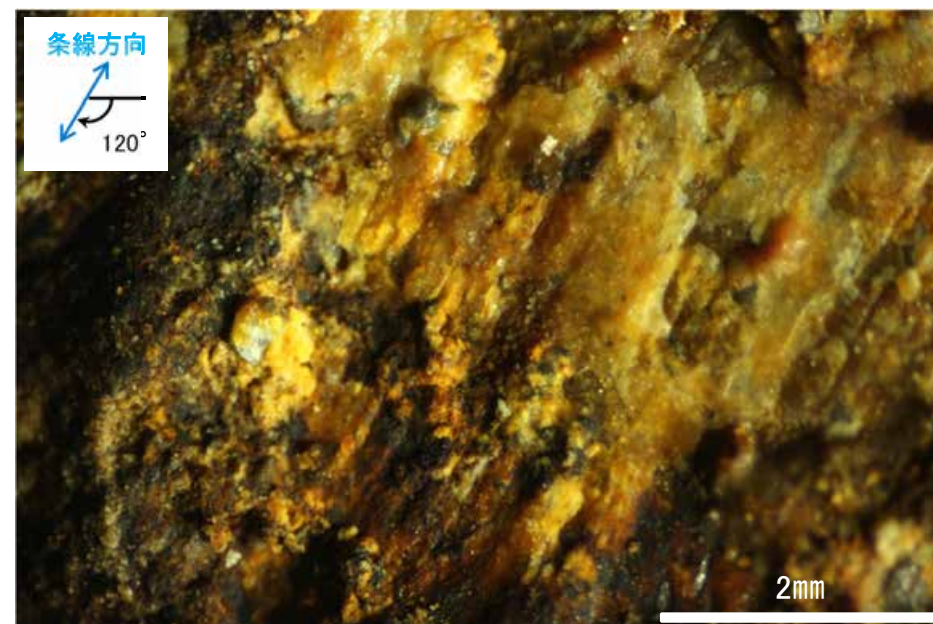
※走向は真北で示す。



観察面拡大写真



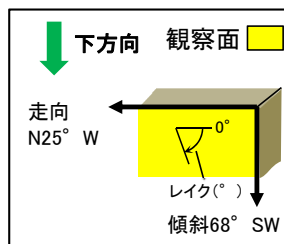
観察面写真



詳細観察写真

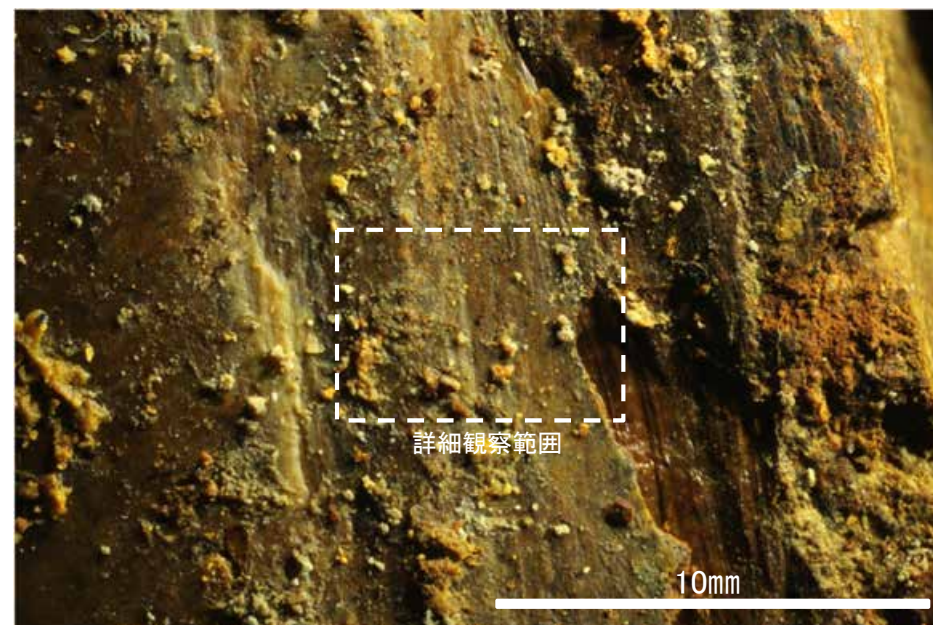
・条線のレイクは120° R, 変位センスは不明

# 条線観察結果 (No.2トレンチ) (下盤側) ①



概念図

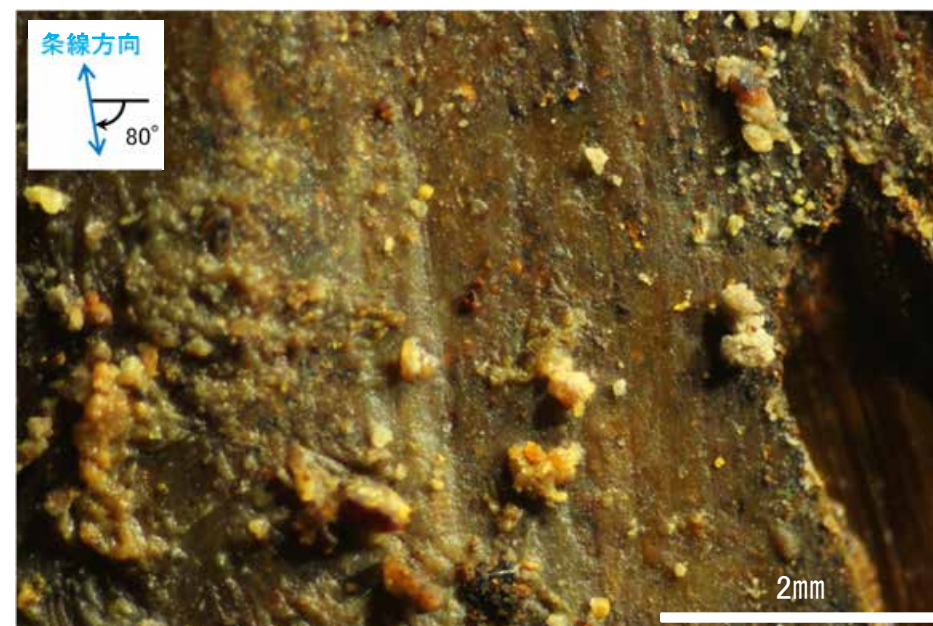
※走向は真北で示す。



観察面拡大写真



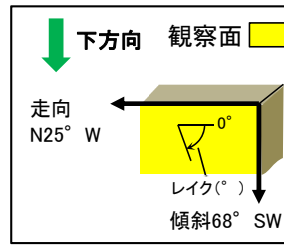
観察面写真



詳細観察写真

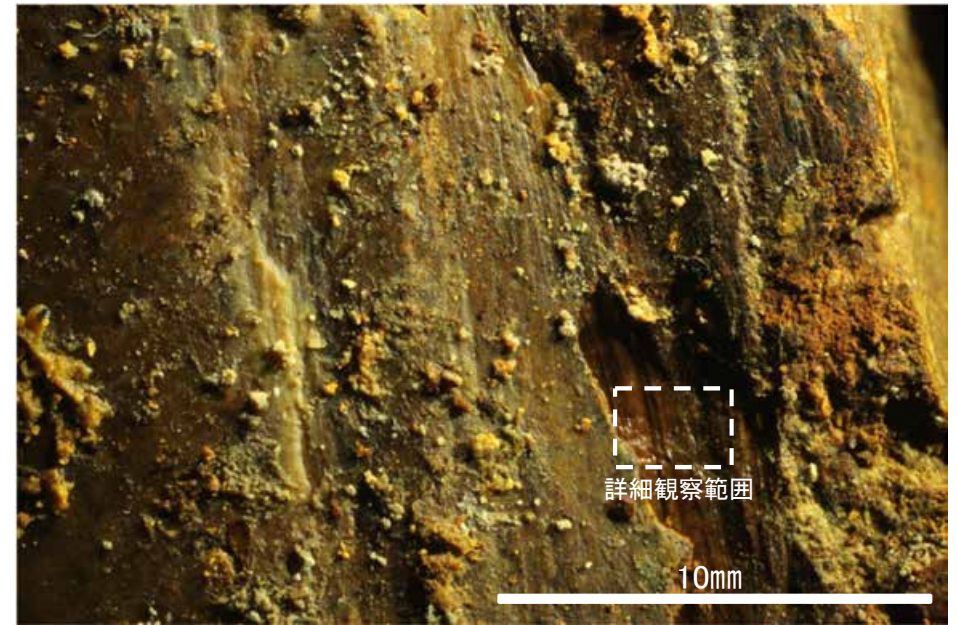
・条線のレイクは80° R, 変位センスは不明

# 条線観察結果 (No.2トレンチ) (下盤側) ②



概念図

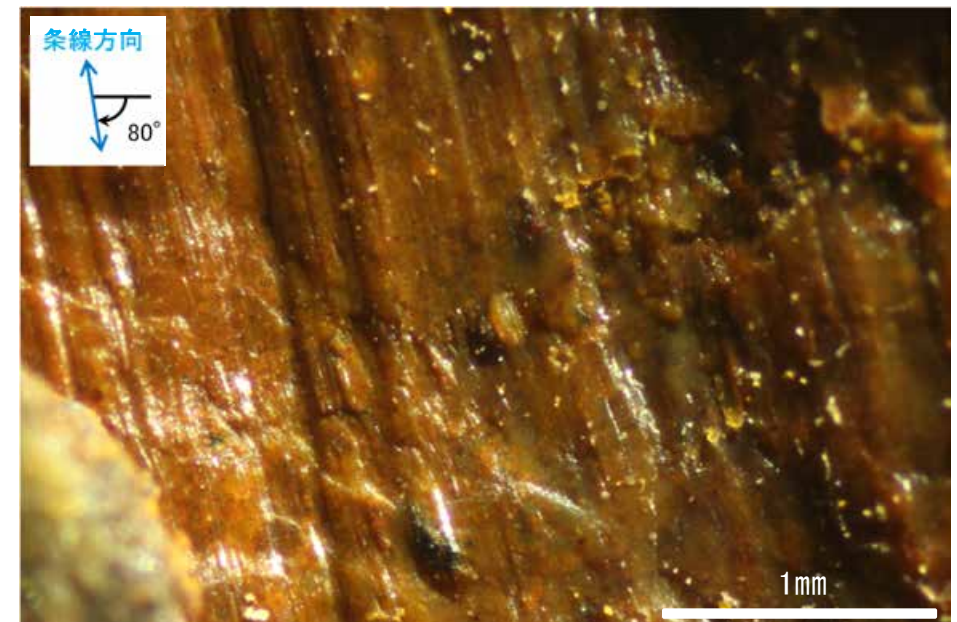
※走向は真北で示す。



観察面拡大写真



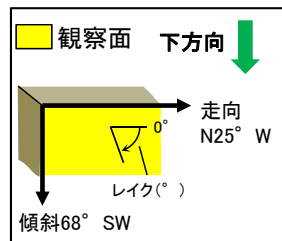
観察面写真



詳細観察写真

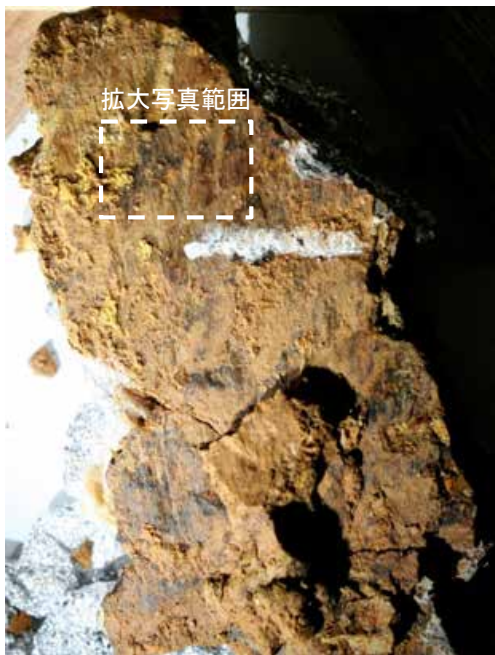
・条線のレイクは80° R, 変位センスは不明

# 条線観察結果 (No.2トレンチ-1) (上盤側)



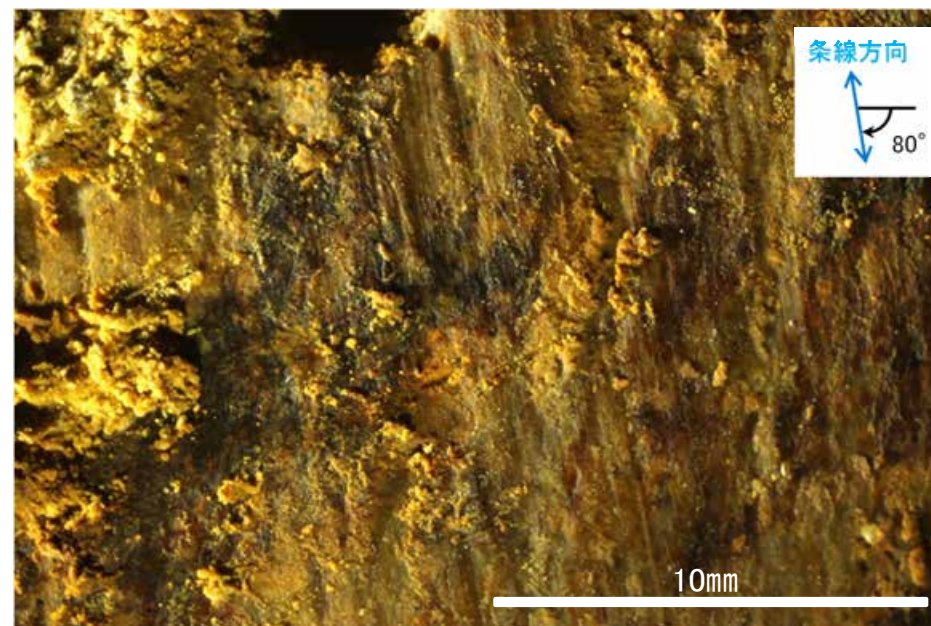
概念図

※走向は真北で示す。



60mm

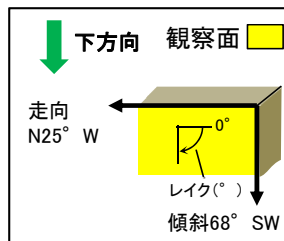
観察面写真



観察面拡大写真

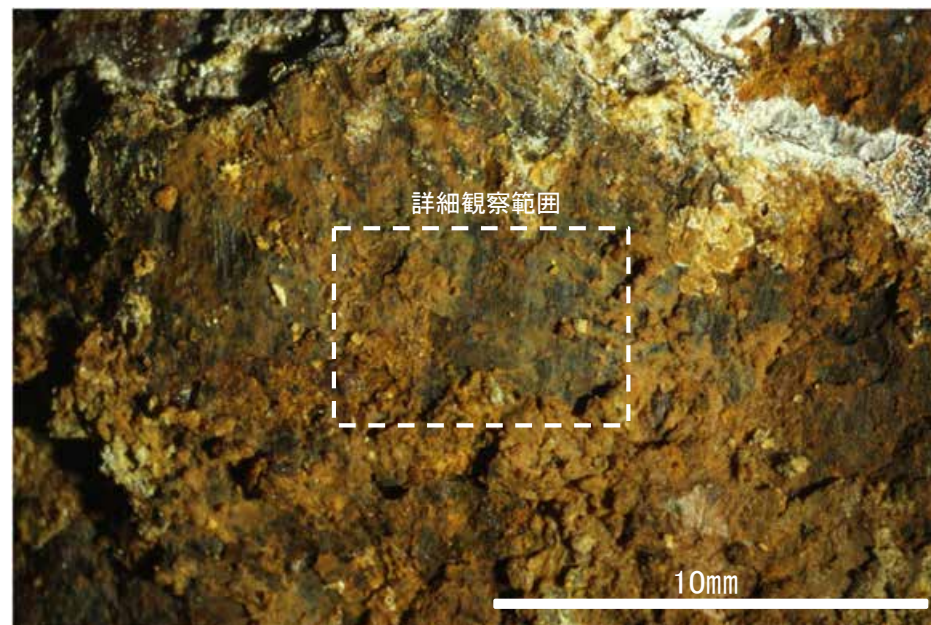
・条線のレイクは $100^{\circ}$  R(下盤側換算), 変位センスは不明

# 条線観察結果 (No.2トレンチ-2) (下盤側)

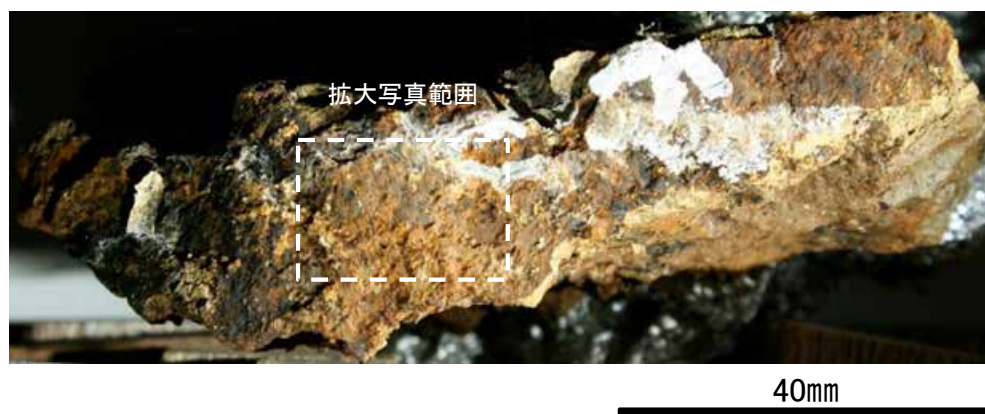


概念図

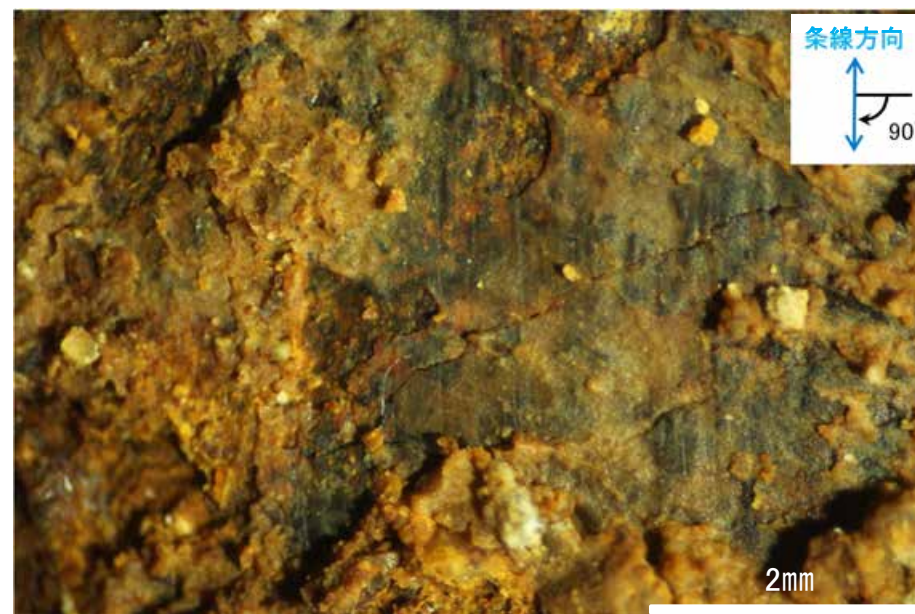
※走向は真北で示す。



観察面拡大写真



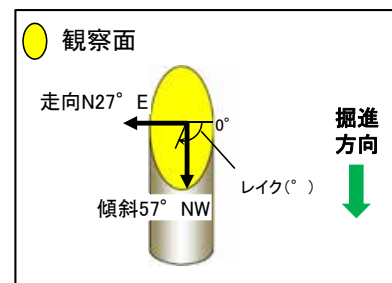
観察面写真



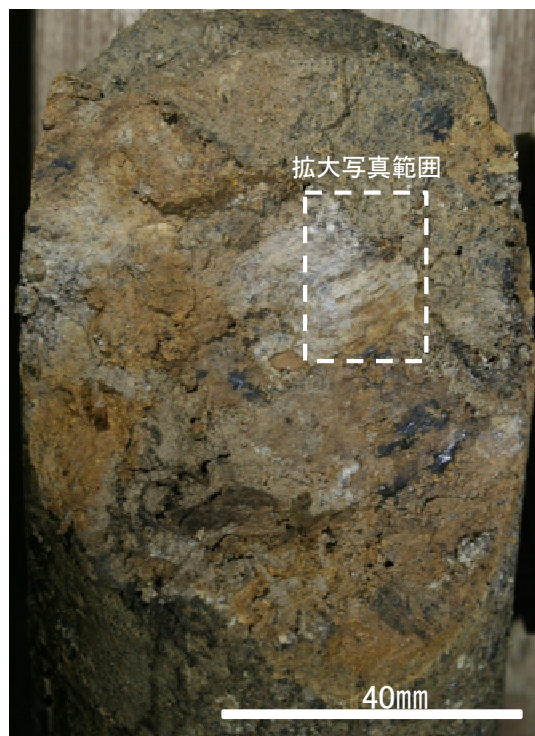
詳細観察写真

・条線のレイクは90° R, 変位センスは不明

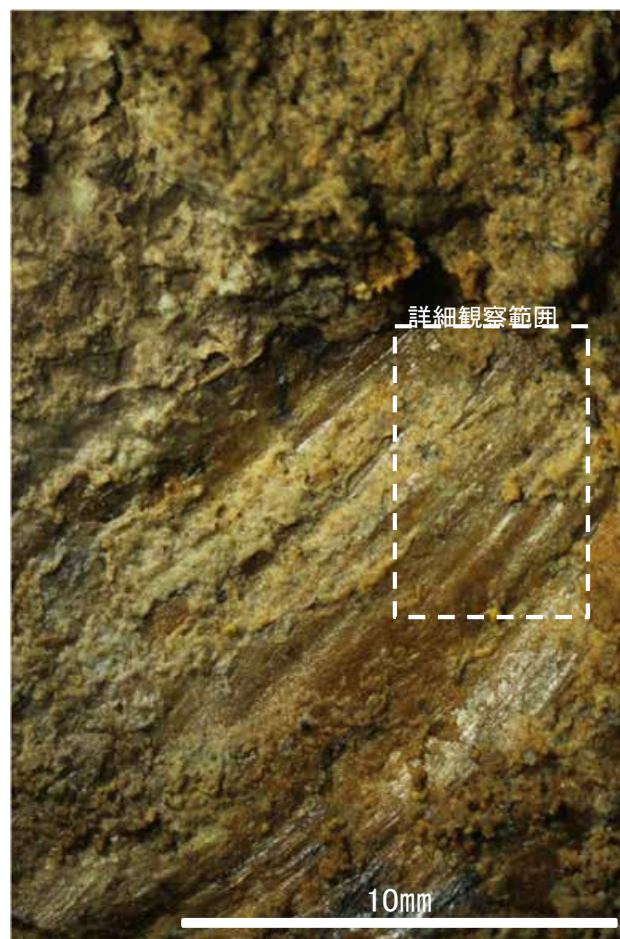
# 条線観察結果(ボーリングC-9.1[深度10.82m])(下盤側)



概念図  
※走向は真北で示す。



観察面写真



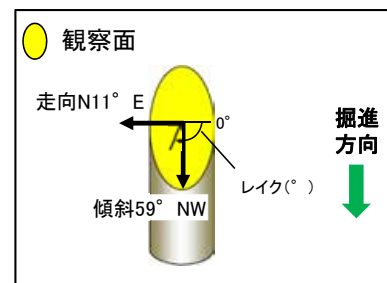
観察面拡大写真



詳細観察写真

・条線のレイクは135° R, 変位センスは不明

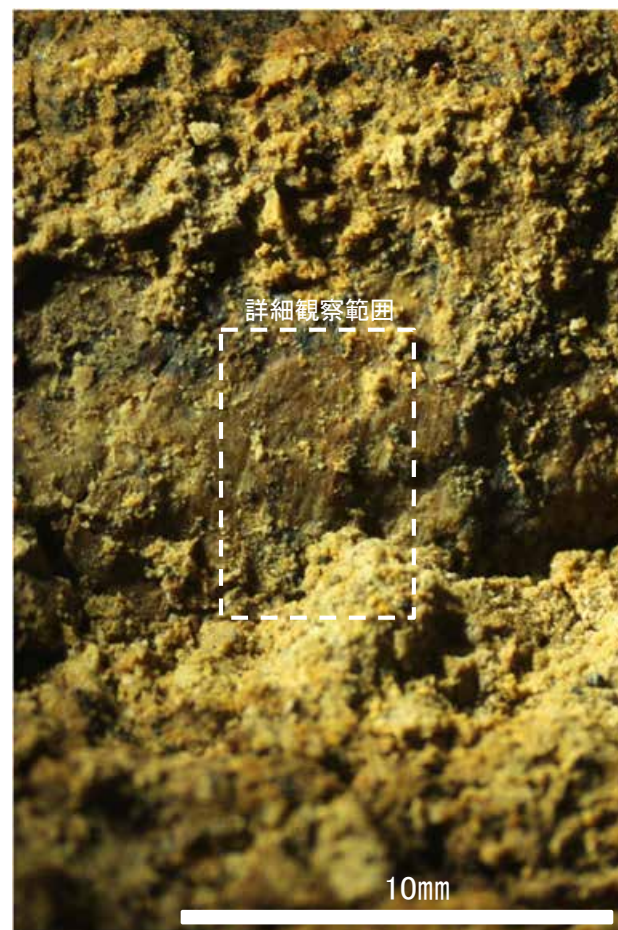
# 条線観察結果(ボーリングC-9.1-1[深度10.67m])(下盤側)



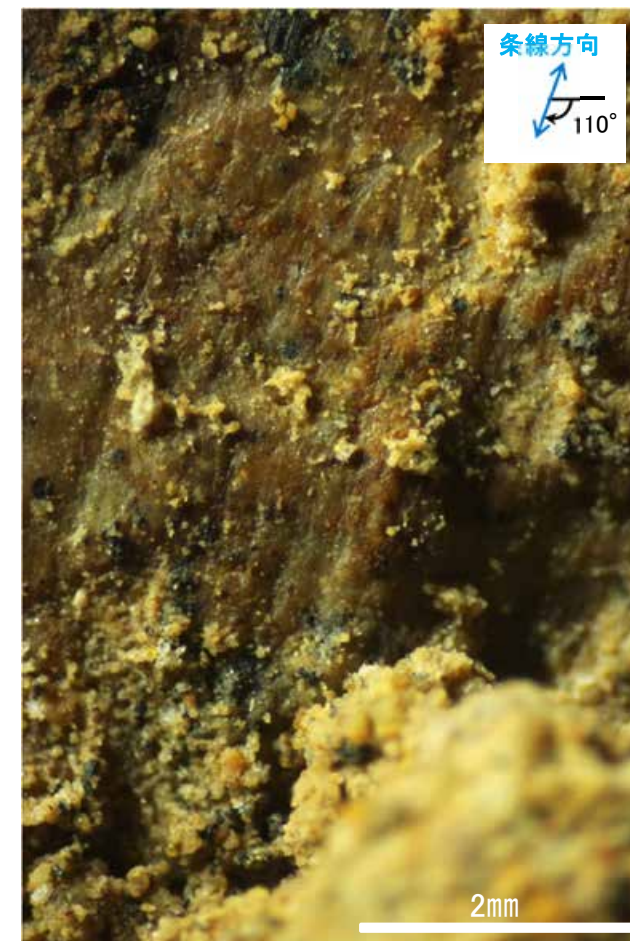
概念図  
 ※走向は真北で示す。



観察面写真



観察面拡大写真

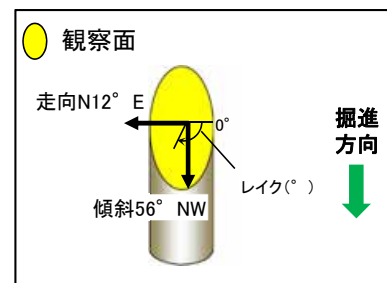


詳細観察写真

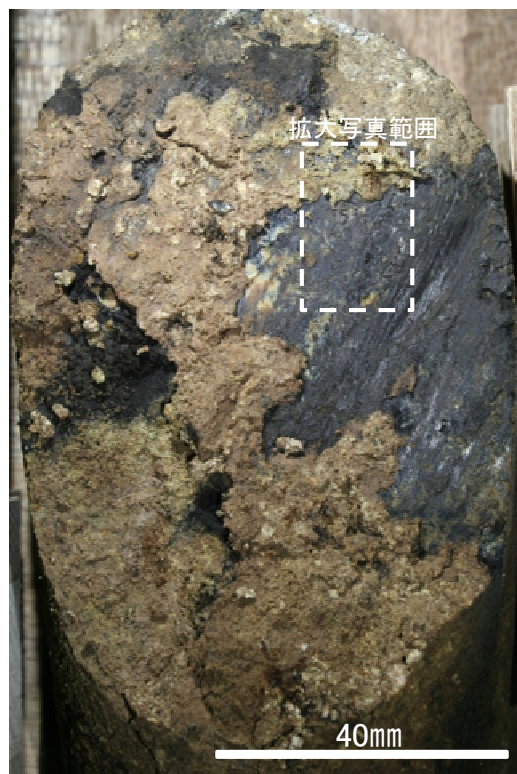
・条線のレイクは110° R, 変位センスは不明



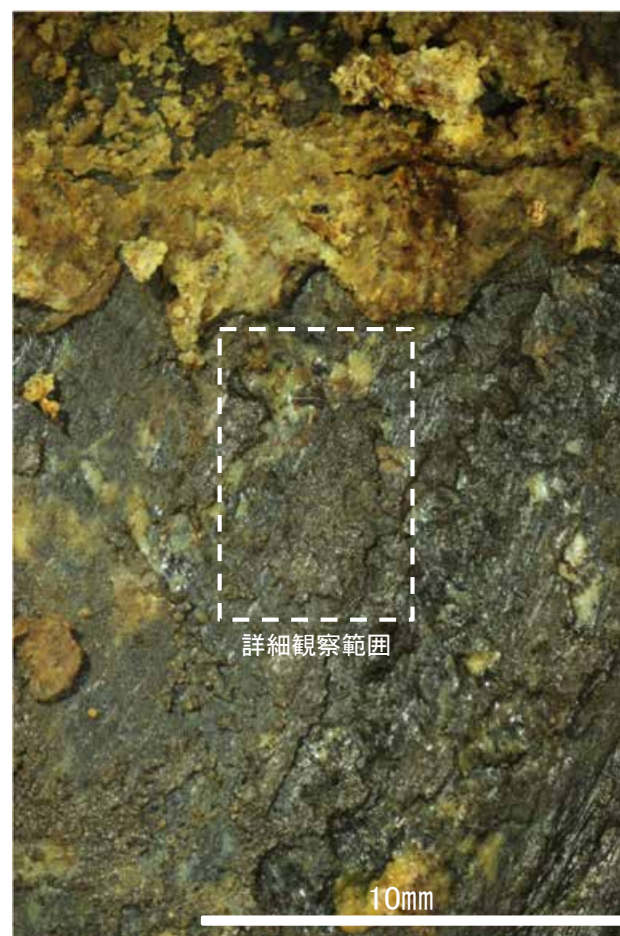
# 条線観察結果(ボーリングC-9.2[深度10.56m])(下盤側)



概念図  
※走向は真北で示す。



観察面写真



観察面拡大写真



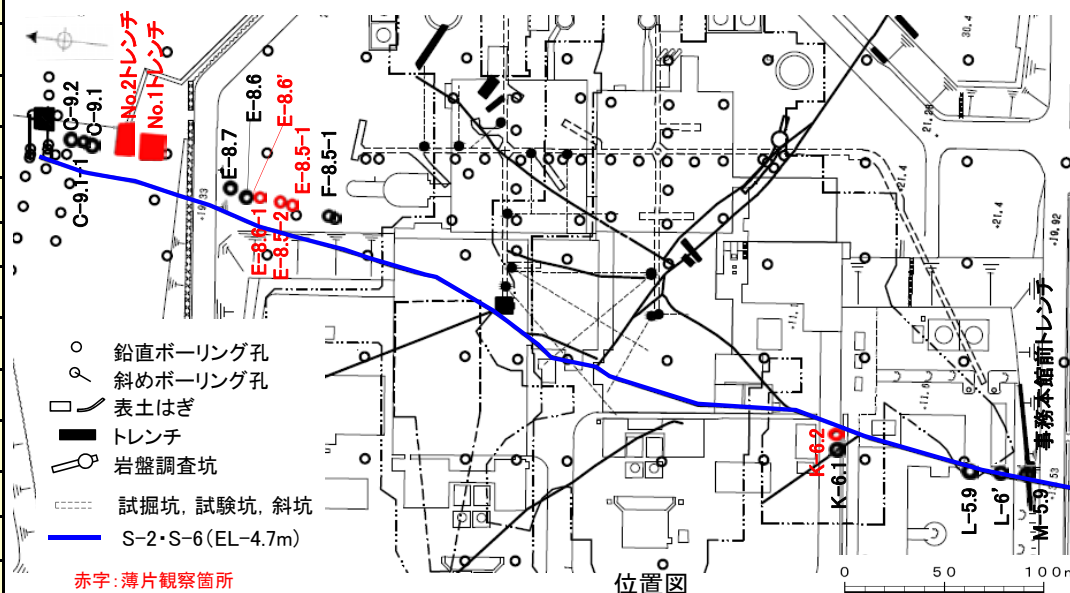
詳細観察写真

・条線のレイクは115° R, 変位センスは不明

# S-2・S-6の薄片観察結果

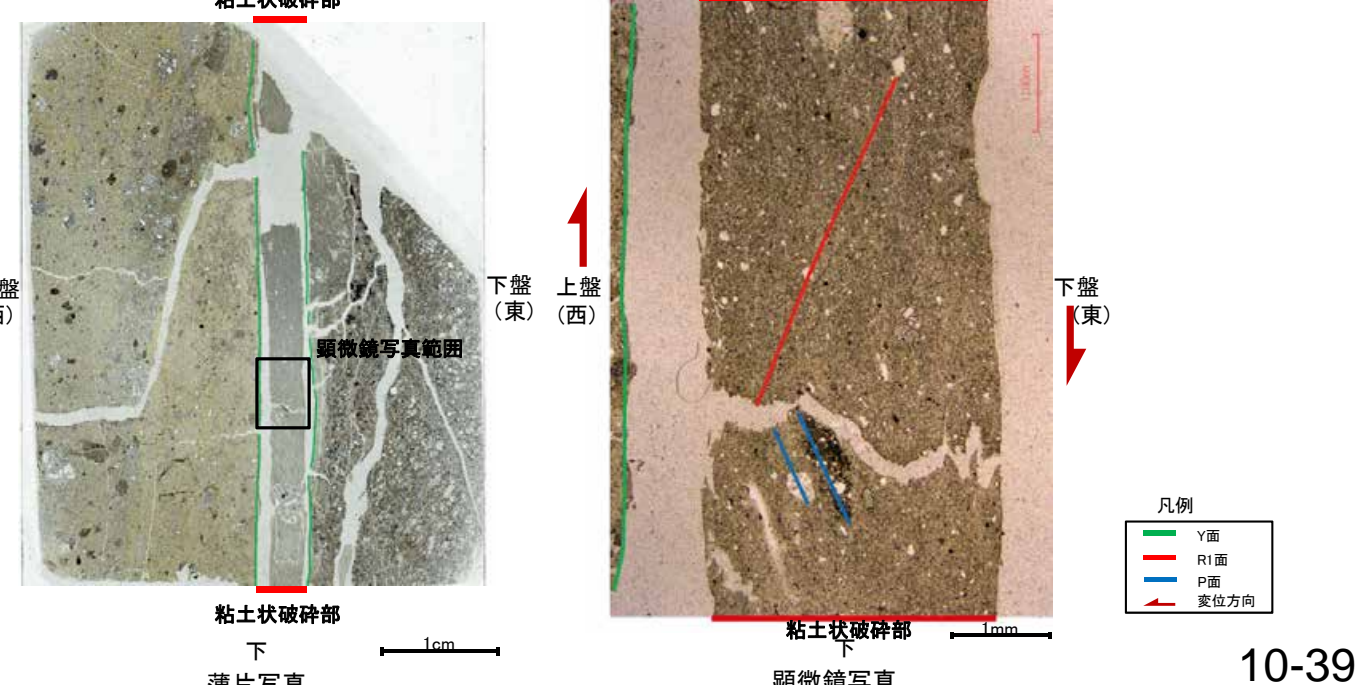
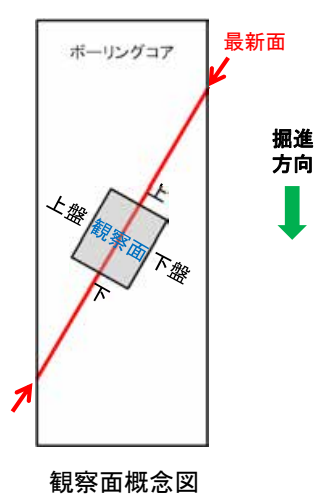
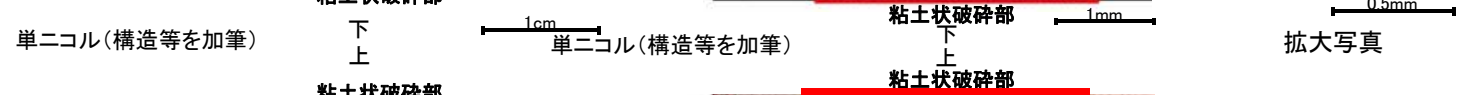
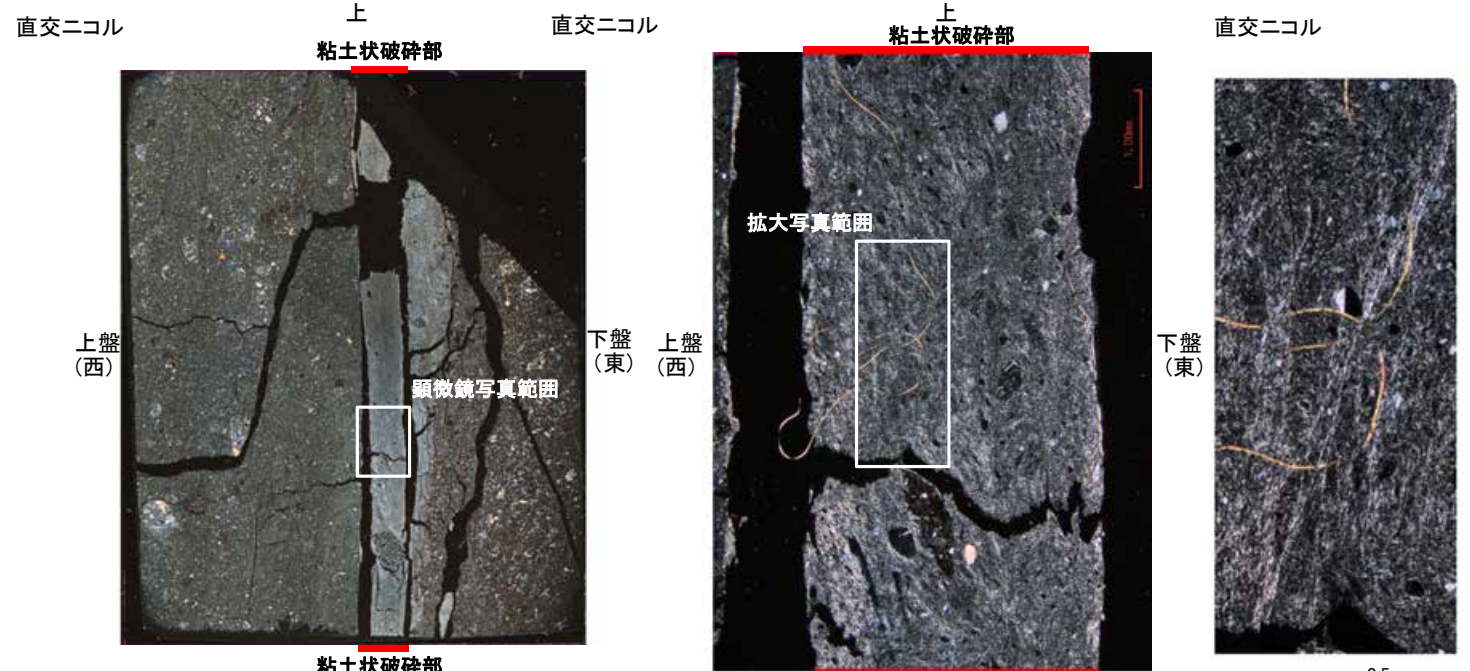
試料名	走向/傾斜 (走向は真北)	条線観察結果		薄片観察結果	
		条線の レイク※	変位センス	薄片番号	変位センス
ボーリングM-5.9 (深度7.80m)	下盤側 N3° E/60° NW	80° R	右横ずれ逆断層	—	—
事務本館前トレンチ	下盤側 N12° E/70° NW	140° R	(不明)	—	—
ボーリングL-6' (深度13.82m)	下盤側 N12° E/58° NW	120° R	左横ずれ逆断層	—	—
ボーリングL-5.9 (深度18.00m)	下盤側 N6° E/59° NW	125° R	左横ずれ逆断層	—	—
		35° R	(不明)	—	—
ボーリングK-6.1 (深度31.50m)	下盤側 N5° E/52° NW	100° R	(不明)	K-6.2_100R	左横ずれ逆断層
ボーリングF-8.5-1 (深度8.66m)	下盤側 N14° E/51° NW	150° R	左横ずれ逆断層	—	—
ボーリングE-8.5-1 (深度8.33m)	下盤側 N5° E/51° NW	140° R	左横ずれ逆断層	E-8.5-1_140R	左横ずれ逆断層
ボーリングE-8.5-2 (深度8.55m)	上盤側 N8° E/51° NW	105° R	(不明)	E-8.5-2_105R	(不明)
		160° R	(不明)	E-8.5-2_160R	左横ずれ逆断層
ボーリングE-8.6-1 (深度8.52m)	下盤側 N7° E/65° NW	145° R	(不明)	E-8.6-1_145R	左横ずれ逆断層
ボーリングE-8.6' (深度11.40m)	上盤側 N11° E/46° NW	100° R	(不明)	E-8.6'_100R	左横ずれ逆断層
ボーリングE-8.6 (深度11.70m)	上盤側 NS/45° W	50° R	(不明)	—	—
ボーリングE-8.7 (深度10.09m)	下盤側 N10° E/56° NW	75° R	(不明)	—	—
No.1トレンチ-1	下盤側 N6° W/71° SW	100° R	(不明)	—	—
No.1トレンチ-2	下盤側 N6° W/71° SW	80° R	(不明)	—	—
		105° R	(不明)	—	—
		130° R	(不明)	—	—
No.1トレンチ	下盤側 N6° W/71° SW	120° R	(不明)	No.1トレンチ_120R_TE1	(不明)
No.2トレンチ	下盤側 N25° W/68° SW	80° R	(不明)	No.2トレンチ_80R_TE2	(不明)
No.2トレンチ-1	上盤側 N25° W/68° SW	100° R	(不明)	—	—
No.2トレンチ-2	下盤側 N25° W/68° SW	90° R	(不明)	—	—
ボーリングC-9.1 (深度10.82m)	下盤側 N27° E/57° NW	135° R	(不明)	—	—
ボーリングC-9.1-1 (深度10.67m)	下盤側 N11° E/59° NW	110° R	(不明)	—	—
ボーリングC-9.2 (深度10.56m)	下盤側 N12° E/56° NW	115° R	(不明)	—	—

※ 上盤側で確認したレイクは下盤側に換算して示す



# 薄片観察結果 (K-6.2\_100R)

■ 条線観察結果を踏まえ、  
100° R のレイクでボーリング  
コアを切断して作成した薄片  
を観察した。



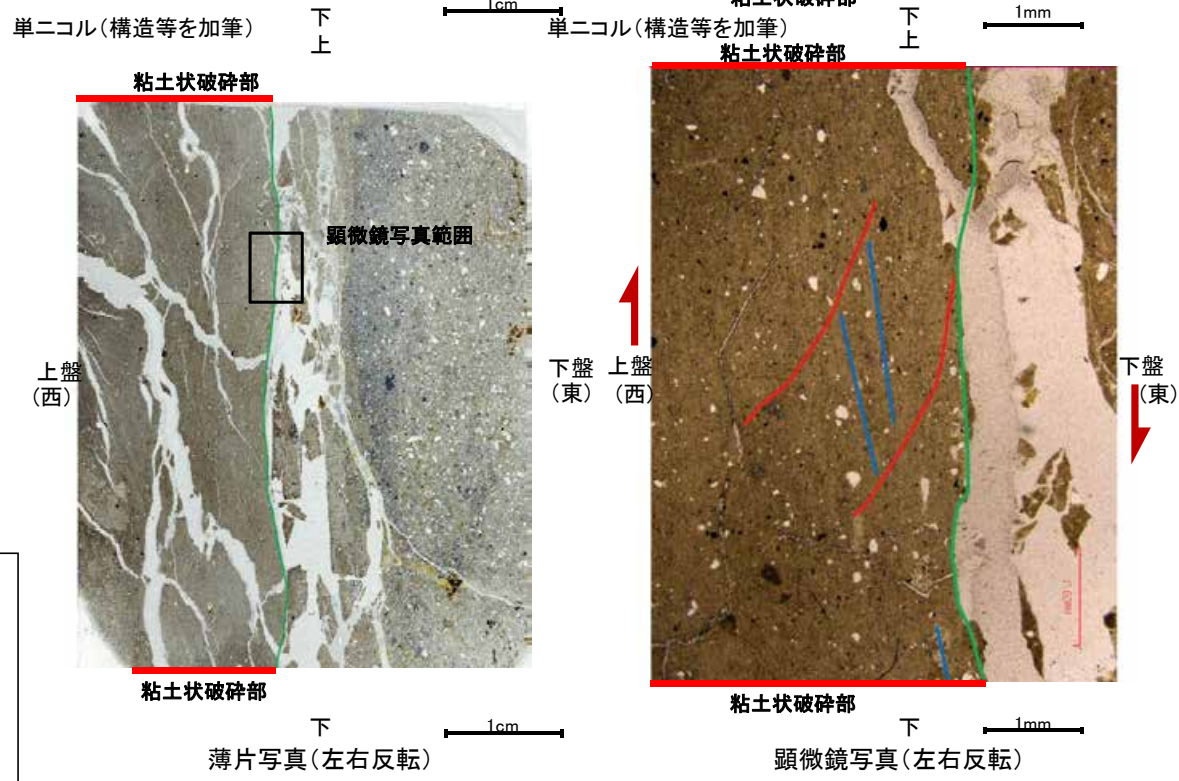
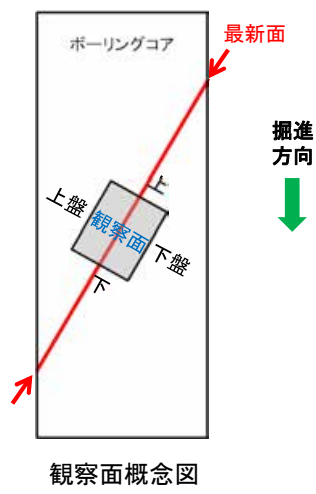
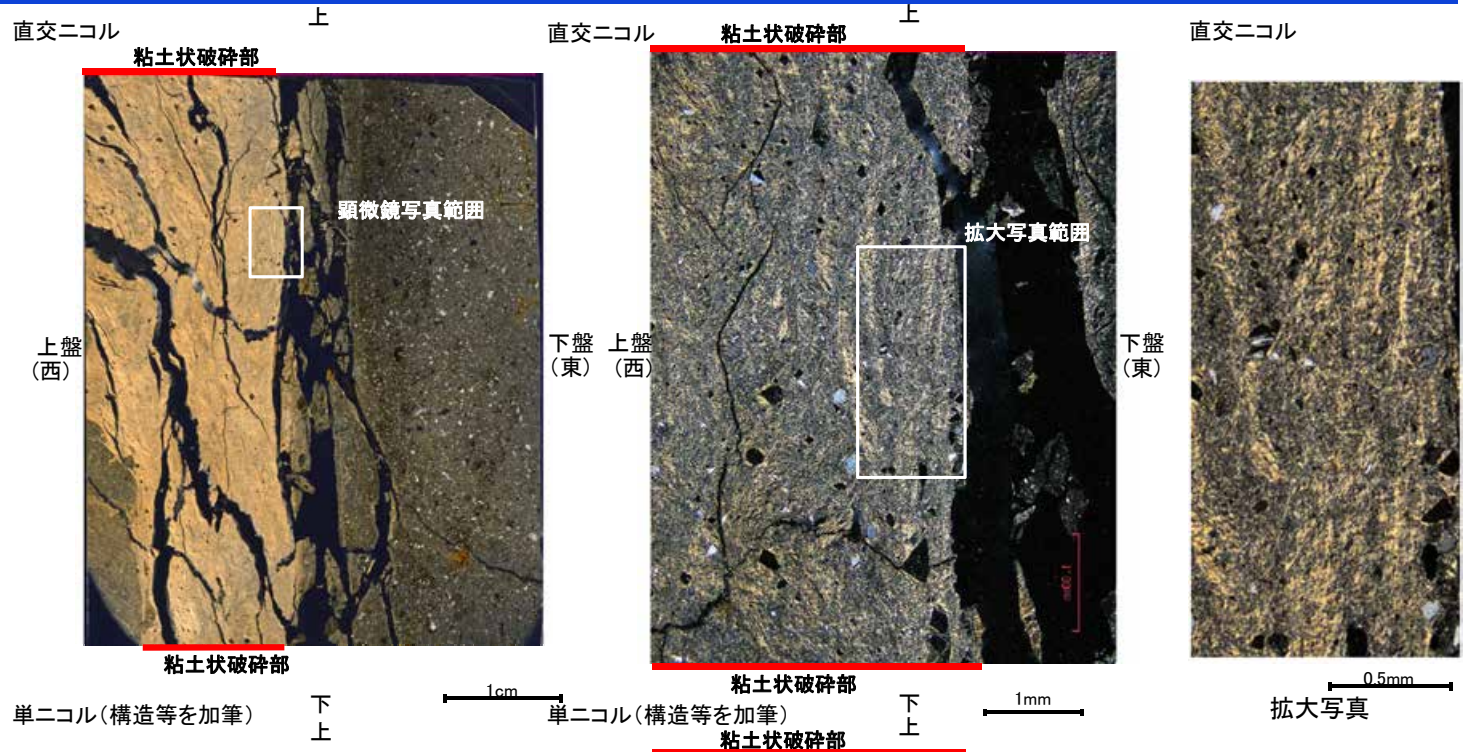
凡例

<span style="color: green;">—</span>	Y面
<span style="color: red;">—</span>	R1面
<span style="color: blue;">—</span>	P面
<span style="color: red;">↗</span>	変位方向

・粘土状破碎部中には明瞭なY面が認められ、その近傍では粒子の長軸の並びや比較的連続性のよい割れ目が認められる。この粒子の長軸の並びから想定されるP面や割れ目から想定されるR1面より、上盤(西側)隆起の逆断層センスが推定される。

# 薄片観察結果 (E-8.5-1\_140R)

■ 条線観察結果を踏まえ、  
140° R のレイクでボーリング  
コアを切断して作成した薄片  
を観察した。



凡例

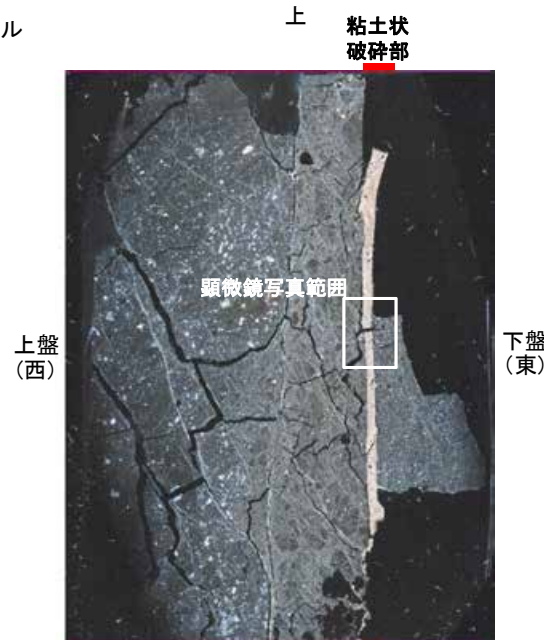
<span style="color: green;">—</span>	Y面
<span style="color: red;">—</span>	R1面
<span style="color: blue;">—</span>	P面
<span style="color: red;">↗</span>	変位方向

・粘土状破砕部中には明瞭なY面が認められ、その近傍では粒子の配列や比較的連続性のよい割れ目が認められる。この粒子の配列から想定されるP面や割れ目から想定されるR1面より、上盤(西側)隆起の逆断層センスが推定される。

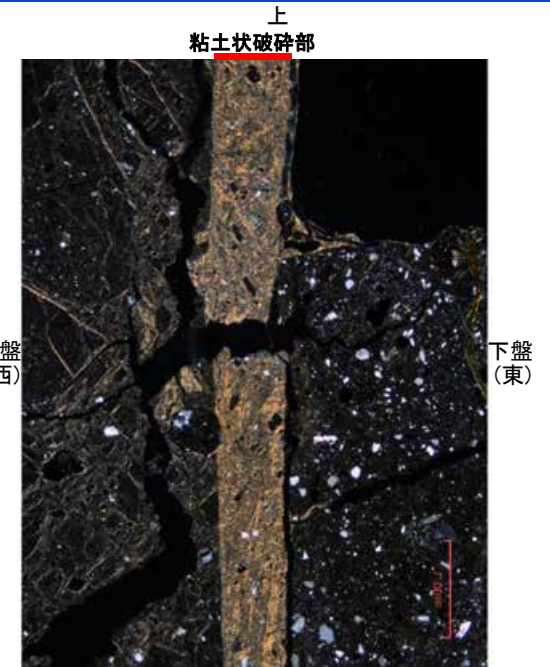
# 薄片観察結果 (E-8.5-2\_105R)

■ 条線観察結果を踏まえ、  
105° R のレイクでボーリング  
コアを切断して作成した薄片  
を観察した。

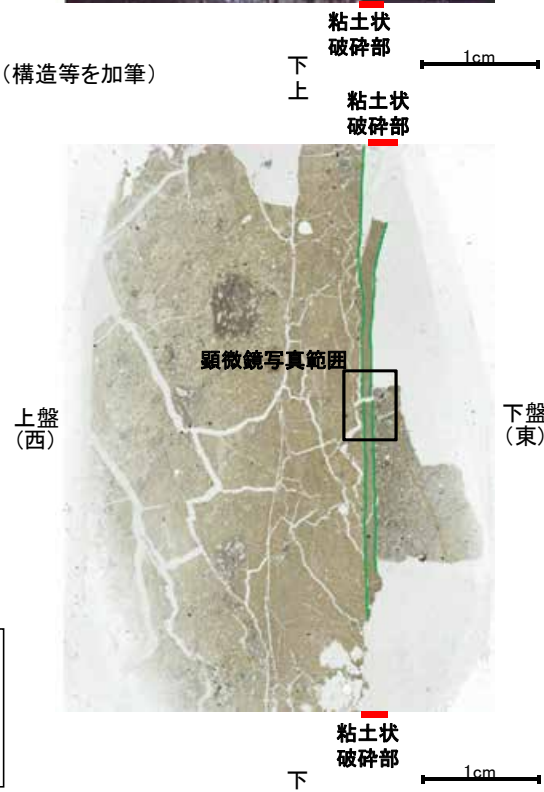
直交ニコル



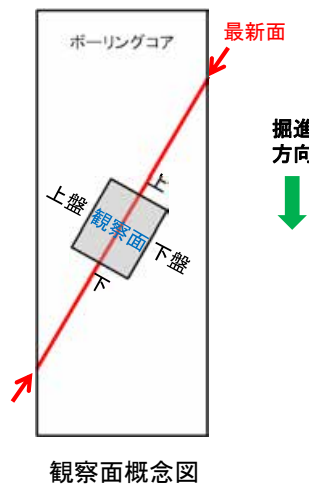
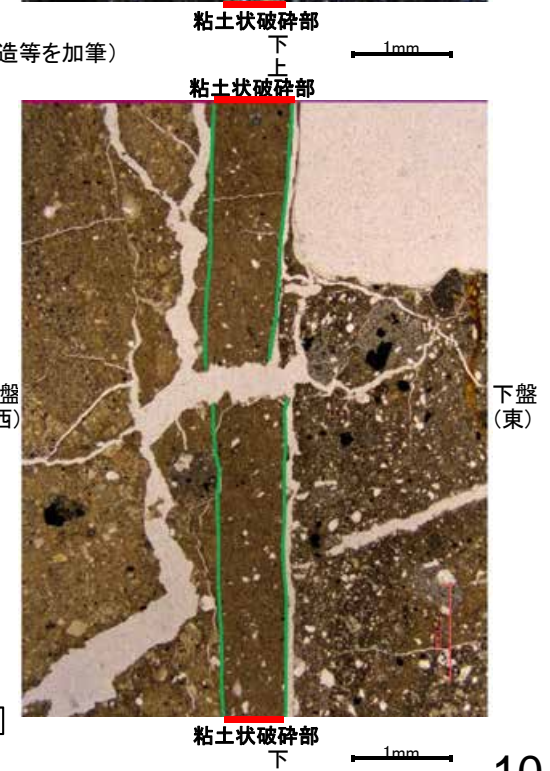
直交ニコル



単ニコル (構造等を加筆)



単ニコル (構造等を加筆)



・粘土状破砕部中には粒子の長軸の並びや粒子の配列がY面と斜交するように分布する箇所が認められるものの、特定方向には並んでおらず、変位センスを認定できるような構造は認められない。

凡例



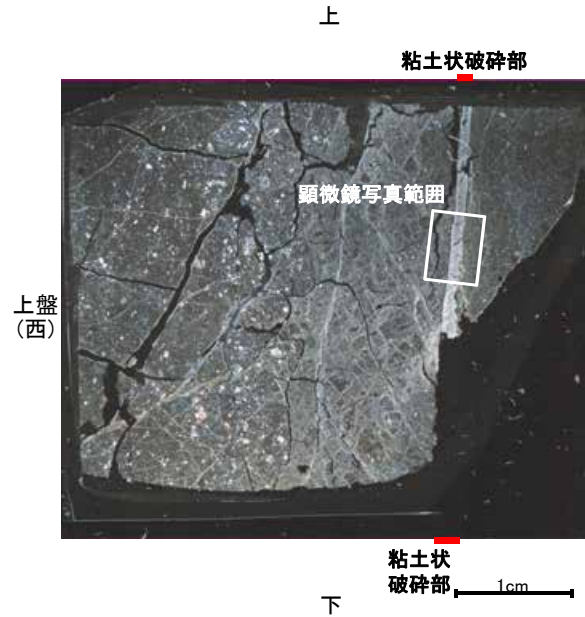
薄片写真 (左右反転)

顕微鏡写真 (左右反転)

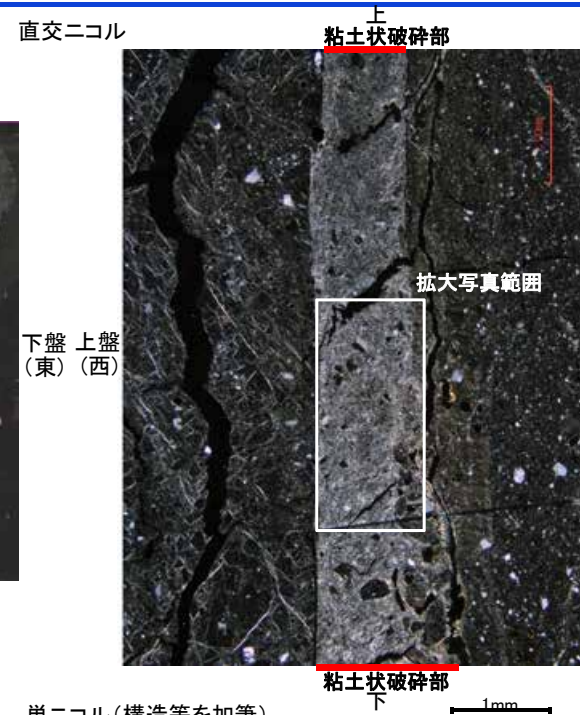
# 薄片観察結果 (E-8.5-2\_160R)

■ 条線観察結果を踏まえ、  
160° R のレイクでボーリング  
コアを切断して作成した薄片  
を観察した。

直交ニコル



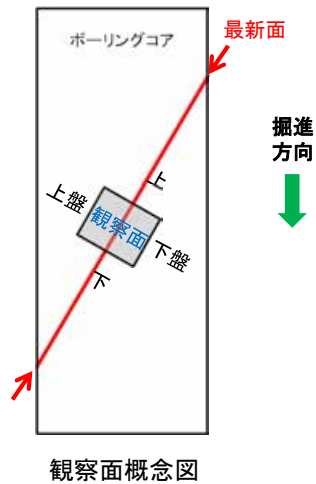
直交ニコル



直交ニコル

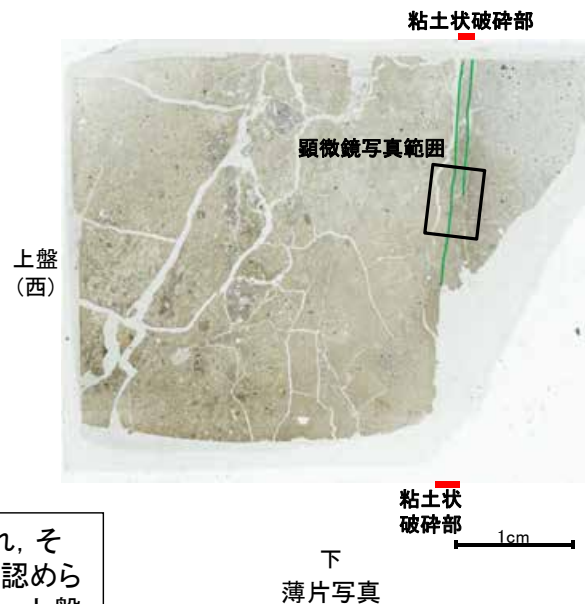


単ニコル (構造等を加筆)



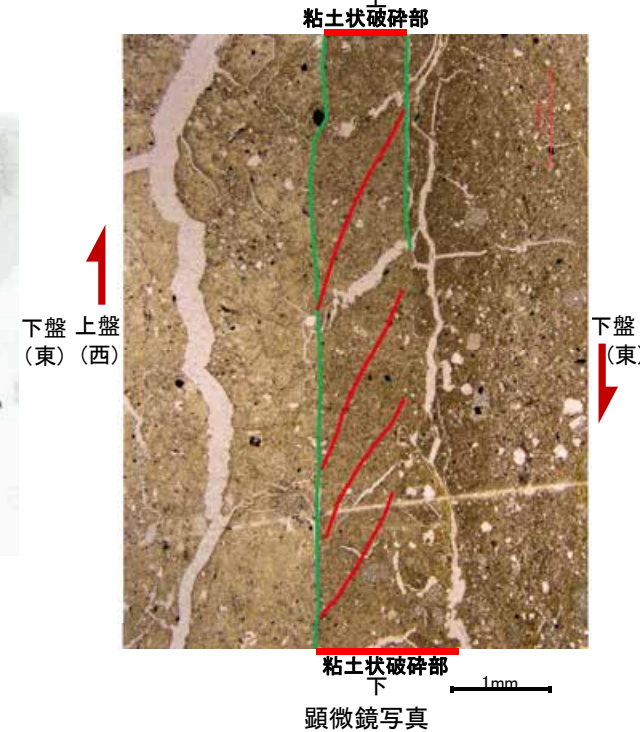
観察面概念図

上



薄片写真

単ニコル (構造等を加筆)



顕微鏡写真

凡例



・ 粘土状破碎部中には明瞭なY面が認められ、その近傍では比較的連続性のよい割れ目が認められる。この割れ目から想定されるR1面より、上盤 (西側) 隆起の逆断層センスが推定される。

# 薄片観察結果 (E-8.6-1\_145R)

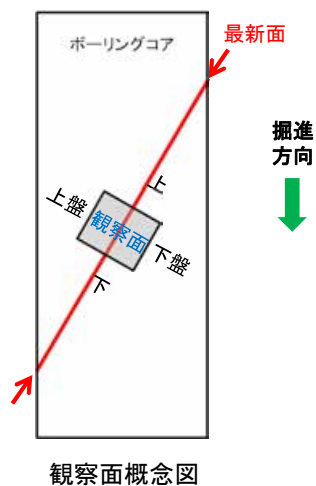
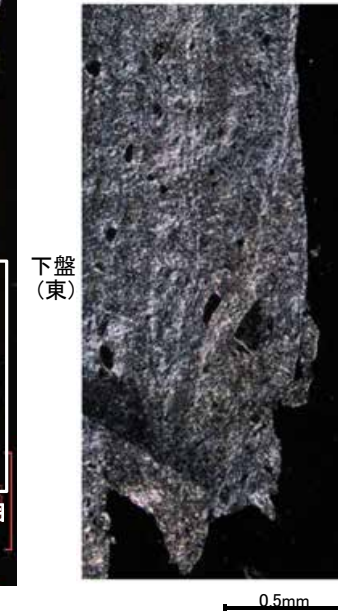
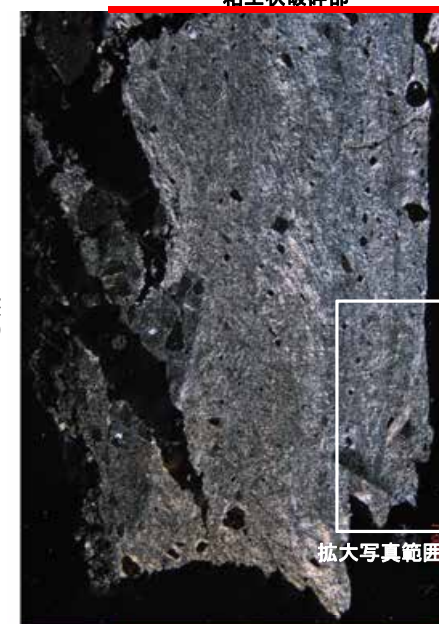
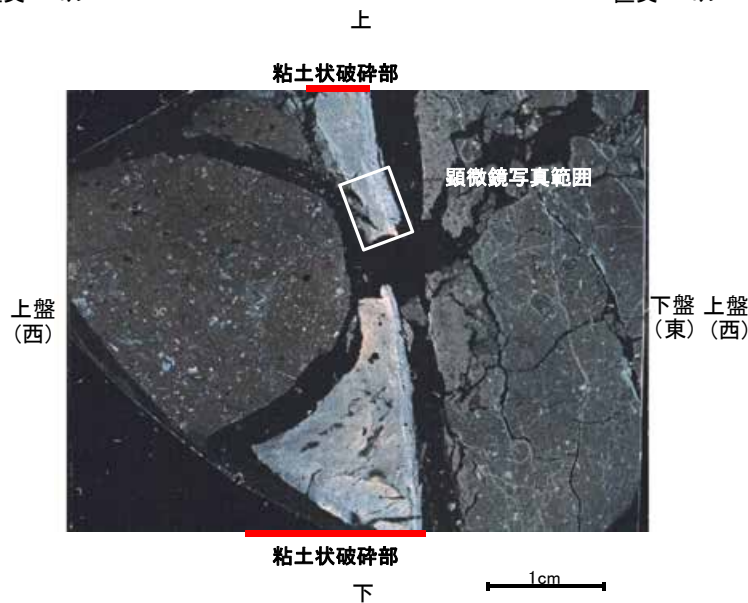
■ 条線観察結果を踏まえ、  
145° R のレイクでボーリング  
コアを切断して作成した薄片  
を観察した。

直交ニコール

直交ニコール

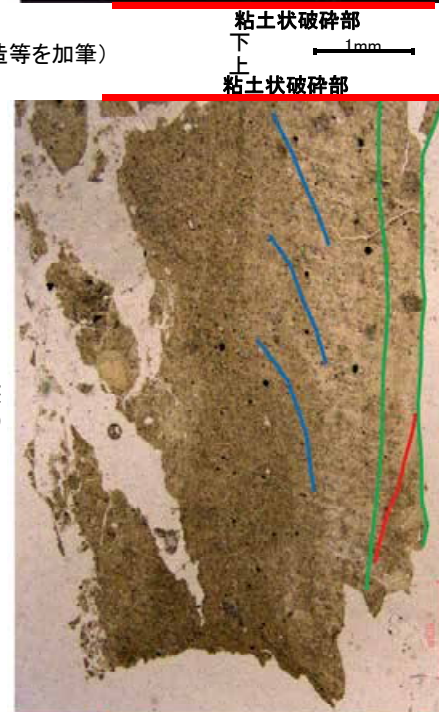
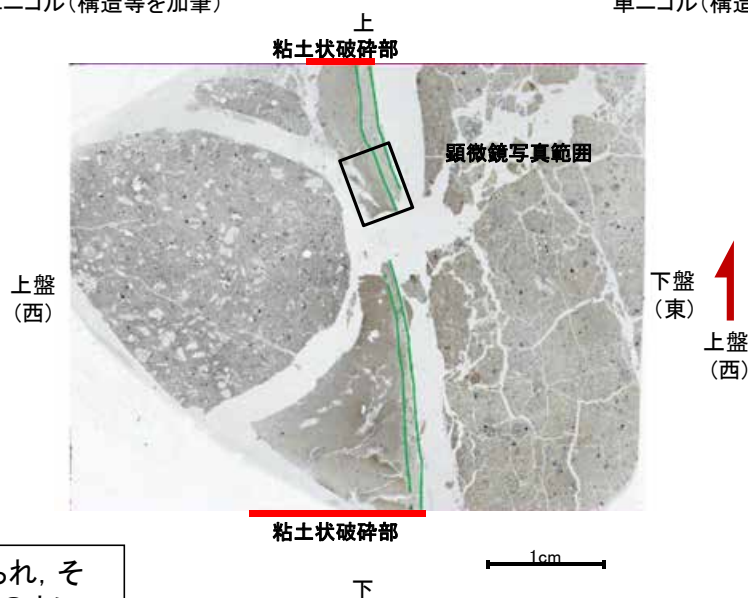
上  
粘土状破砕部

直交ニコール



単ニコール (構造等を加筆)

単ニコール (構造等を加筆)



・粘土状破砕部中には明瞭なY面が認められ、その近傍では粒子の配列や比較的連続性のよい割れ目が認められる。この粒子の配列から想定されるP面や割れ目から想定されるR1面より、上盤 (西側) 隆起の逆断層センスが推定される。

凡例

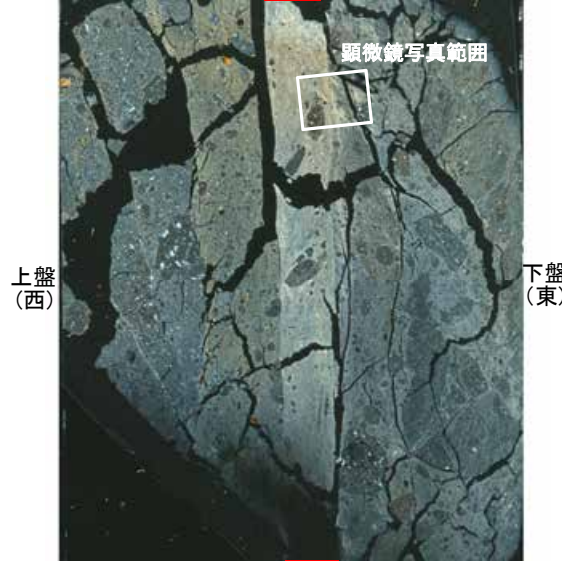
<span style="color: green;">—</span>	Y面
<span style="color: red;">—</span>	R1面
<span style="color: blue;">—</span>	P面
<span style="color: red;">↗</span>	変位方向

# 薄片観察結果 (E-8.6'\_100R)

■ 条線観察結果を踏まえ、  
100° R のレイクでボーリング  
コアを切断して作成した薄片  
を観察した。

直交ニコル

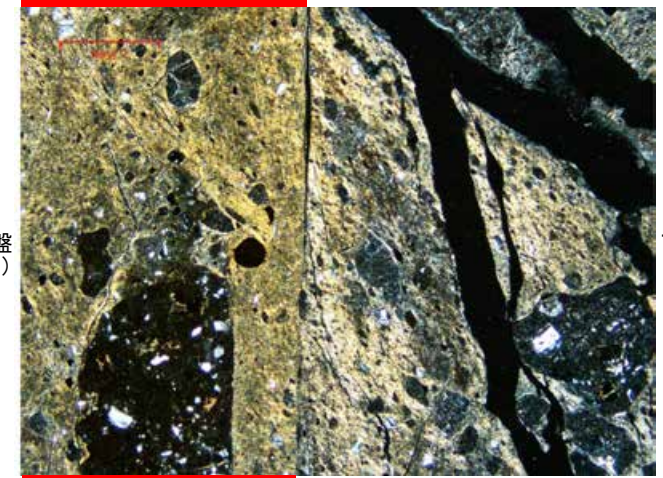
上  
粘土状  
破碎部



直交ニコル

上

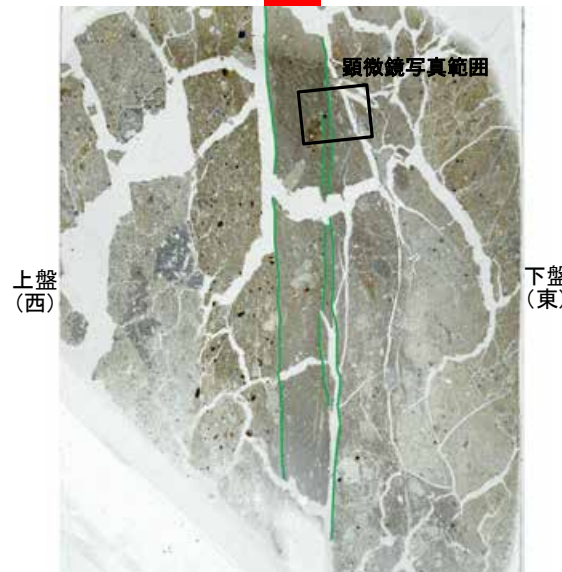
粘土状  
破碎部



粘土状  
破碎部

単ニコル(構造等を加筆)

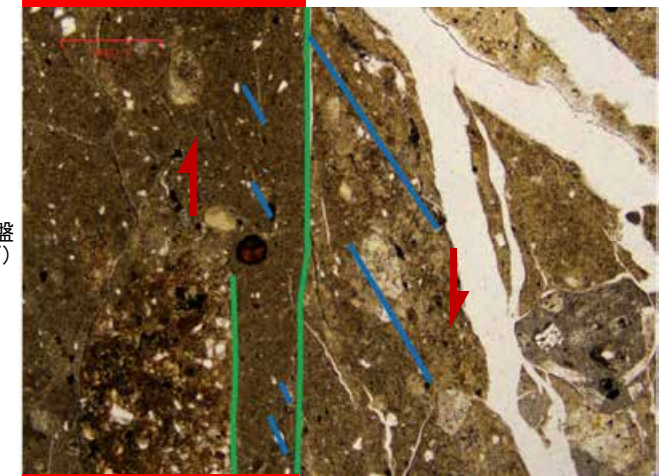
粘土状  
破碎部  
下  
上  
粘土状  
破碎部



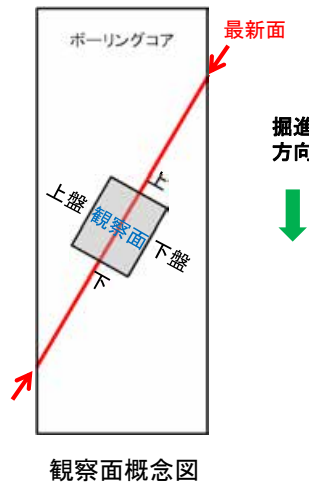
単ニコル(構造等を加筆)

下  
上

粘土状  
破碎部



粘土状  
破碎部



・粘土状破碎部中には明瞭なY面が認められ、その近傍では粒子が配列する。この粒子の配列から想定されるP面より、上盤(西側)隆起の逆断層センスが推定される。

凡例



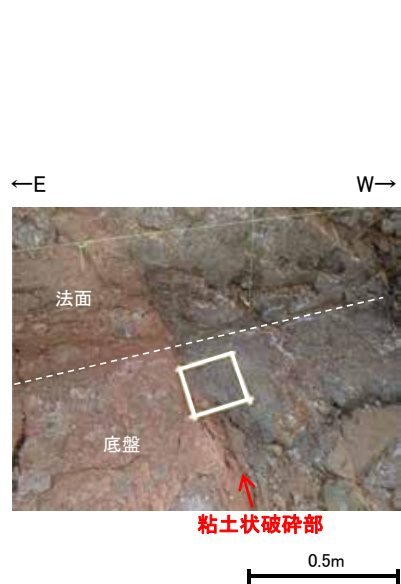
粘土状  
破碎部  
下  
薄片写真

下  
顕微鏡写真

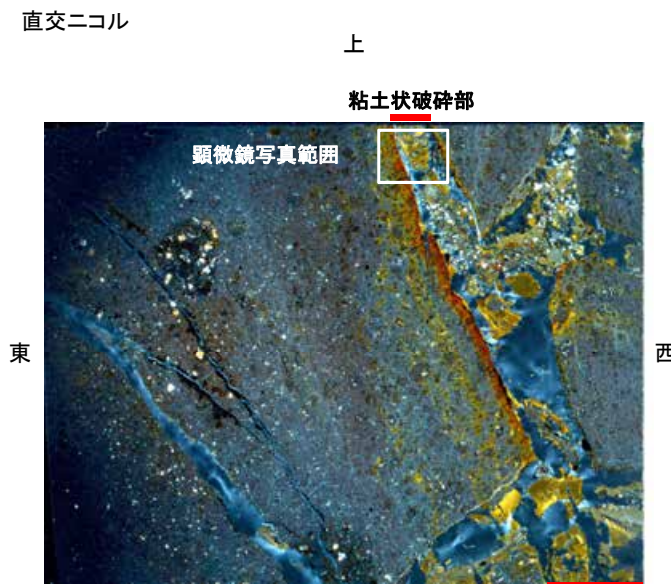
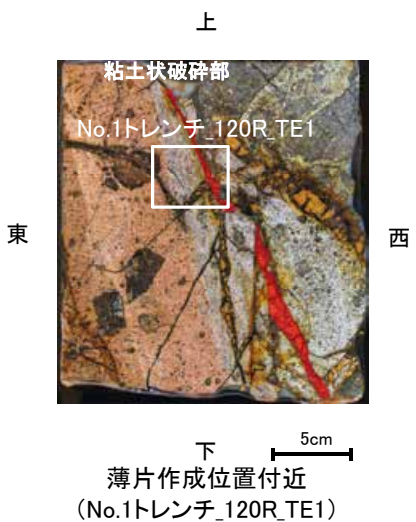


# 薄片観察結果 (No.1トレンチ\_120R\_TE1)

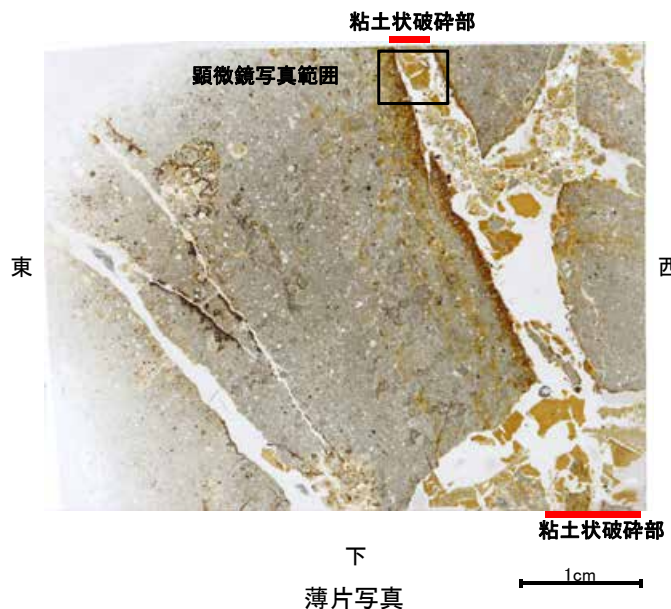
■ 条線観察結果を踏まえ、120° R のレイクでブロックを切断して作成した薄片を観察した。



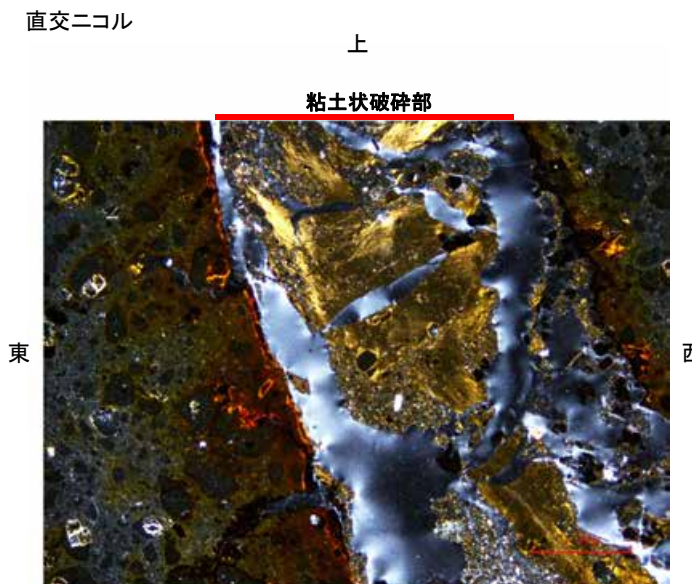
試料採取位置付近 (No.1トレンチ)



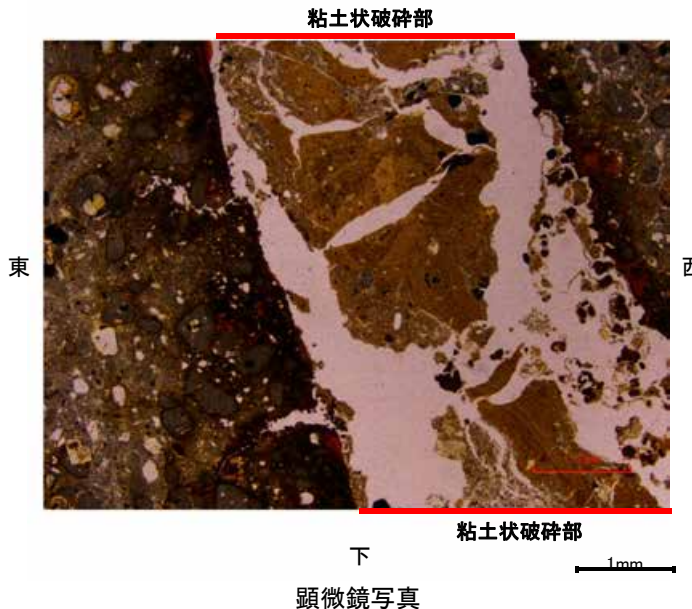
粘土状破碎部  
1cm  
単ニコル



粘土状破碎部  
1cm  
薄片写真



粘土状破碎部  
1mm  
単ニコル

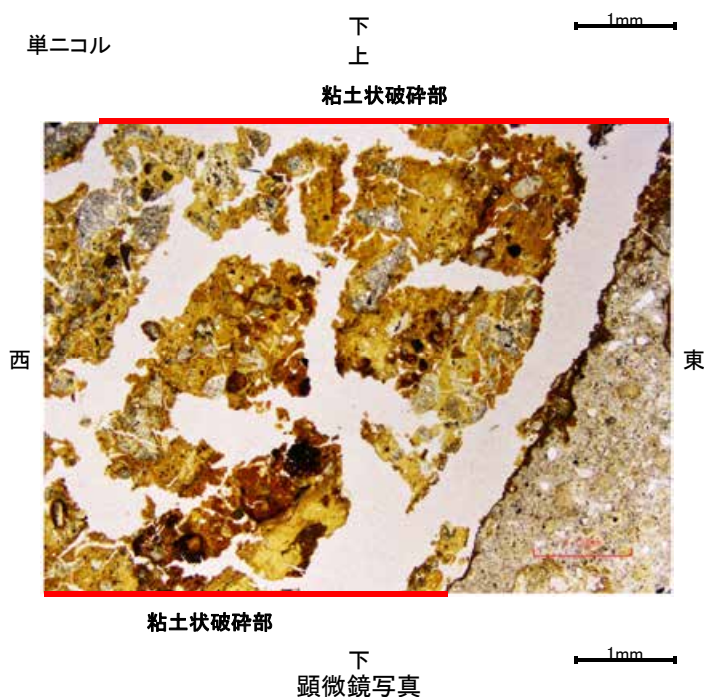
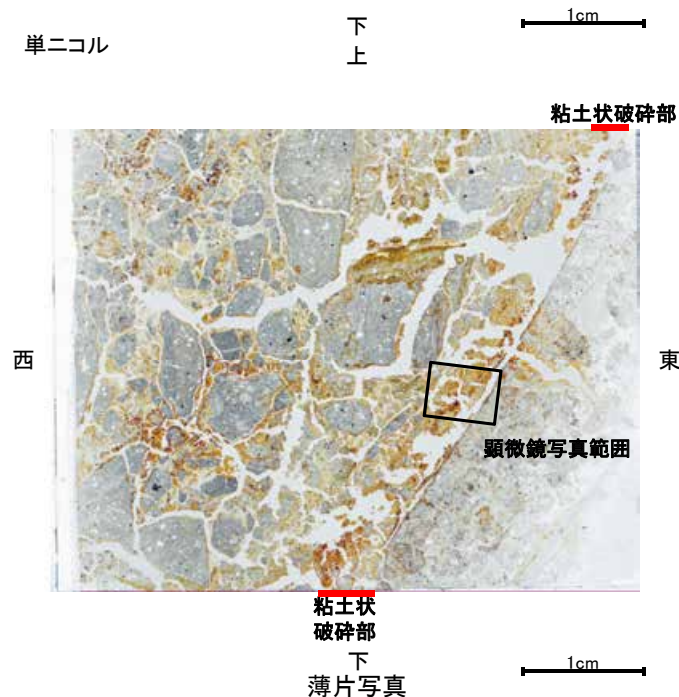
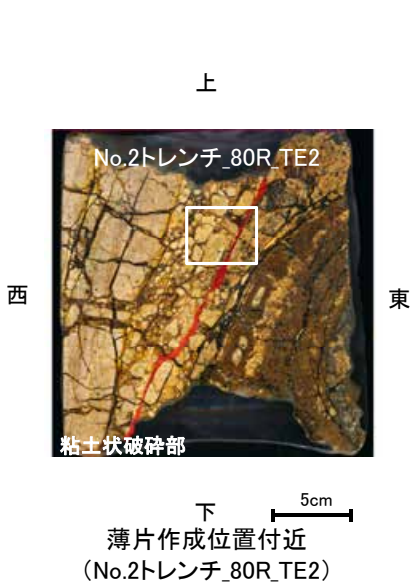
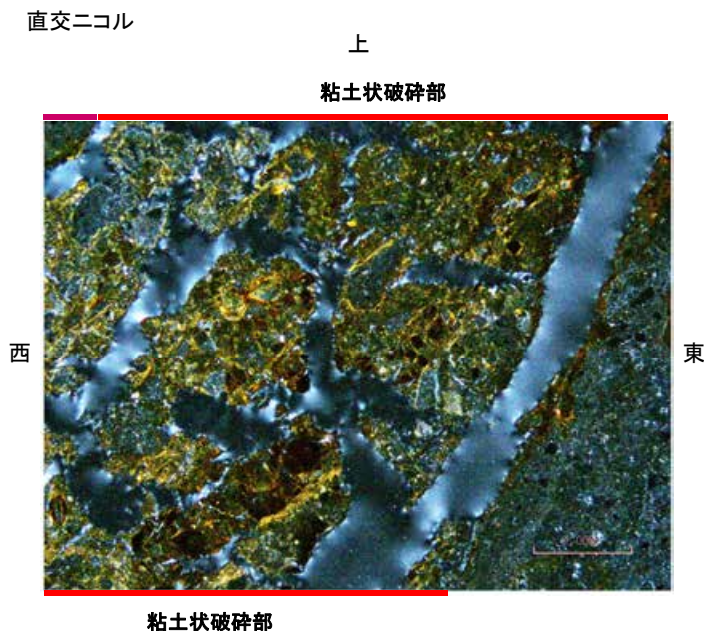
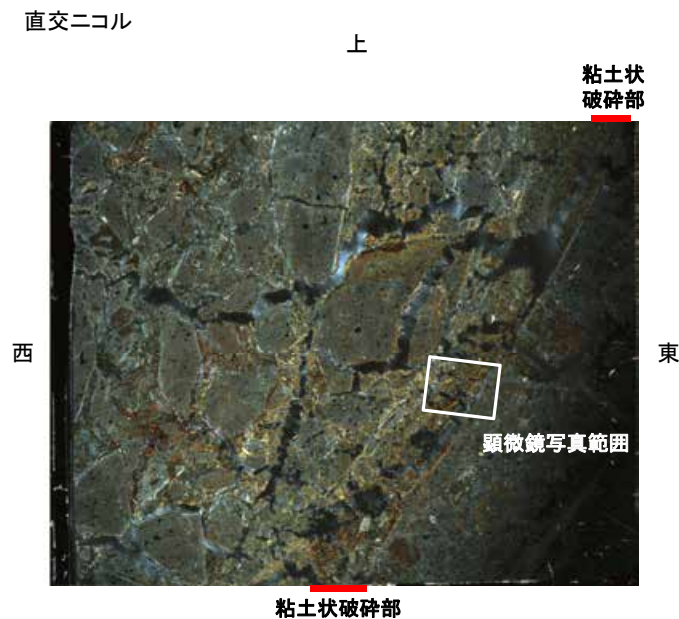
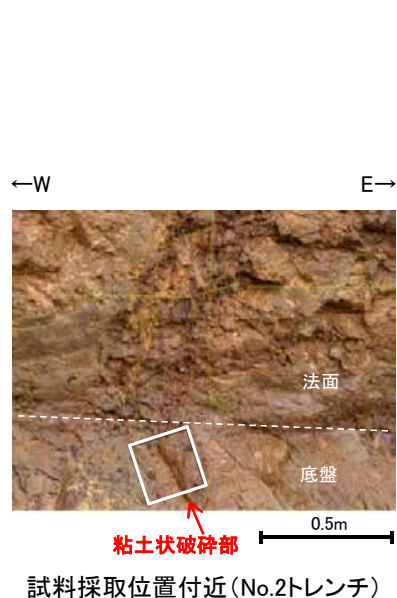


粘土状破碎部  
1mm  
顕微鏡写真

・粘土状破碎部内部及びその周辺には、変位センスを認定できるような明瞭な構造は認められない。

# 薄片観察結果 (No.2トレンチ\_80R\_TE2)

■ 条線観察結果を踏まえ、80° R のレイクでブロックを切断して作成した薄片を観察した。



・粘土状破碎部内部及びその周辺には、変位センスを認定できるような明瞭な構造は認められない。

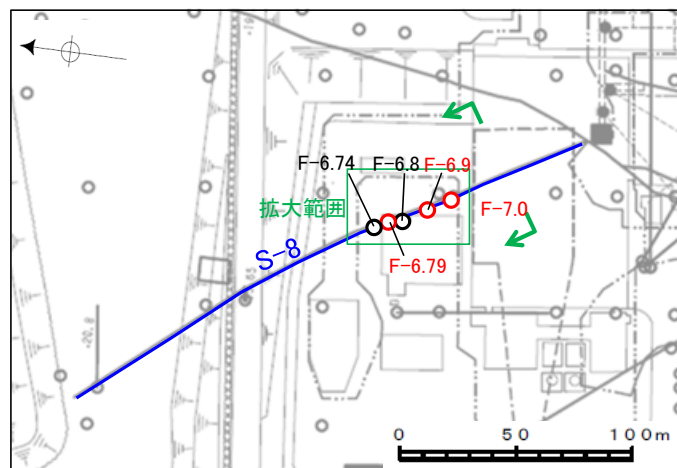
---

### 3. S-8の運動方向

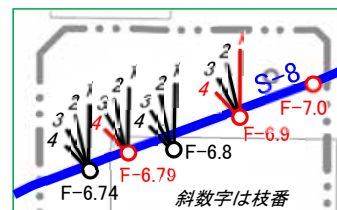
# S-8の条線観察結果

- 鉛直ボーリング孔
- 斜めボーリング孔
- 表土はぎ
- トレンチ
- 岩盤調査坑
- 試掘坑, 試験坑, 斜坑
- S-8(EL-4.7m)

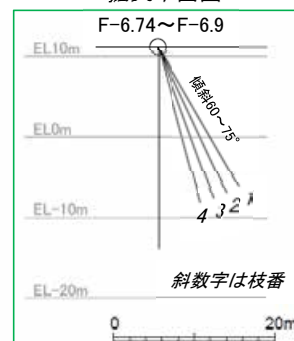
赤字:条線観察箇所



調査位置図



拡大平面図

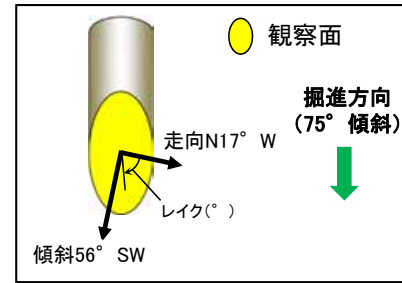


標準断面図

試料名		走向/傾斜 (走向は真北)	条線観察結果	
			条線のレイク*	変位センス
ボーリング F-6.79-4 (深度17.65m)	上盤側	N17° W/56° SW	107° R	(不明)
ボーリング F-6.9 (深度19.15m)	下盤側	N3° E/48° NW	135° R	左横ずれ逆断層
ボーリング F-6.9-1 (深度14.65m)	上盤側	N3° W/51° SW	74° R	(不明)
ボーリング F-6.9-4 (深度17.05m)	上盤側	N7° W/59° SW	84° R	(不明)
ボーリング F-7.0 (深度16.09m)	下盤側	N10° W/48° SW	70° R	(不明)
			25° R	(不明)

※ 上盤側で確認したレイクは下盤側に換算して示す

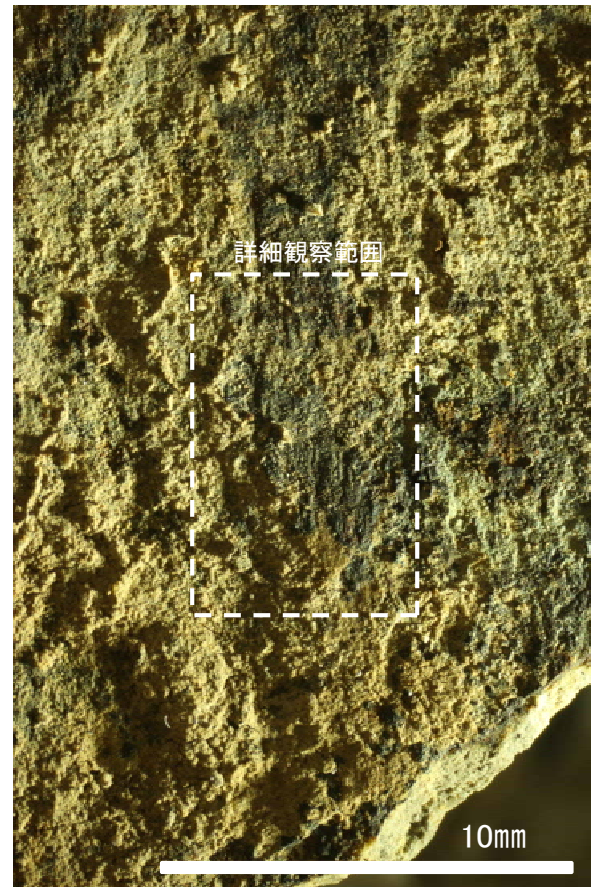
# 条線観察結果(ボーリングF-6.79-4[深度17.65m])(上盤側)



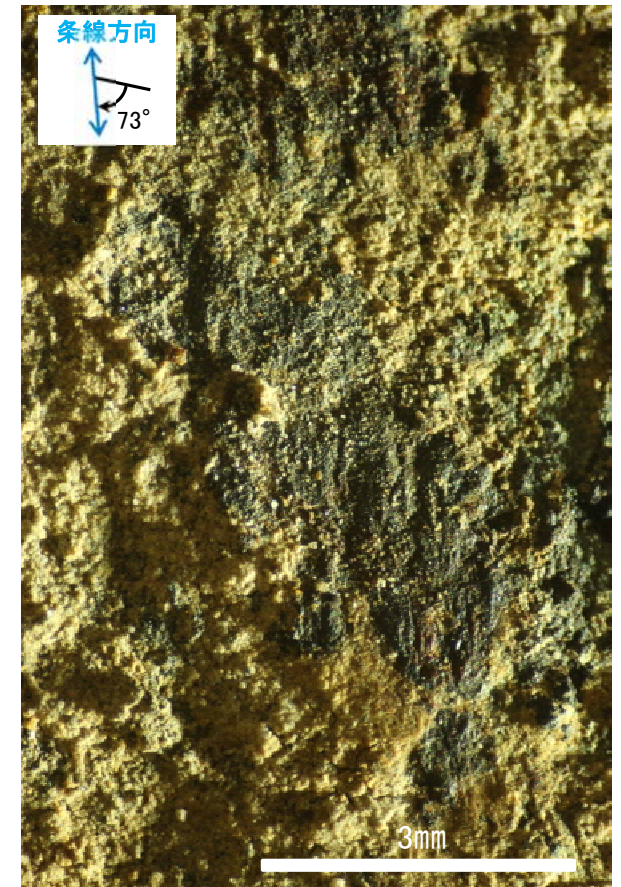
概念図  
※走向は真北で示す。



観察面写真



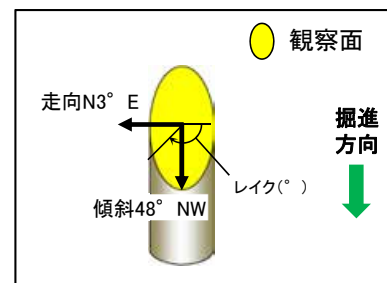
観察面拡大写真



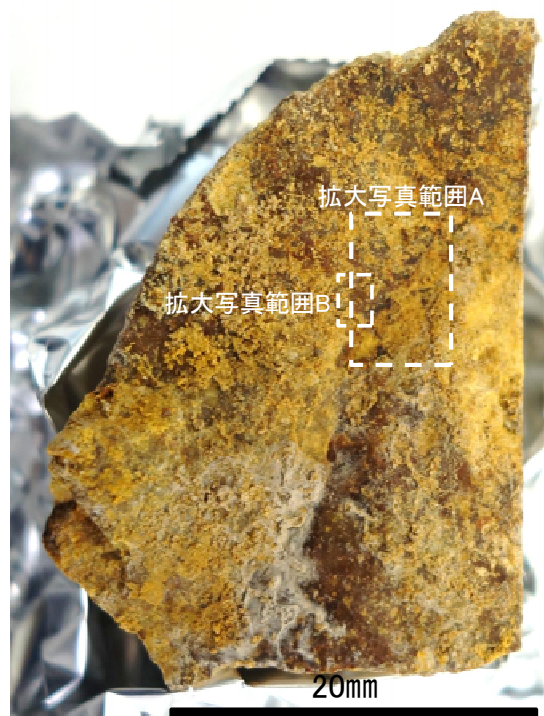
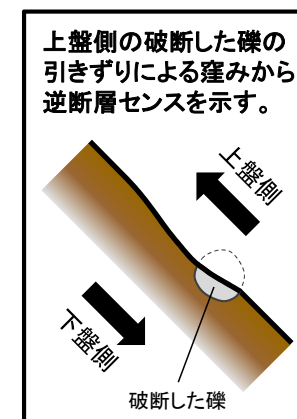
詳細観察写真

・条線のレイクは $107^{\circ}$  R(下盤側換算), 変位センスは不明

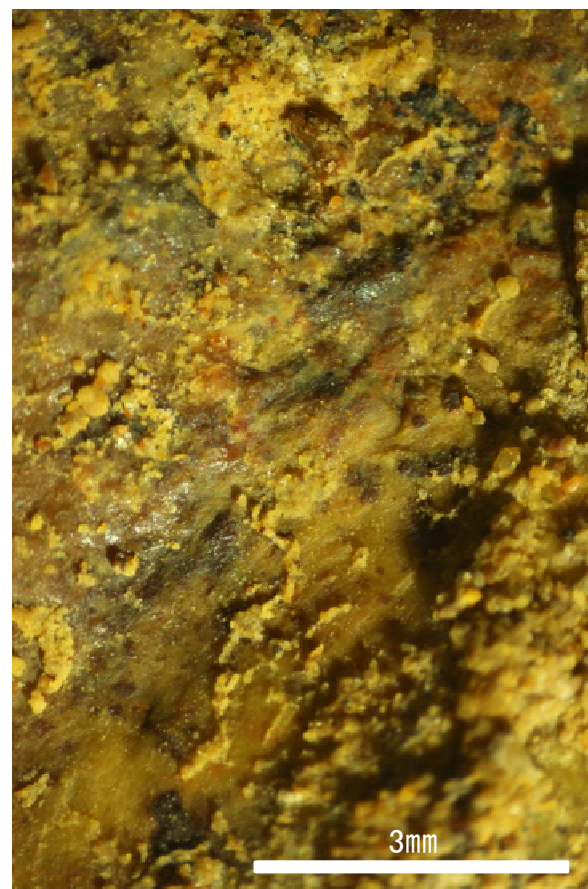
# 条線観察結果(ボーリングF-6.9[深度19.15m])(下盤側)①



概念図  
※走向は真北で示す。



観察面写真

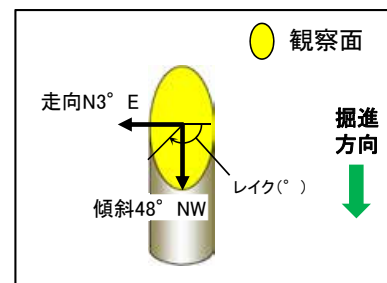


詳細観察写真A

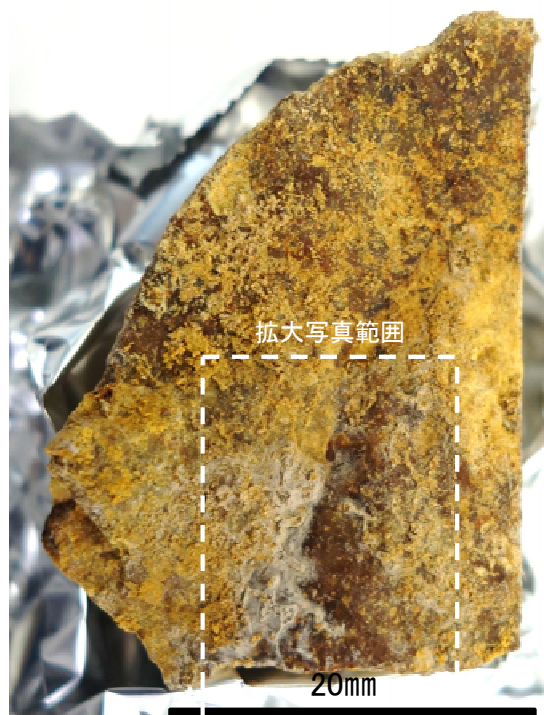
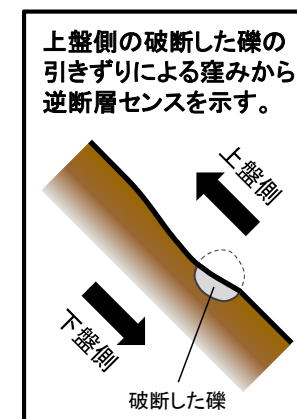


詳細観察写真B

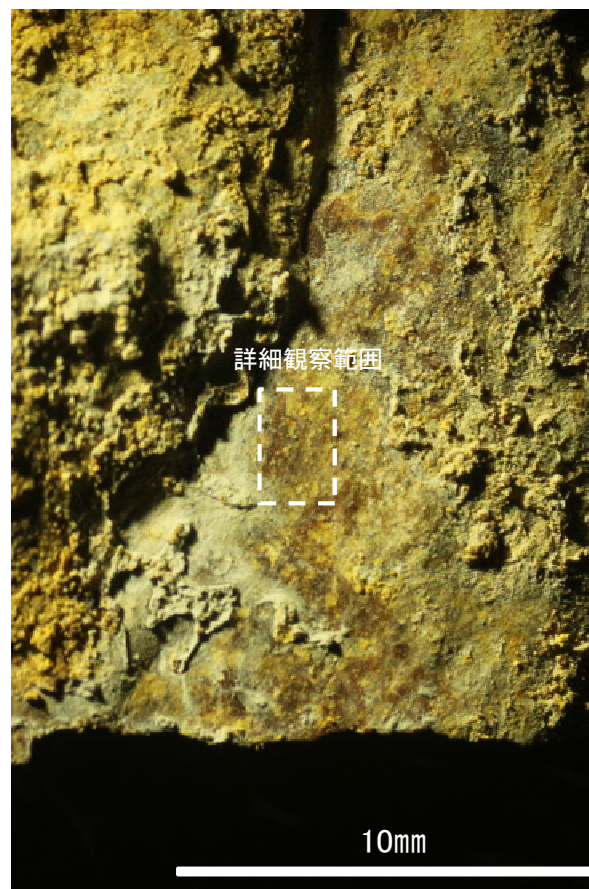
# 条線観察結果(ボーリングF-6.9[深度19.15m])(下盤側)②



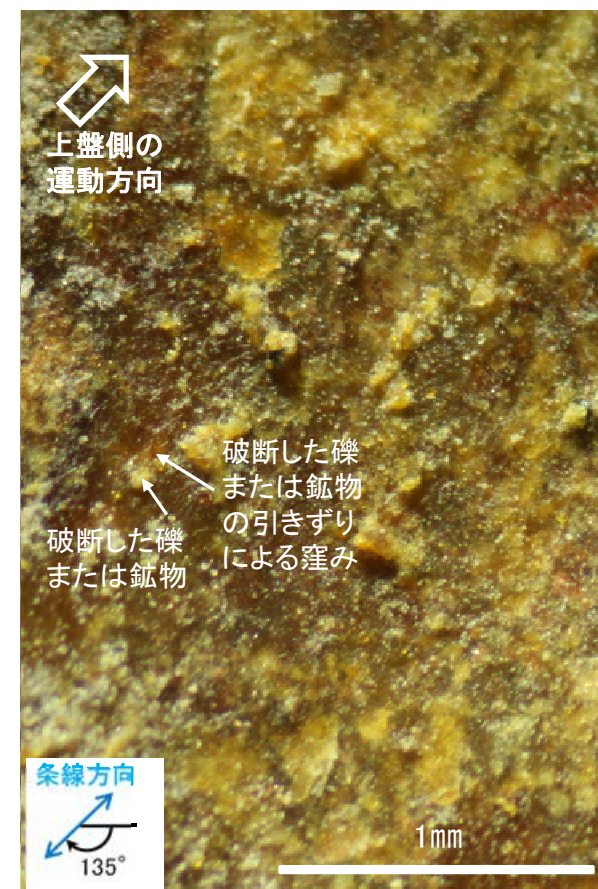
概念図  
 ※走向は真北で示す。



観察面写真

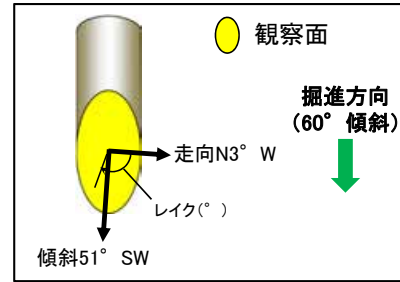


詳細観察写真

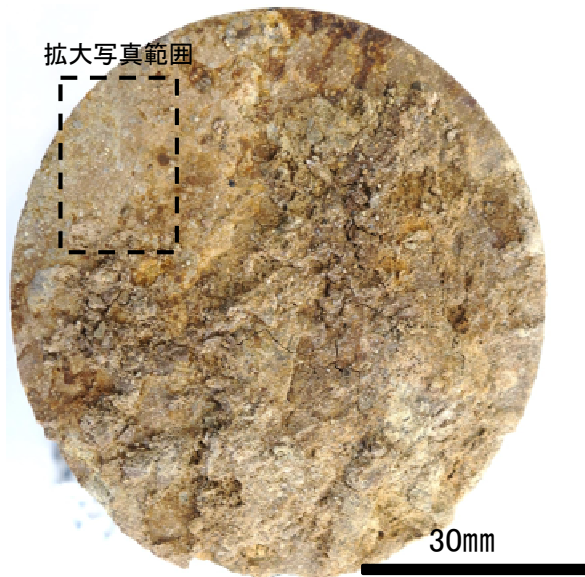


詳細観察写真

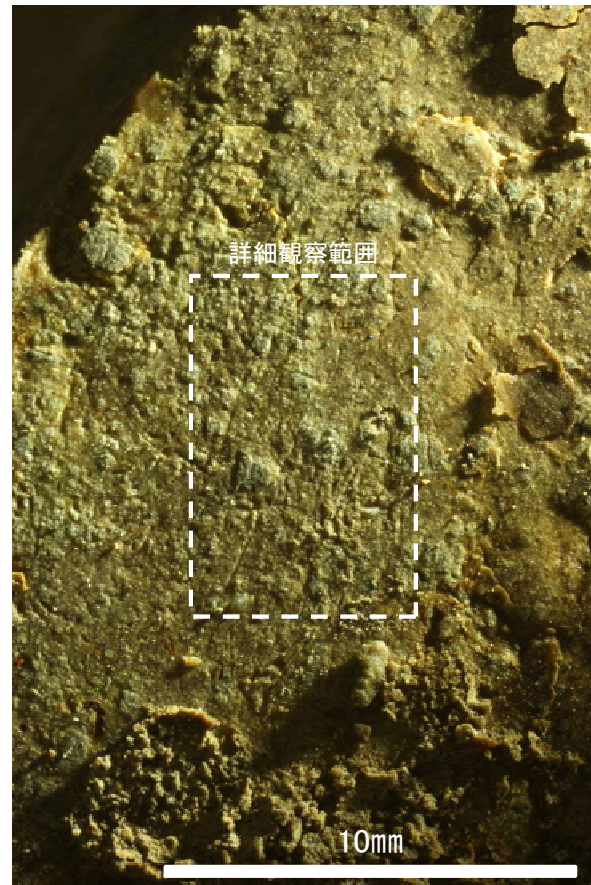
# 条線観察結果(ボーリングF-6.9-1[深度14.65m])(上盤側)



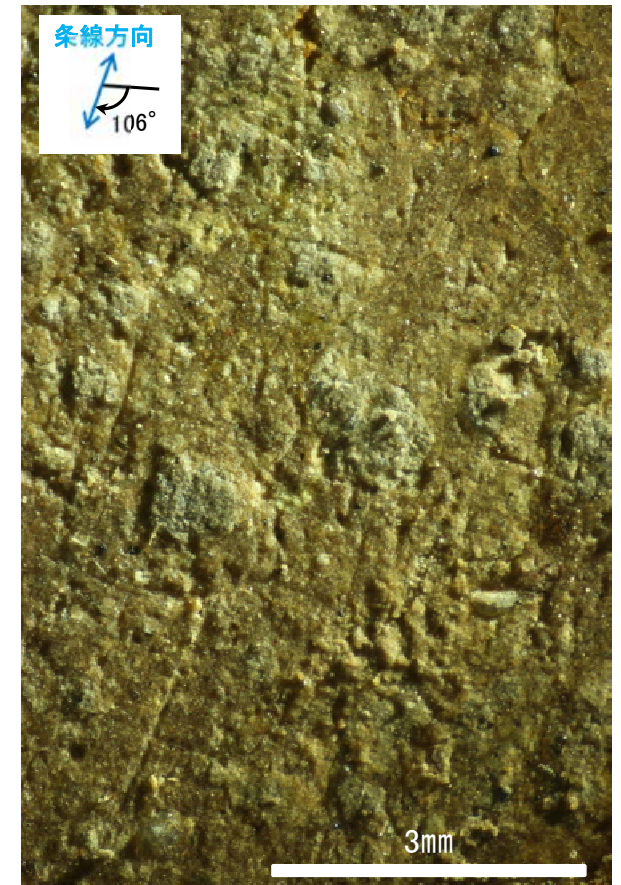
概念図  
※走向は真北で示す。



観察面写真



観察面拡大写真

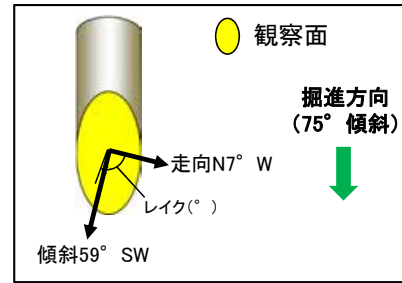


詳細観察写真

・条線のレイクは74° R(下盤側換算), 変位センスは不明



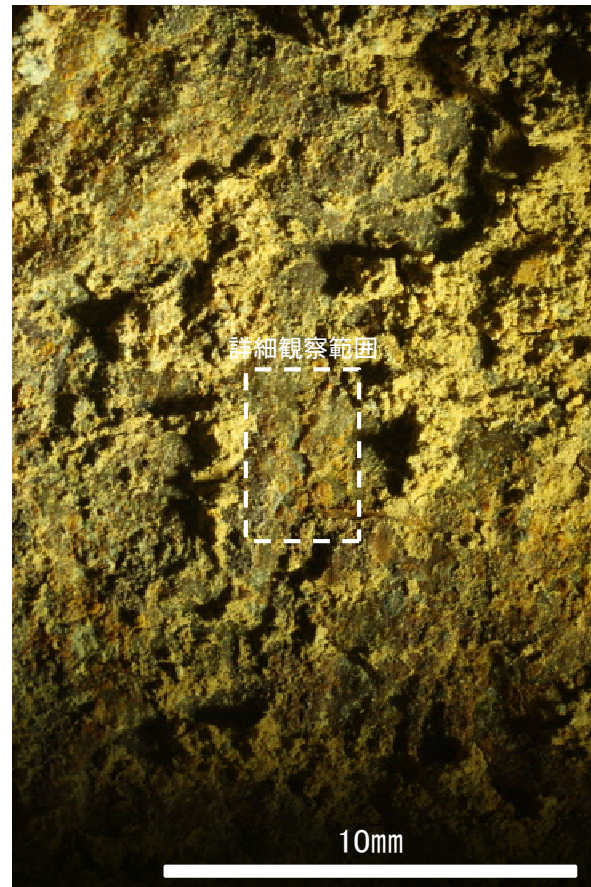
# 条線観察結果(ボーリングF-6.9-4[深度17.05m])(上盤側)



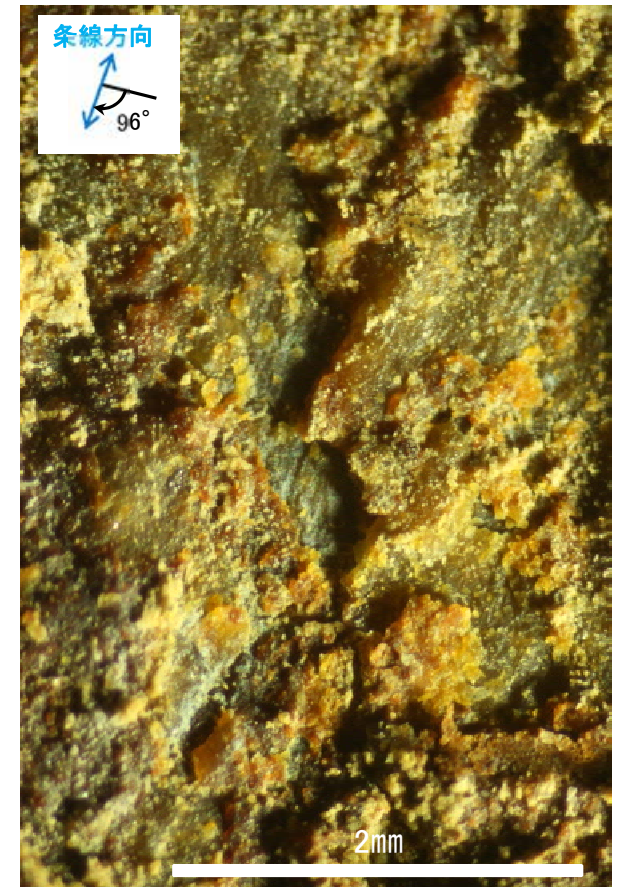
概念図  
※走向は真北で示す。



観察面写真



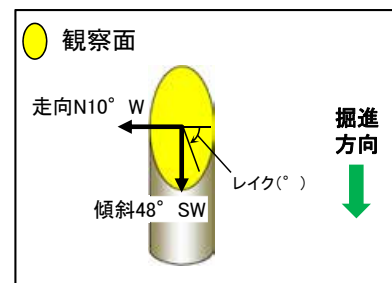
観察面拡大写真



詳細観察写真

・条線のレイクは84° R(下盤側換算), 変位センスは不明

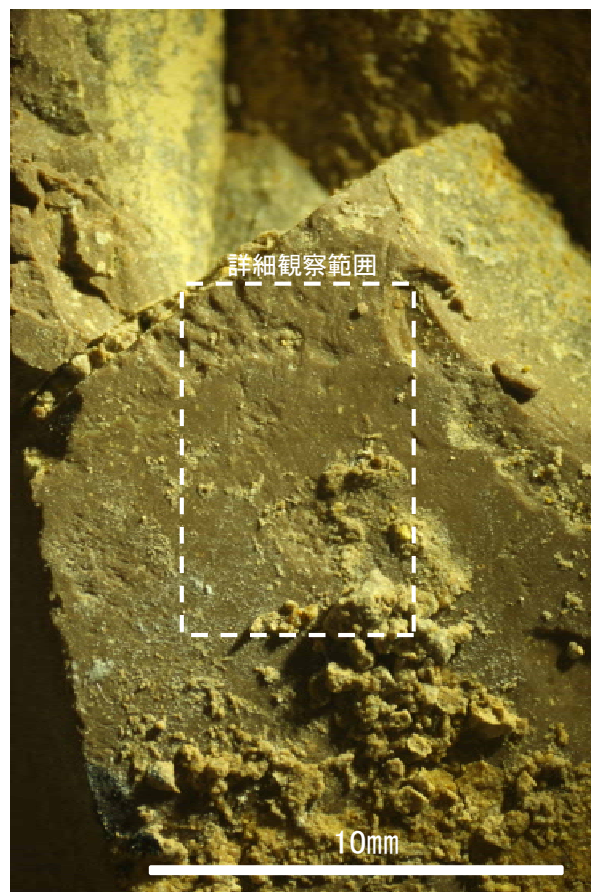
# 条線観察結果(ボーリングF-7.0[深度16.09m])(下盤側)①



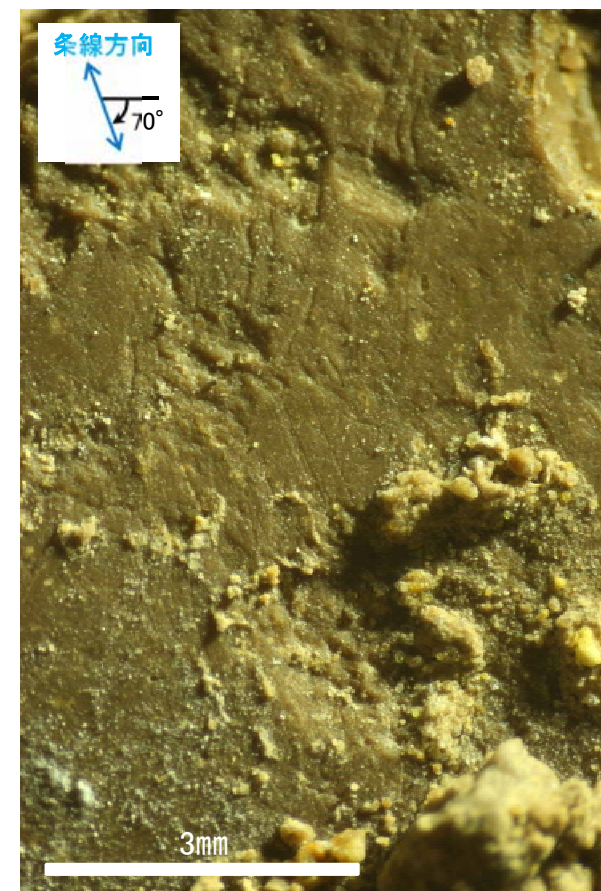
概念図  
※走向は真北で示す。



観察面写真



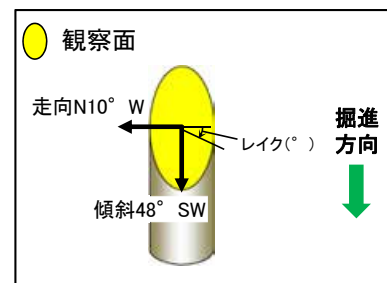
観察面拡大写真



詳細観察写真

・条線のレイクは70° R, 変位センスは不明

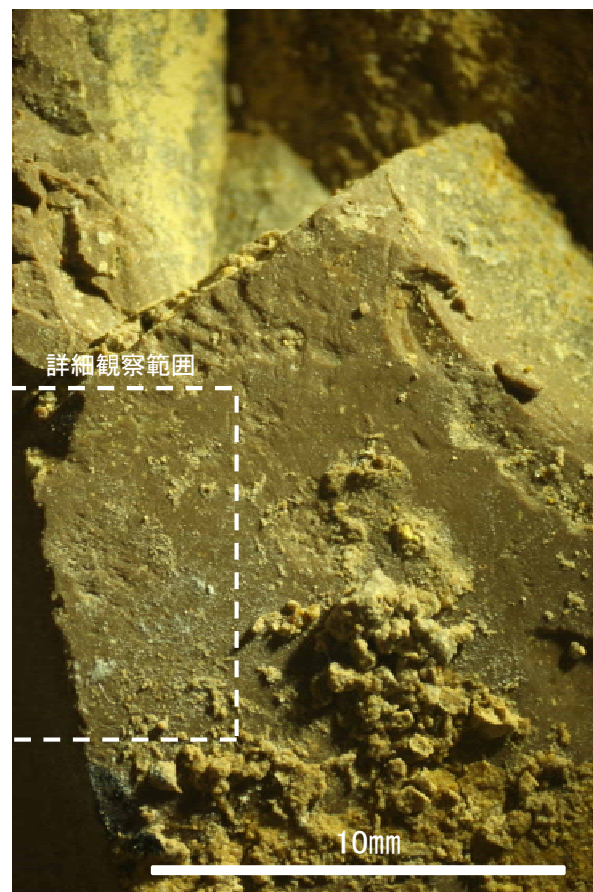
# 条線観察結果(ボーリングF-7.0[深度16.09m])(下盤側)②



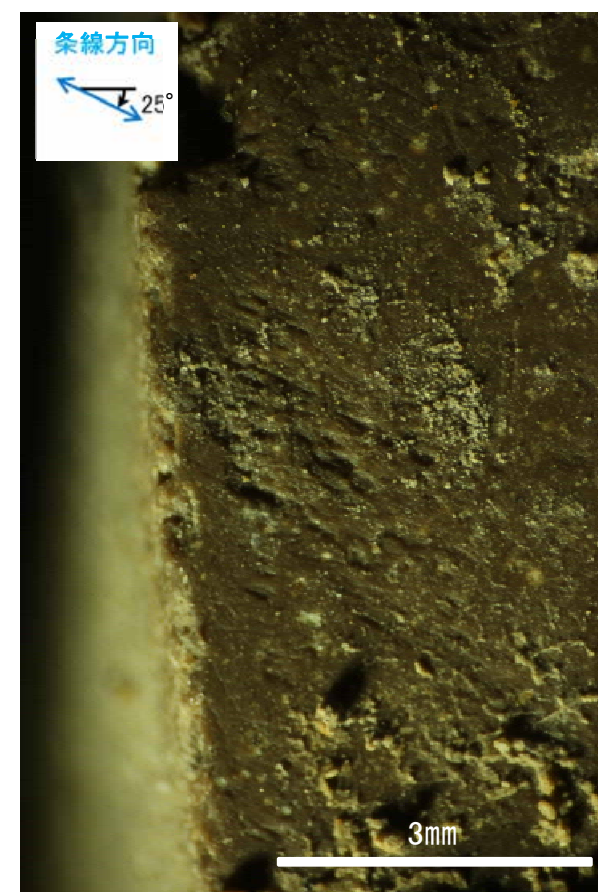
概念図  
※走向は真北で示す。



観察面写真



観察面拡大写真



詳細観察写真

・条線のレイクは25° R, 変位センスは不明